

**GUIDA AL RICONOSCIMENTO
DEL PLANCTON NERITICO
DEI MARI ITALIANI**

VOLUME II - ZOOPLANCTON NERITICO - TAVOLE

PROGRAMMA DI MONITORAGGIO
PER IL CONTROLLO DELL'AMBIENTE MARINO COSTIERO





*Ministero dell'Ambiente
della Tutela del Territorio
e del Mare*

Direzione Protezione della Natura



ICRAM

ISTITUTO CENTRALE PER LA RICERCA
SCIENTIFICA E TECNOLOGICA APPLICATA AL MARE

Dipartimento Monitoraggio

A CURA DI:

Massimo Avancini, Anna Maria Cicero, Irene Di Girolamo, Mario Innamorati, Erika Magaletti,
Tecla Sertorio Zunini

COORDINAMENTO REDAZIONALE:

Tecla Sertorio Zunini

PROGETTO GRAFICO:

ROBERTO LOMBARDI

IMPAGINAZIONE, IMPIANTI:



STAMPA E ALLESTIMENTO:

ARTI GRAFICHE AGOSTINI - ROMA

TUTTI I DIRITTI RISERVATI

© 2006

Ministero dell'Ambiente e della Tutela del Territorio - DPN

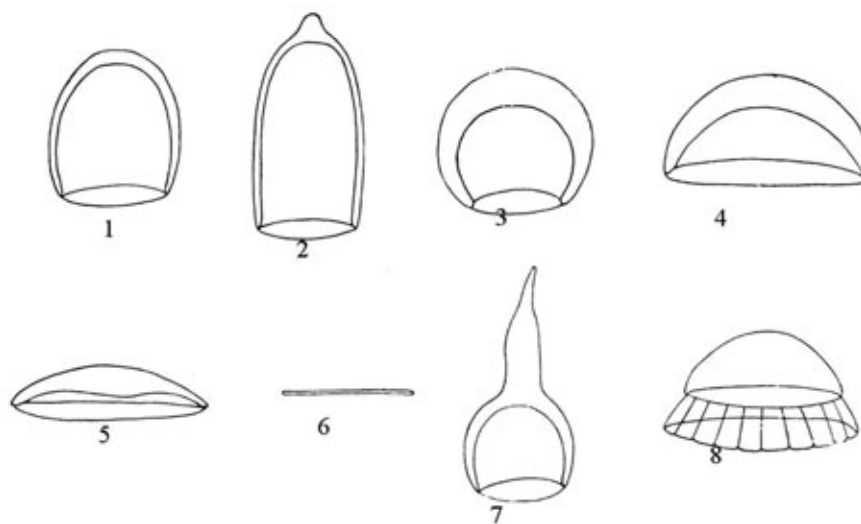
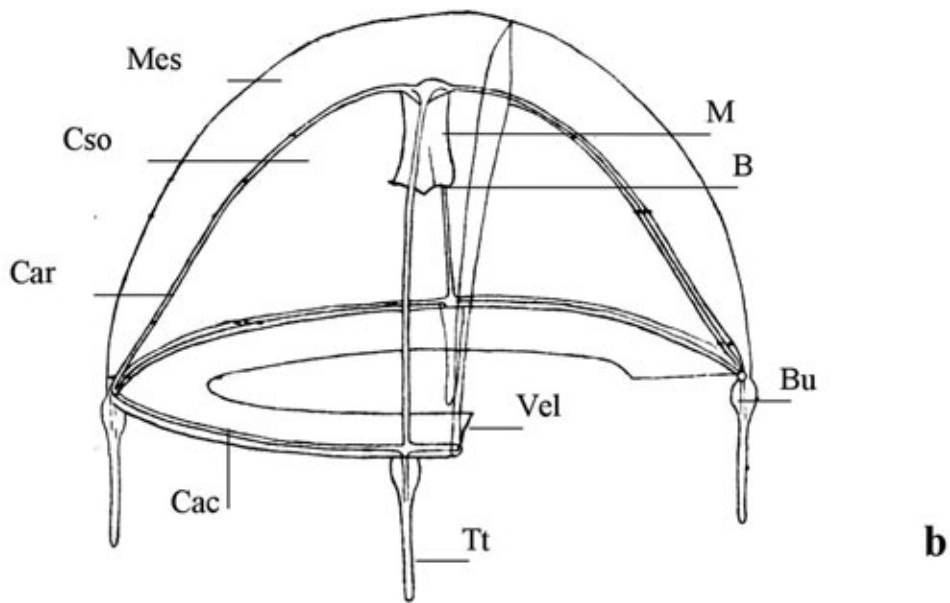
ICRAM - Istituto Centrale per la Ricerca Scientifica e Tecnologica Applicata al Mare

È consentita la riproduzione delle informazioni e dei dati pubblicati a condizione che ne venga citata la fonte.

INDICE

VOLUME II: TAVOLE

MEDUSE	pag.	7	Tavole	1	-	7
SIFONOFORI		15	Tavole	8	-	21
CTENOFORI		29	Tavole	22	-	23
CLADOCERI		31	Tavole	24	-	26
COPEPODI		35	Tavole	27	-	119
MISIDACEI		129	Tavola	120		
EUFAUSIACEI		135	Tavole	121	-	129
MOLLUSCHI PTEROPODI		141	Tavole	130	-	134
CHETOGNATI		147	Tavole	135	-	139
APPENDICOLARIE		153	Tavole	140	-	145
TALIACEI		159	Tavole	146	-	151
LARVE PELAGICHE						
Cnidari		165	Tavole	152	-	153
Ctenofori		165	Tavola	152		
Eufausiacei		167	Tavola	154		
Decapodi		168	Tavola	155		
Organismi bentonici		169	Tavole	156	-	168
ITTIOPLANCTON						
Uova di Pesci		183	Tavole	169	-	171
Larve di Pesci		186	Tavole	172	-	174
Tavole a colori		191	Figure	1	-	20

**a****b**

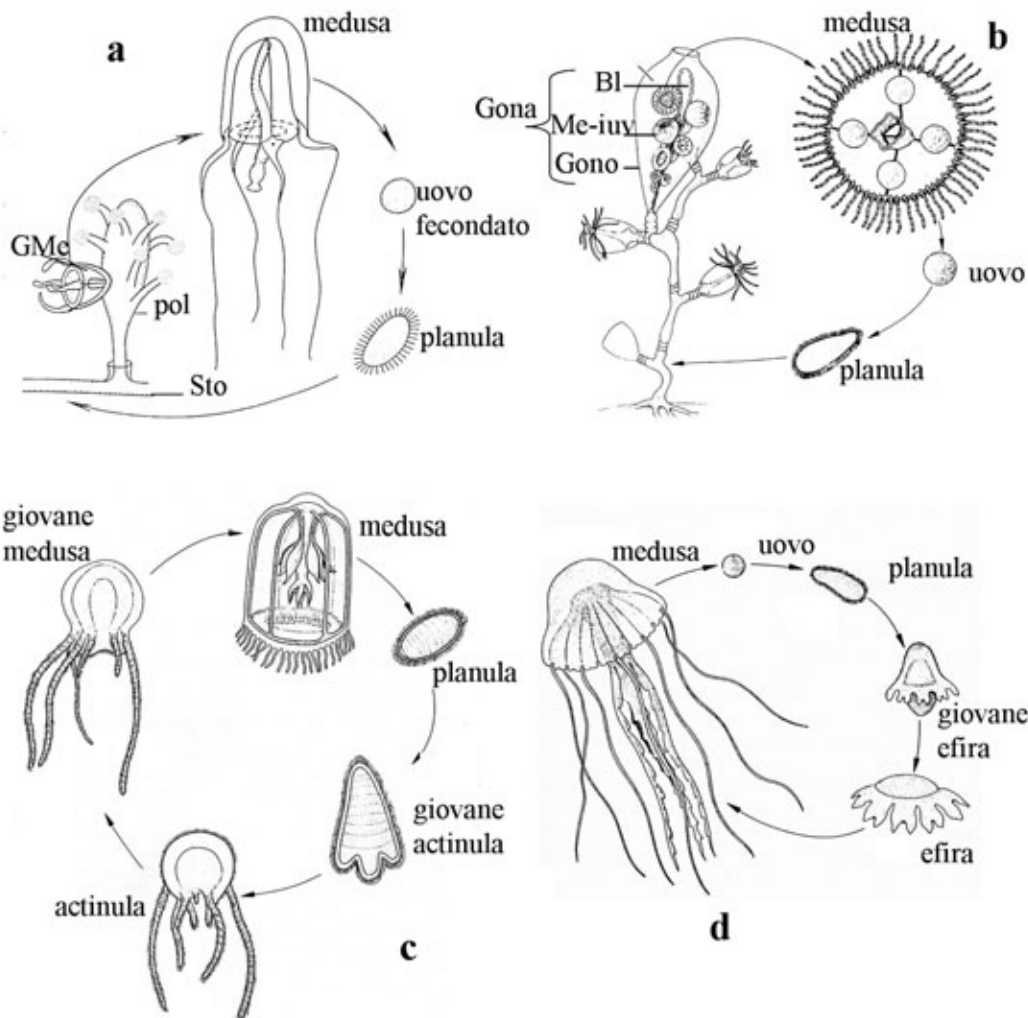
Idromeduse: a forma dell'ombrello di specie diverse: 1 *Sarsia*, 2 *Aglantha*, 3 *Bouganvillia*, 4 *Phialella*, 5 *Aequorea*, 6 *Obelia*, 7 *Amphinema*, 8 *Narcomedusa*.

b schema generale di medusa.

Mes, mesoderma. Altre abbreviazioni a pag. 13 del Vol.1

Da: Russel, 1953; Trégouboff & Rose, 1957.

■ C. Carré - Station Zoologique. Villefranche-sur-mer & P. Licandro - Università di Genova

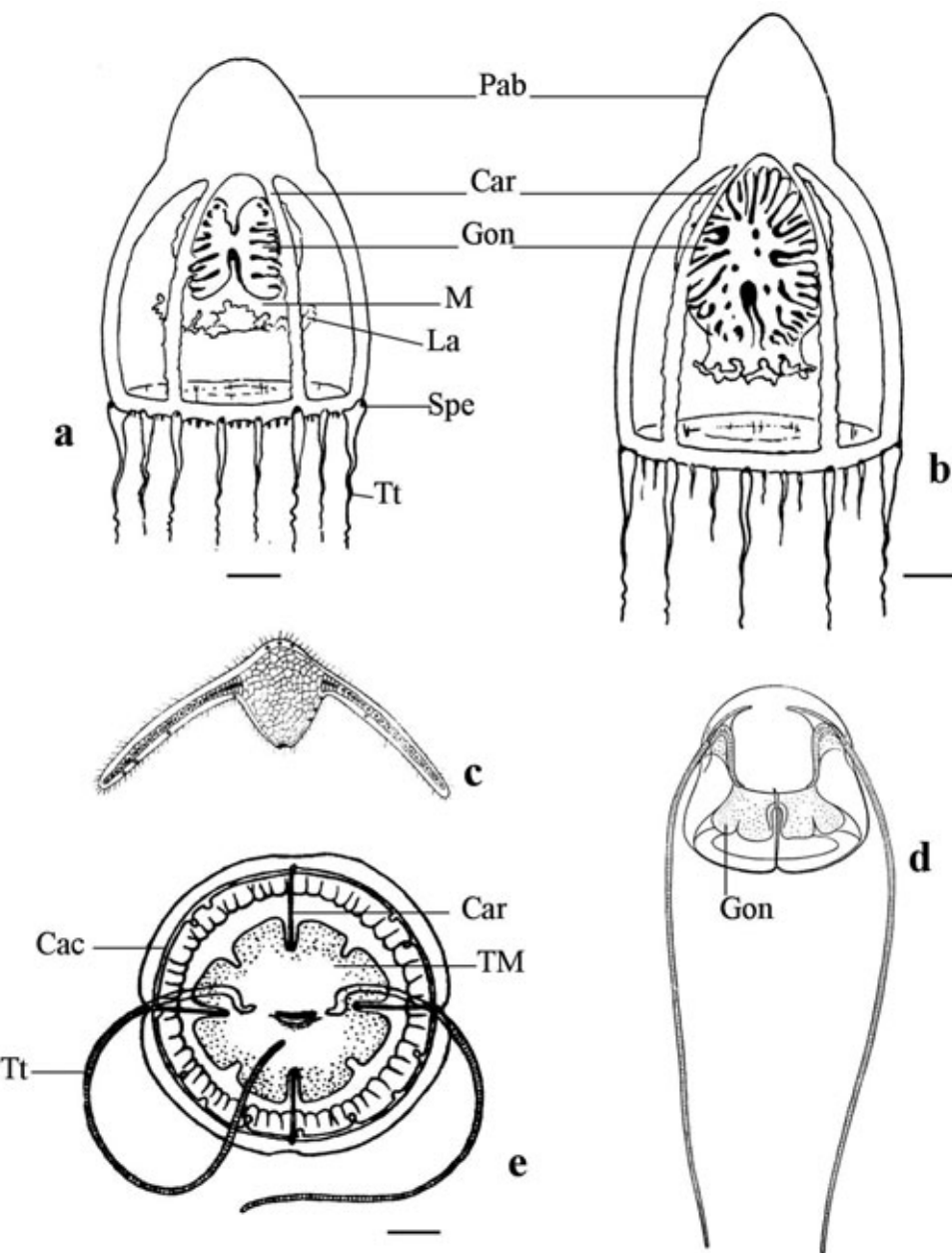


Idromeduse - cicli vitali: a Anthomedusa *Sarsia tubulosa*; b Leptomedusa *Obelia geniculata*; c Trachymedusa *Aglaura hemistoma*.

Scifomedusa - ciclo vitale: d *Pelagia*.

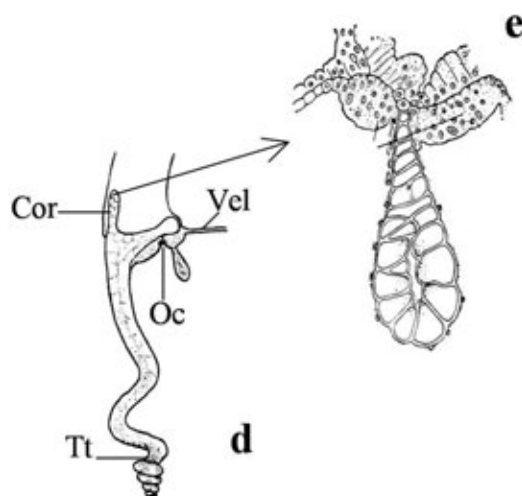
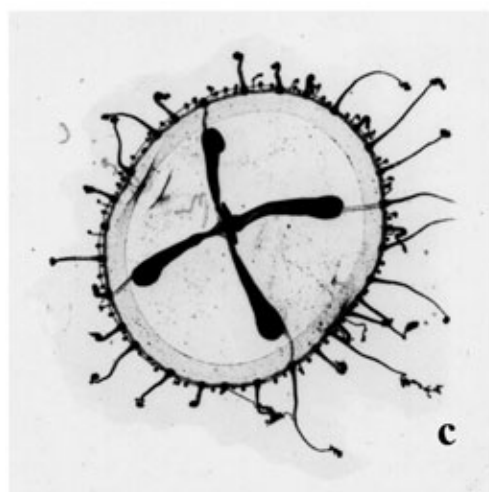
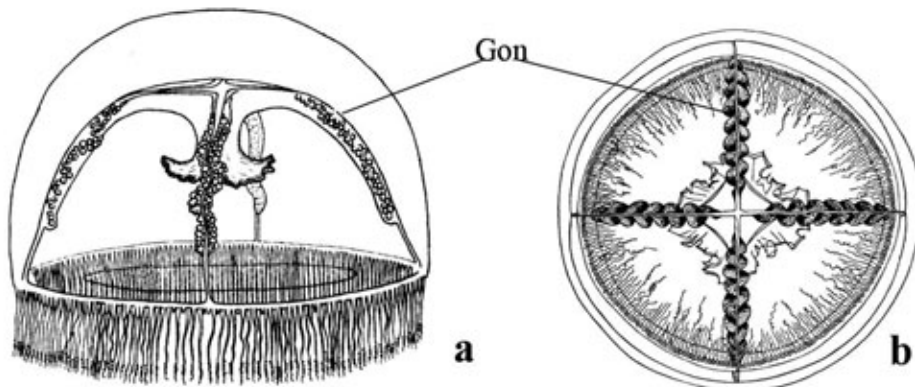
Bl, blastostilo (tessuto da cui si originano le meduse); GMe, gemma di medusa; Gona, gonangio; Gono, gonoteca; Me-iuy, giovane medusa; pol, polipo; Sto, stolone.

Da: Bayer & Owre, 1968; Naumov, 1969.



Leuckartiana octona: a scala 1 mm. *Leuckartiana nobilis* Hartlaub, 1913 b: scala 2 mm.
Solmundella bitentaculata c-e: c larva; d medusa adulta; e visione orale, scala 1 mm.
 La, labbra; Pab, processo aborale; Spe, sperone tentacolare; TM, tasca manubriale.
 Altre abbreviazioni a pag. 13 del Vol.1

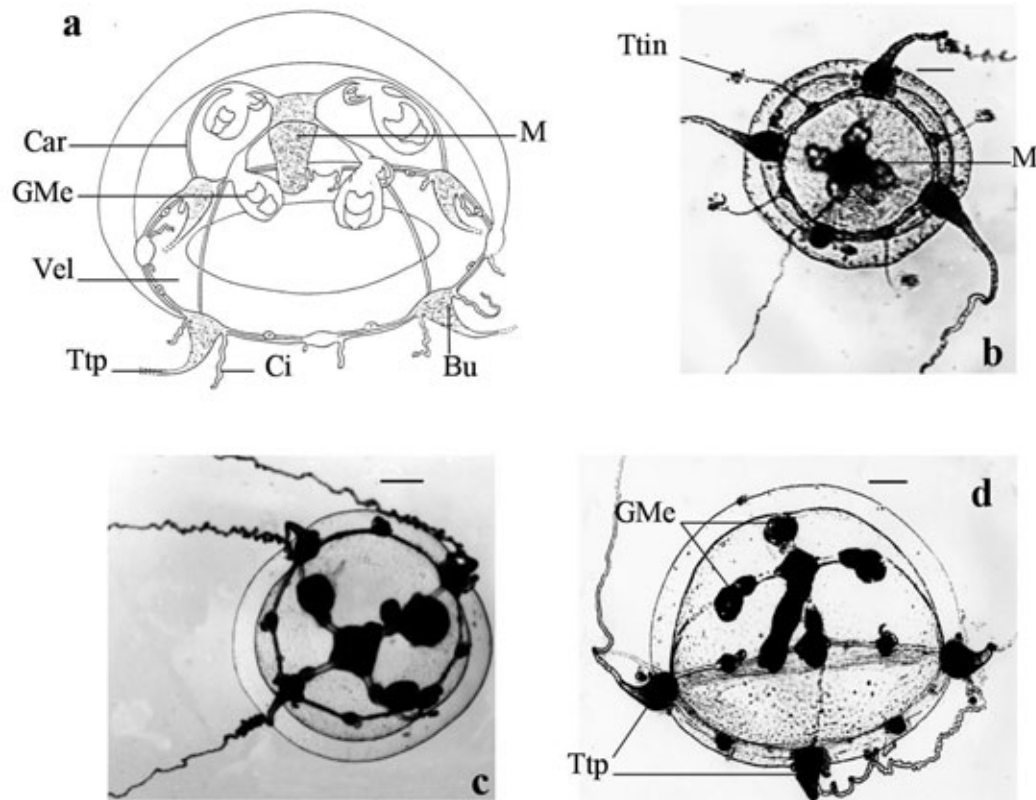
Da: Kramp, 1959; Mayer, 1910; Metschnikoff, 1886.



Laodicea undulata a-d: a figura intera; b visione orale; c foto di un individuo maturo; d particolare del bordo ombrellare; e schema di un cordilo.

Abbreviazioni a pag. 13 del Vol.1

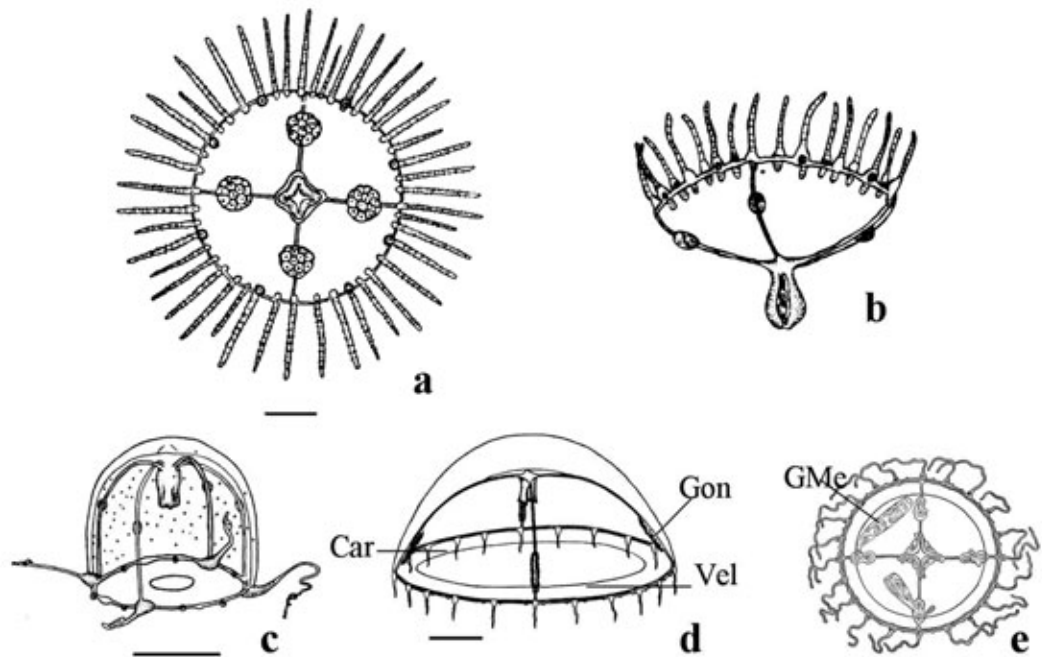
Da: Hyman, 1940; Kramp, 1930; Russel, 1953.



Eucheilota paradoxica : a-d: a schema di medusa adulta; b giovane medusa con gemme rudimentali in prossimità del manubrio, visione orale (scala 0.15 mm); c giovane medusa con gemme rudimentali migrate sui canali radiali, visione apicale (scala 0.5 mm); d medusa adulta (scala 0.75 mm).

Ci, cirro; Gme, gemma di medusa; Ttin, tentacolo interradiale; Ttp, tentacolo peri-radiale. Altre abbreviazioni a pag. 13 del Vol.1

Da: Carré & Carré, 1990.

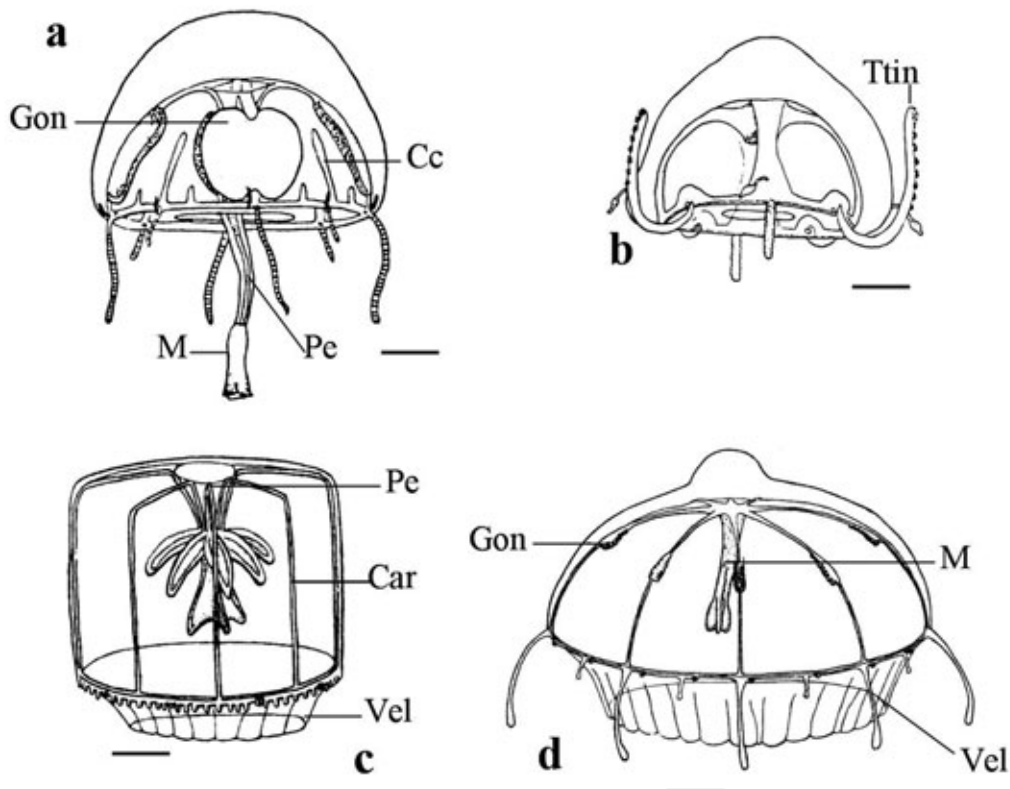


Leptomeduse. *Obelia* spp. a-b: a visione orale (scala 1 mm); b visione laterale.

Clytia hemisphaerica (Linnaeus, 1767) c-d: c medusa giovane (scala 0.5 mm); d medusa adulta (scala 0.5 mm). *Clytia mccradyi* (Brooks, 1888) e: visione orale.

GMc, gemma di medusa. Altre abbreviazioni a pag. 13 del Vol.1

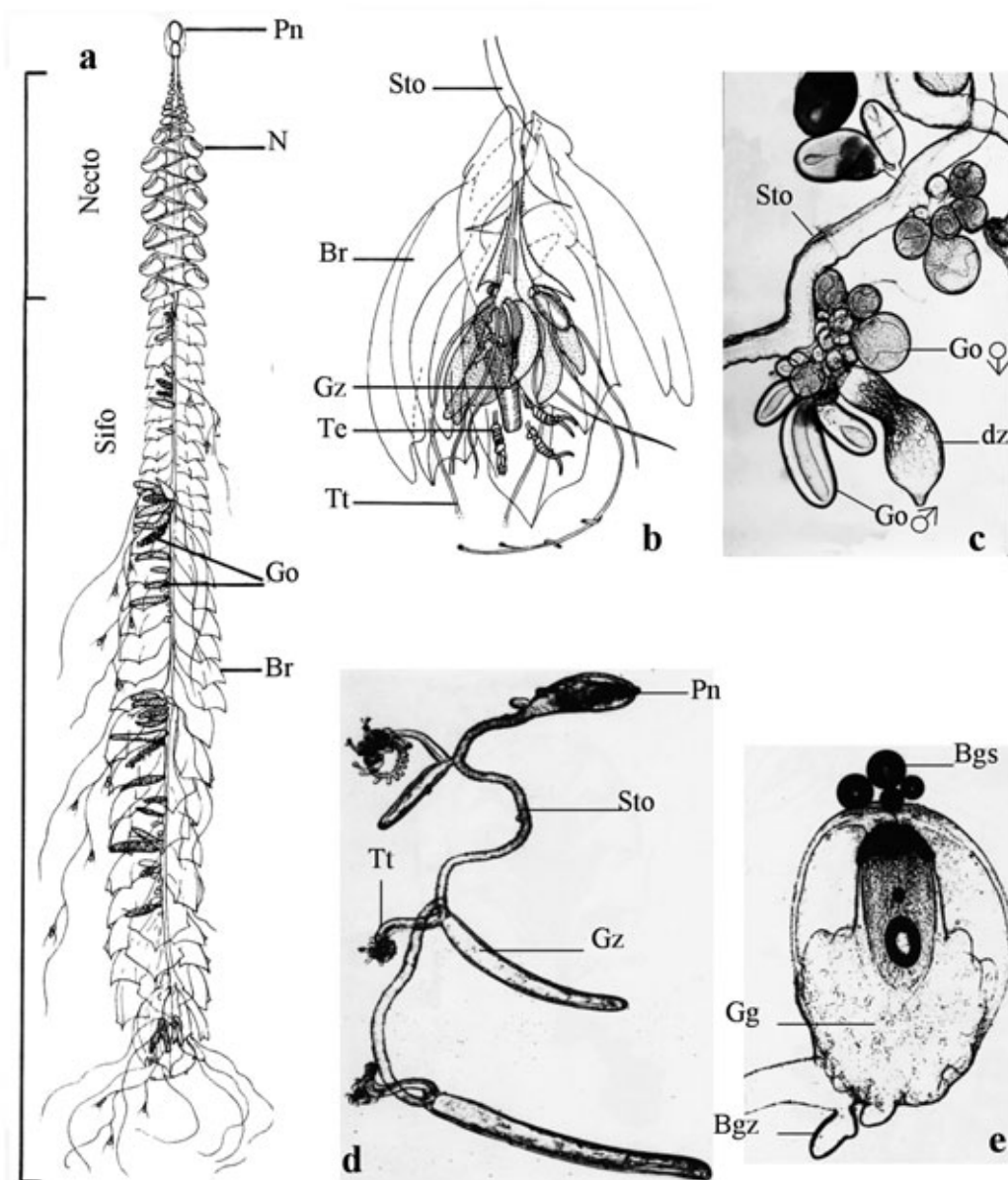
Da: Kramp, 1959; Russel 1953



Trachimeduse. *Liriope tetraphylla* a-b: a medusa adulta (scala 5 mm); b giovane medusa (scala 0.25 mm). *Aglaura hemistoma*: c medusa adulta nella forma con i tentacoli poco sviluppati, (scala 3 mm). *Rhopalonema velatum*: d medusa adulta, (scala 3 mm).

Cc, canale centripeto; Ttin, tentacolo interradiale. Altre abbreviazioni a pag. 13 del Vol.1

Da: Mayer, 1910; Russel 1953.

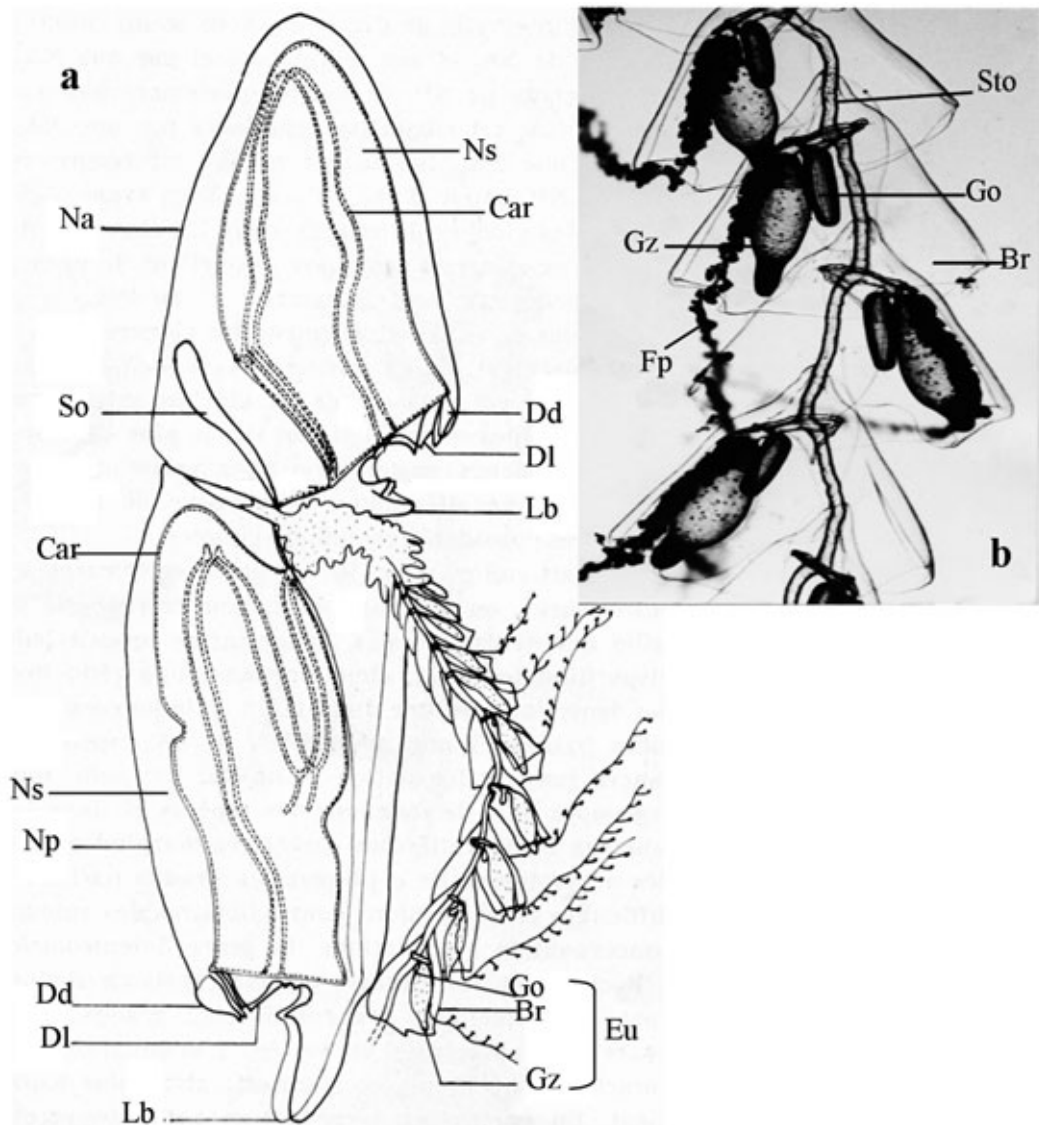


Sifonofori Physonectae. *Agalma elegans* a-b: a colonia intera, visione laterale; b parte distale del sifosoma. *Nanomia bijuga* c: stolone con grappolo di gonofori e dattilozooide.

Sifonofori Cystonectae. *Rhizopysa filiformis* d-e: d giovane colonia, visione laterale; e pneumatofora che rilascia bolle di gas dal poro apicale.

Bgs, bolle di gas; **Bgz**, bozza di gastrozoide; **Gg**, ghiandola del gas. Altre abbreviazioni a pag. 25 del Vol. 1

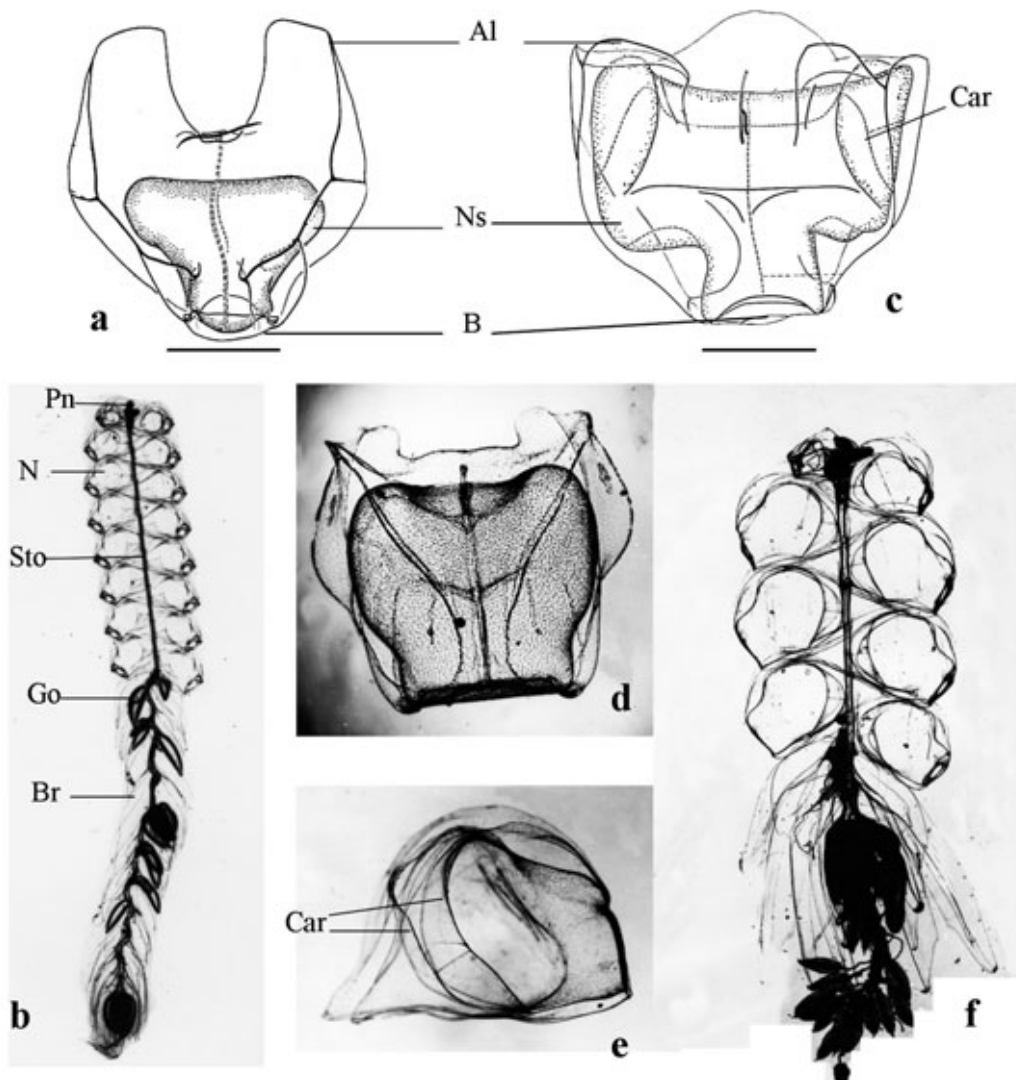
Da: Carré, 1969, modificato; Kirkpatrick & Pugh, 1984.



Sifonofori Calycophorae. *Sulculeolaria quadrivalvis* a-b: a struttura della colonia poligastrica, visione laterale; b quattro cormidi attaccati allo stolone.

Dd, dente dorsale; DI, dente laterale. Altre abbreviazioni a pag. 25 del Vol.1

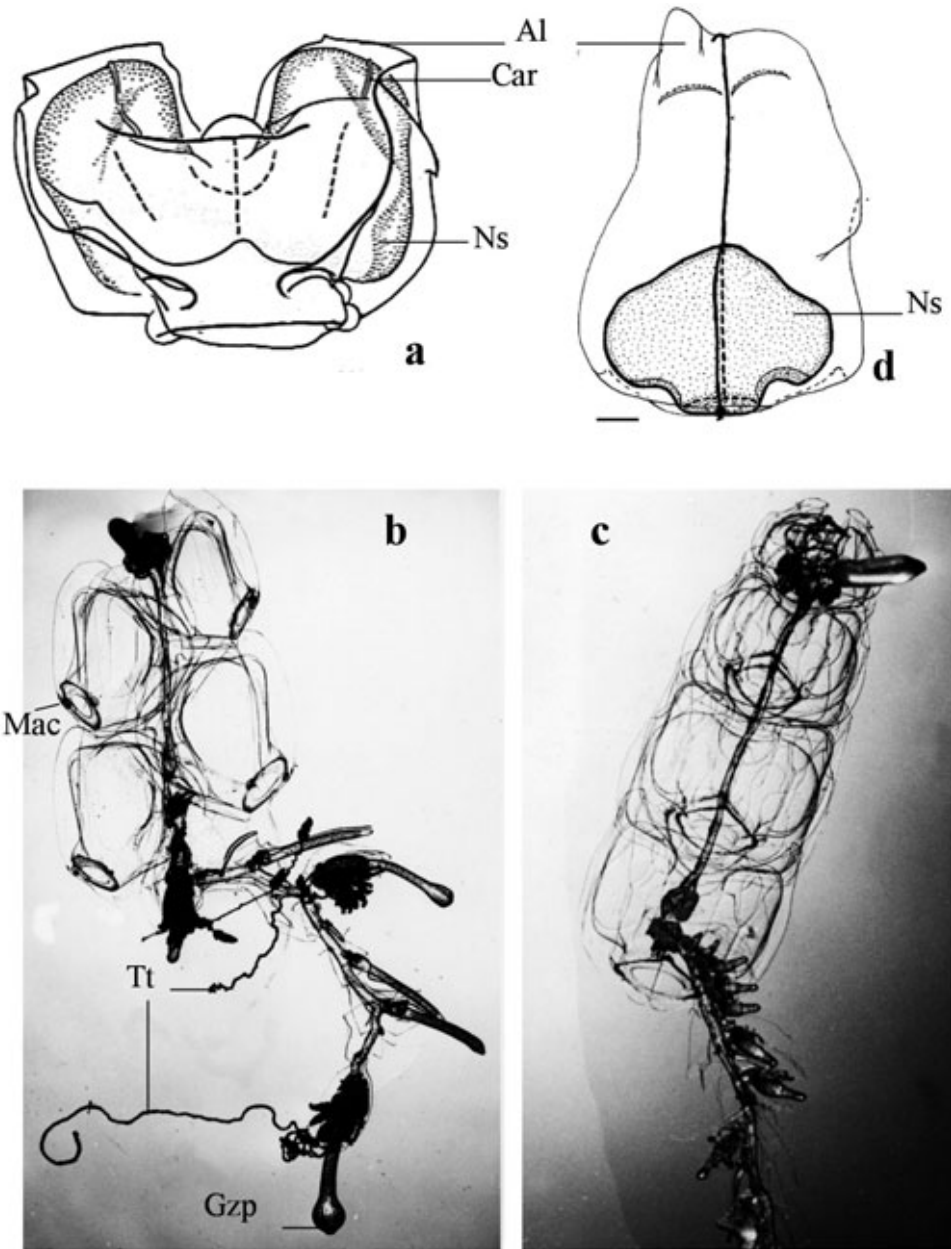
Da: Carré, 1979.



Physonectae. Agalma elegans a-b: a nectophoro, visione anteriore (scala 2 mm); b colonia poligastrica. *Halistemma rubrum* c-f: c nectophoro, visione posteriore (scala 2 mm); d giovane nectophoro, visione posteriore; e giovane nectophoro, visione laterale; f colonia, visione laterale.

Al, ali. Altre abbreviazioni a pag. 25 del Vol.1

Da: Totton, 1954; Carré & Carré, 1993.

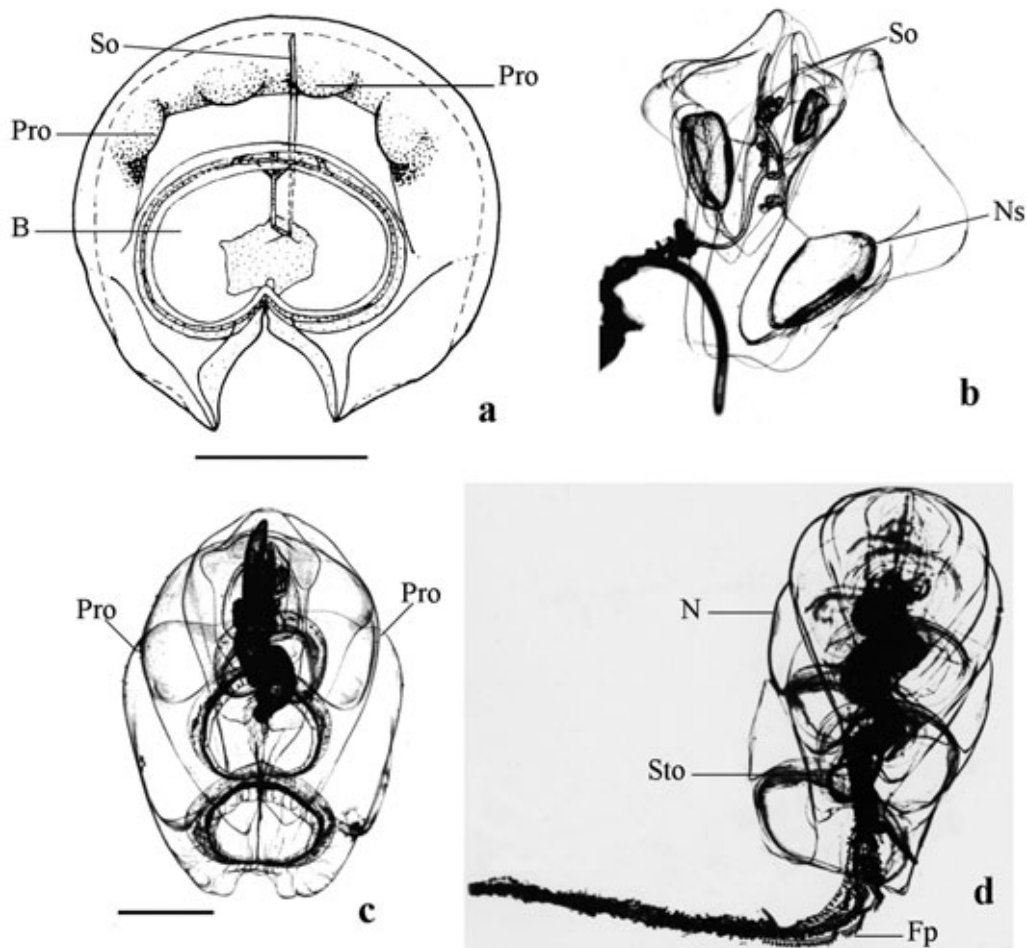


Physonectae. Nanomia bijuga a-c: a nectophoro, visione anteriore (scala 0.5 mm); b giovane colonia con quattro nectofori; c colonia adulta con quattro nectofori, visione posteriore.

Forskalia edwardsi d: nectophoro, visione anteriore (scala 0.8 mm).

Al, ala; Gzp gastrozoide primario; Mac, macchia. Altre abbreviazioni a pag. 25 del Vol. 1

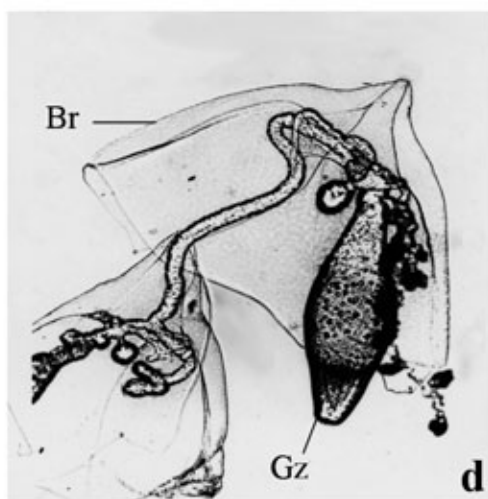
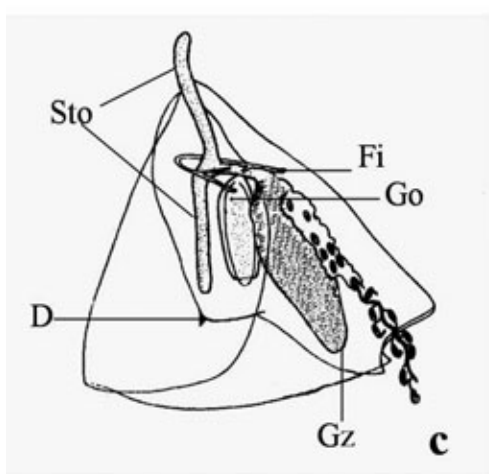
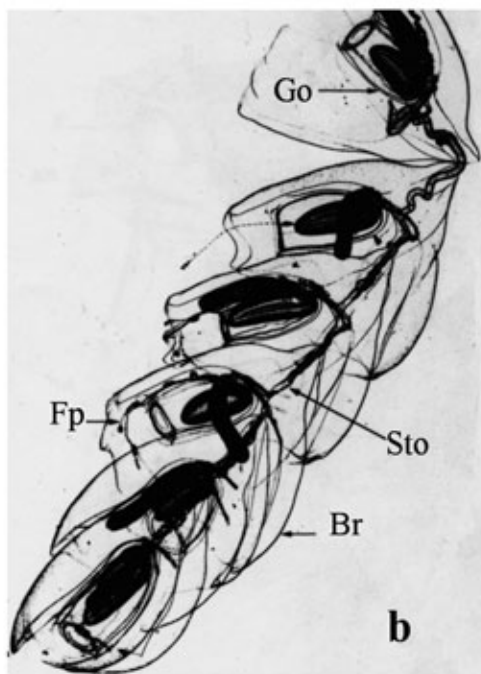
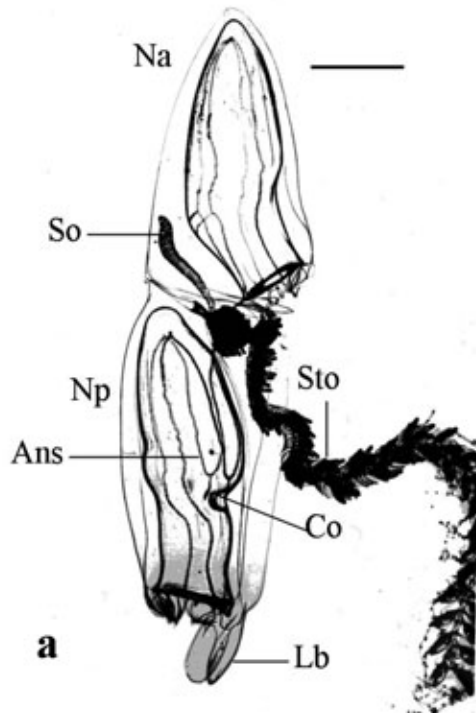
Da: Totton, 1954; Pugh 2003.



Calycophorae. *Hippopodius hippocampus* a-d: a nectophore, visione ventrale (scala 5 mm); b giovane colonia con tre nectofori, visione laterale; c colonia adulta, visione anteriore (scala 2.5 mm); d colonia adulta, visione laterale.

Pro, protuberanza. Altre abbreviazioni a pag. 25 del Vol.1

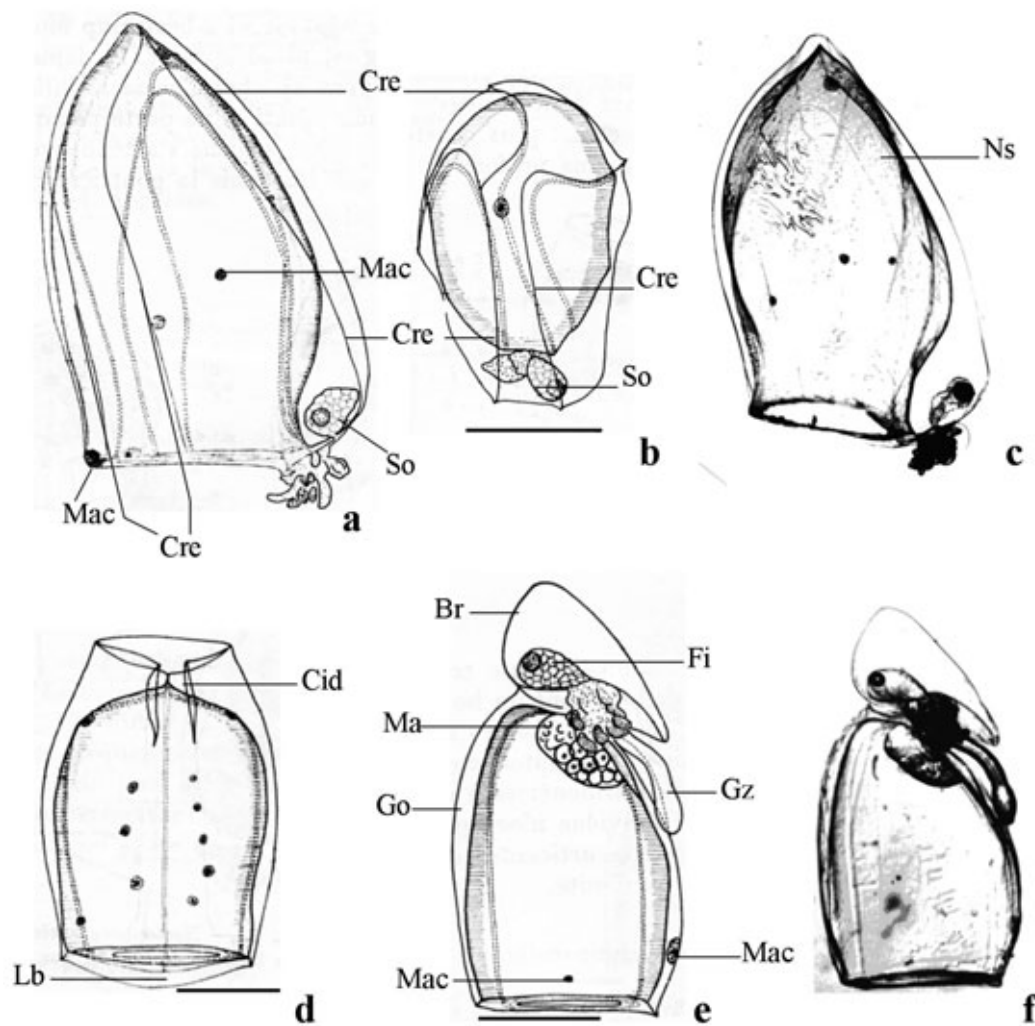
Da: Bigelow & Sears, 1937; Carré, 1968; Carré & Carré, 1993.



Calycophorae. Sulculeolaria quadrivalvis a-d: a colonia poligastrica (scala 3 mm); b cormidi della parte terminale dello stolone; c, d brattea.

Ans, ansa; **Co**, costrizione; **D**, dente. Altre abbreviazioni a pag. 25 del Vol.1

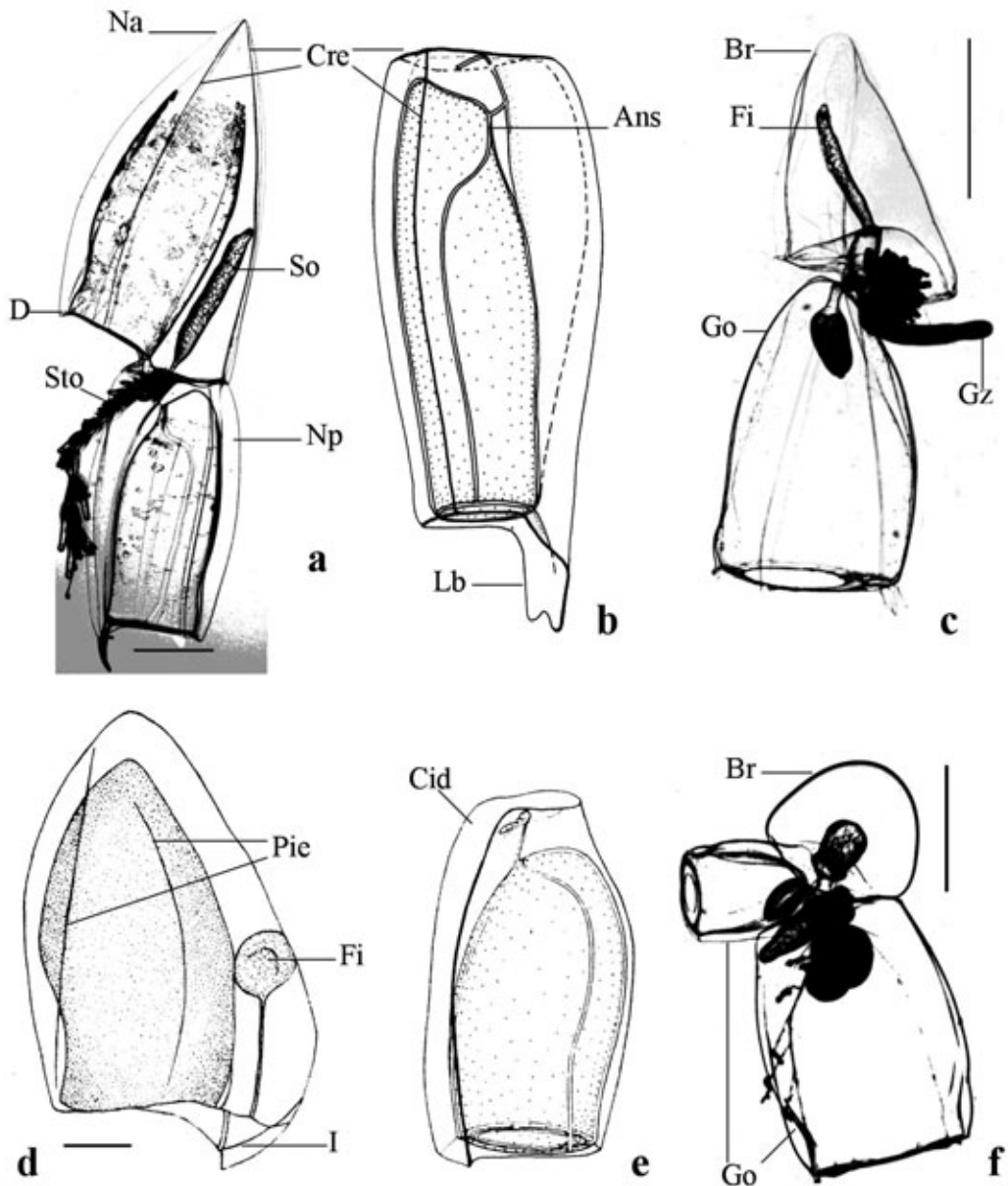
Da: Carré, 1979; Carré & Carré, 1993.



Calycophorae. *Lensia campanella* a-f: a nectophore anteriore, visione laterale (scala 1 mm); b nectophore anteriore, visione anteriore (scala 1 mm); c nectophore anteriore, visione laterale; d nectophore posteriore, visione ventrale (scala 1 mm); e-f eudoxide, visione laterale (scala 1 mm).

Cid, canale idroeiale; Cre, cresta; Ma, manubrio; Mac, macchia. Altre abbreviazioni a pag. 25 del Vol.1

Da: Carré, 1968.

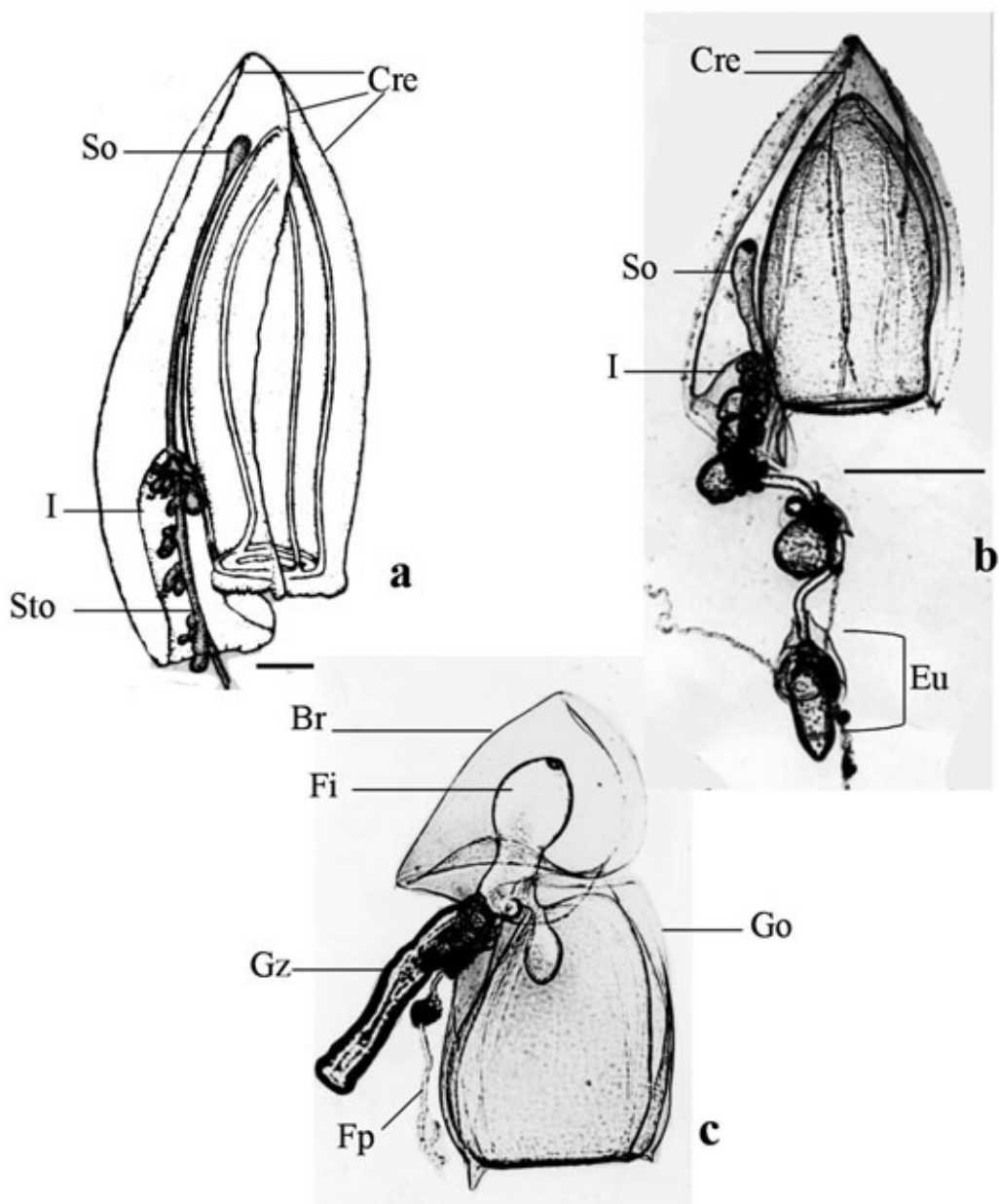


Calycophorae. Lensia conoidea a-c: a colonia polistarica, (scala 1 mm); b nectoforo posteriore, visione laterale; c eudoxide, (scala 2 mm).

Lensia subtilis d-f: d nectoforo anteriore, visione laterale (scala 0.5 mm); e nectoforo posteriore; f eudoxide, (scala 1 mm).

Ans, ansa; **Cid**, canale idroeciale; **Cre**, cresta; **D**, dente; **Pie**, piega. Altre abbreviazioni a pag. 25 del Vol.1

Da: Kirkpatrick & Pugh, 1984; Totton, 1954.

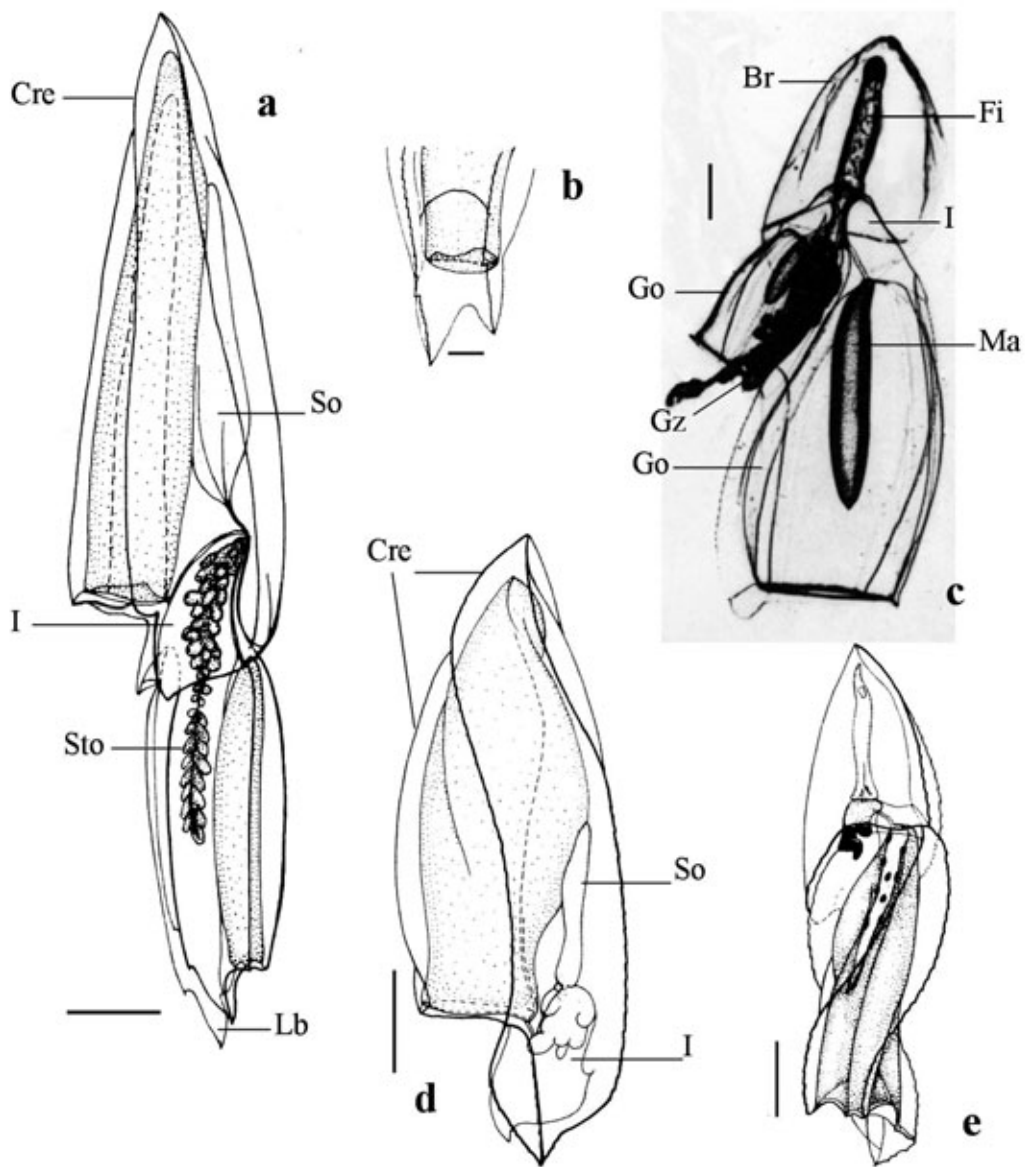


Calycophorae. Muggiae atlantica: a nectoforo (scala 1 mm).

Muggiae kochi b-c: b colonia poligastrica adulta sul punto di rilasciare un eudoxide (scala 1 mm); c giovane eudoxide (scala 1 mm).

Cre, cresta. Altre abbreviazioni a pag. 25 del Vol.1

Da: Carré & Carré, 1991; Moser, 1925.

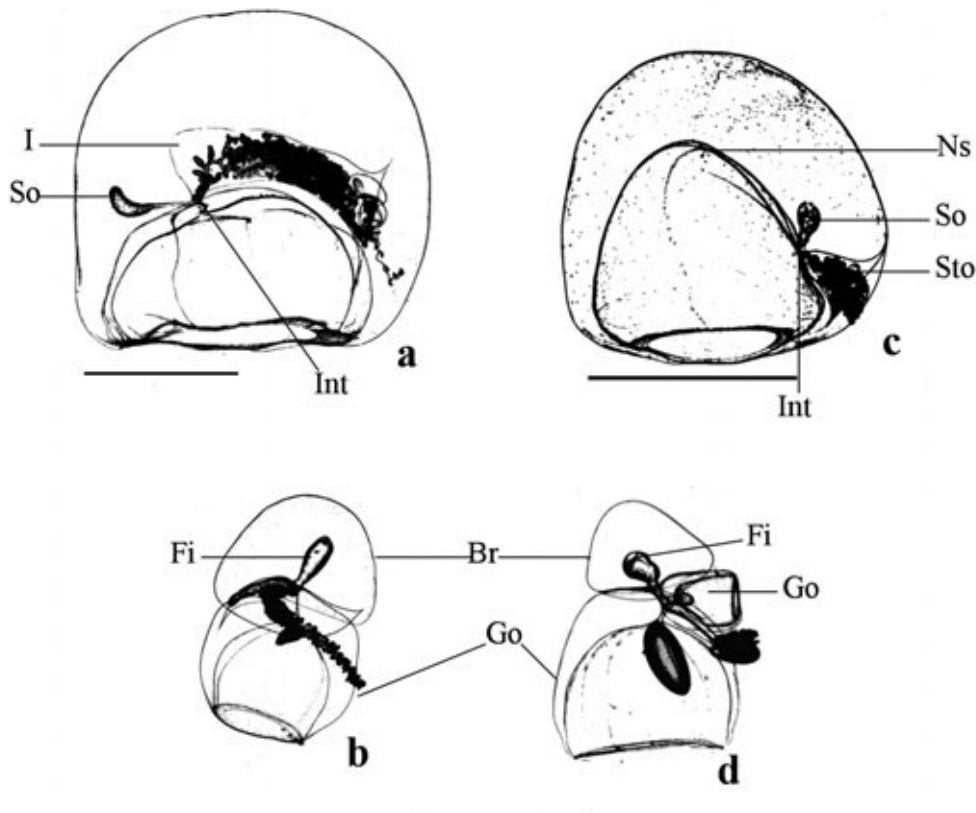


Calycophorae. Chelophyses appendiculata a-c: a colonia polistarica (scala 2 mm); b particolare della lamella basale del nectoforo posteriore, visione dorsale (scala 4 mm); c eudoxide (scala 1 mm).

Eudoxoides spiralis d-e: d nectoforo (scala 1.5 mm); e giovane eudoxide (scala 1 mm).

Cre, cresta; Ma, manubrio. Altre abbreviazioni a pag. 25 del Vol.1

Da: Kirkpatrick & Pugh, 1984.

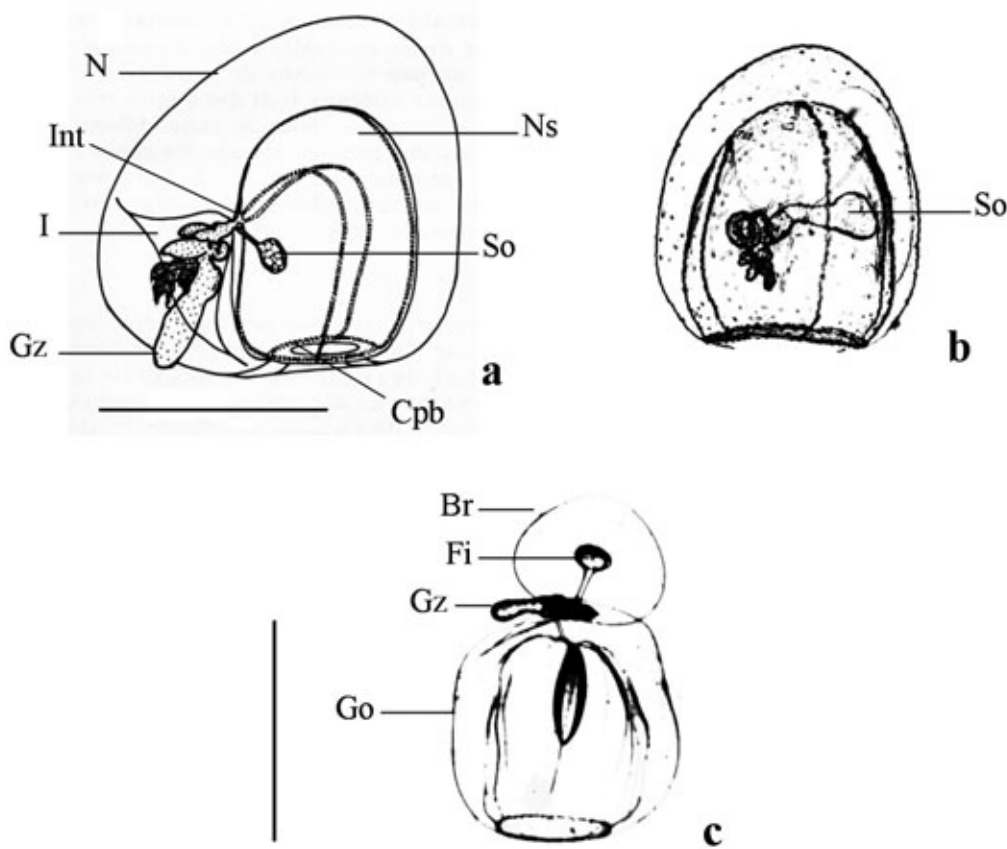


Calycophorae. Sphaeronectes gracilis a-b: a colonia con lo stolone ritratto dentro l'idroecio, visione laterale (scala 2 mm); b eudoxide (scala 1 mm).

Sphaeronectes irregularis c-d: c giovane colonia con lo stolone ritratto, visione laterale (scala 2 mm); d eudoxide (scala 1 mm).

Int, intersezione dei canali radiali. Altre abbreviazioni a pag. 25 del Vol.1

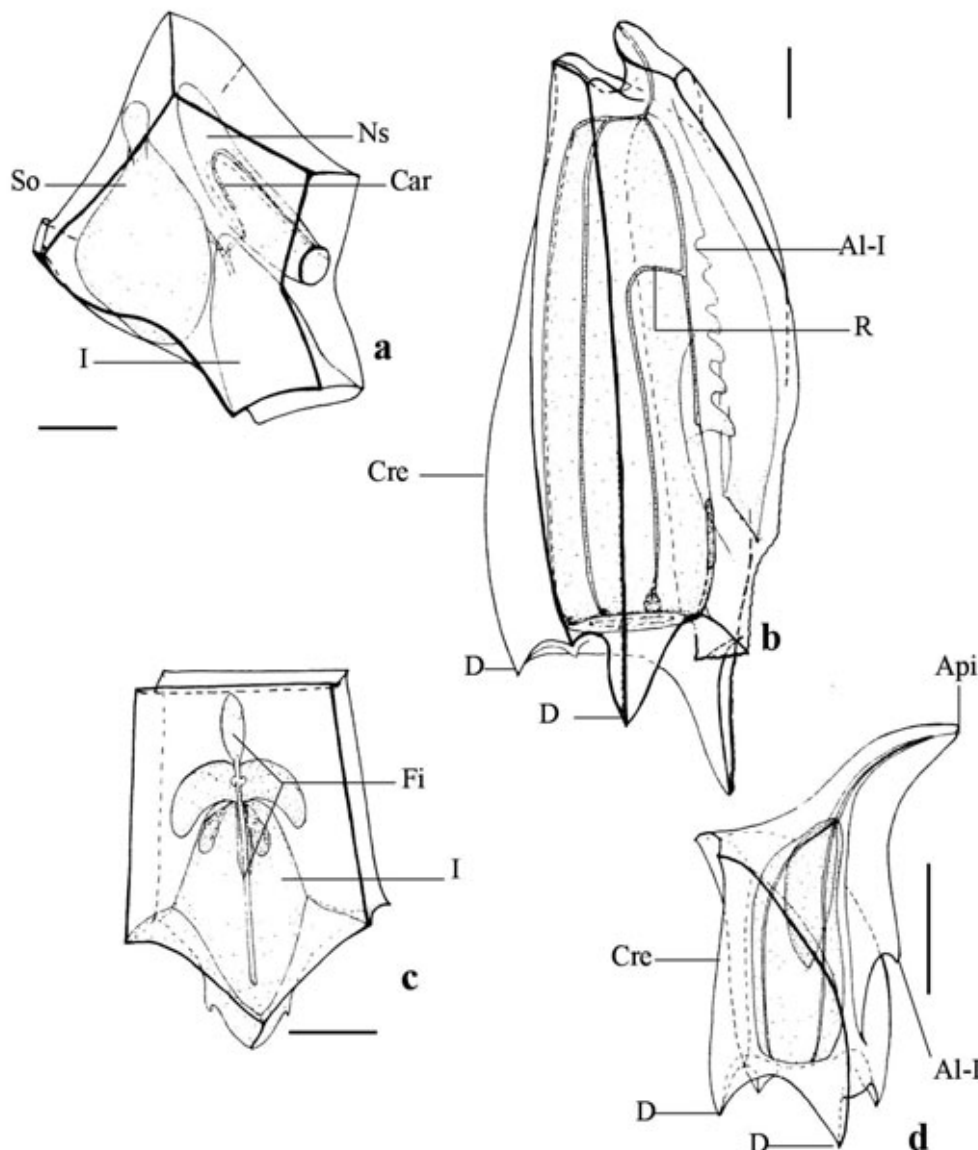
Da: Carré, 1968.



Calycophorae. Sphaeronectes gamulinini a-c: a giovane colonia, visione laterale (scala 1 mm); b giovane colonia, visione ventrale; c eudoxide (scala 1 mm).

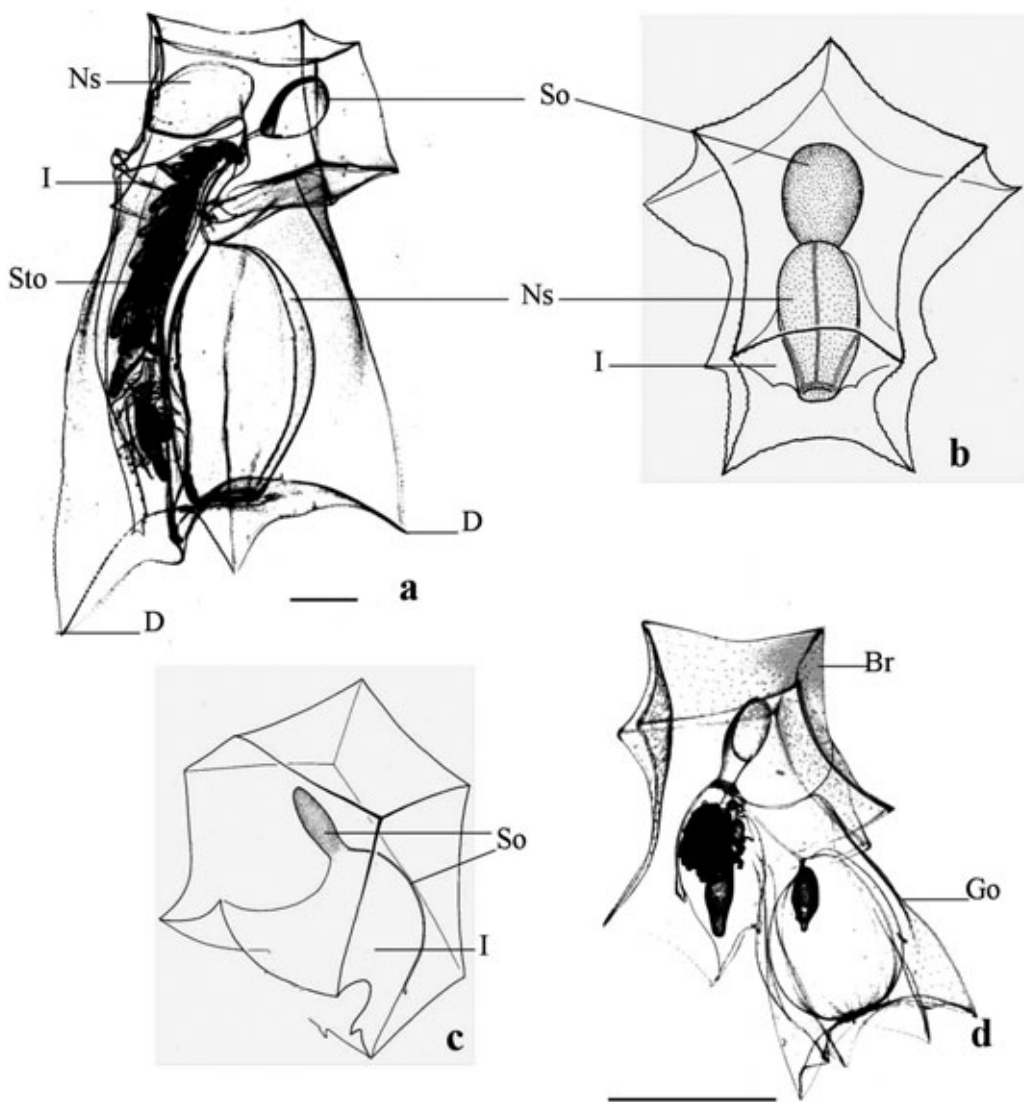
Cpb, canale peribuccale; **Int**, intersezione dei canali radiali. Altre abbreviazioni a pag. 25 del Vol. 1

Da: Carré, 1966, 1968.



Calycophorae. Abylopsis tetragona a-d: a nectoforo anteriore, visione laterale (scala 1 mm); b nectoforo posteriore, visione laterale (scala 2 mm); c brattea, visione dorsale (scala 1 mm); d gonoforo (scala 1 mm). Al-I, ala idroeciale; Api, apice; Cre, cresta; D, dente; Int, intersezione dei canali radiali; R, ramificazione. Altre abbreviazioni a pag. 25 del Vol.1

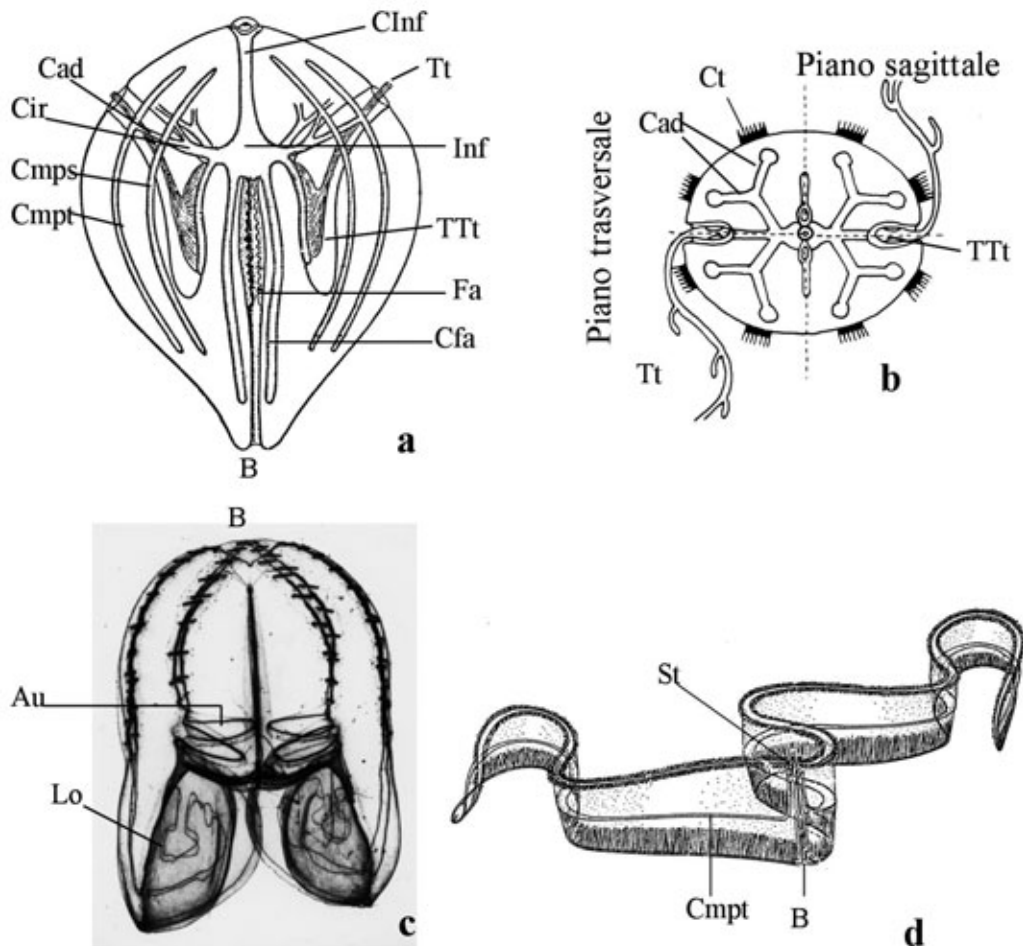
Da: Kirkpatrick & Pugh, 1984.



Calycophorae. *Bassia bassensis* a-d: a colonia poligastrica con stolone ritratto dentro l'idroecio (scala 1 mm); b nectoforo anteriore, visione dorsale; c brattea, visione latero-ventrale (scala 1 mm); d eudoxide, visione laterale (scala 1 mm).

D, dente. Altre abbreviazioni a pag. 25 del Vol.1

Da: Carré & Carré, 1993; Pagès & Gili, 1992 (figura c modificata).



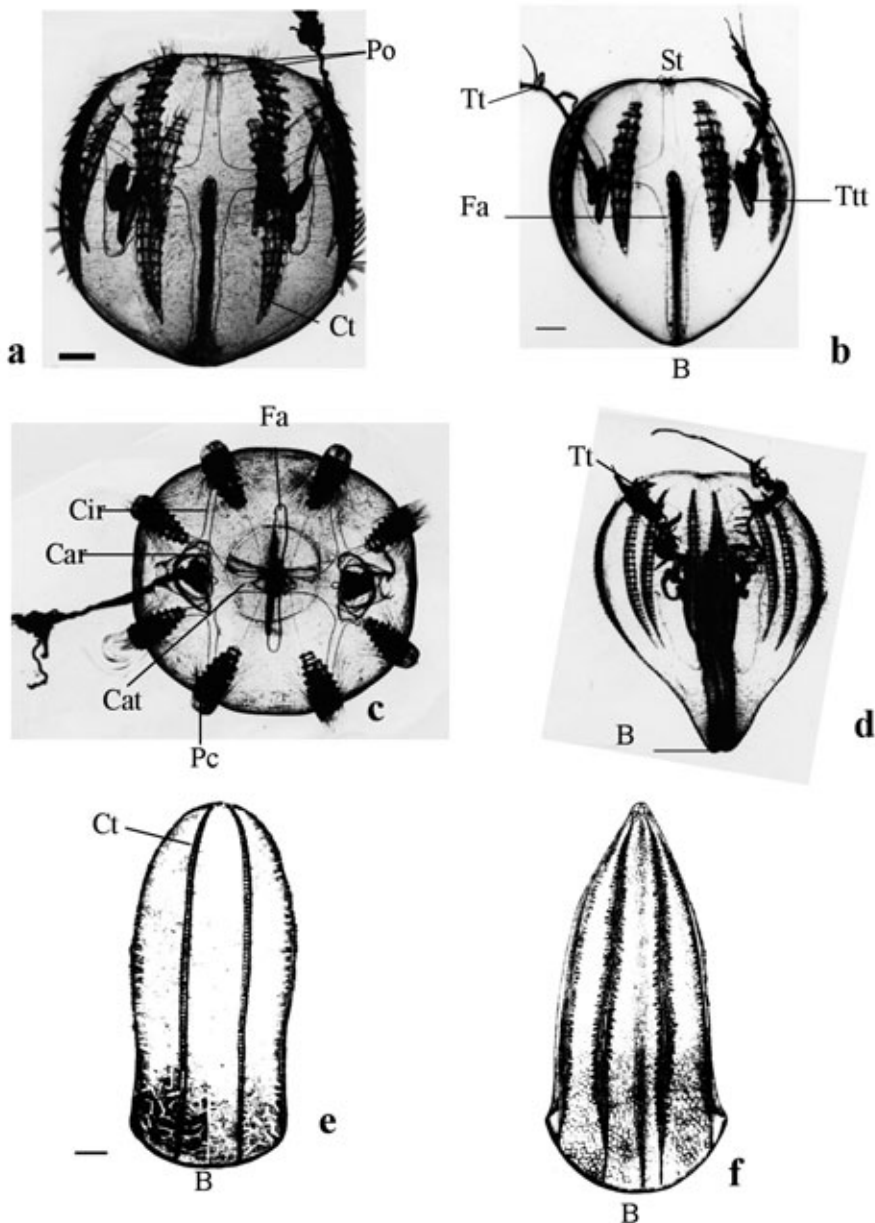
Cydippidi a-b: a apparato gastro-vascolare di Cydippe, visto lateralmente; b apparato gastro-vascolare di Cydippe, visto dal polo aborale.

Lobati c: *Deiopea kaloktenota*, visione laterale.

Cestidi d: *Cestum veneris*.

Au, auricola; B, bocca; Cad, canale adradiale; Cfa, canale faringeo; Cir, canale interradiale; CInf, canale dell'infundibolo; Cmps, canale meridiano parasagittale; Cmpt, canale meridiano paratrasversale; Ct, serie di cteni; Fa, faringe; Inf, infundibolo; Lo, lobo orale; St, statocisti; Tt, tentacoli; TTt, tasca tentacolare.

Da : Hyman, 1940; Carré & Sardet, 1984; Harbison & Madin, 1982



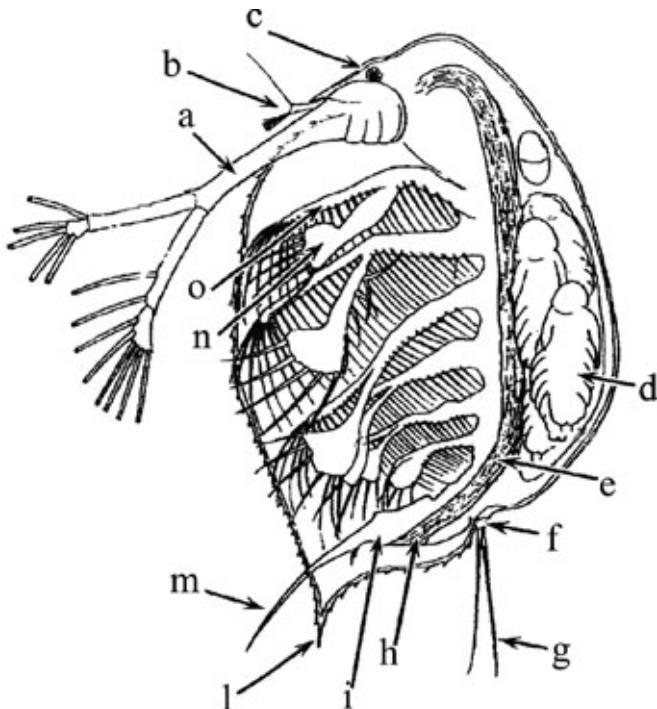
Cydippidi. Pleurobrachia rhodopis a-c: a individuo adulto, visione laterale (scala 2 mm); b individuo giovane (scala 100 µm); c individuo adulto, visto dal polo aborale.

Hormiphora plumosa: d individuo adulto.

Beroidei. Beroe ovata: e individuo adulto, scala 2 mm; *Beroe forskali* adulta: f.

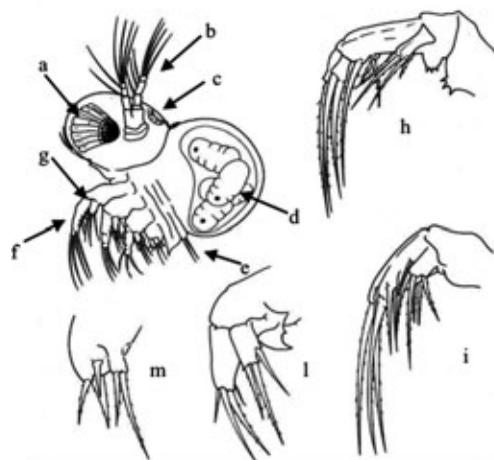
B, bocca; Car, canale radiale; Cir, canale interradiale; Cat, canale trasversale; Fa, faringe; Po, polo escretore; Ct, serie di cteni; St, statocisti; Tt, tentacoli; TTt, tasca tentacolare.

Da: Chun, 1880.



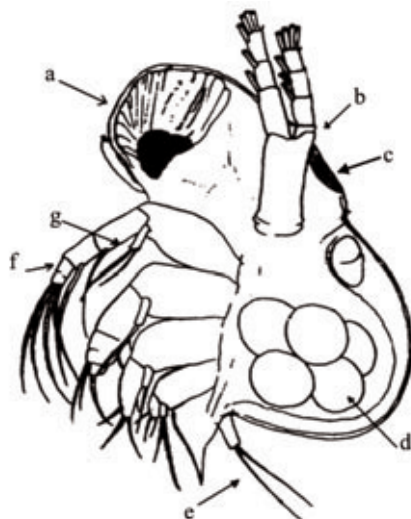
Penilia avirostris. Femmina: animale intero (visione laterale); a antenna; b antennule; c occhio composto; d embrioni; e intestino; f processo caudale; g sete caudali; h ano; i postabdomine; l spina del carapace; m artiglio terminale.

Ridisegnato da: Boltovskoy D. 1999



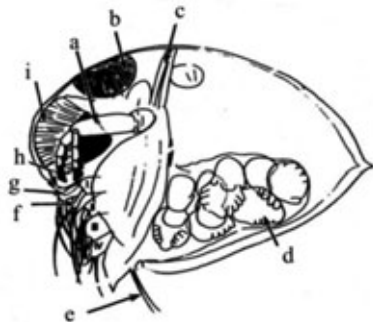
Podon polyphemoides. Femmina: animale intero (visione laterale); a occhio composto; b antenne; c organo nucale; d embrioni; e sete caudali; f esopodite; g endopodite; h 1°pereiopode; i 2° pereiopode; l 3° pereiopode; m 4° pereiopode.

Da: Margaritora 1985



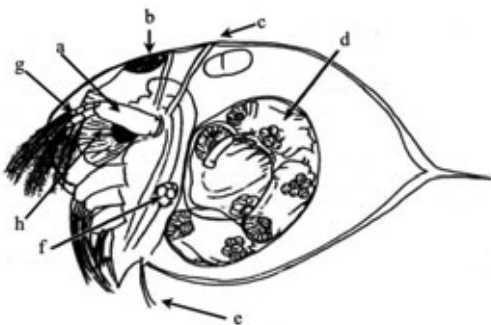
Podon intermedius. Femmina: animale intero (visione laterale); a occhio composto; b antenna; c organo nucale; d embrioni; e sete caudali; f esopodite; g endopodite.

Ridisegnato da: Boltovskoy D. 1999



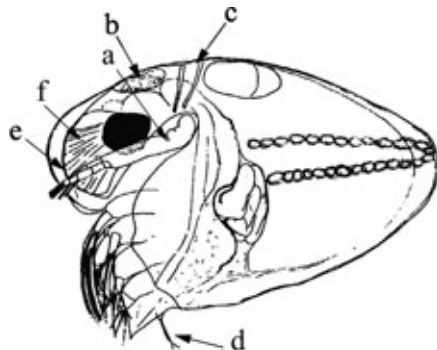
Evadne nordmanni. Femmina: animale intero (visione laterale); a antenna; b organo nucleare; c muscoli sollevatori antenne; d embrioni; e sete caudali; f esopodite; g endopodite; h antennule; i occhio composto.

Ridisegnato da: Boltovskoy D. 1999



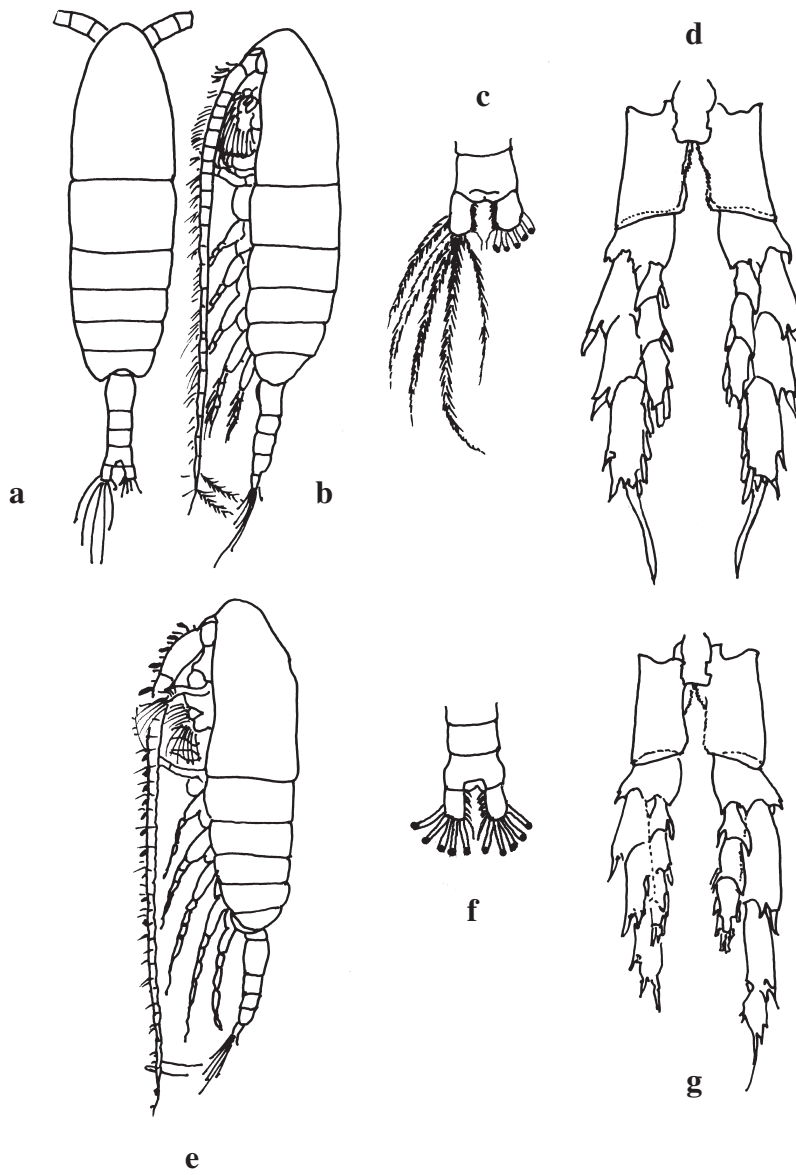
Evadne spinifera. Femmina: animale intero (visione laterale); a antenna; b organo nucleare; c muscoli sollevatori antenne; d embrioni; e sete caudali; f uova; g antennule; h occhio composto.

Ridisegnato da: Boltovskoy D. 1999



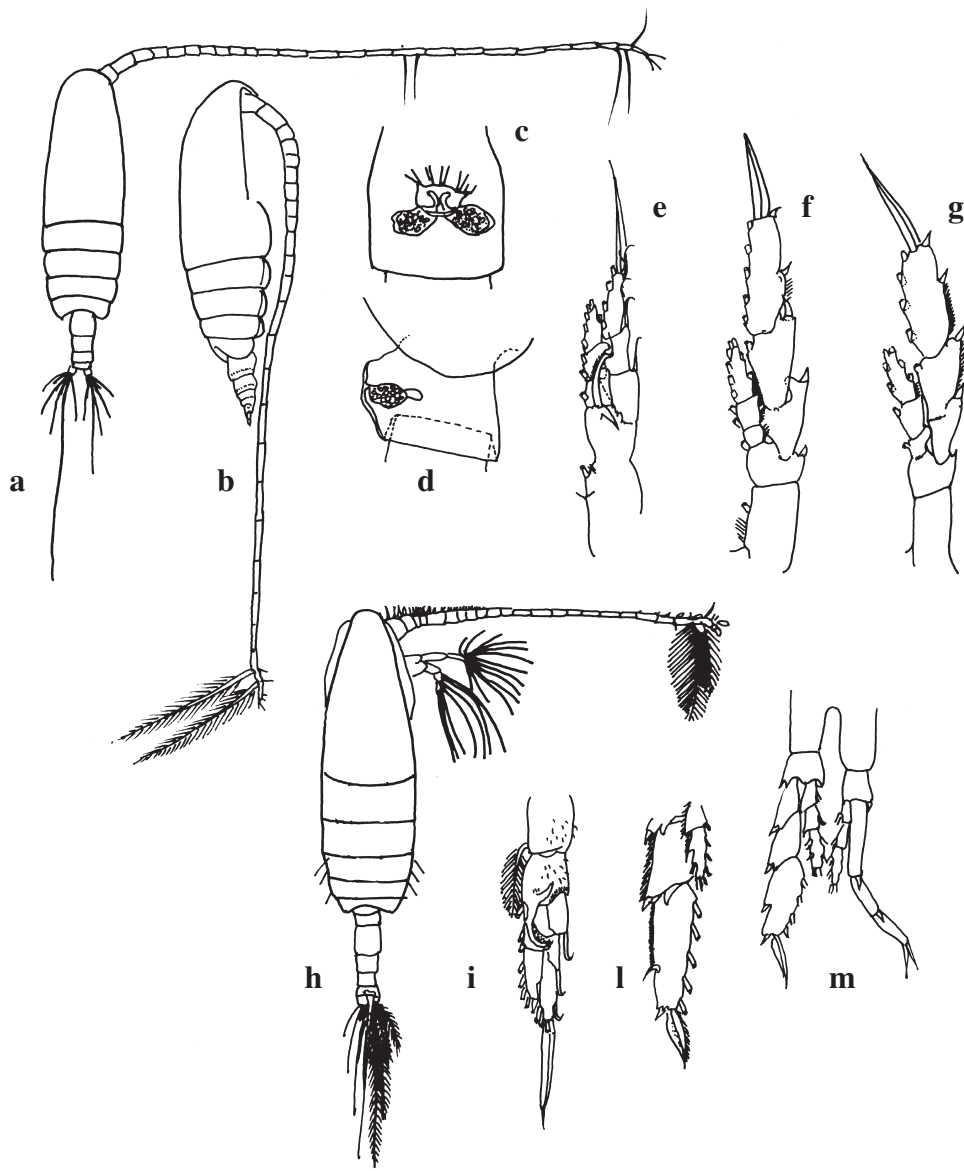
Evadne tergestina. Femmina: animale intero (visione laterale); a antenna; b organo nucleare; c muscoli sollevatori antenne; d sete caudali; e antennule; f occhio composto.

Ridisegnato da: Boltovskoy D. 1999



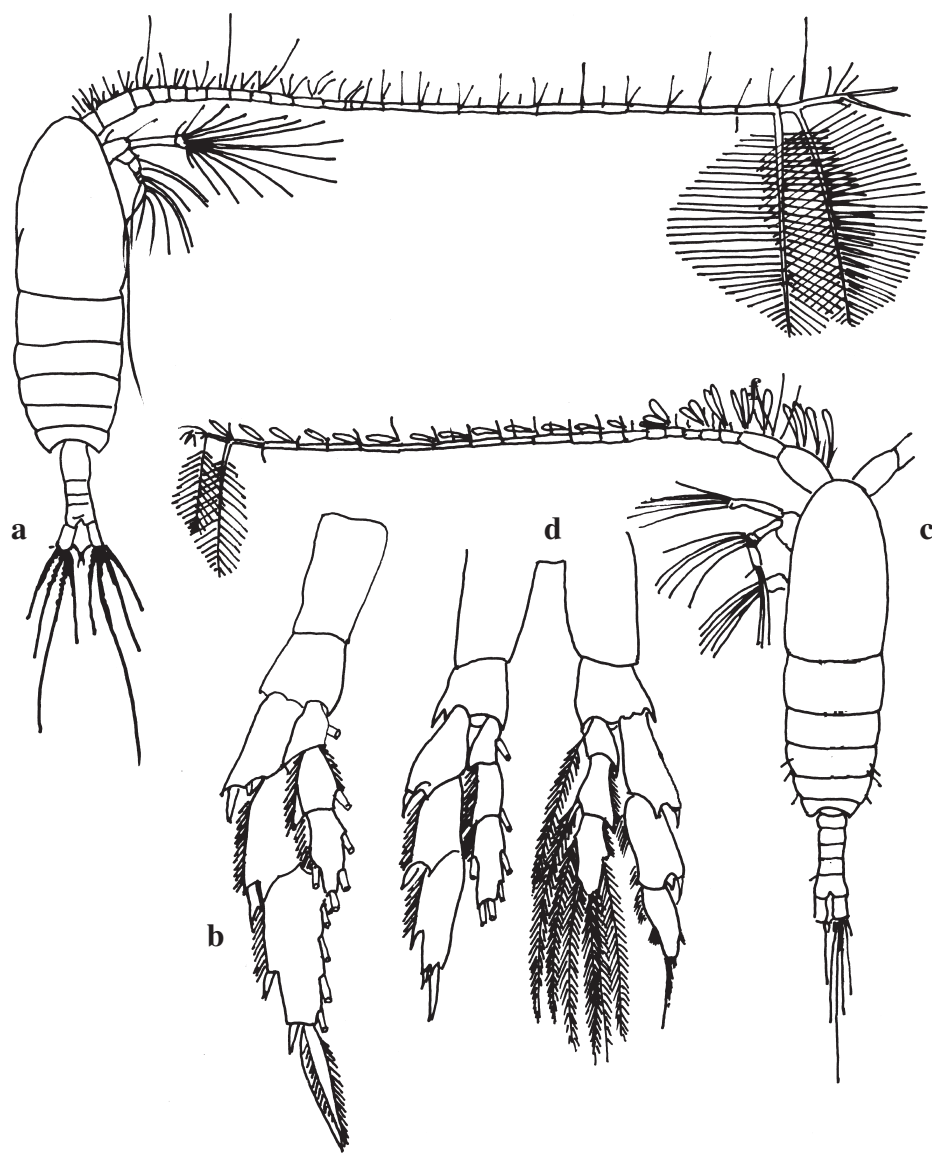
Calanus helgolandicus. Femmina a-d: a individuo intero (visione dorsale); b individuo intero (visione laterale); c segmento anale e furca; d P5. Maschio e-g: e individuo intero (visione laterale); f segmenti terminali dell'urosoma e furca; g P5.

Ridisegnato da: Rose, 1933; Fleminger & Hülsemann, 1987.



Neocalanus gracilis. Femmina a-g: a individuo intero (visione dorsale); b individuo intero (visione laterale); c Ur (visione ventrale); d Ur (visione laterale); e P1; f P2; g P5. Maschio h-m: h individuo intero (visione dorsale); i P1; l P3 (ultimi due segmenti dell'Exp ed End); m P5.

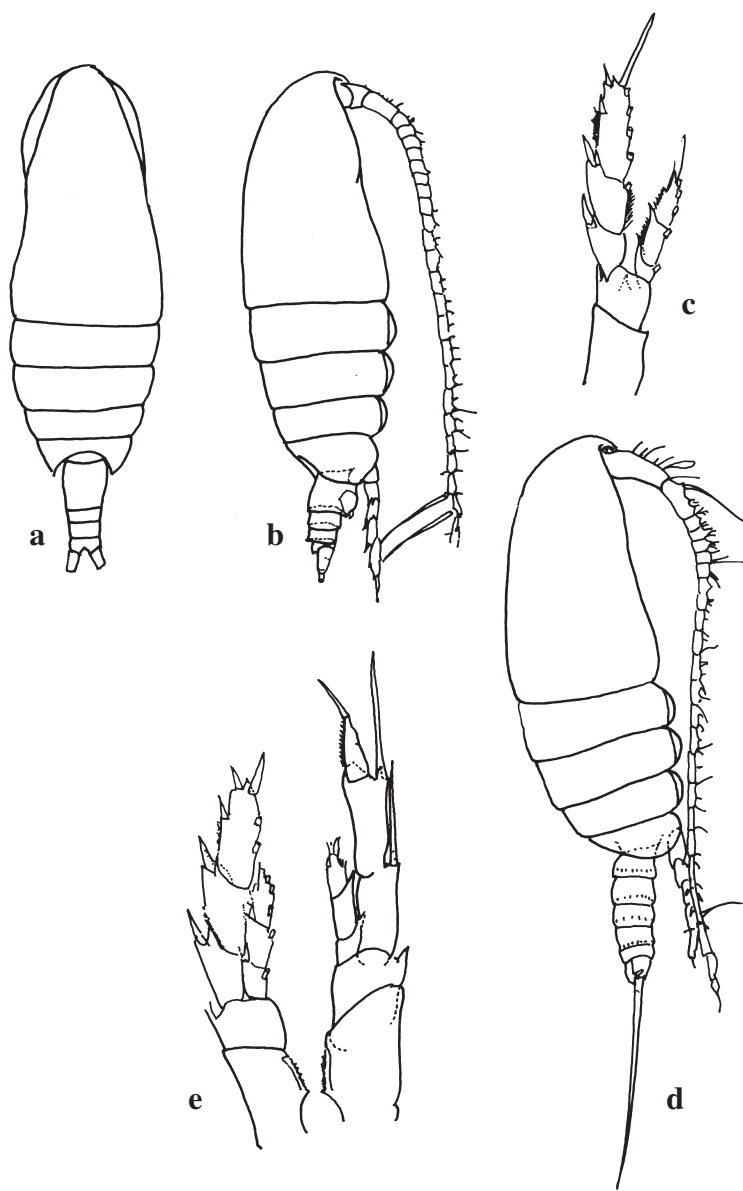
Ridisegnato da: Rose, 1933; Bradford, 1994; Bradford-Grieve *et al.*, 1999.



Mesocalanus tenuicornis. Femmina a,b : a individuo intero (visione dorsale); b P5. Maschio c,d : c individuo intero (visione dorsale); d P5.

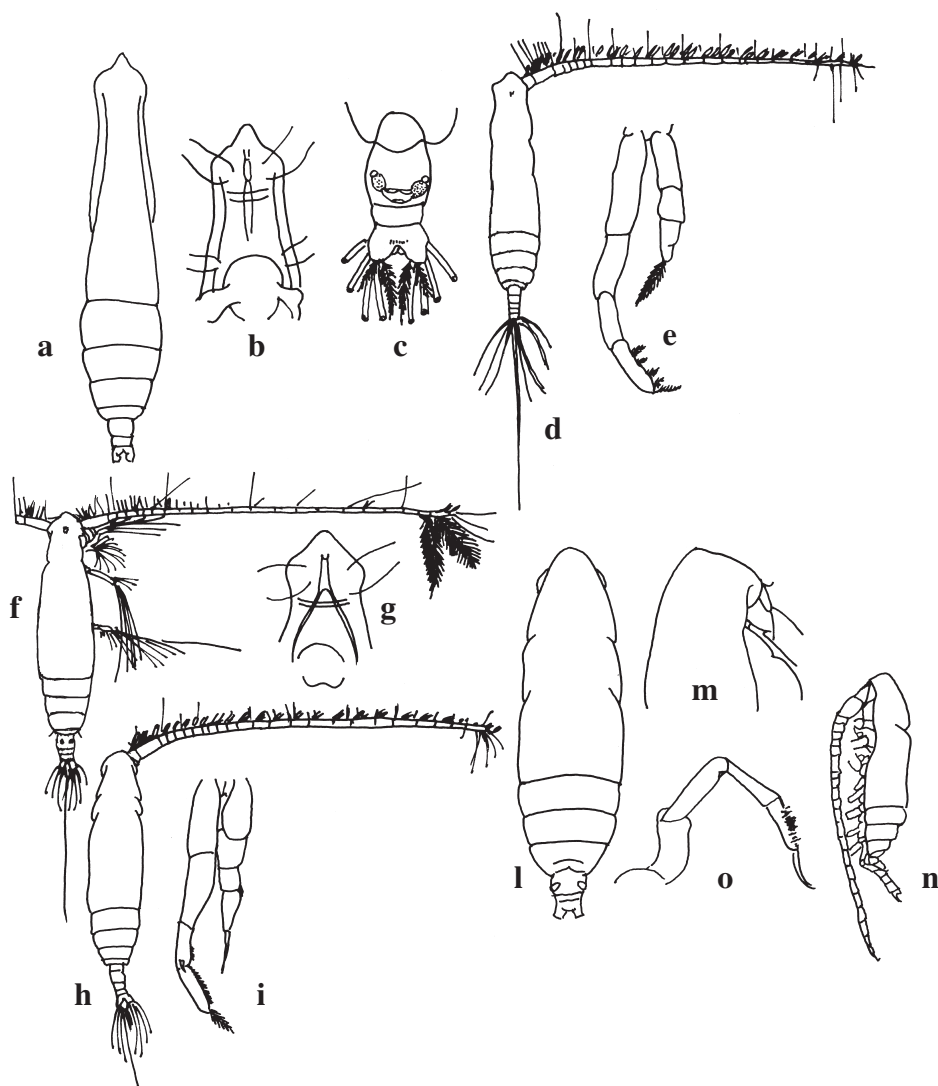
Ridisegnato da: Rose, 1933.

■ M. G. Mazzocchi - SZN, Napoli



Nannocalanus minor. Femmina a-c : a individuo intero (visione dorsale); b individuo intero (visione laterale); c P5. Maschio d,e : d individuo intero (visione laterale); e P5.

Ridisegnato da: Rose, 1933; Bradford-Grieve *et al.*, 1999.

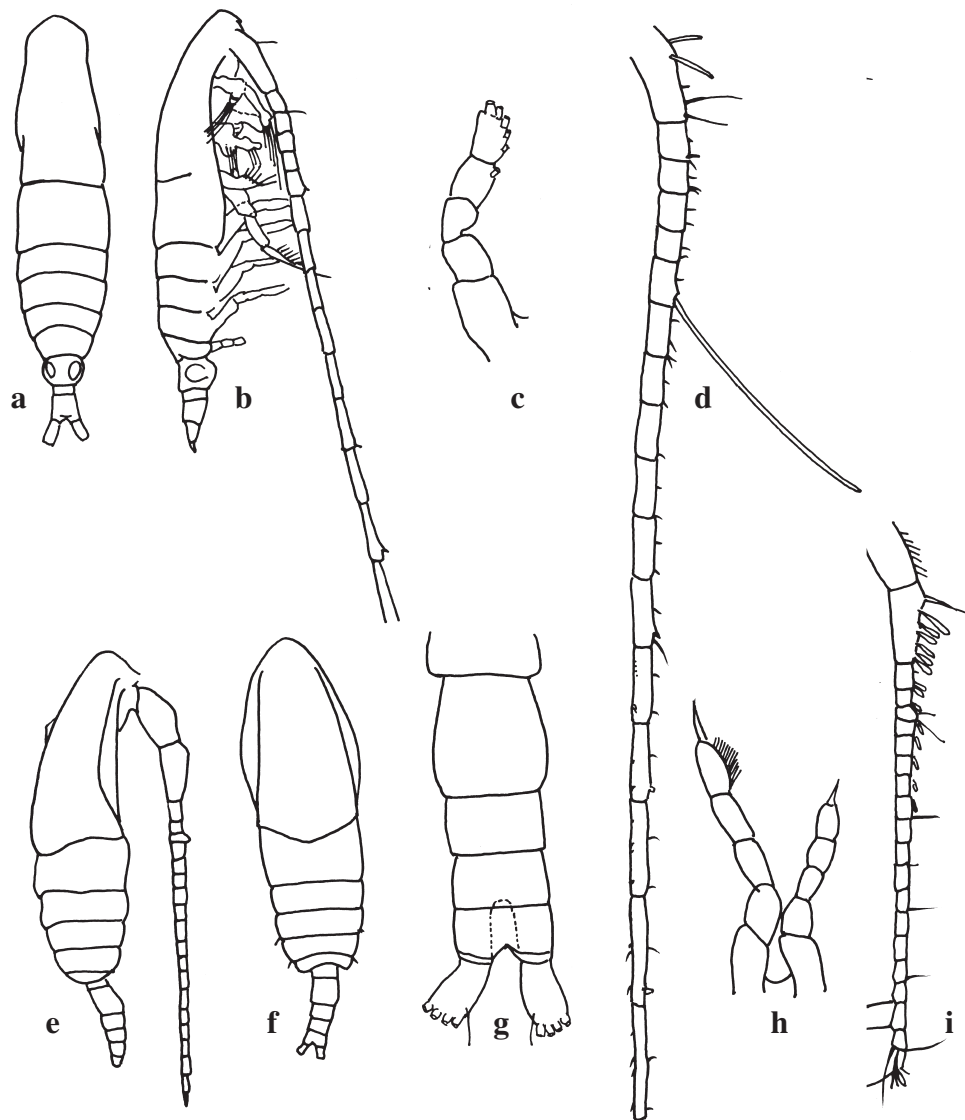


Eucalanus attenuatus. a-e Femmina a-c: a individuo intero (visione dorsale); b testa con rostro (visione ventrale); c Ur (visione ventrale). Maschio d,e: d individuo intero (visione dorsale); e P5.

Eucalanus elongatus. f-i Femmina f,g: f individuo intero (visione dorsale); g testa con rostro (visione ventrale). Maschio h,i: h individuo intero (visione dorsale); i P5.

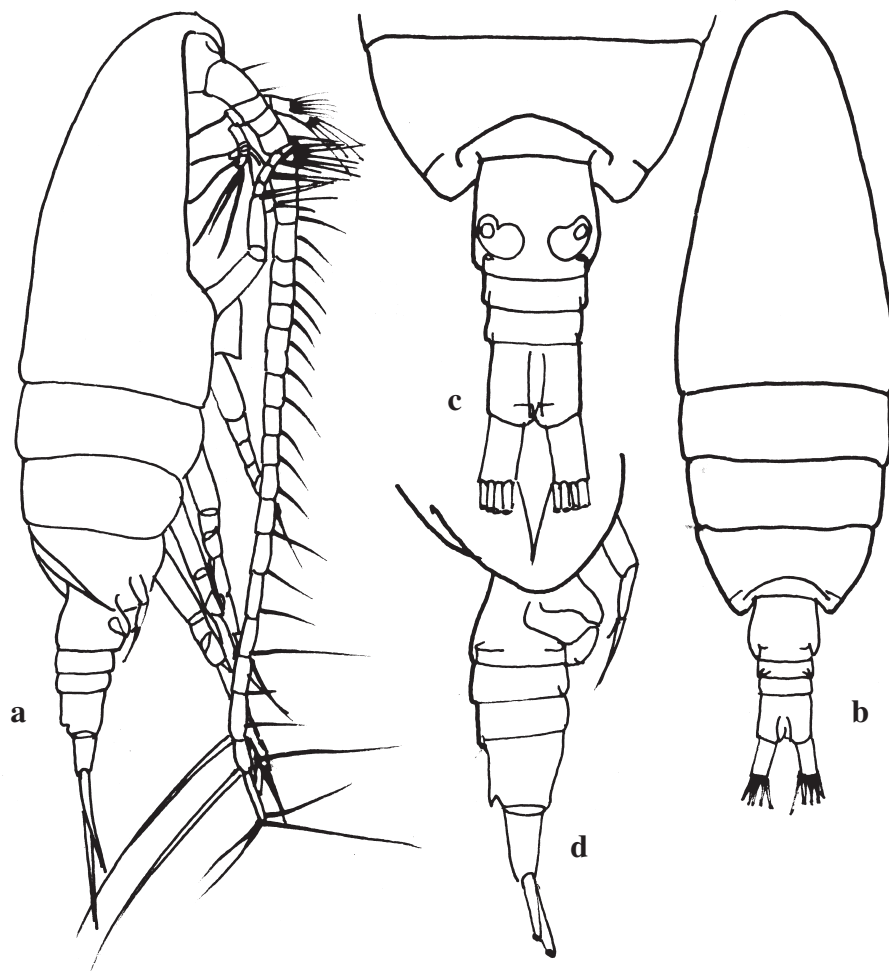
Eucalanus monachus. l-o Femmina l,m: l individuo intero (visione dorsale); m regione frontale (visione laterale). Maschio n,o: n individuo intero (visione laterale); o P5.

Ridisegnato da: Rose, 1933; Owre & Foyo, 1967.



Mecynocera clausi. Femmina a-d: a individuo intero (visione dorsale); b individuo intero (visione laterale); c P5; d A1. Maschio e-i: e individuo intero (visione laterale); f individuo intero (visione dorsale); g Ur (visione dorsale); h P5; i A1.

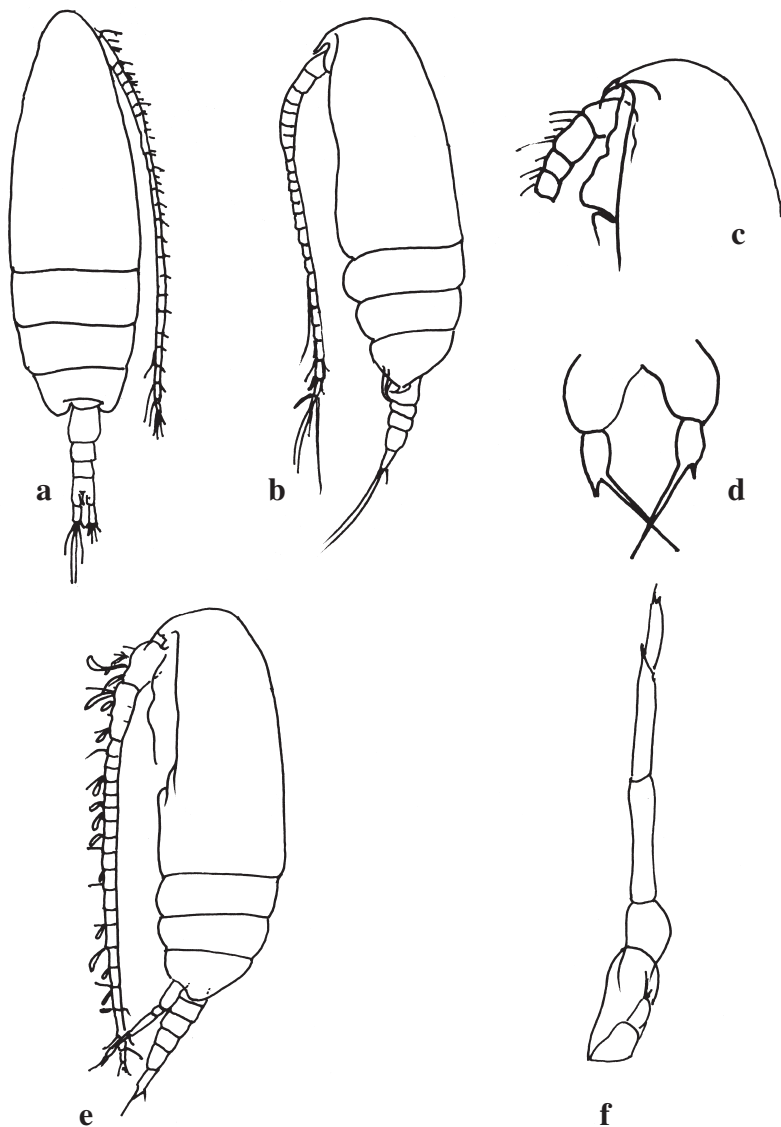
Ridisegnato da: Bradford-Grieve, 1994.



Paracalanus denudatus. Femmina a-d : a individuo intero (visione laterale); b individuo intero (visione dorsale); c Ur e Th5 (visione ventrale); d Ur (visione laterale).

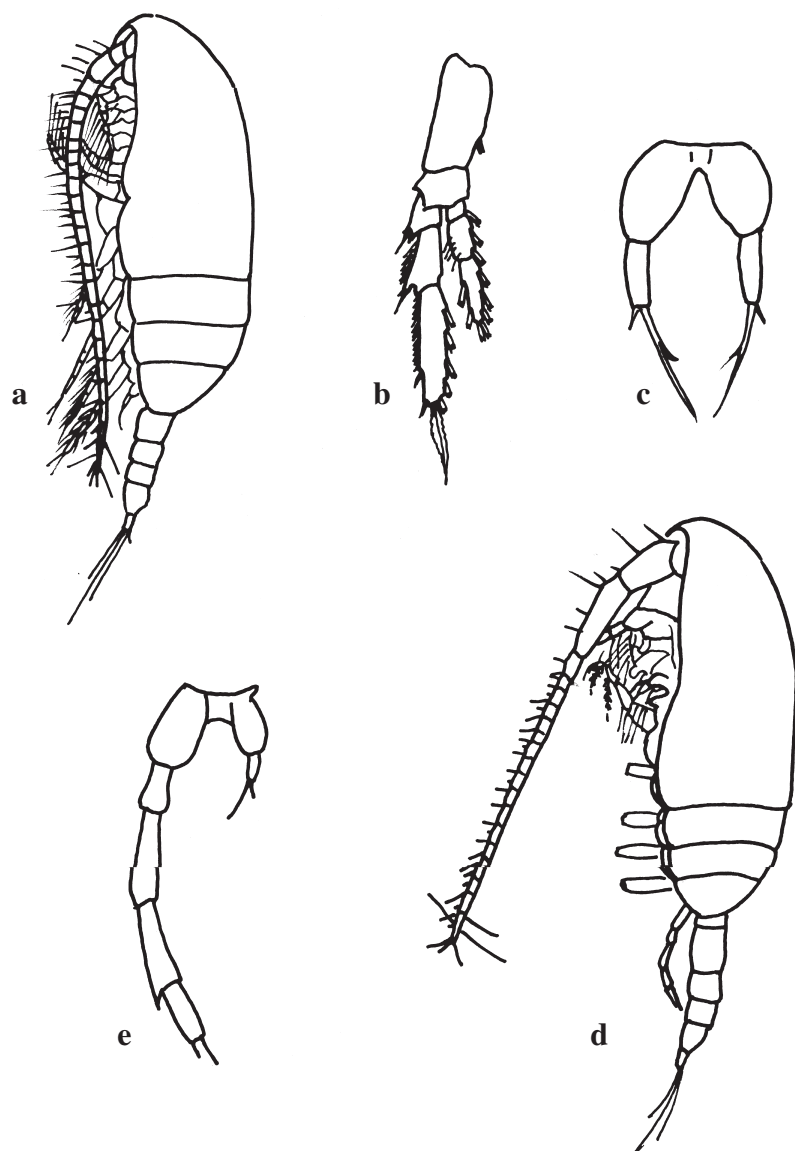
Ridisegnato da: Vervoort, 1963.

■ M. G. Mazzocchi - SZN, Napoli



Paracalanus nanus. Femmina a-d : a individuo intero (visione dorsale); b individuo intero (visione laterale); c testa (visione laterale); d P5. Maschio e, f: e individuo intero (visione laterale); f P5.

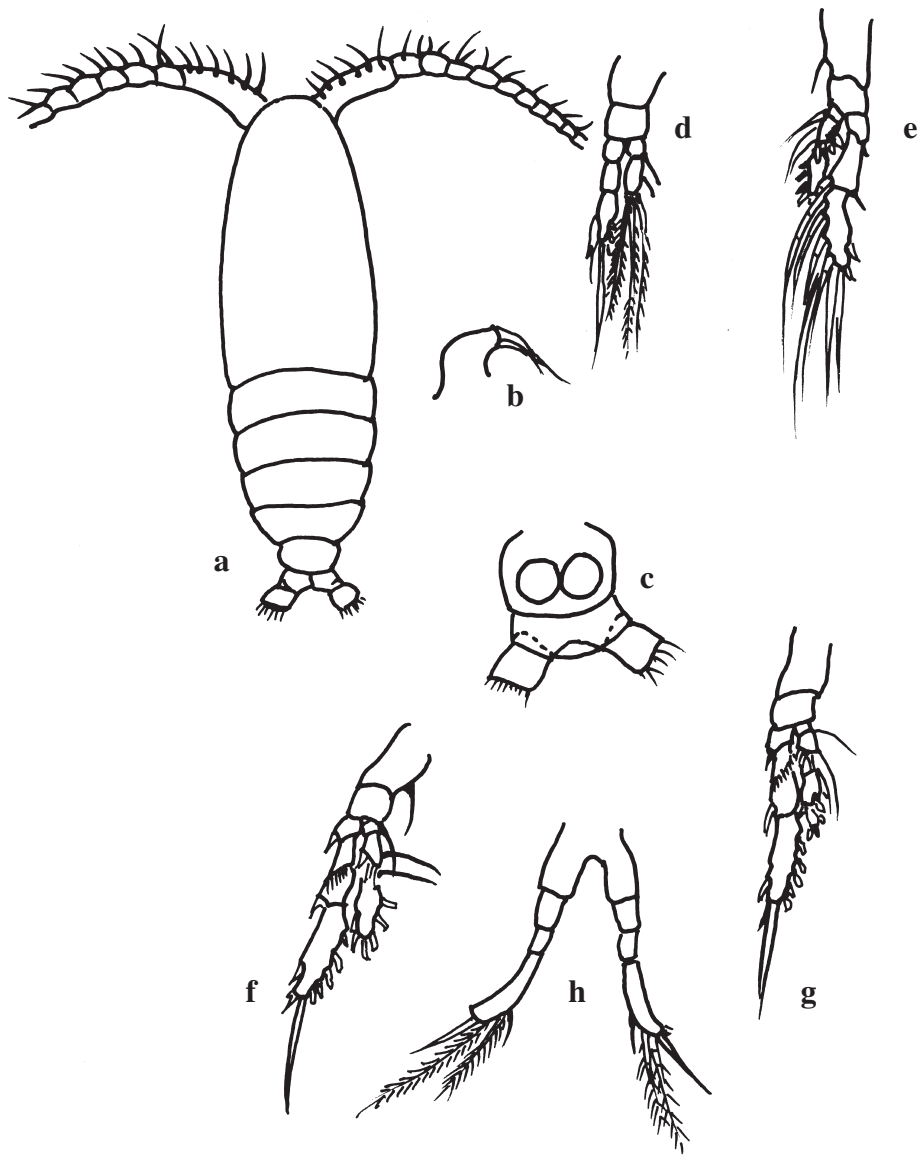
Ridisegnato da: Rose, 1933; Bradford-Grieve *et al.*, 1999.



Paracalanus parvus. Femmina a-c : a individuo intero (visione laterale); b P4; c P5. Maschio d, e: d individuo intero (visione laterale); e P5.

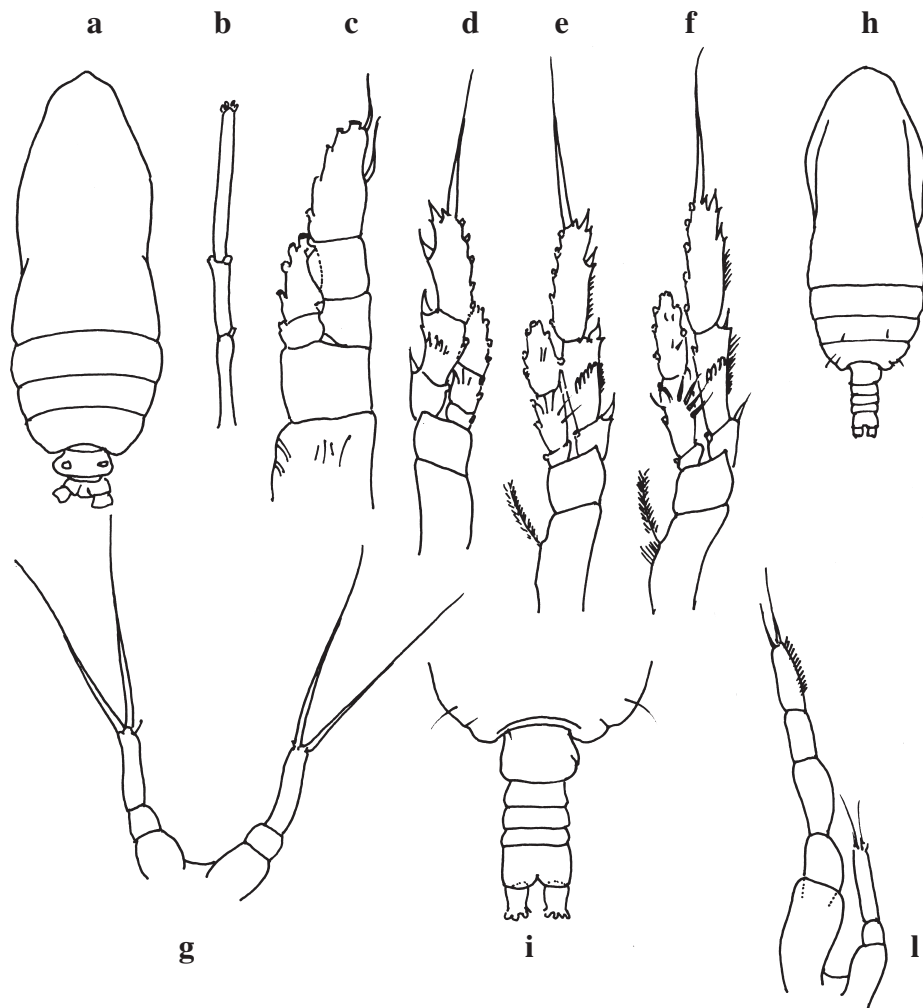
Ridisegnato da: Rose, 1933.

■ M. G. Mazzocchi - SZN, Napoli



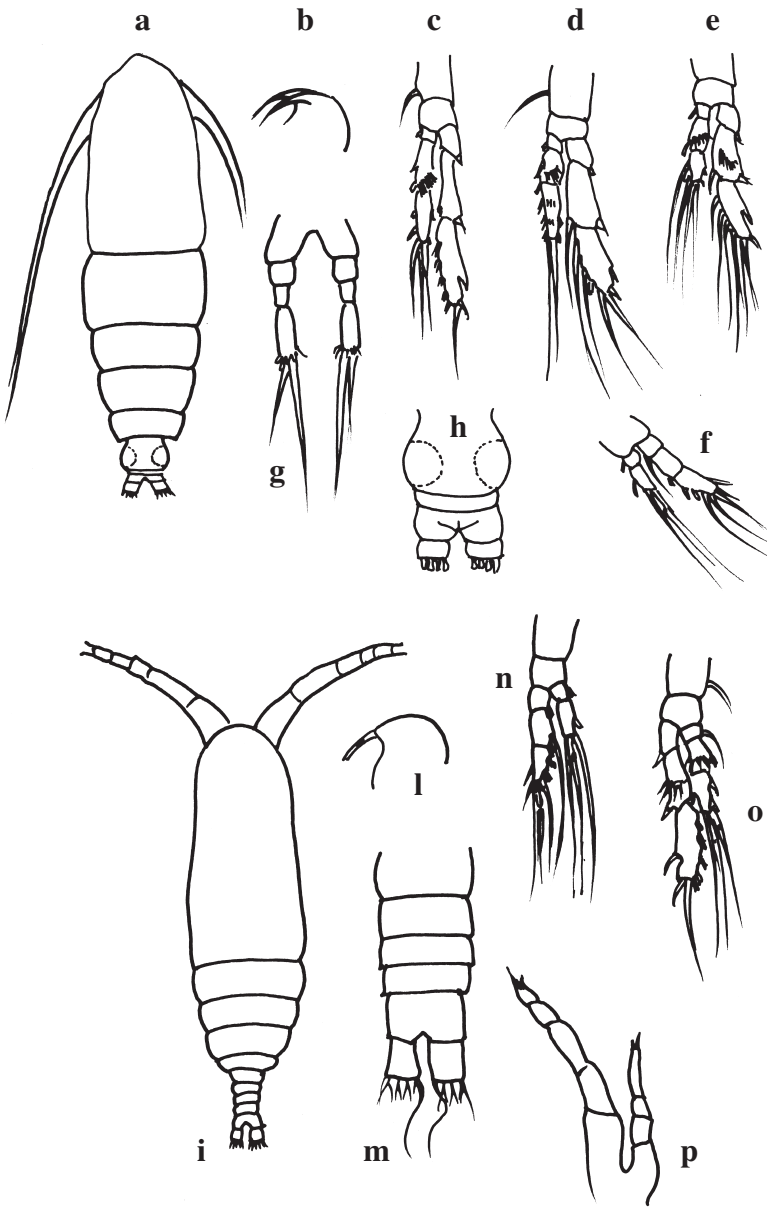
Calocalanus adriaticus. Femmina a-h: a individuo intero (visione dorsale); b rostro (visione laterale); c Ur; d P1 ; e P2 ; f P3 ; g P4 ; h P5.

Ridisegnato da: Shmeleva, 1965.



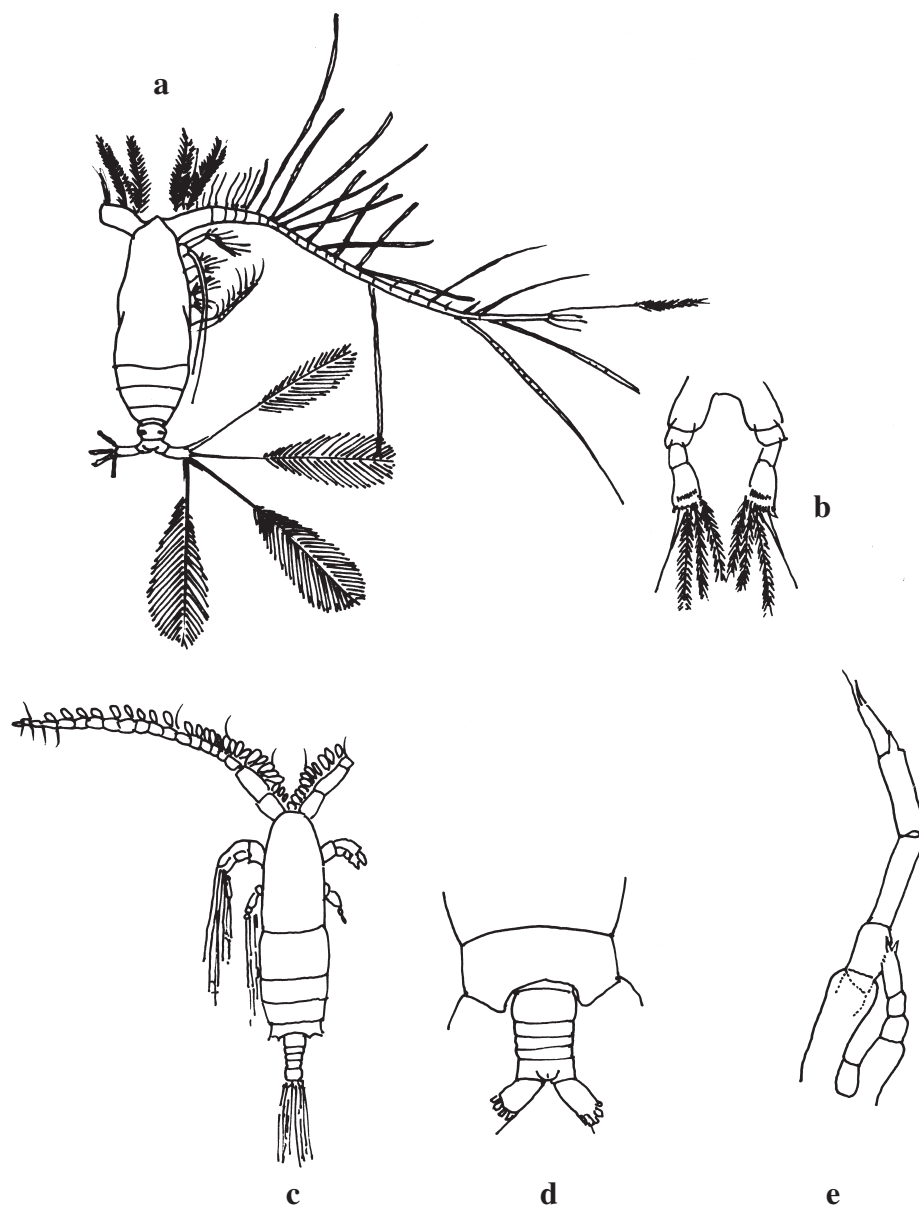
Calocalanus contractus. Femmina a-g; a individuo intero (visione dorsale); b parte terminale di A1; c P1; d P2; e P3; f P4; g P5. Maschio h-l; h individuo intero (visione dorsale); i Ur (visione dorsale); l P5.

Ridisegnato da: Corral, 1972; Bradford-Grieve, 1994.



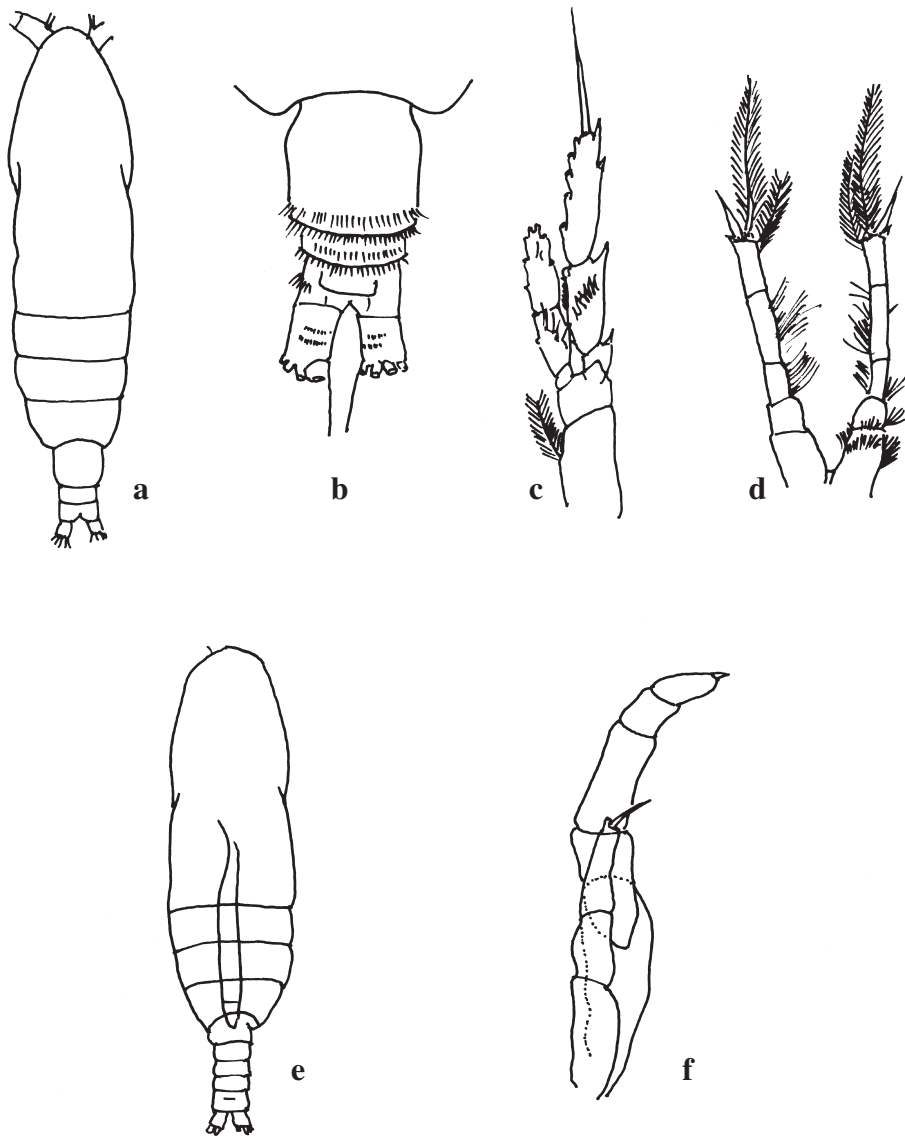
Calocalanus neptunus. Femmina a-h: a individuo intero (visione dorsale); b rostro (visione laterale); c P1; d P2; e P3; f P4; g P5; h Ur. Maschio i-p: i individuo intero (visione dorsale); l rostro (visione laterale); m Ur (visione dorsale); n P1; o P4; p P5.

Ridisegnato da: Shmeleva, 1965.



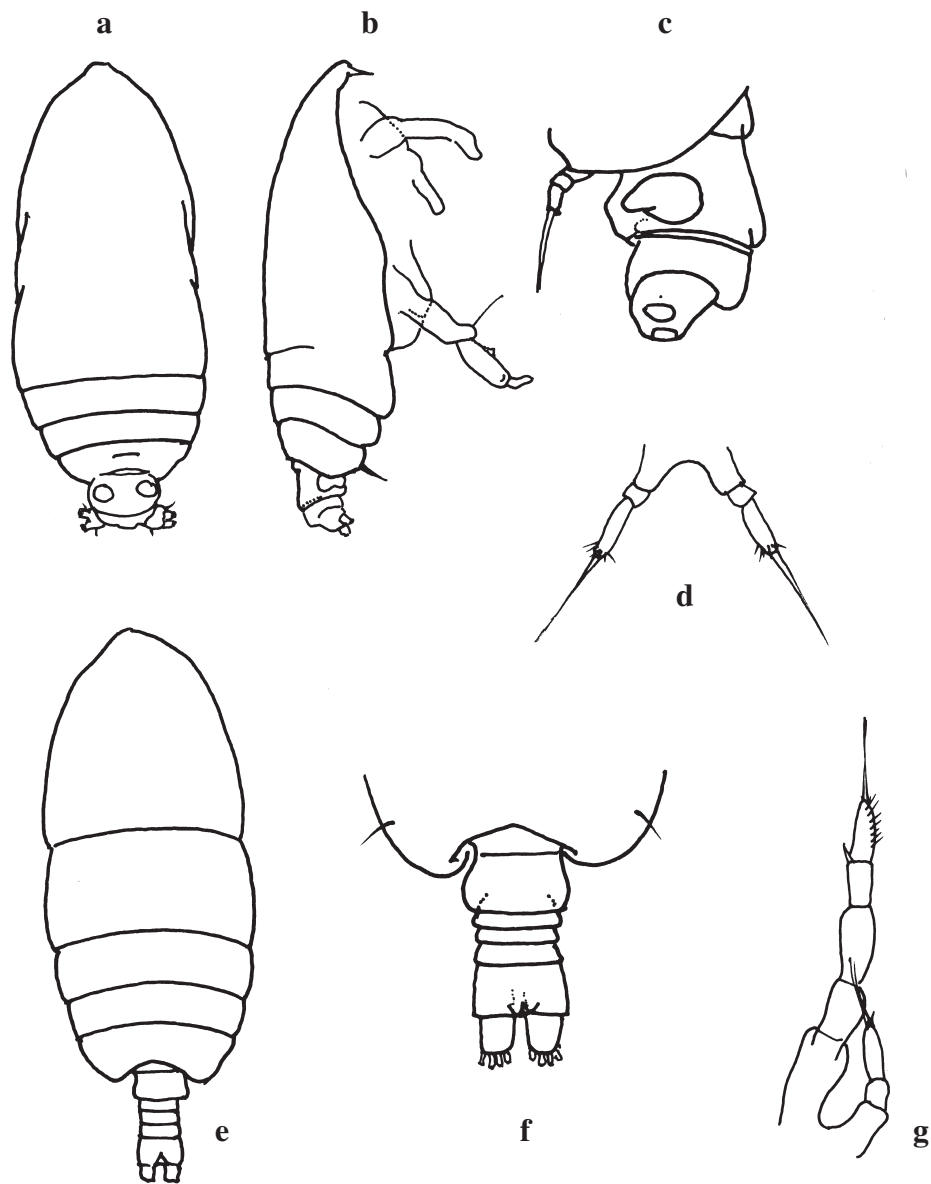
Calocalanus pavo. Femmina a-b: a individuo intero (visione dorsale); b P5. Maschio c-e: c individuo intero (visione dorsale); d ultimo sgm del metasoma ed Ur (visione dorsale); e P5.

Ridisegnato da: Rose, 1933; Corral, 1972; Bradford-Grieve, 1994.



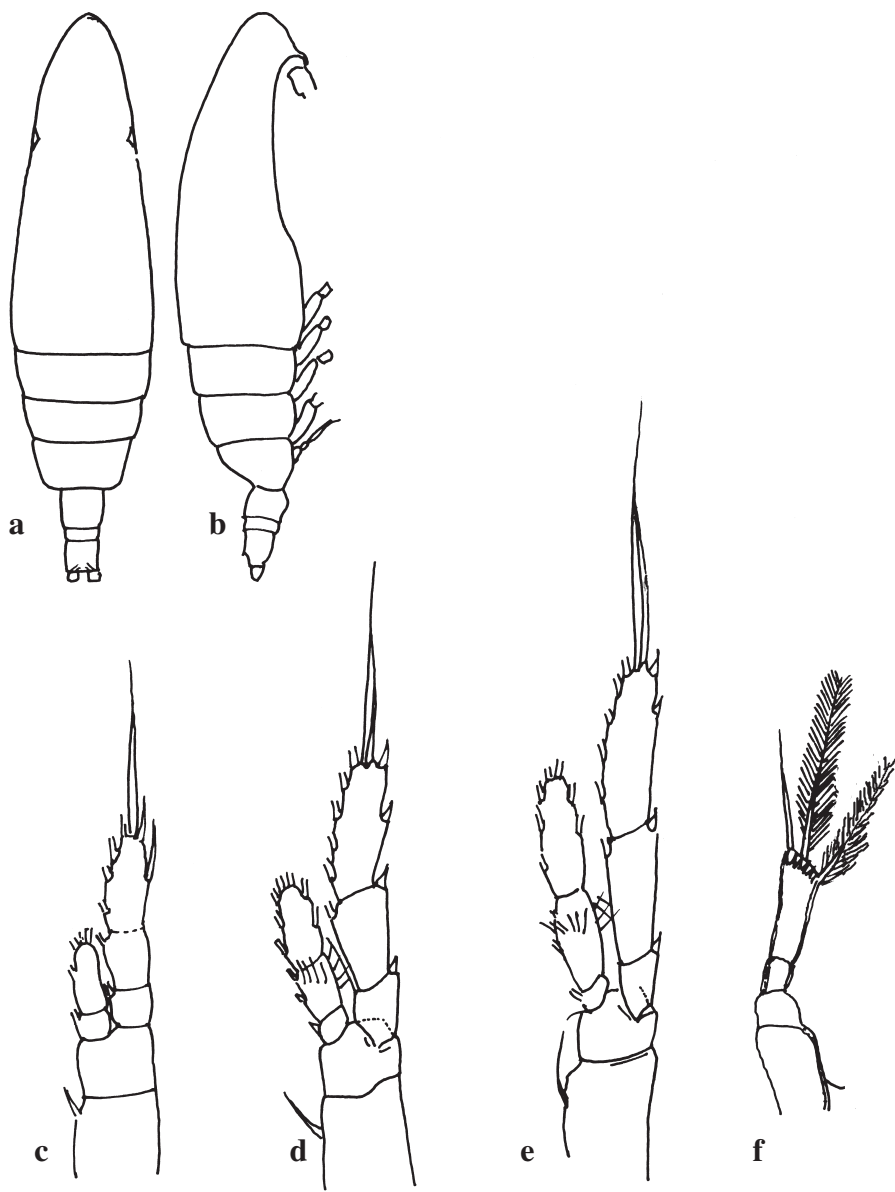
Calocalanus plumulosus. Femmina a-d: a individuo intero (visione dorsale); b Ur (visione dorsale); c P4; d P5. Maschio e,f: e individuo intero (visione dorsale); f P5.

Ridisegnato da: Farran, 1951(come *Ischnocalanus plumulosus*); Bradford-Grieve *et al.*, 1999.



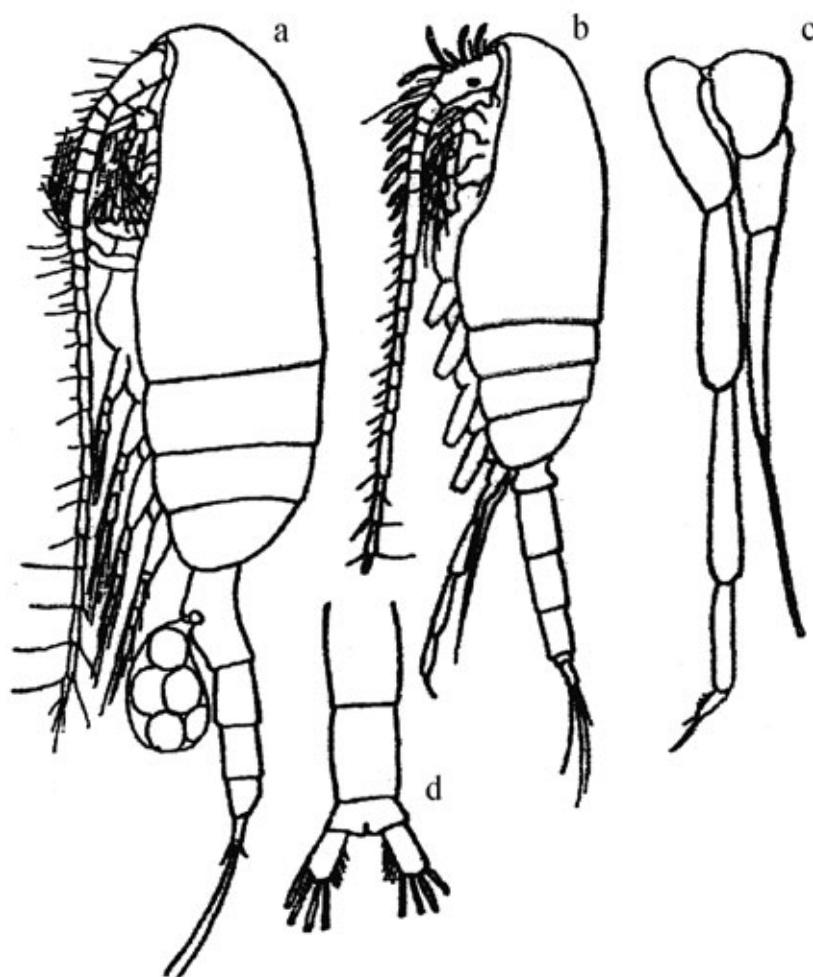
Calocalanus styliremis. Femmina a-d: a individuo intero (visione dorsale); b individuo intero (visione laterale); c Ur (visione laterale); d P5. Maschio e-g: e individuo intero (visione dorsale); f Ur (visione dorsale); g P5.

Ridisegnato da: Corral, 1972; Bradford-Grieve, 1994.



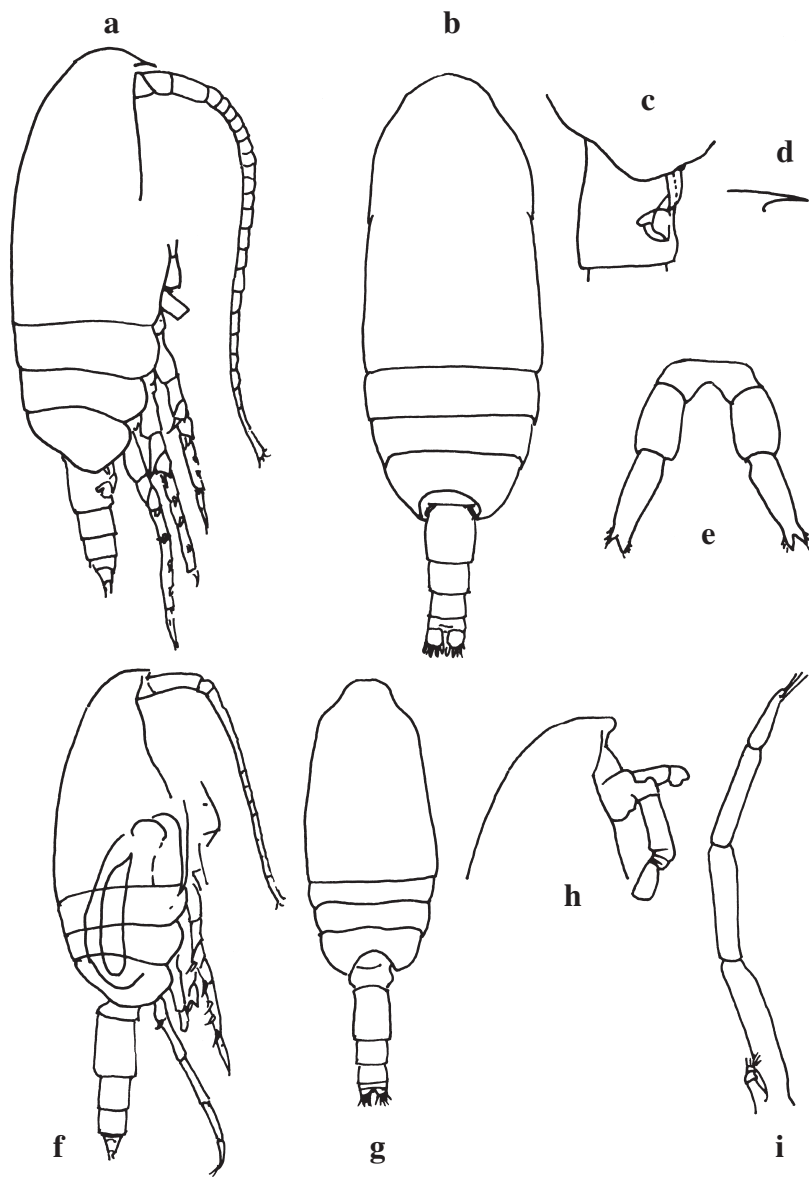
Calocalanus tenuis. Femmina a-f: a individuo intero (visione dorsale); b individuo intero (visione laterale); c P2; d P3; e P4; f P5.

Ridisegnato da: Farran, 1951 (come *Ischnocalanus tenuis*) ; Bradford-Grieve et al., 1999.



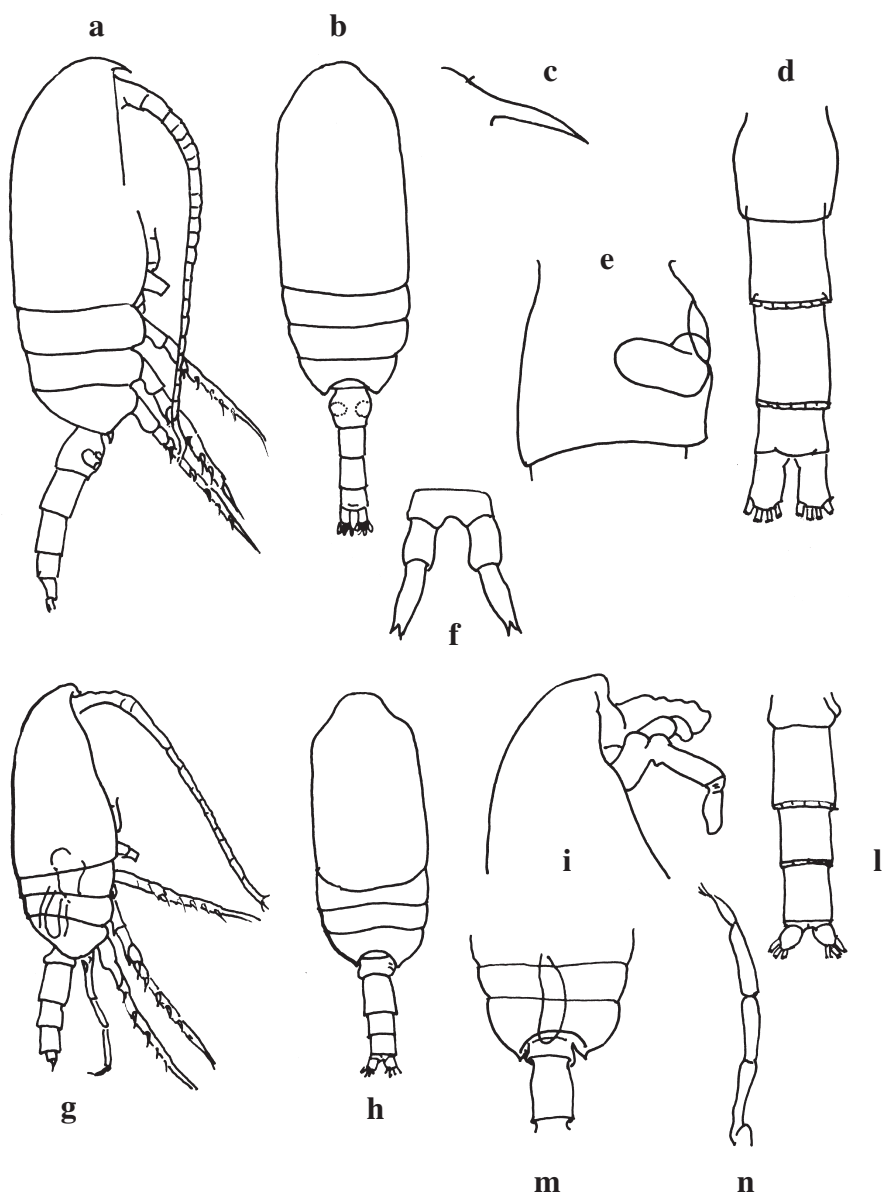
Pseudocalanus elongatus: Femmina a: animale intero (visione laterale sinistra) con sacco di uova. Maschio b-d: b individuo intero (visione laterale sinistra); c P5 maschile asimmetrico, più lungo a sinistra, con 5 articolati e più corto a destra e con 4 articolati; d urosoma (ultima parte dell'urosoma)

Da: Rose 1933



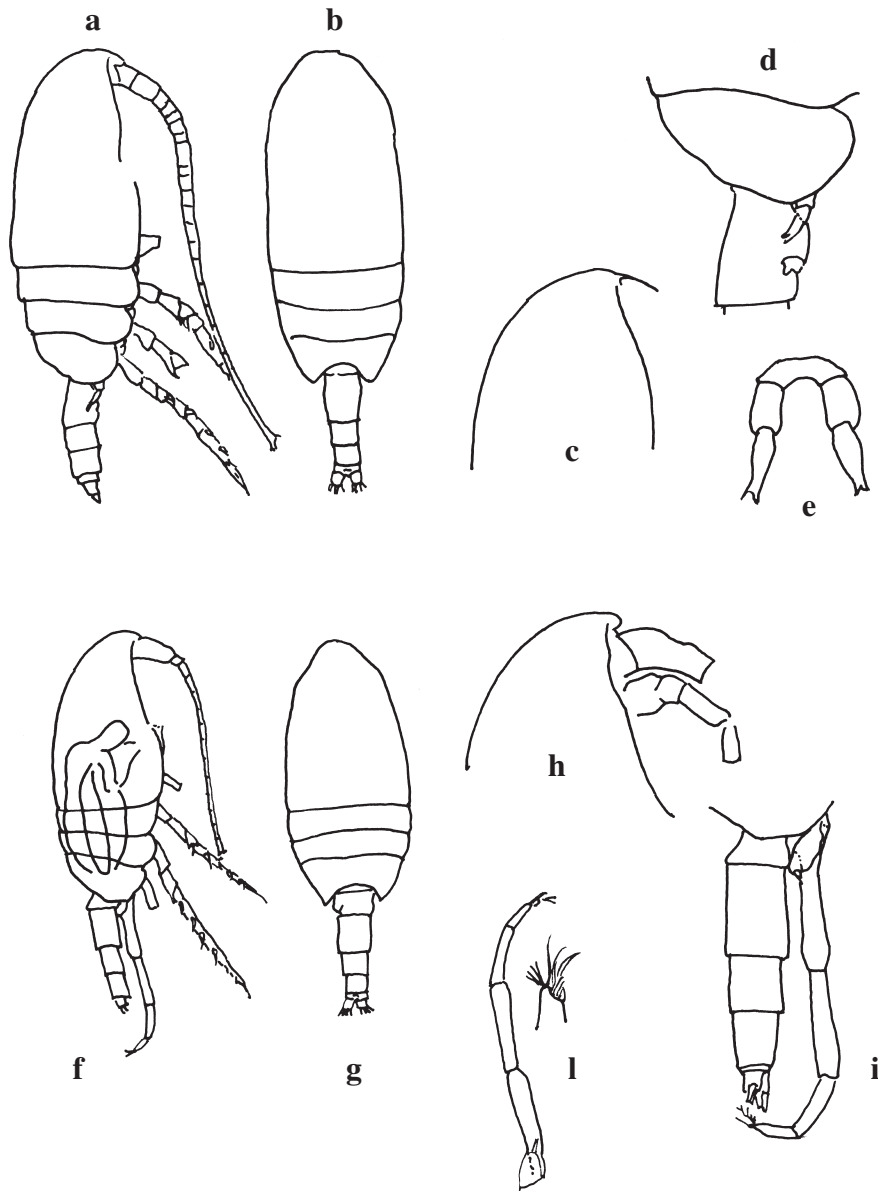
Clausocalanus arcuicornis. Femmina a-e: a individuo intero (visione laterale); b individuo intero (visione dorsale); c sgm genitale (visione laterale); d rostro (visione laterale); e P5. Maschio f-i: f individuo intero (visione laterale); g individuo intero (visione dorsale); h regione frontale (visione laterale); i P5.

Ridisegnato da: Frost & Fleminger, 1968.



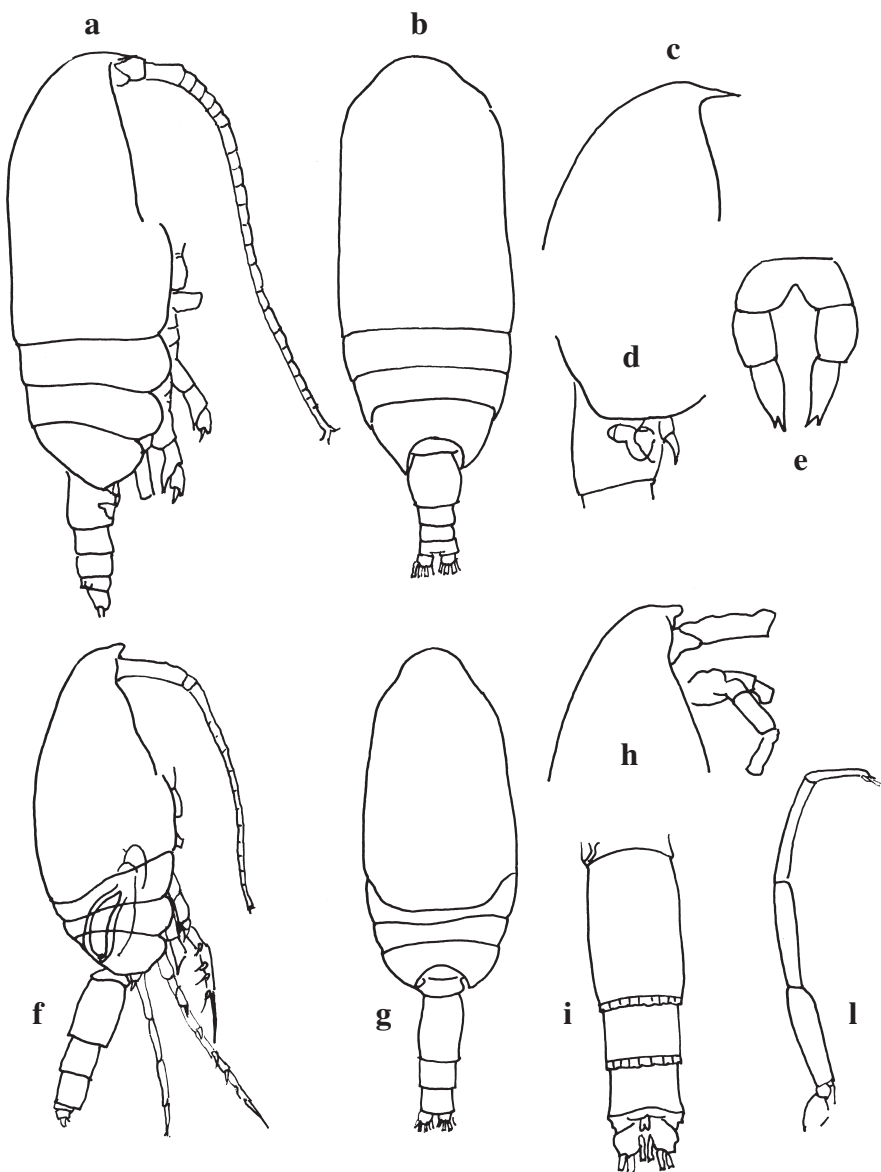
Clausocalanus furcatus. Femmina a-f: a individuo intero (visione laterale); b individuo intero (visione dorsale); c rostro (visione laterale); d Ur (visione dorsale); e sgm genitale (visione laterale); f P5. Maschio g-n: g individuo intero (visione laterale); h individuo intero (visione dorsale); i regione frontale (visione laterale); l Ur (visione dorsale); m spermatofora all'interno del prosoma; n P5.

Ridisegnato da: Frost & Fleminger, 1968.



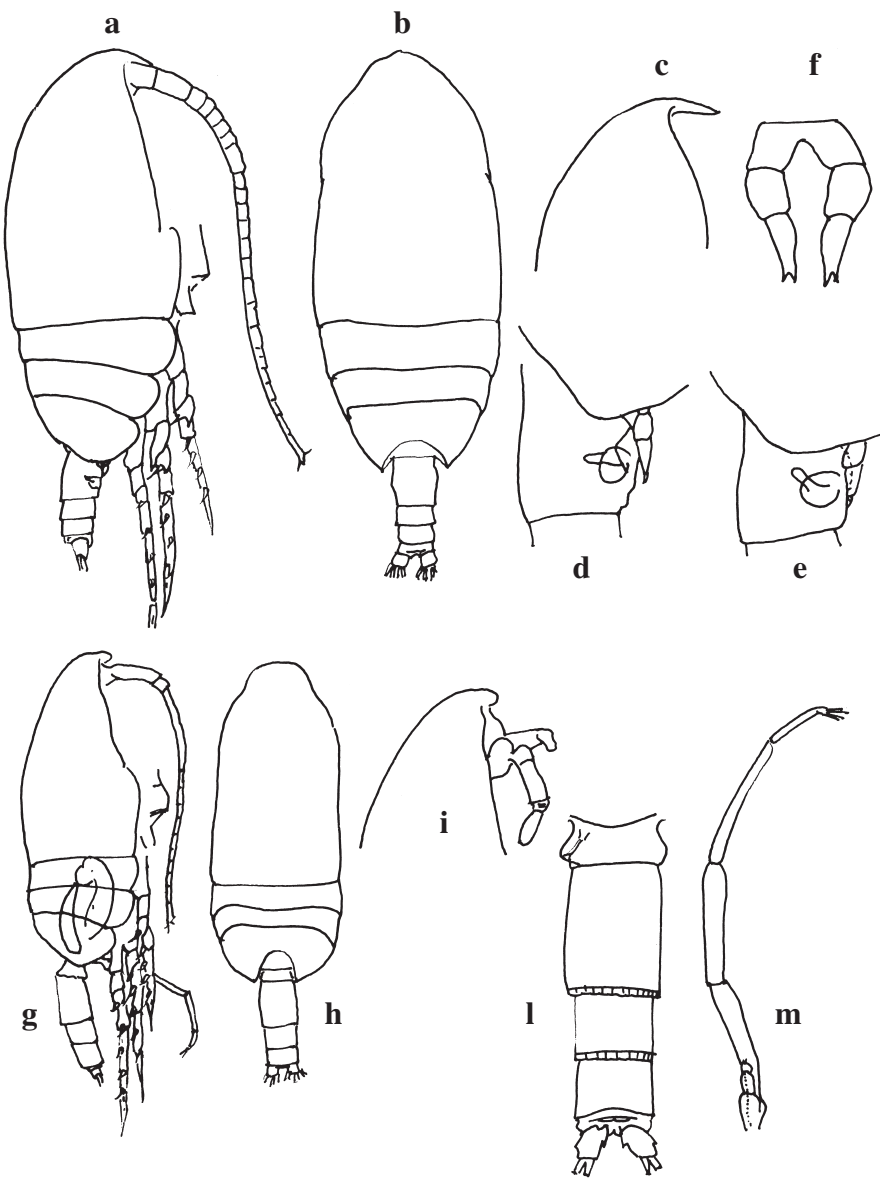
Clausocalanus jobei. Femmina a-e: a individuo intero (visione laterale); b individuo intero (visione dorsale); c regione frontale (visione laterale); d Th 5 e sgm genitale (visione laterale); e P5. Maschio f-i: f individuo intero (visione laterale); g individuo intero (visione dorsale); h regione frontale (visione laterale); i Ur e P5 (visione laterale); l P5 (con particolare).

Ridisegnato da: Frost & Fleminger, 1968.



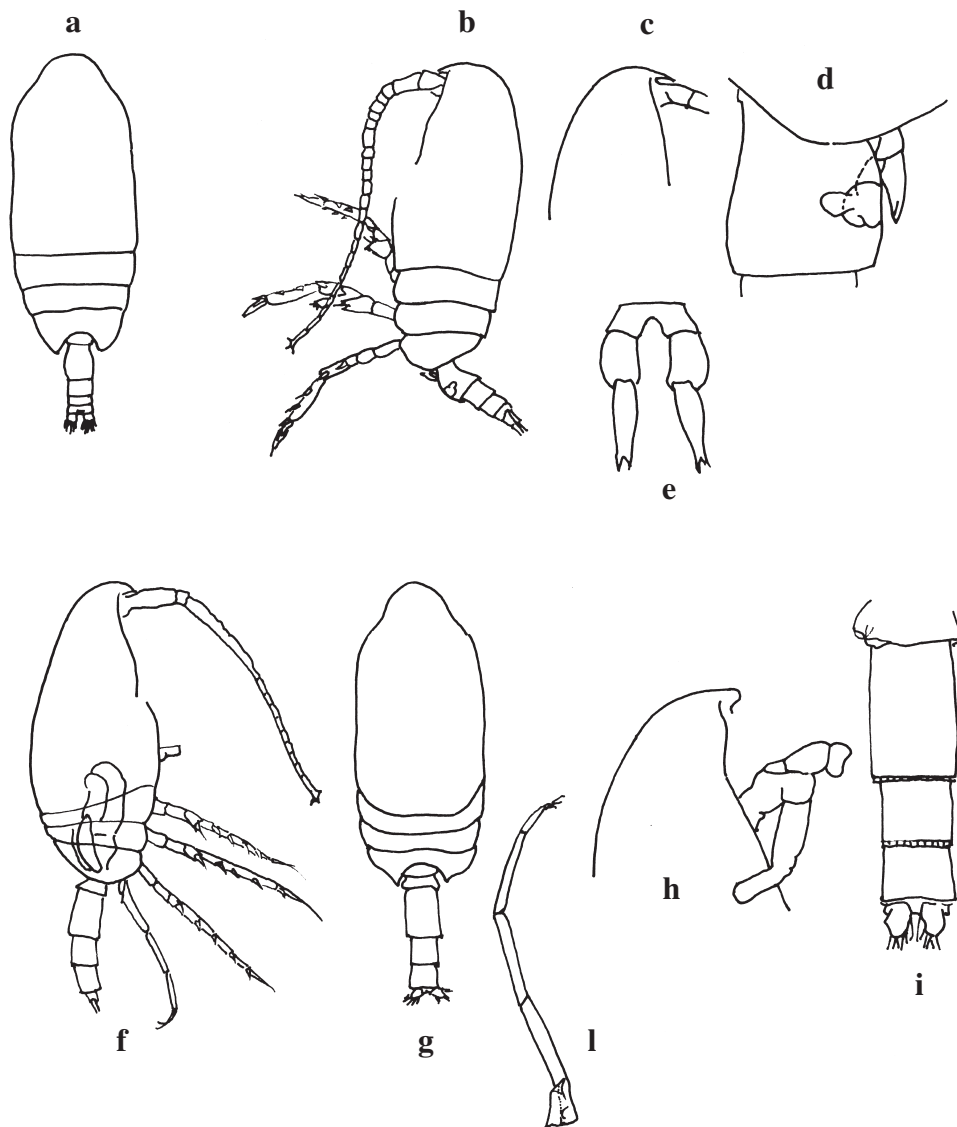
Clausocalanus lividus. Femmina a-e: a individuo intero (visione laterale); b individuo intero (visione dorsale); c regione frontale (visione laterale); d sgm genitale (visione laterale); e P5. Maschio f-l : f individuo intero (visione laterale); g individuo intero (visione dorsale); h regione frontale (visione laterale); i Ur (visione dorsale); l P5.

Ridisegnato da: Frost & Fleminger, 1968.



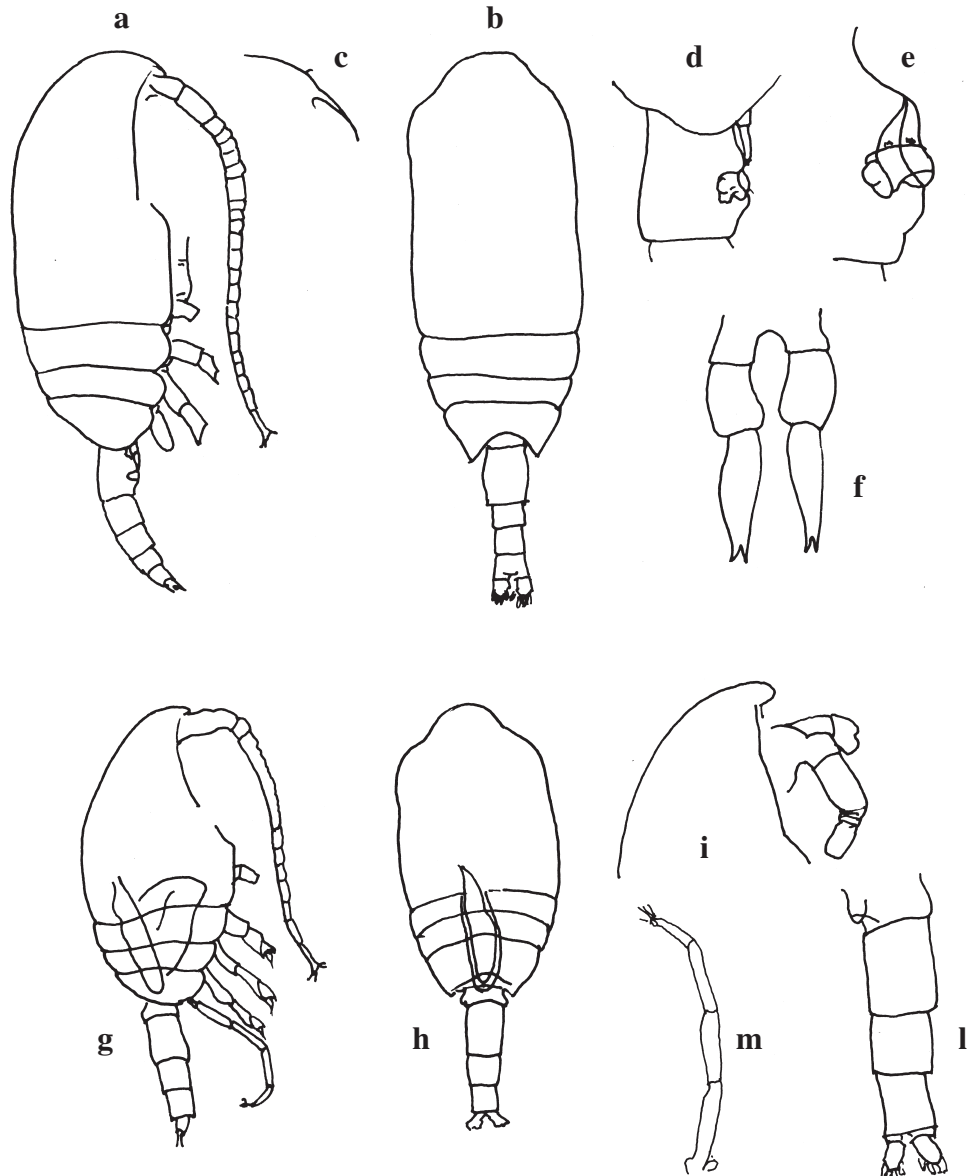
Clausocalanus mastigophorus. Femmina a-f: a individuo intero (visione laterale); b individuo intero (visione dorsale); c regione frontale (visione laterale); d,e sgm genitale in due diversi individui (visione laterale); f P5. Maschio g-m: g individuo intero (visione laterale); h individuo intero (visione dorsale); i regione frontale (visione laterale); l Ur (visione dorsale); m P5.

Ridisegnato da: Frost & Fleminger, 1968.



Clausocalanus parapergens. Femmina a-e : a individuo intero (visione dorsale); b individuo intero (visione laterale); c regione frontale (visione laterale); d sgm genitale (visione laterale); e P5. Maschio f-i : f individuo intero (visione laterale); g individuo intero (visione dorsale); h regione frontale (visione laterale); i Ur (visione dorsale); l P5.

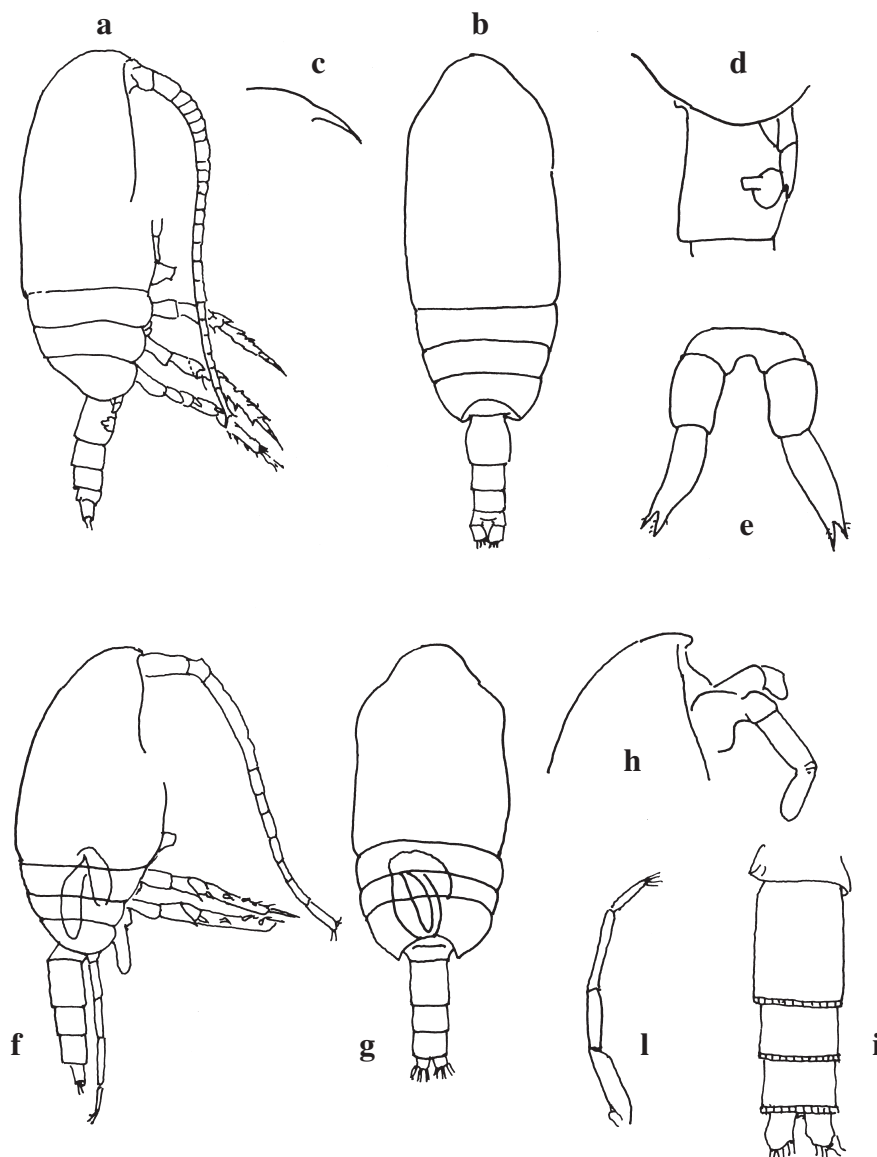
Ridisegnato da: Frost & Fleminger, 1968.



Clausocalanus paululus. Femmina a-f: a individuo intero (visione laterale); b individuo intero (visione dorsale); c rostro (visione laterale); d,e sgm genitale (visione laterale); f P5.

Maschio g-m: g individuo intero (visione laterale); h individuo intero (visione dorsale); i regione frontale (visione laterale); l Ur (visione dorsale); m P5.

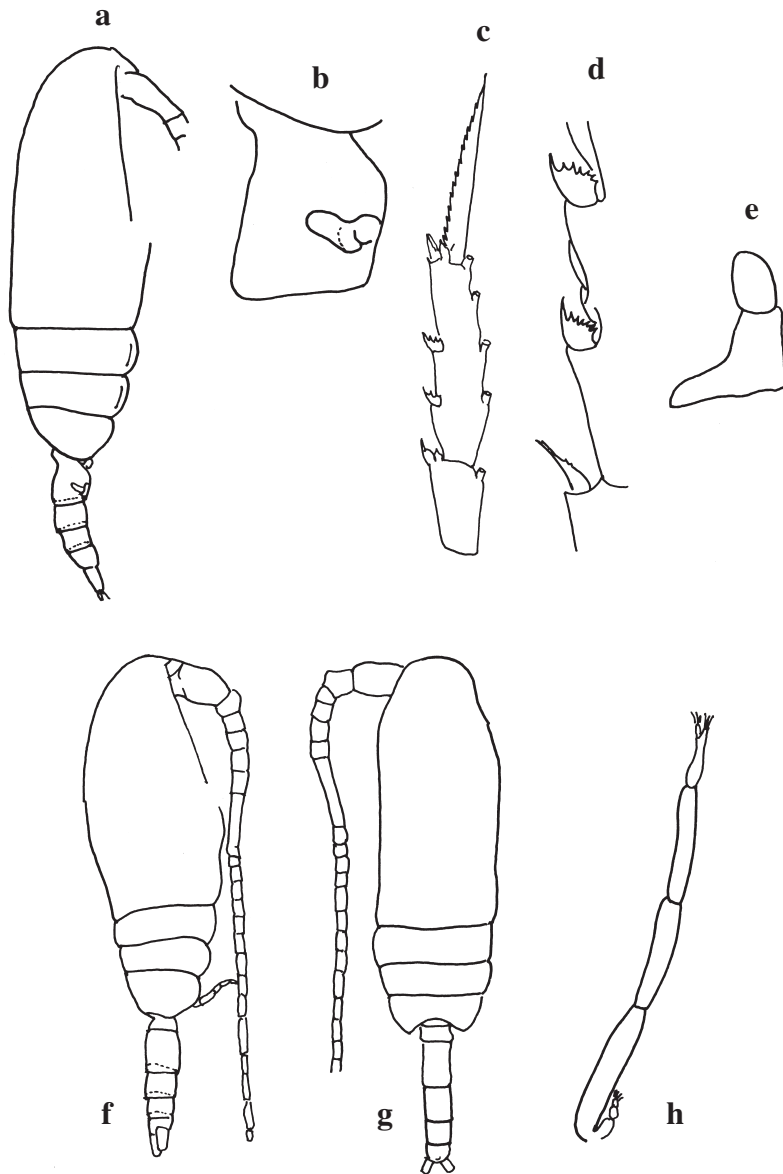
Ridisegnato da: Frost & Fleminger, 1968.



Clausocalanus pergens. Femmina a-e: a individuo intero (visione laterale); b individuo intero (visione dorsale); c rostro (visione laterale); d sgm genitale (visione laterale); e P5.

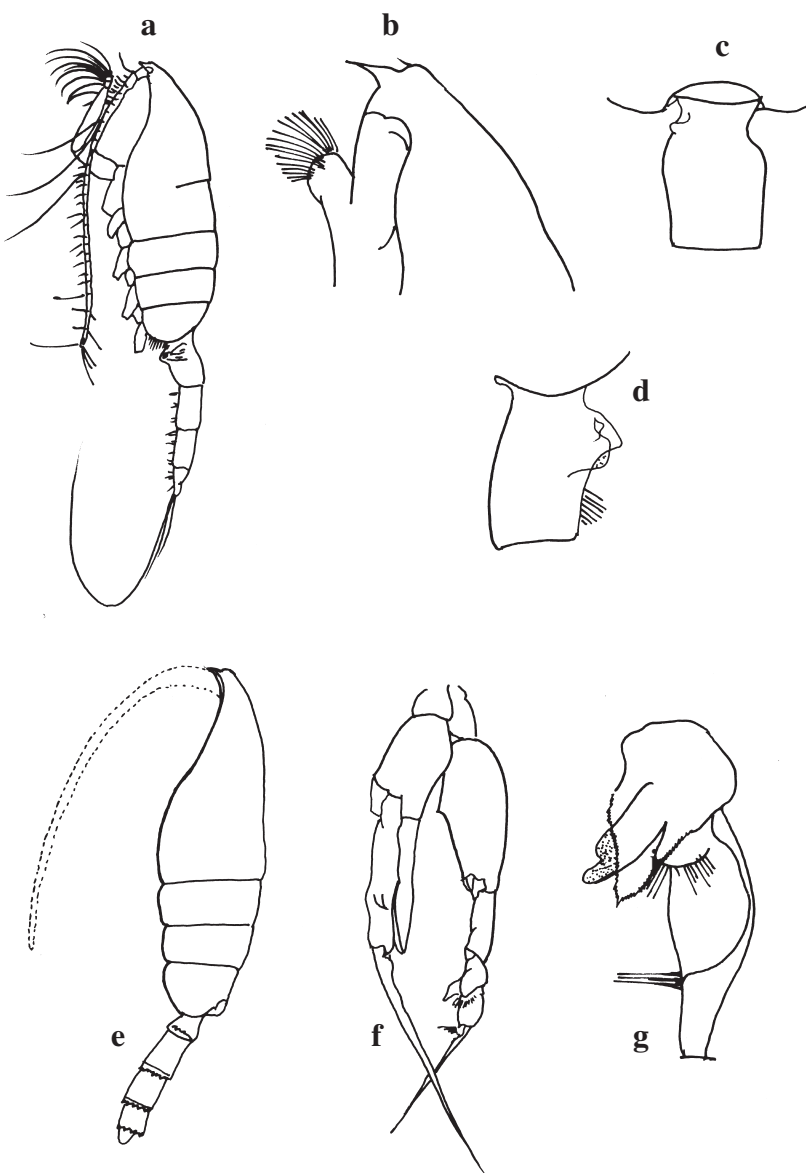
Maschio f-l: f individuo intero (visione laterale); g individuo intero (visione dorsale); h regione frontale (visione laterale destra); i Ur (visione dorsale); l P5.

Ridisegnato da: Frost & Fleminger, 1968.



Ctenocalanus vanus. Femmina a-e: a individuo intero (visione laterale); b segmento genitale (visione laterale), c Exp2 e Exp3 di P3; d particolare delle spine esterne di c; e P5. Maschio f-h : f individuo intero (visione laterale); g individuo intero (visione dorsale); h P5.

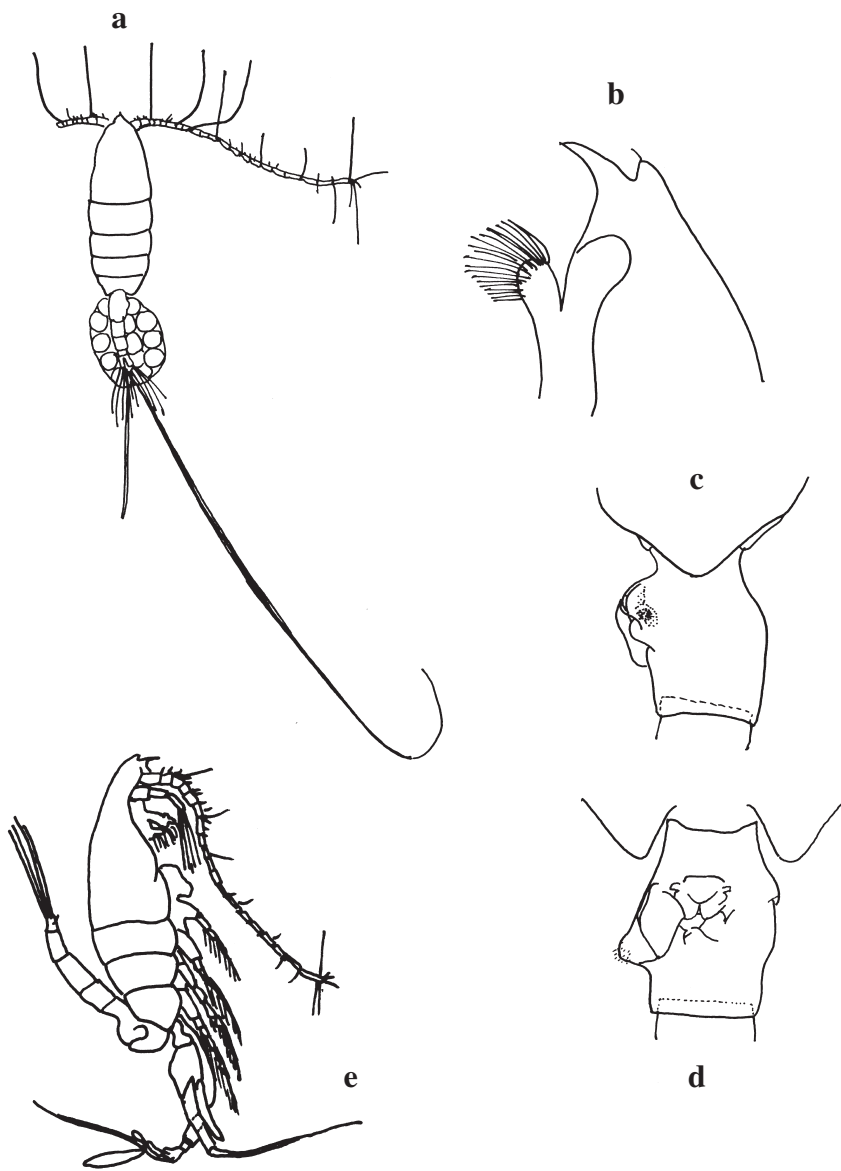
Ridisegnato da: Farran, 1951; Bradford-Grieve *et al.*, 1999.



Euchaeta acuta. Femmina a-d: a individuo intero (visione laterale); b testa (visione laterale); c sgm genitale (visione dorsale); d sgm genitale (visione laterale). Maschio e-g: e individuo intero (visione laterale); f P5 (visione ventrale); g particolare di Exp2 del P5 sinistro.

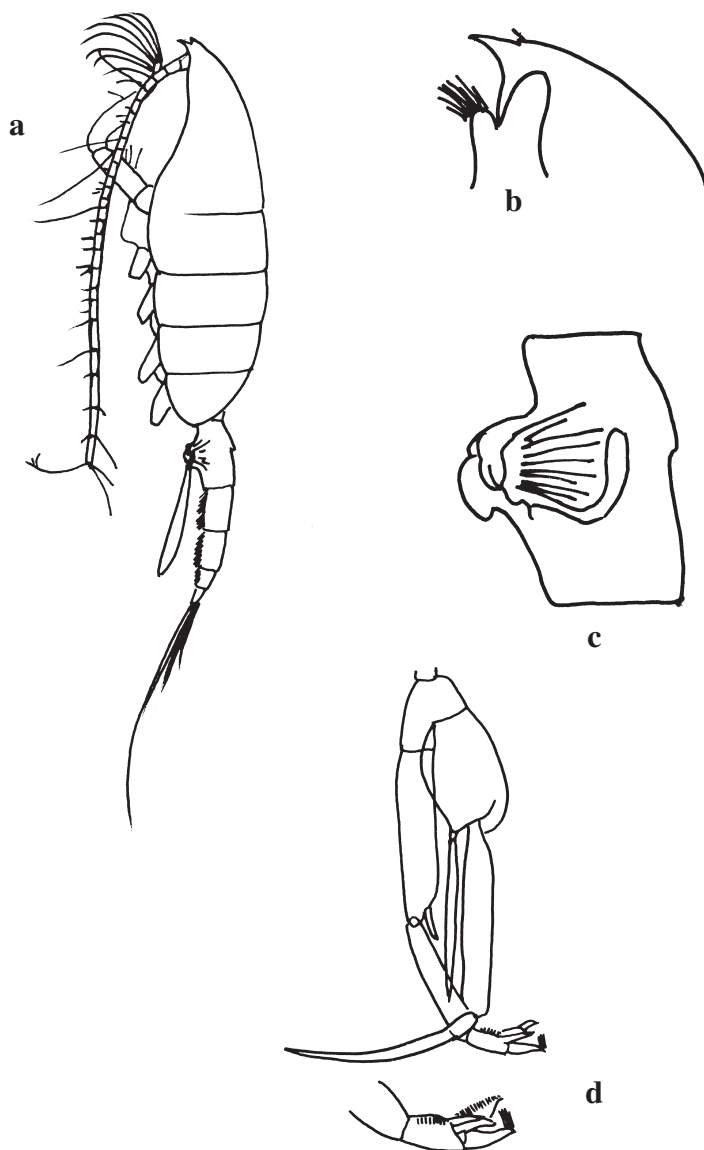
Ridisegnato da: Rose, 1933; Park, 1978; Bradford *et al.*, 1983.

■ M. G. Mazzocchi - SZN, Napoli



Euchaeta marina. Femmina a-d: a individuo intero (visione dorsale); b testa (visione laterale); c sgm genitale (visione laterale); d sgm genitale (visione ventrale). Maschio e: individuo intero (visione laterale).

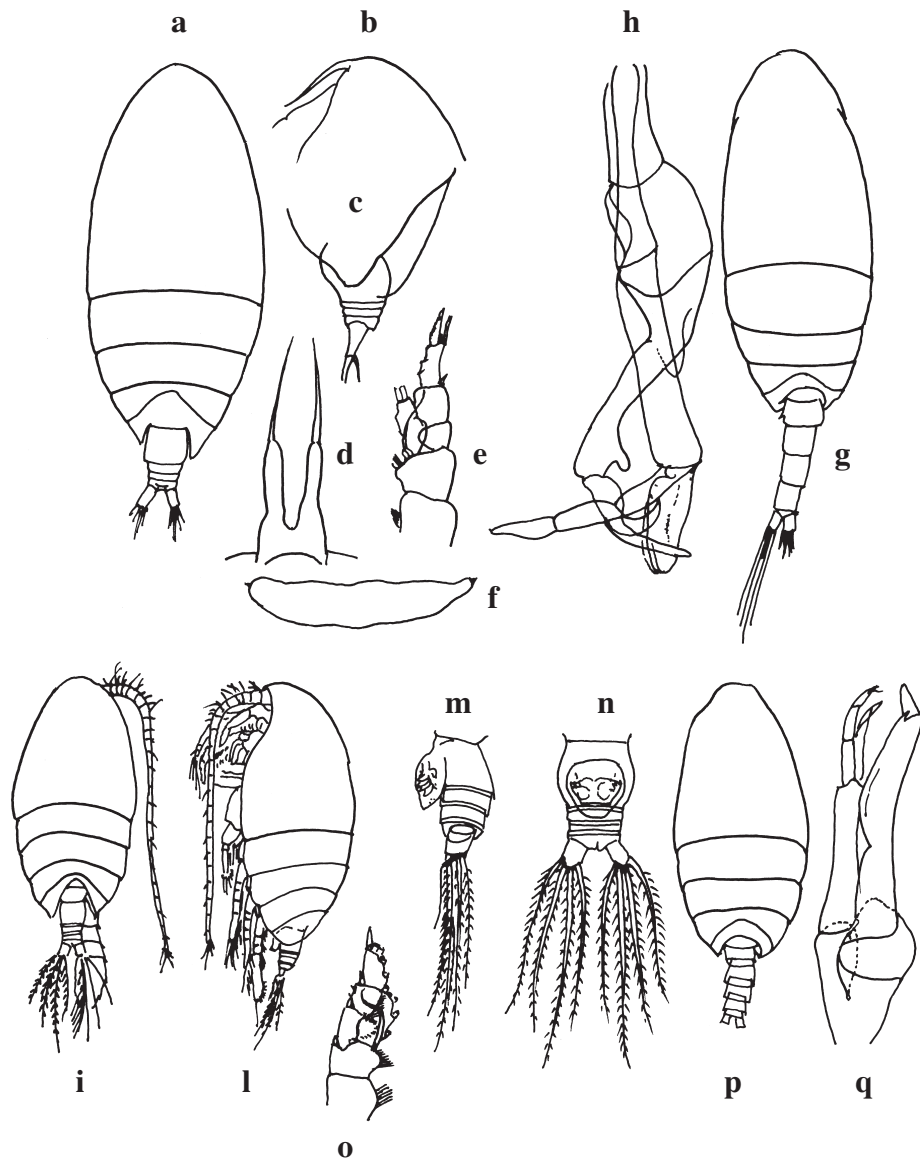
Ridisegnato da: Rose, 1933; Park, 1978.



Paraeuchaeta hebes. Femmina a-c: a individuo intero (visione laterale); b regione frontale (visione laterale); c sgm genitale (visione laterale); Maschio: d P5, con particolare .

Ridisegnato da: Rose, 1933.

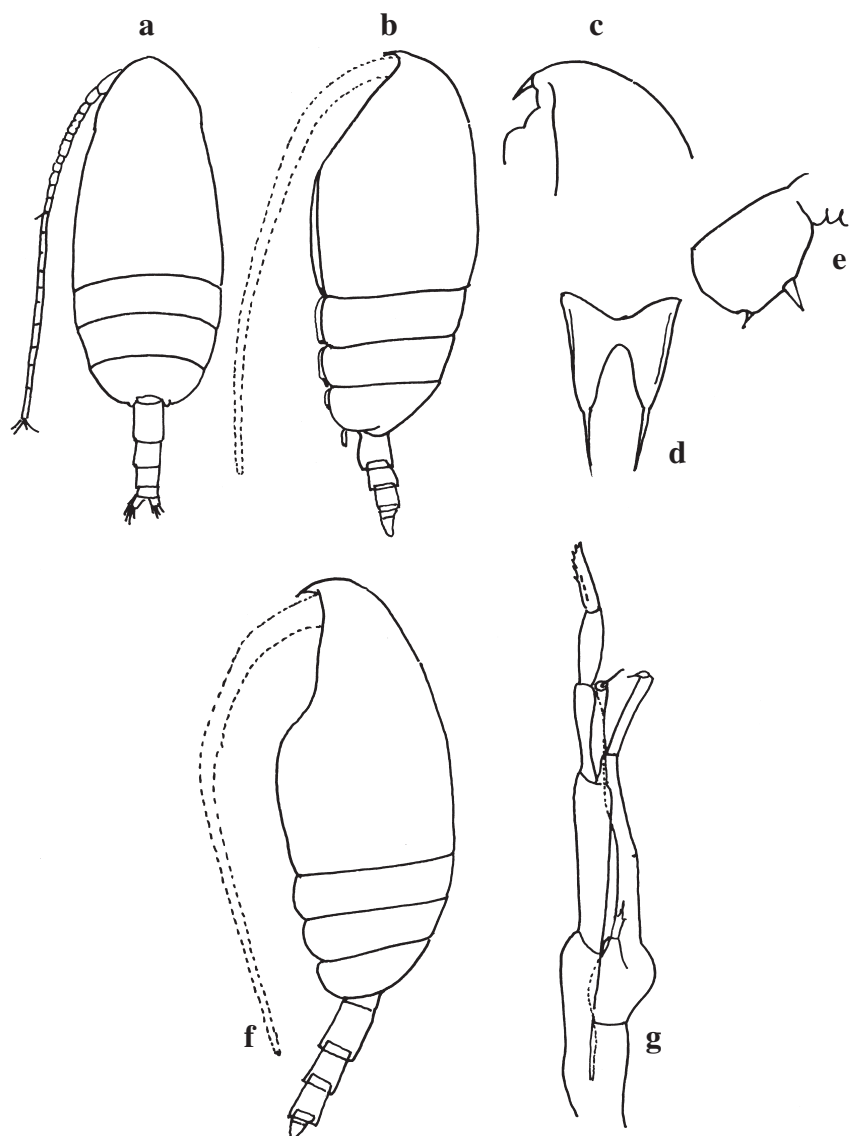
■ M. G. Mazzocchi - SZN, Napoli



Scolecithrix bradyi. a-h Femmina a-f: a individuo intero (visione dorsale); b testa (visione laterale); c estremità di Th 5 e Ur (visione laterale); d rostro; e P1; f P5. Maschio g,h: g individuo intero (visione dorsale); h P5.

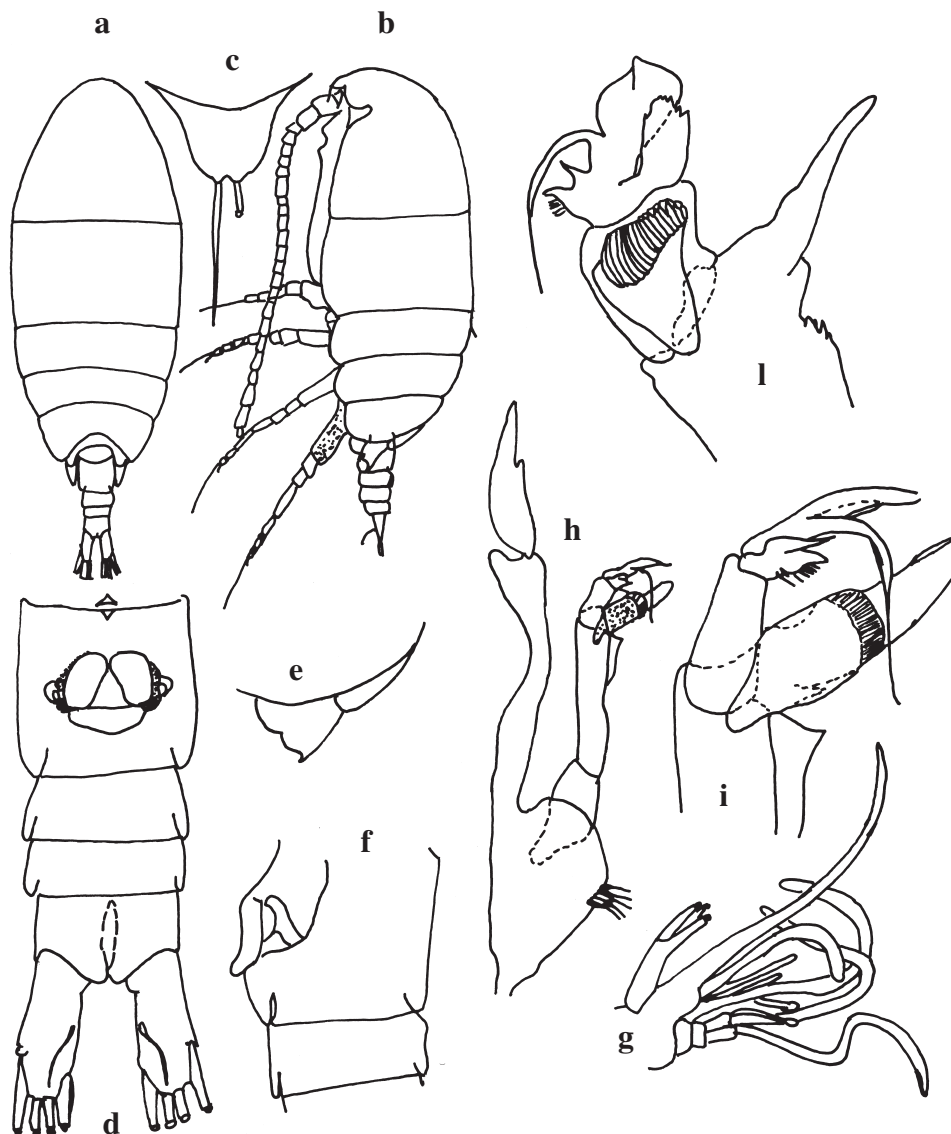
Scolecithrix danae. i-q Femmina i-o: i individuo intero (visione dorsale); l individuo intero (visione laterale); m Ur (visione laterale); n Ur (visione ventrale); o P1. Maschio p,q: p individuo intero (visione dorsale); q P5.

Ridisegnato da: Tanaka, 1962; Bradford *et al.*, 1983.



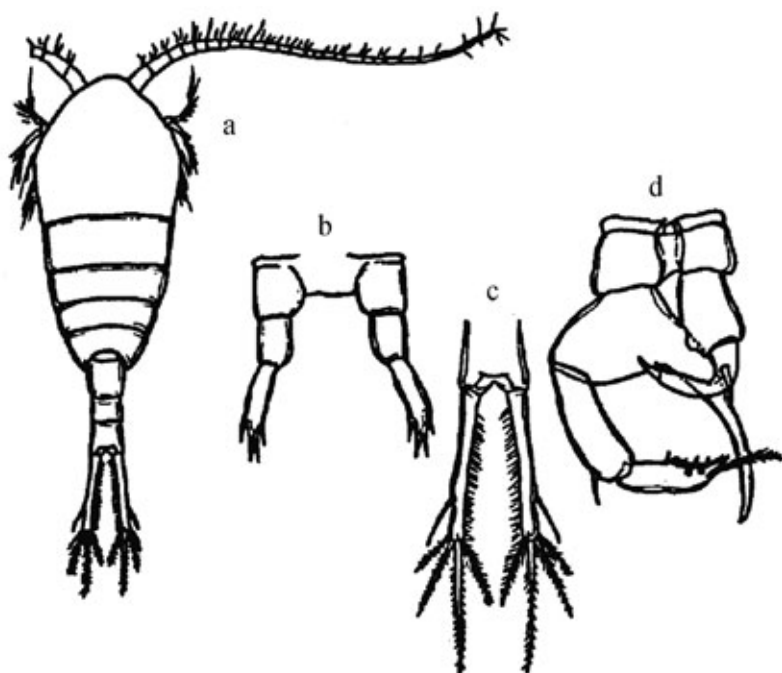
Scolecithricella dentata. Femmina a-e: a individuo intero (visione dorsale); b individuo intero (visione laterale); c testa (visione laterale); d rostro (visione dall'alto); e P5. Maschio f,g: f individuo intero (visione laterale); g P5.

Ridisegnato da: Tanaka, 1962; Grice, 1961; Bradford *et al.*, 1983.



Diaixis pygmaea. Femmina a-g: a individuo intero (visione dorsale); b individuo intero (visione laterale); c rostro; d Ur (visione ventrale); e Th 5 (visione laterale); f sgm genitale e secondo sgm dell'Ur.; g parte terminale di Mx2. Maschio h-l: h P5; i,l due diverse visioni della parte terminale di P5 (sinistro).

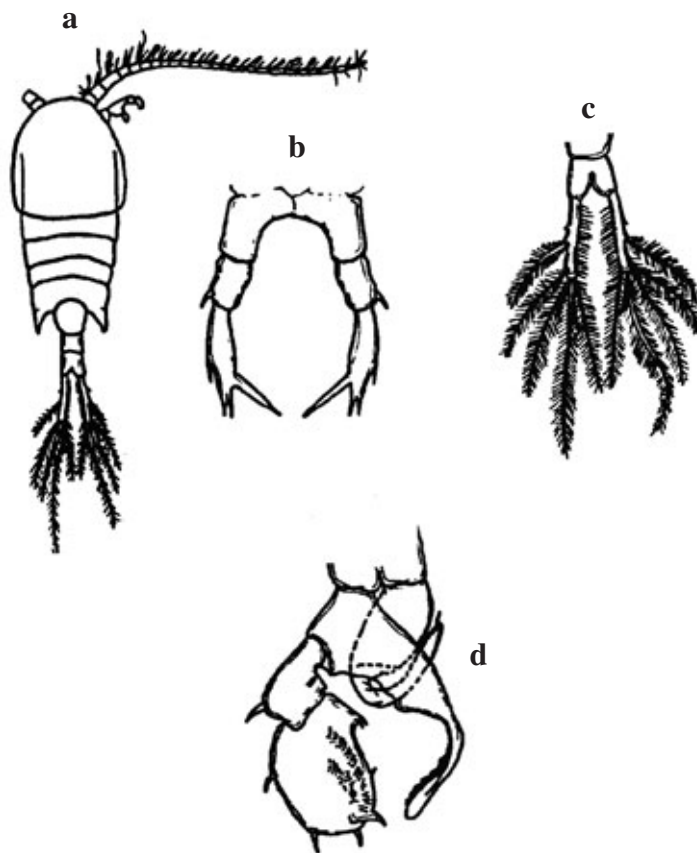
Ridisegnato da: Andronov, 2002.



Temora longicornis: Femmina a-c: a animale intero (visione dorsale); b quinto piede; c furca.
Maschio: d quinto piede.

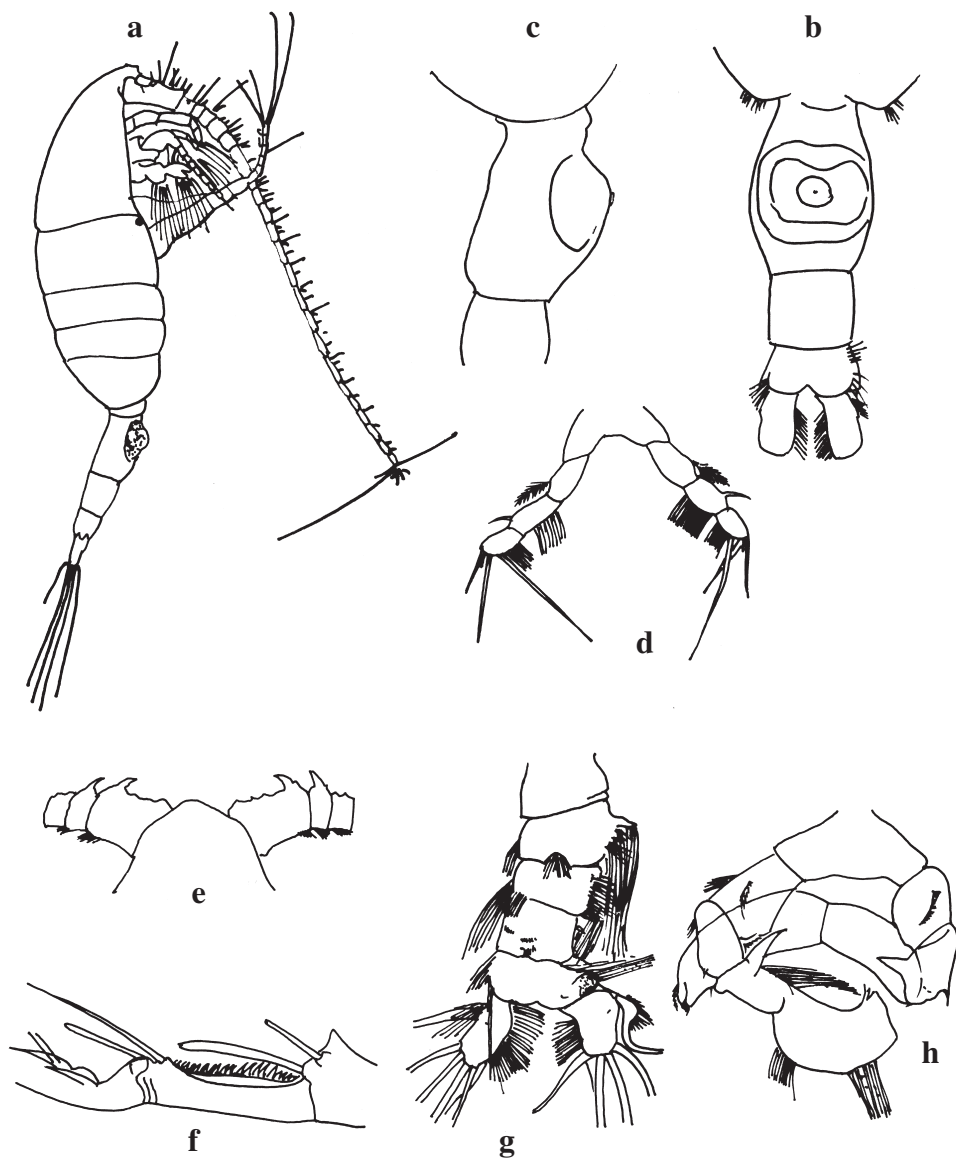
Da: Carli e Crisafi 1983

■ S. Parlato, A. de Olazabal, S. Fonda Umani - Laboratorio Biologia Marina, Trieste



Temora stylifera. Femmina a – c: a animale intero (visione dorsale); b P5 femminile; c furca.
Maschio: d P5 asimmetrico

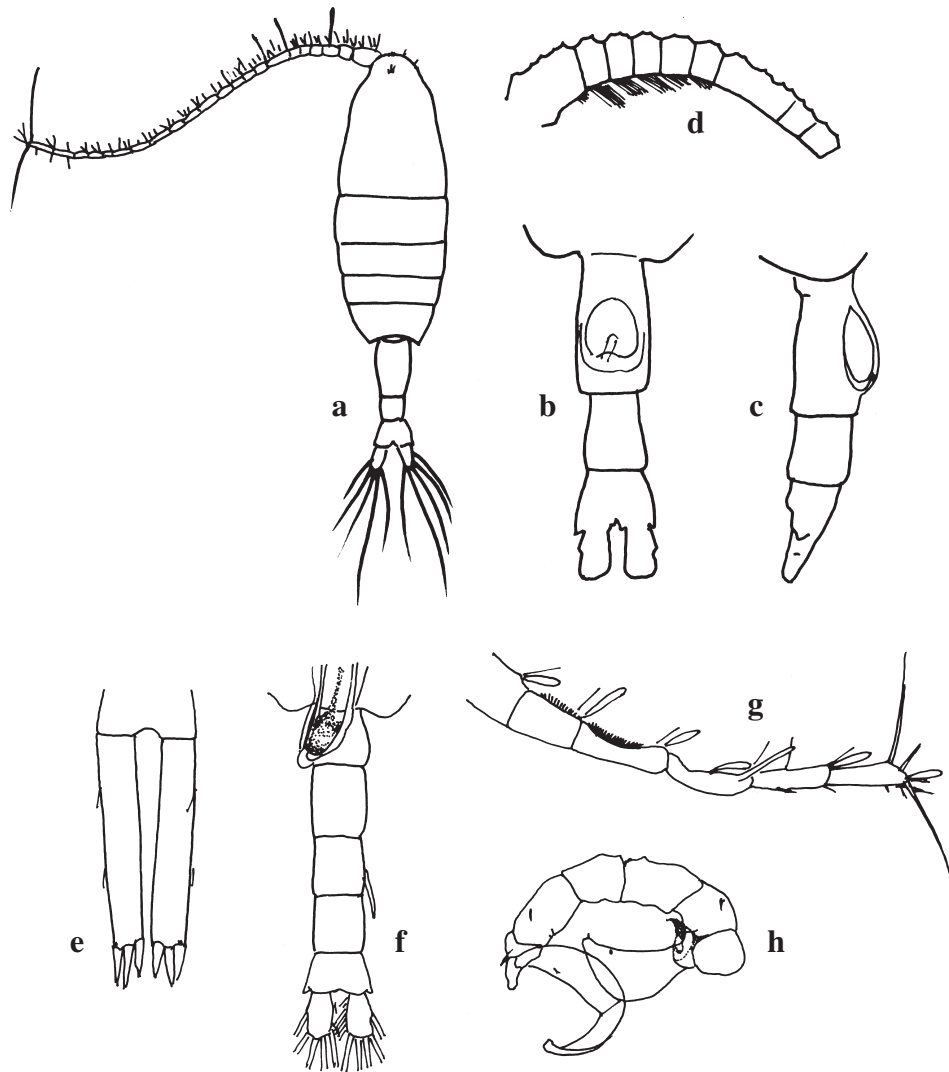
Da: Carli e Crisafi 1983.



Pleuromamma abdominalis. Femmina a-d : a individuo intero (visione laterale); b Ur (visione ventrale); c sgm genitale (visione laterale); d P5. Maschio e-h : e regione frontale (visione dorsale); f particolare di A1 destra; g Ur (visione dorsale); h P5.

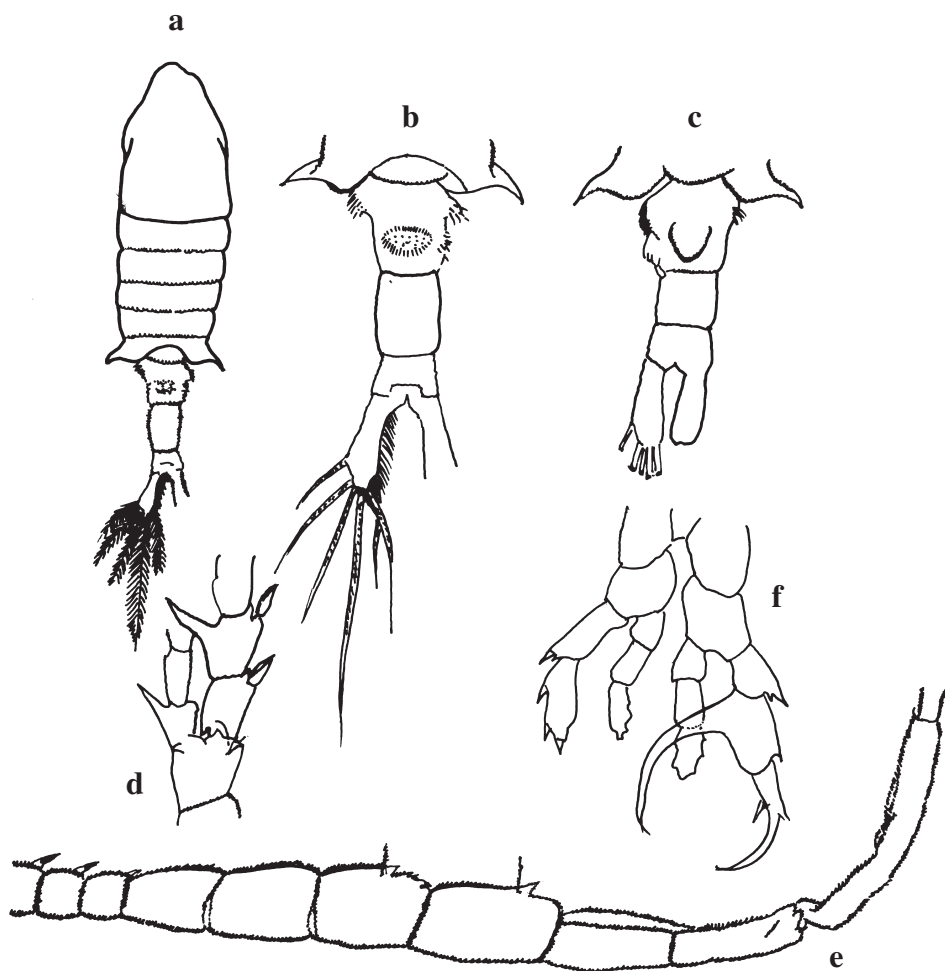
Ridisegnato da: Rose, 1933; Steuer, 1933.

■ M. G. Mazzocchi - SZN, Napoli



Pleuromamma gracilis. Femmina a-e : a individuo intero (visione dorsale); b Ur (visione ventrale); c Ur (visione laterale); d particolare di A1; e P5. Maschio f-h : f Ur (visione ventrale); g particolare di A1 sinistra; h P5.

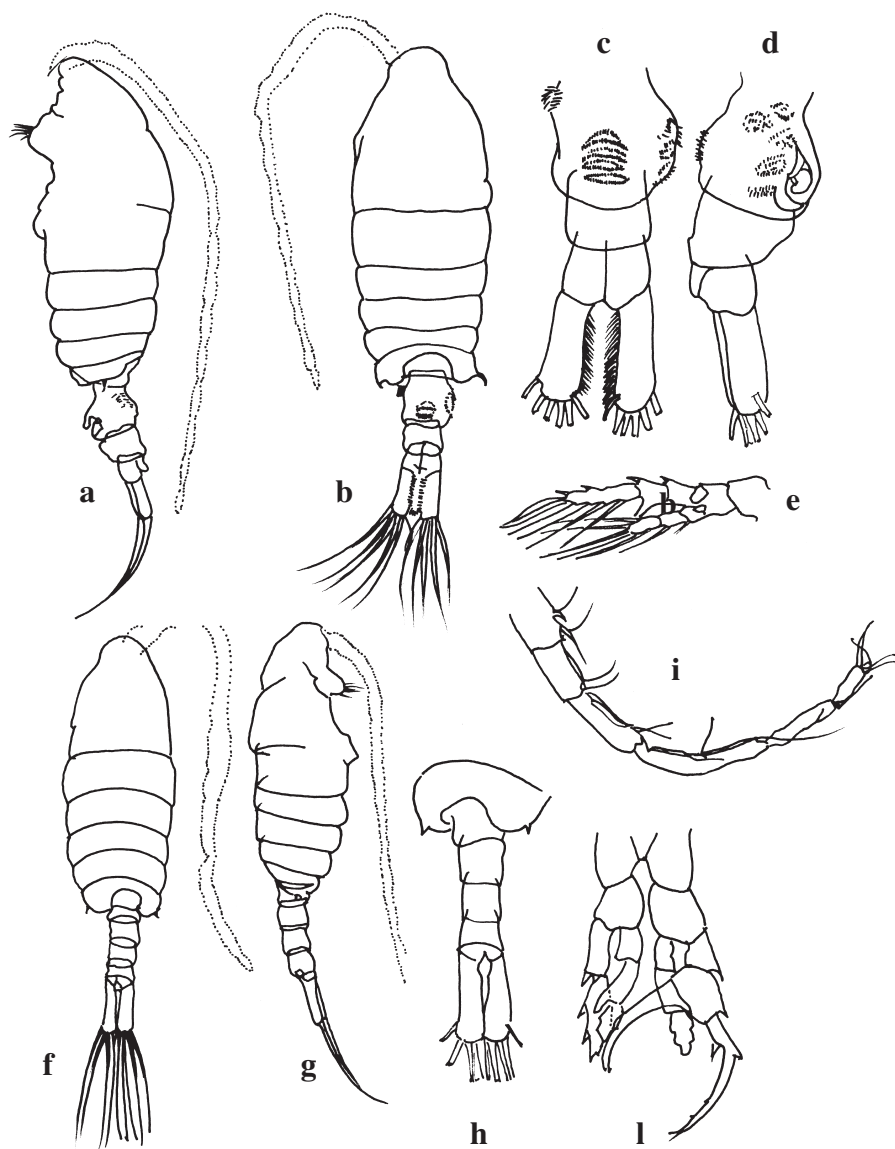
Ridisegnato da: Rose, 1933; Steuer, 1933.



Centropages kroyeri. Femmina a-d: a individuo intero (visione dorsale); b estremità del Th 5 e Ur (visione dorsale), c estremità del Th 5 e Ur (visione ventrale); d B, Exp1 ed Exp2, End1 ed End2 di P5. Maschio e, f: e particolare di A1 destra; f P5.

Ridisegnato da: Rose, 1933; Kovalev, 1967.

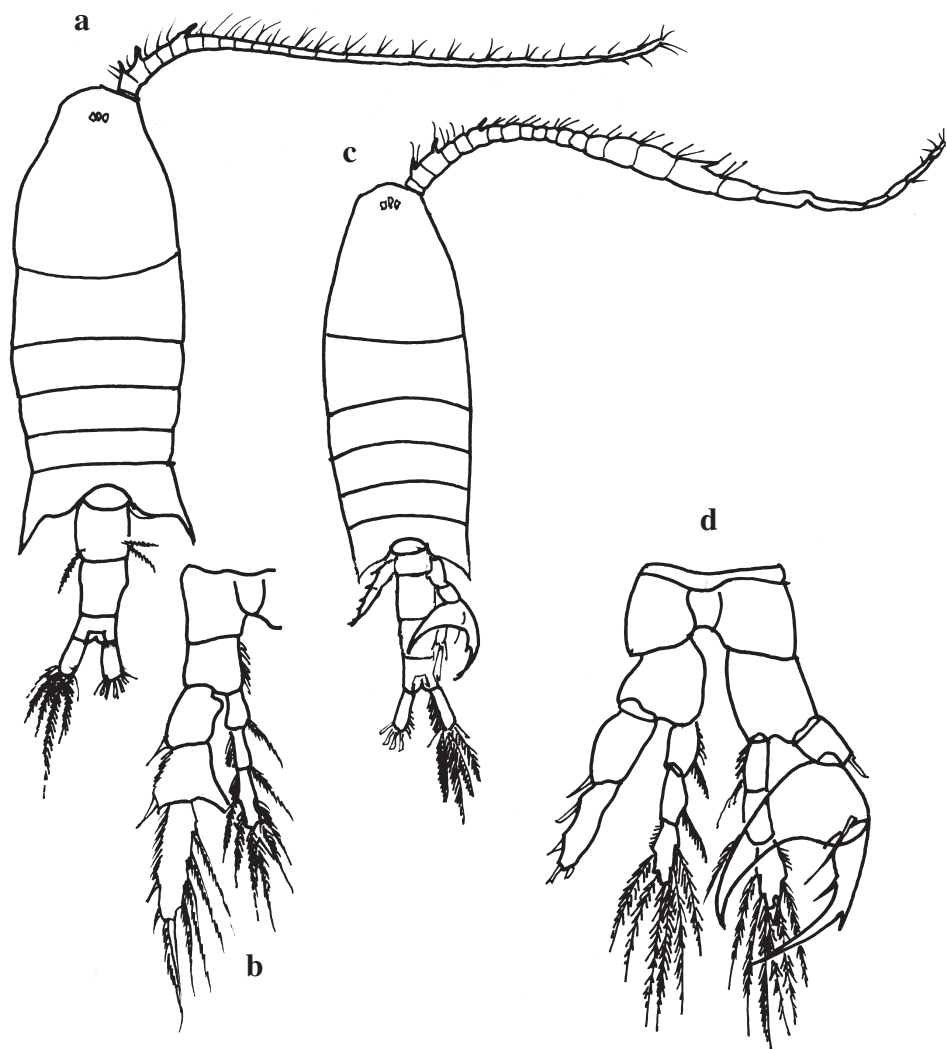
■ M. G. Mazzocchi - SZN, Napoli



Centropages ponticus. Femmina a-e: a individuo intero (visione laterale); b individuo intero (visione dorsale); c Ur (visione ventrale); d Ur (visione laterale); e P5.

Maschio f-l: f individuo intero (visione dorsale); g individuo intero (visione laterale); h Th 5 e Ur (visione dorsale), i particolare di A1 destra; l P5.

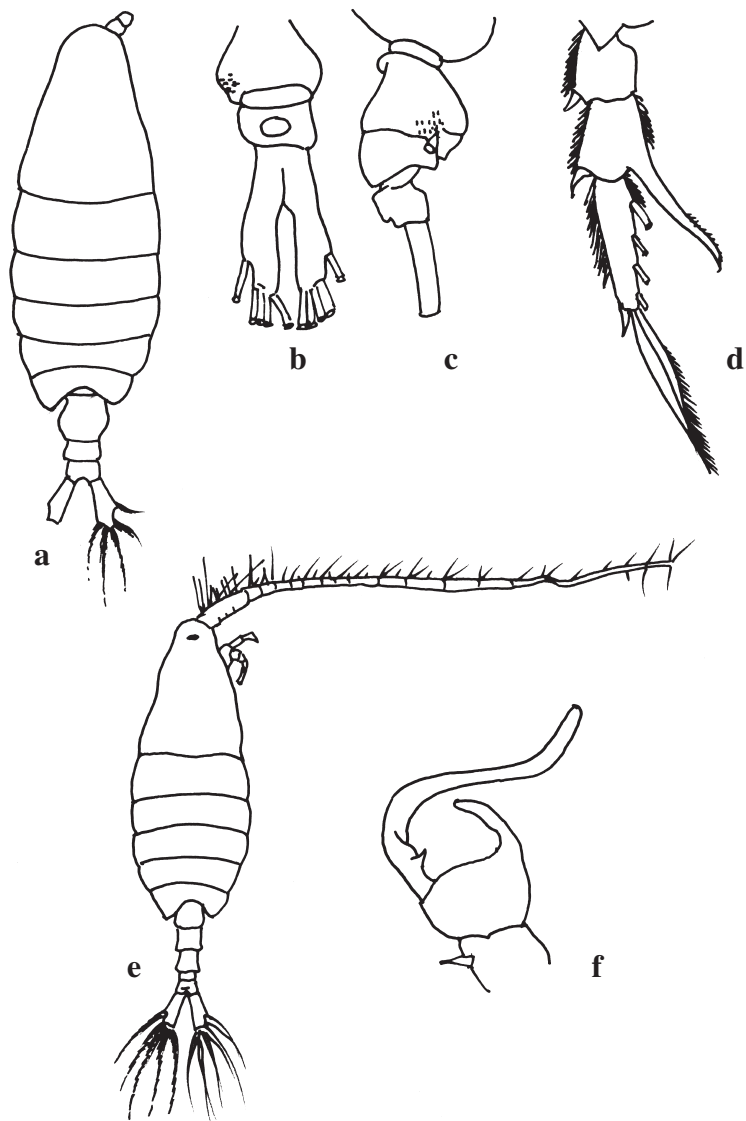
Ridisegnato da: Soler *et al.*, 1988.



Centropages typicus. Femmina a,b: a individuo intero (visione dorsale); b P5. Maschio c,d: c individuo intero (visione dorsale); d P5.

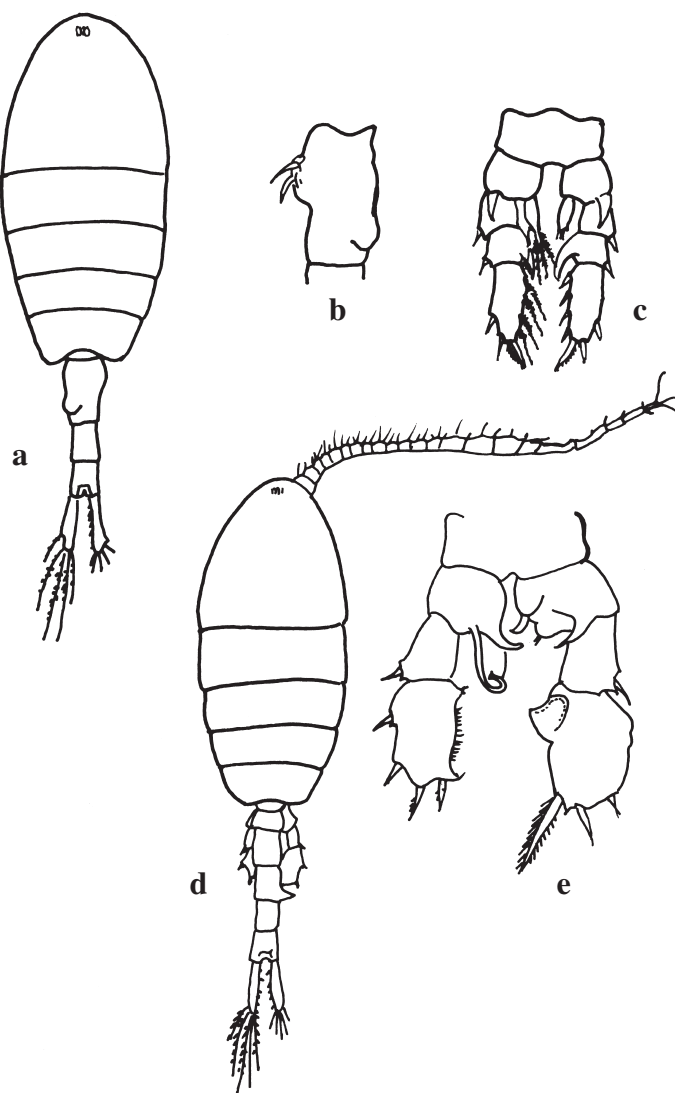
Ridisegnato da: Rose, 1933.

■ M. G. Mazzocchi - SZN, Napoli



Centropages violaceus. Femmina a-d: a individuo intero (visione dorsale); b Ur (visione dorsale), c Ur (visione laterale); d Exp del P5. Maschio e,f : e individuo intero (visione dorsale); f chela del P5 destro.

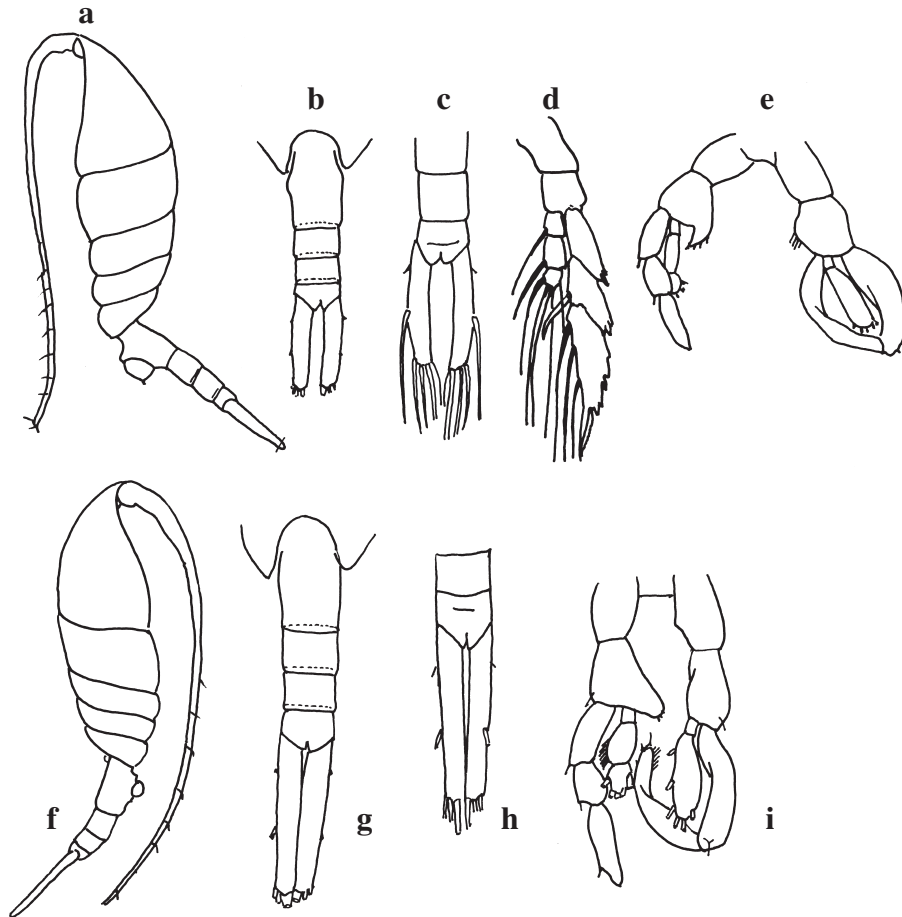
Ridisegnato da: Rose, 1933; Farran, 1948.



Isias clavipes. Femmina a-c : a individuo intero (visione dorsale); b sgm genitale (visione laterale); c P5. Maschio d,e : d individuo intero (visione dorsale); e P5.

Ridisegnato da: Rose, 1933.

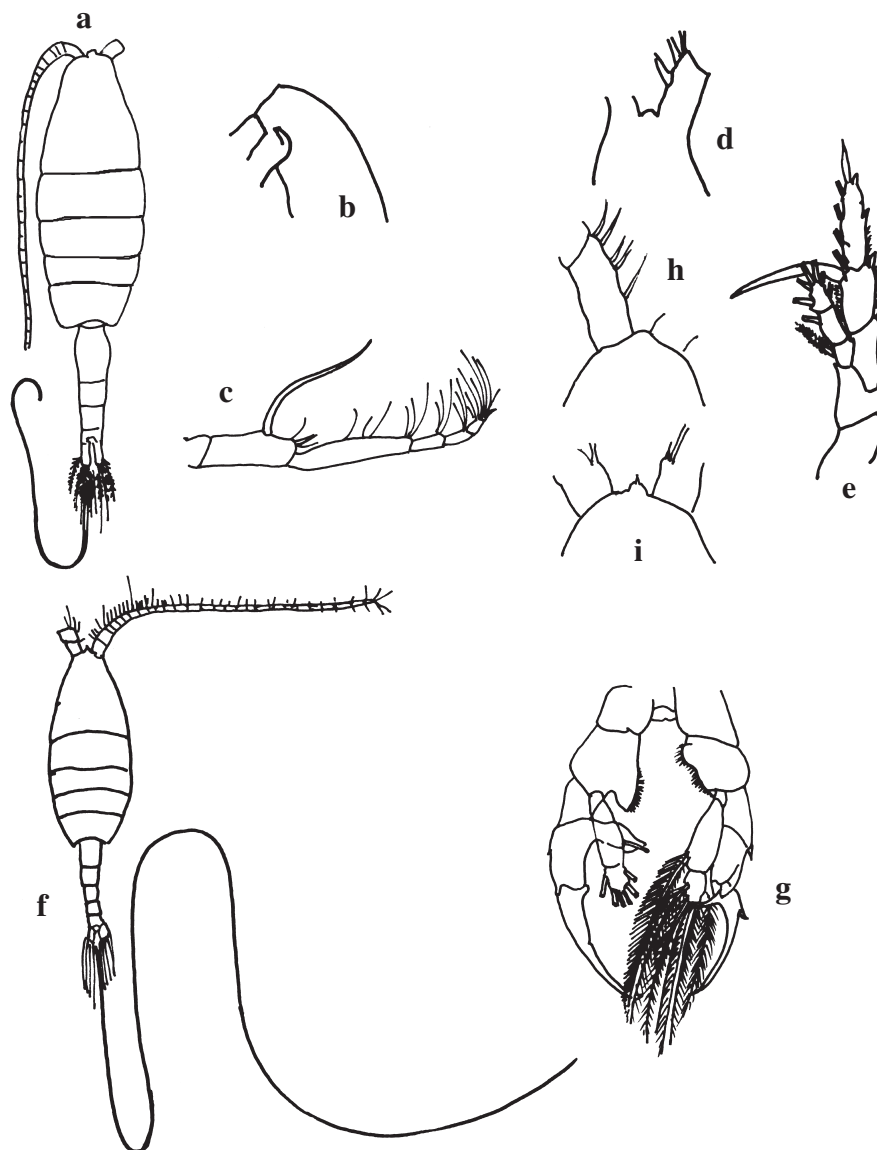
■ M. G. Mazzocchi - SZN, Napoli



Lucicutia flavigornis. a-e Femmina a-d: a individuo intero (visione laterale); b estremità del Th 5 e Ur (visione dorsale); c F (visione dorsale); d P5. **Maschio:** e P5.

Lucicutia gemina. f-i Femmina f-h: f individuo intero (visione laterale); g estremità del Th 5 e Ur (visione dorsale); h F (visione dorsale). **Maschio :** i P5.

Ridisegnato da: Farran, 1926; Rose, 1933; Hülsemann, 1966.

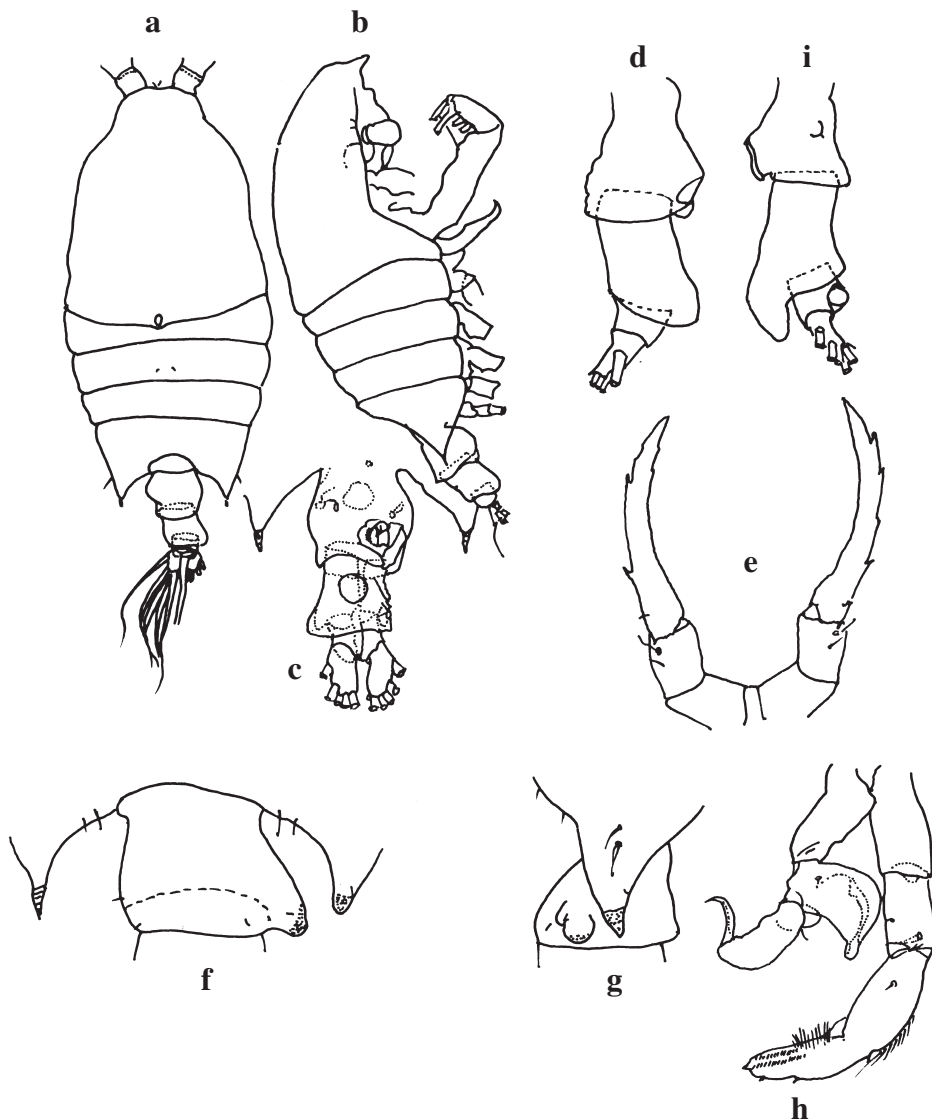


Heterorhabdus papilliger. Femmina a-e: a individuo intero (visione dorsale); b regione frontale (visione laterale); c Mx2; d regione frontale (visione dorsale); e P5. Maschio f-g: f individuo intero (visione dorsale); g P5 (visione ventrale).

H. abyssalis. Femmina h: regione frontale (visione dorsale).

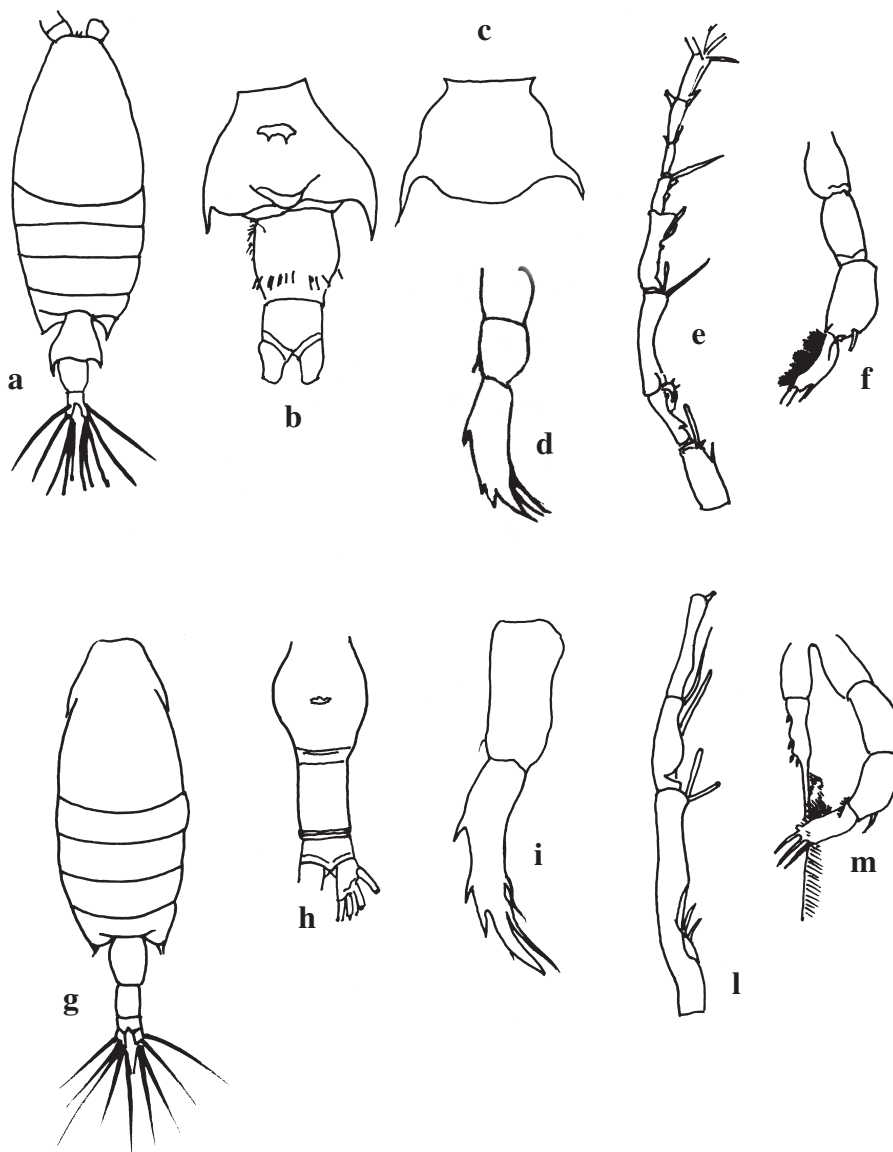
H. spinifrons. Femmina i: regione frontale (visione dorsale).

Ridisegnato da: Rose, 1933; Farran, 1948; Mazza, 1965.



Candacia giesbrechti. Femmina a-e: a individuo intero (visione dorsale); b individuo intero (visione laterale); c Ur (visione ventrale); d Ur (visione laterale); e P5. Maschio f-h: f bordo del Th 5 e primo segmento dell'Ur (visione dorsale), g bordo del Th 5 e primo segmento dell' urosoma (visione laterale); h P5. *Candacia armata*. Femmina i: Ur (visione laterale), per un diretto confronto con quello di *C. giesbrechti*.

Ridisegnato da: Rose, 1933; Grice, 1963.

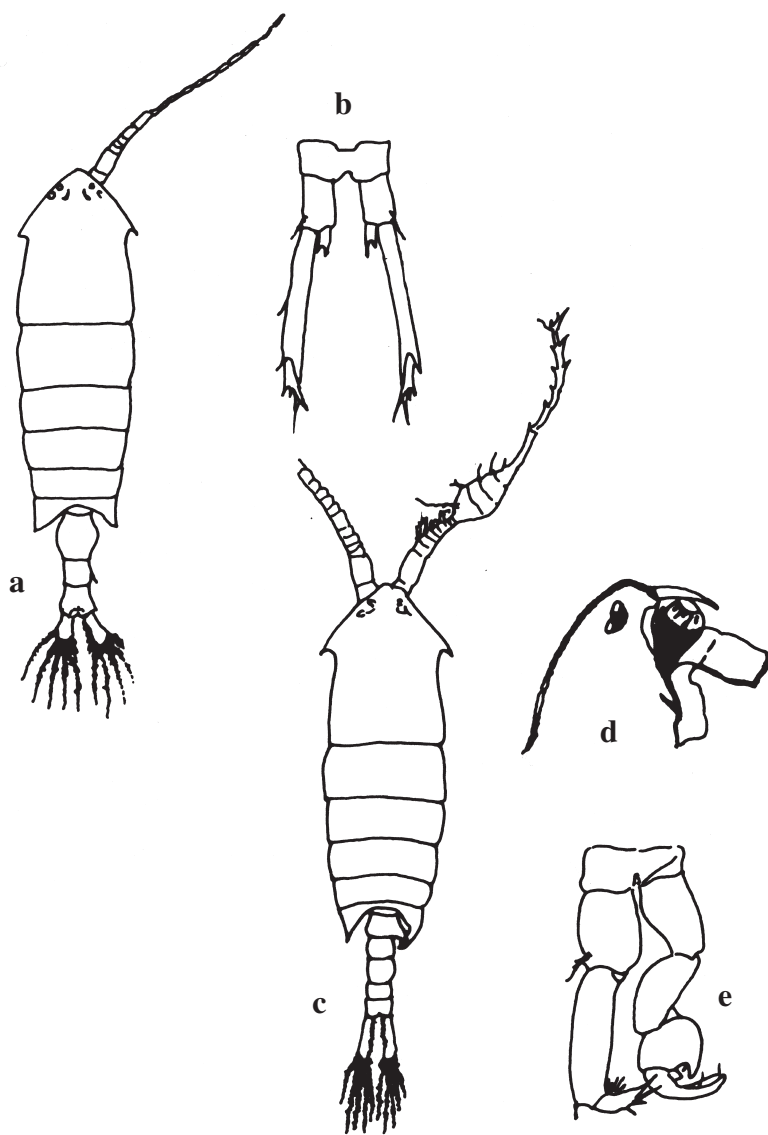


Paracandacia bispinosa. a-f Femmina a-d: a individuo intero (visione dorsale); b Ur (visione dorsale); c sgm genitale (visione ventrale); d P5. Maschio e,f: e A1 destra; f P5 sinistro.

Paracandacia simplex. g-m Femmina g-i: g individuo intero (visione dorsale); h Ur (visione dorsale); i P5 sinistro. Maschio l,m: l regione genicolata di A1; m P5.

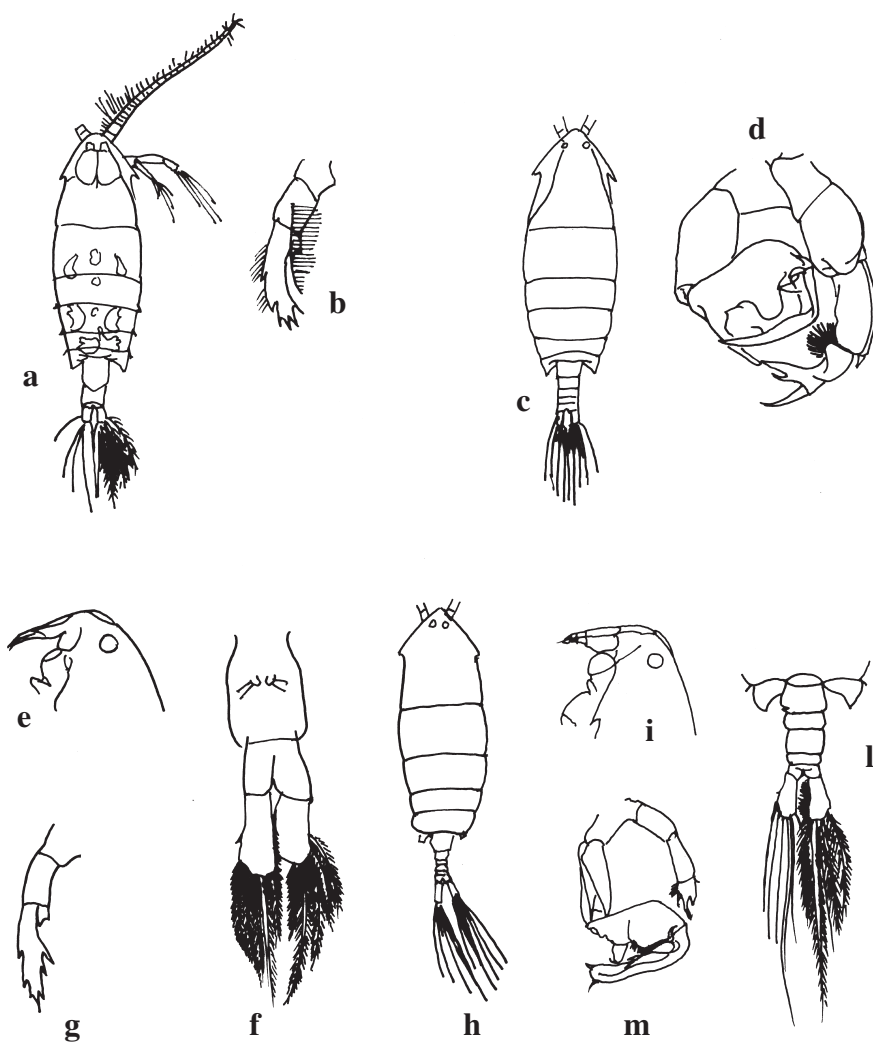
Ridisegnato da: Rose, 1933; Grice, 1963.

■ M. G. Mazzocchi - SZN, Napoli



Anomalocera patersoni. Femmina a,b: a individuo intero (visione dorsale); b P5. Maschio c-e: c individuo intero (visione dorsale); d regione frontale (visione laterale); e P5.

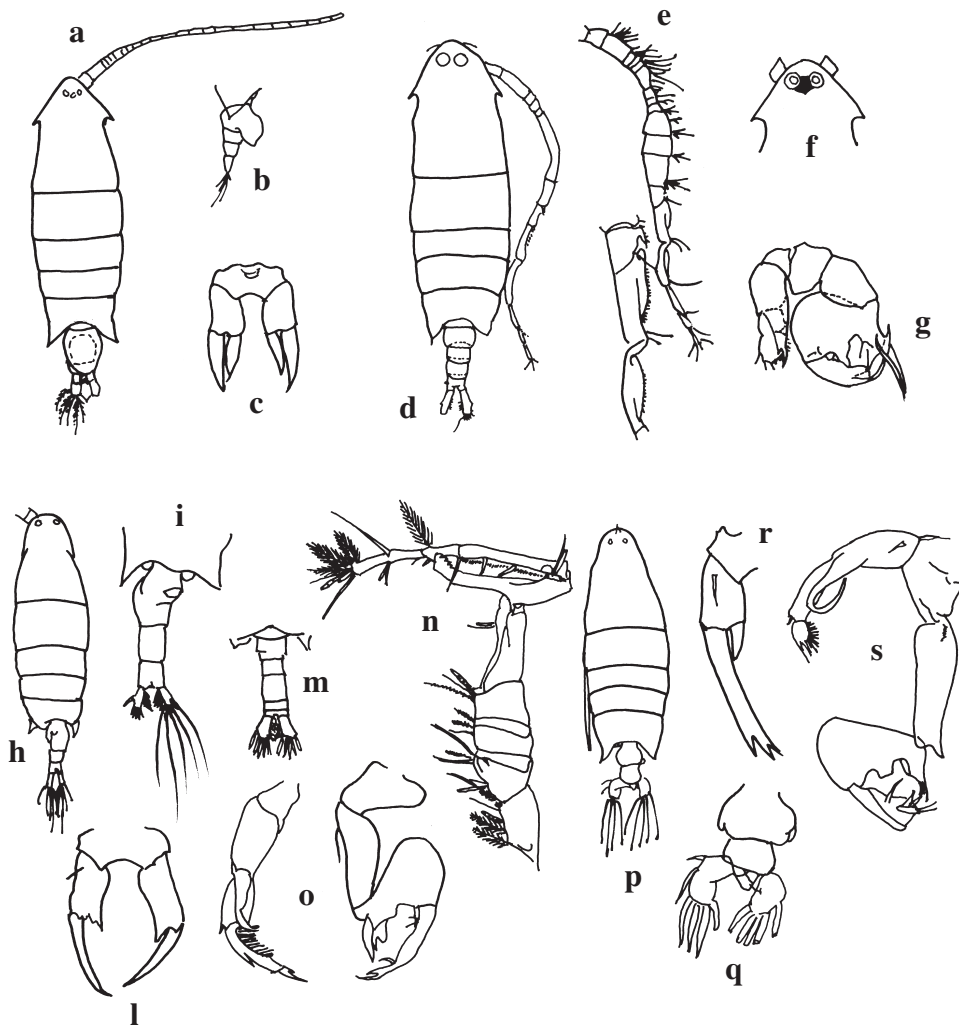
Ridisegnato da: Rose, 1933.



Pontella lobiancoi. a-d Femmina a,b: a individuo intero (visione dorsale); b P5. Maschio c,d: c individuo intero (visione dorsale); d P5.

Pontella mediterranea. e-m Femmina e,g: e regione frontale (visione laterale); f Ur (visione ventrale); g P5. Maschio h-m: h individuo intero (visione dorsale); i regione frontale (visione laterale); l Ur (visione dorsale); m P5.

Ridisegnato da: Rose, 1933.

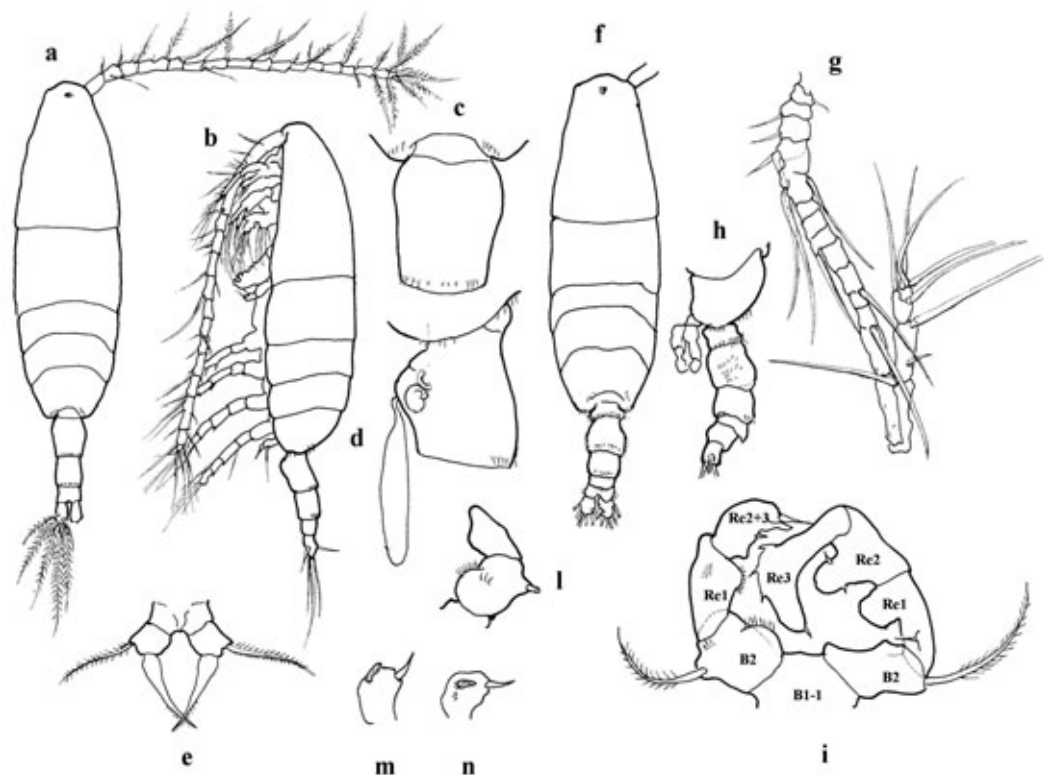


Labidocera wollastoni. a-g Femmina a-c: a individuo intero (visione dorsale); b Ur (visione laterale); c P5. Maschio d-g: d individuo intero (visione dorsale); e A1 destra con particolare; f regione frontale (visione dorsale); g P5.

Labidocera brunescens. h-n Femmina h-l: h individuo intero (visione dorsale); i Ur (visione ventrale); j P5. Maschio m-o: m Ur (visione dorsale); n A1 destra; o P5 destro e sinistro.

Labidocera acutifrons. p-s Femmina p-r : p individuo intero (visione dorsale); q Ur (visione dorsale); r P5. Maschio s: P5.

Ridisegnato da: Rose, 1933.

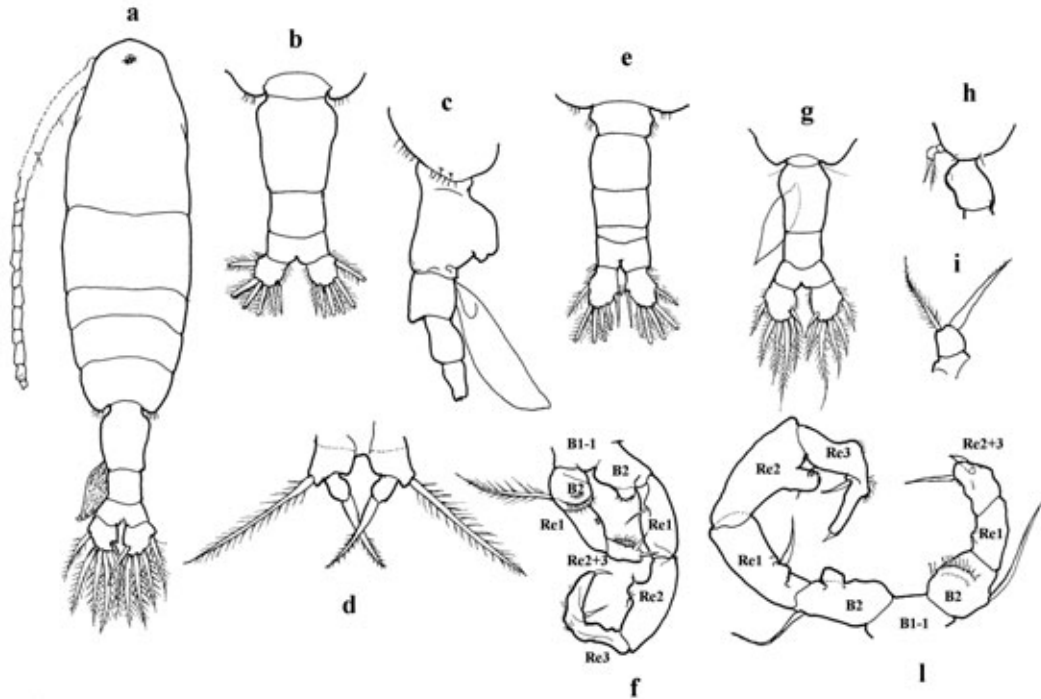


Acartia clausi. Femmina a-e: a individuo intero (visione dorsale); b individuo intero (visione laterale sinistra); c segmento genitale (visione dorsale); d segmento genitale con spermatoeca (visione laterale sinistra); e quinto piede.

Maschio f-n; f individuo intero (visione dorsale); g prima antenna destra genicolata; h urosoma (visione laterale sinistra); i quinto piede; l Re1 del ramo sinistro del quinto piede (visione posteriore); m-n ultimo segmento del ramo sinistro del quinto piede.

Dis. di: A. Comaschi

■ A. Comaschi - CNR. Venezia



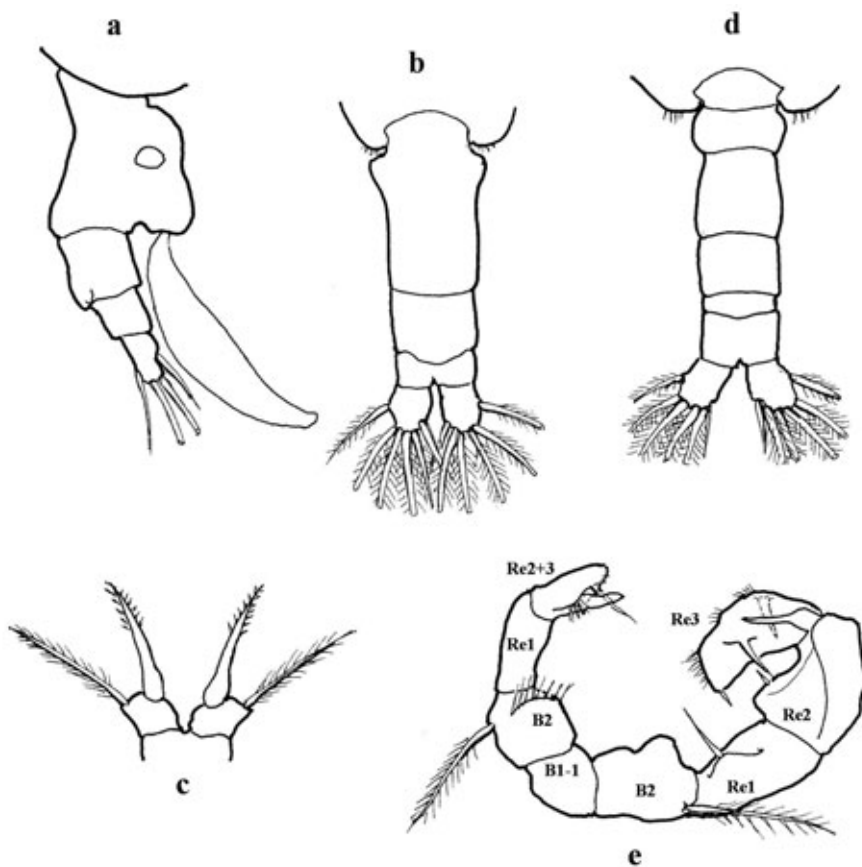
Acartia discaudata var. *mediterranea*. Femmina a-d: a individuo intero (visione dorsale); b urosoma (visione dorsale); c urosoma (visione laterale destra); d quinto piede.

Maschio e-f: e urosoma (visione dorsale); f quinto piede.

Acartia discaudata. Femmina g-i: g urosoma (visione dorsale); h urosoma (visione laterale sinistra); i quinto piede (ramo sinistro).

Maschio l quinto piede (visione posteriore).

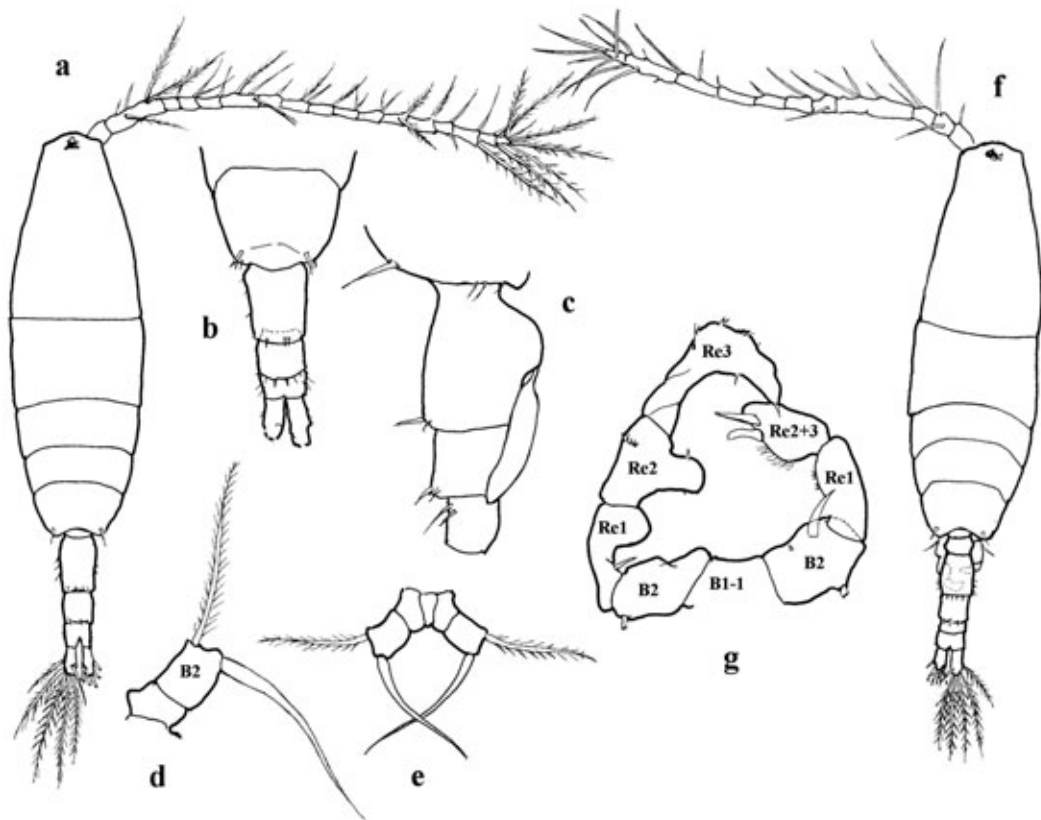
Dis. di: A. Comaschi



Acartia enzoi. Femmina a-c: a urosoma (visione laterale destra); b urosoma (visione dorsale); c quinto piede. Maschio d-e: d urosoma (visione dorsale); e quinto piede.

Dis. di: A. Comaschi

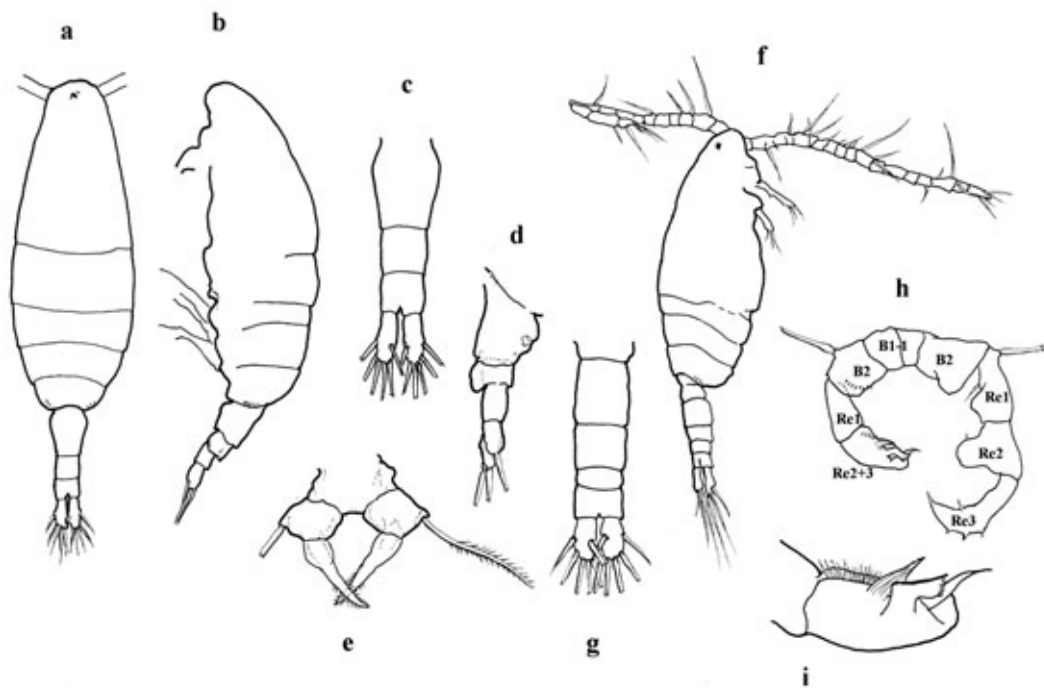
■ A. Comaschi - CNR. Venezia



Acartia longiremis. Femmina a-e: a individuo intero (visione dorsale); b prosoma posteriore ed urosoma (visione dorsale); c urosoma con spermatofora (visione laterale destra); d quinto piede (ramo sinistro); e quinto piede (ramo destro).

Maschio f-g: f individuo intero (visione dorsale); g quinto piede (visione posteriore).

Dis. di: A. Comaschi

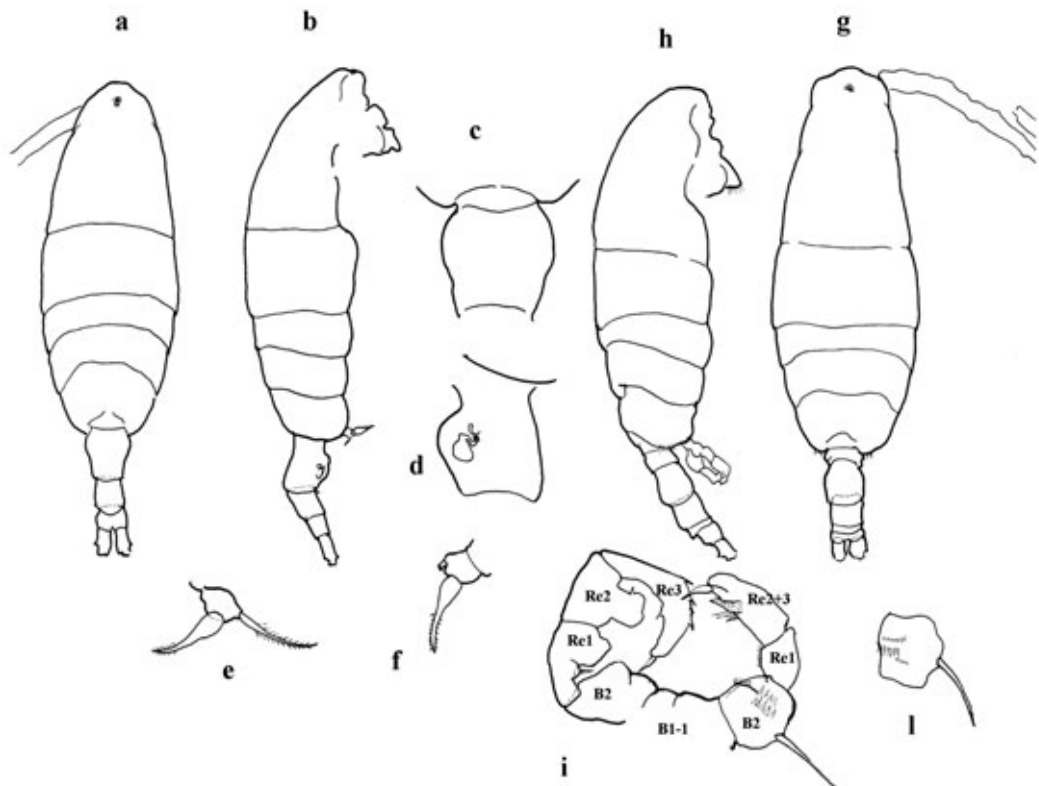


Acartia margalefi. Femmina a-e: a individuo intero (visione dorsale); b individuo intero (visione laterale sinistra); c urosoma (visione dorsale); d urosoma (visione laterale destra); e quinto piede.

Maschio f-i: f individuo intero (visione dorsale); g urosoma (visione dorsale); h quinto piede (visione posteriore); i Re2+3 del ramo sinistro di P5.

Dis. di: A. Comaschi

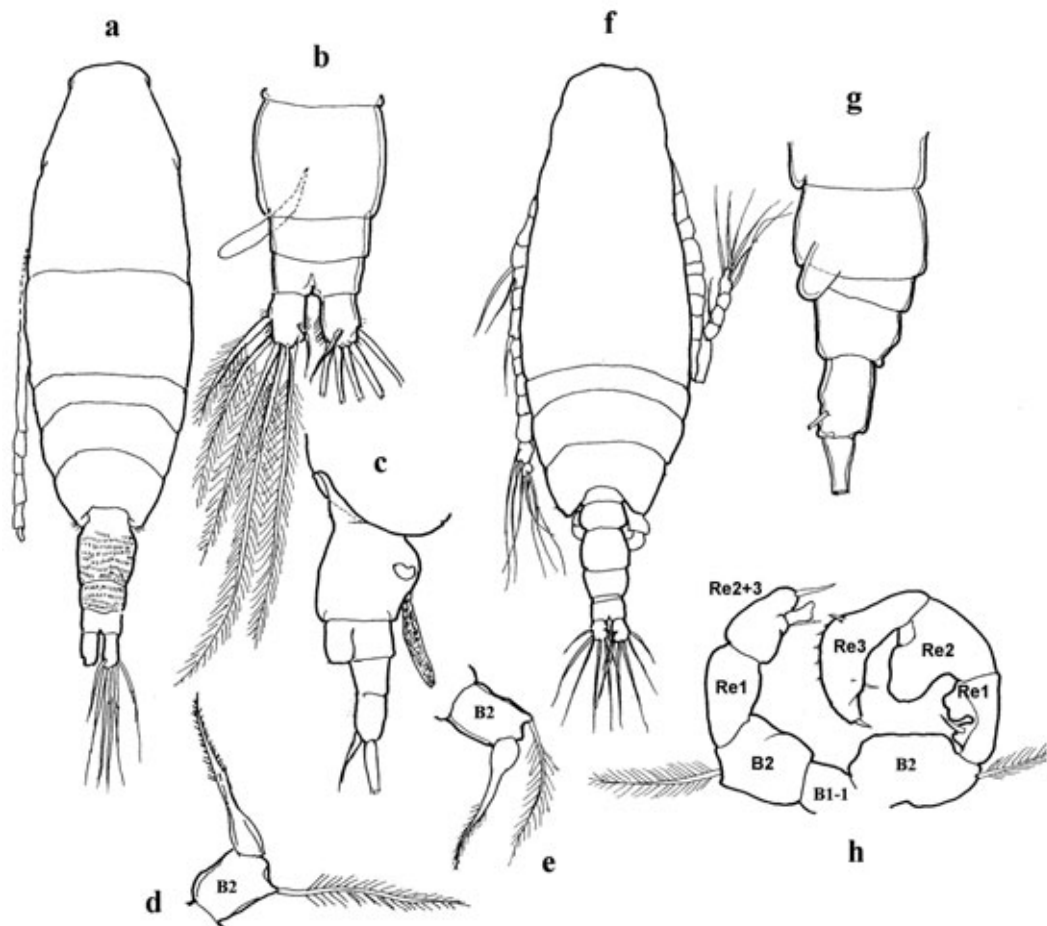
■ A. Comaschi - CNR. Venezia



Acartia teclae. Femmina a-f: a individuo intero (visione dorsale); b individuo intero (visione laterale destra); c segmento genitale (visione dorsale); d segmento genitale (visione laterale sinistra); e quinto piede (ramo destro); f quinto piede (ramo sinistro).

Maschio g-l: g individuo intero (visione dorsale); h individuo intero (visione laterale destra); i quinto piede (visione posteriore); l B2 del ramo sinistro del quinto piede (visione anteriore).

Dis. di: A. Comaschi

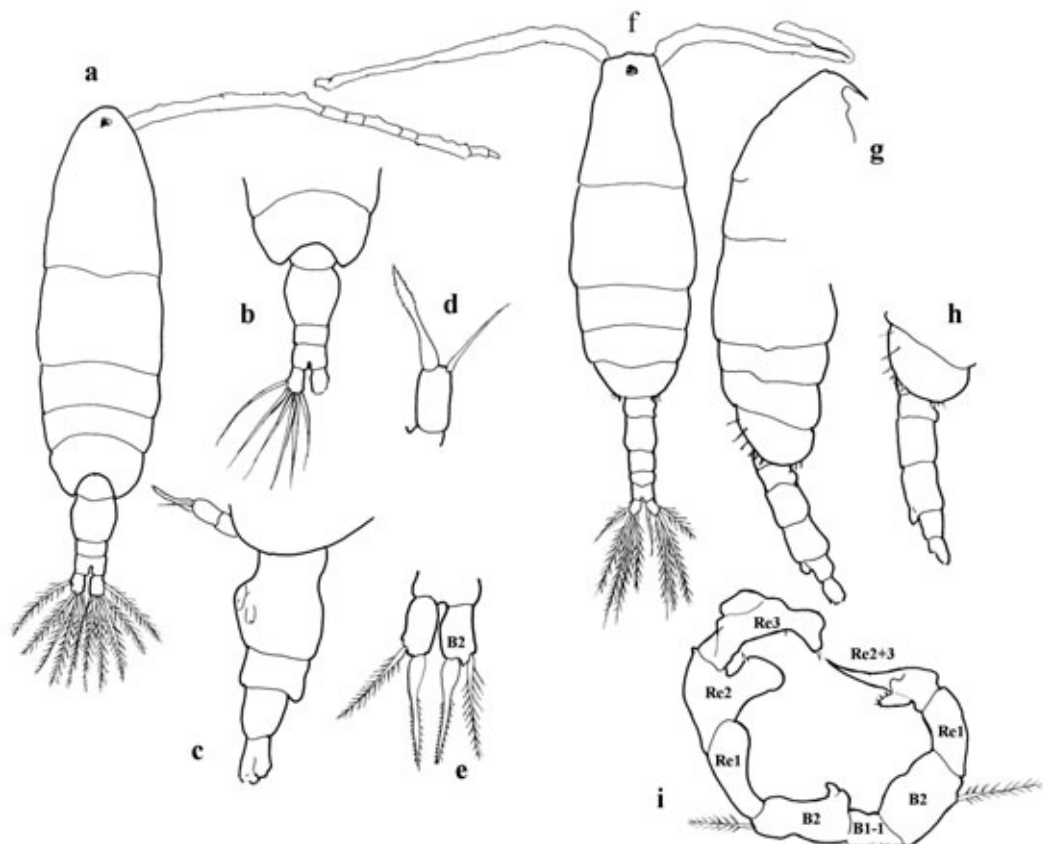


Acartia bifilosa. Femmina a-e: a individuo intero (visione dorsale); b urosoma (visione dorsale); c urosoma (visione laterale destra); d-e quinto piede (ramo sinistro).

Maschio f-h: f individuo intero (visione dorsale); g urosoma (visione laterale sinistra); h quinto piede.

Dis. di: A. Comaschi

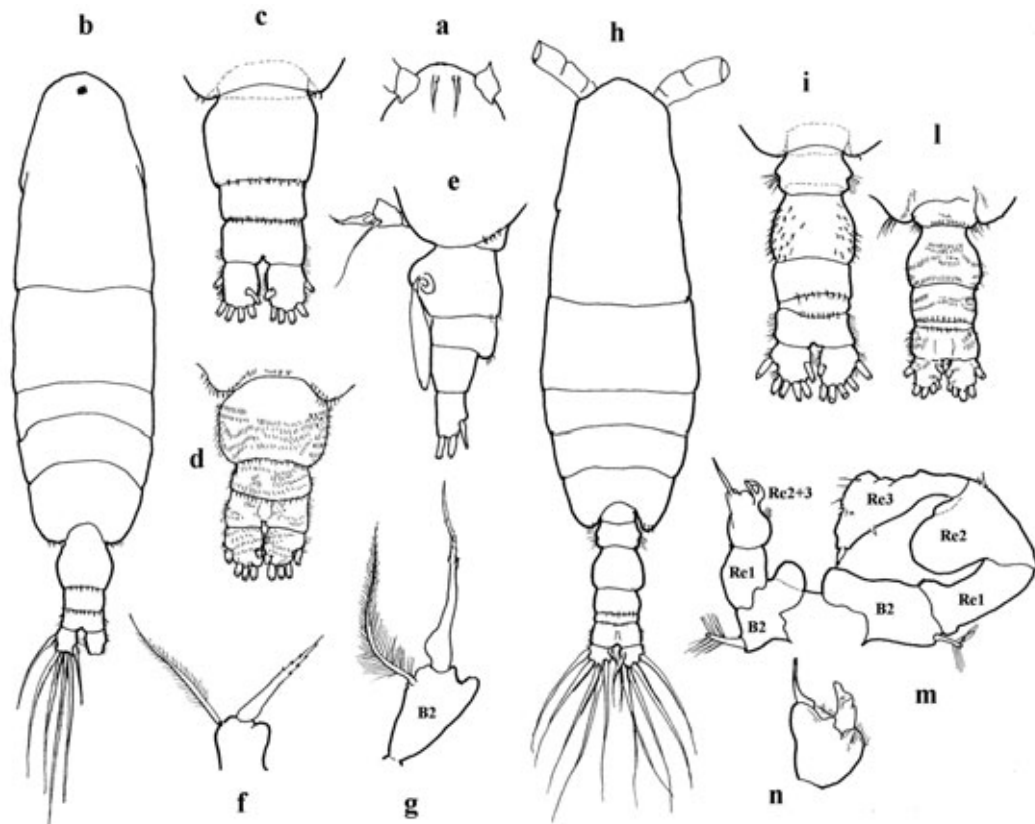
■ A. Comaschi - CNR. Venezia



Acartia italicica. Femmina a-e: a individuo intero (visione dorsale); b urosoma (visione dorsale); c urosoma (visione laterale sinistra); d quinto piede destro; e quinto piede.

Maschio f-i: f individuo intero (visione dorsale); g individuo intero (visione laterale destra); h urosoma (visione laterale destra); i quinto piede.

Dis. di: A. Comaschi



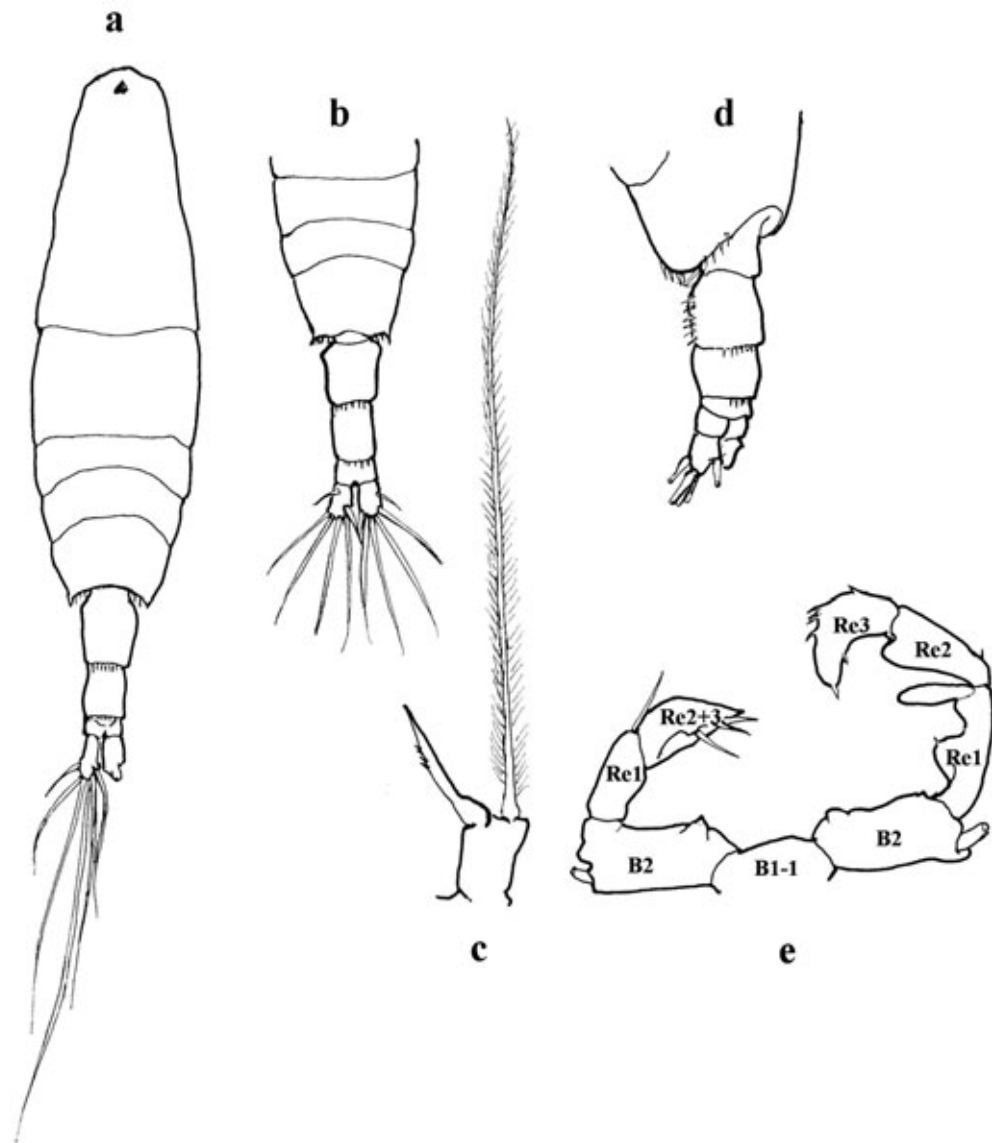
Acartia tonsa. a filamenti rostrali nei due sessi.

Femmina b-g; b individuo intero (visione dorsale); c-d urosoma (visione dorsale); e urosoma con spermatofora (visione laterale sinistra); f-g quinto piede (ramo sinistro).

Maschio h-n; h individuo intero (visione dorsale); i-l urosoma (visione dorsale); m quinto piede; n Re₂₊₃ del ramo sinistro del quinto piede.

Dis. di: A. Comaschi

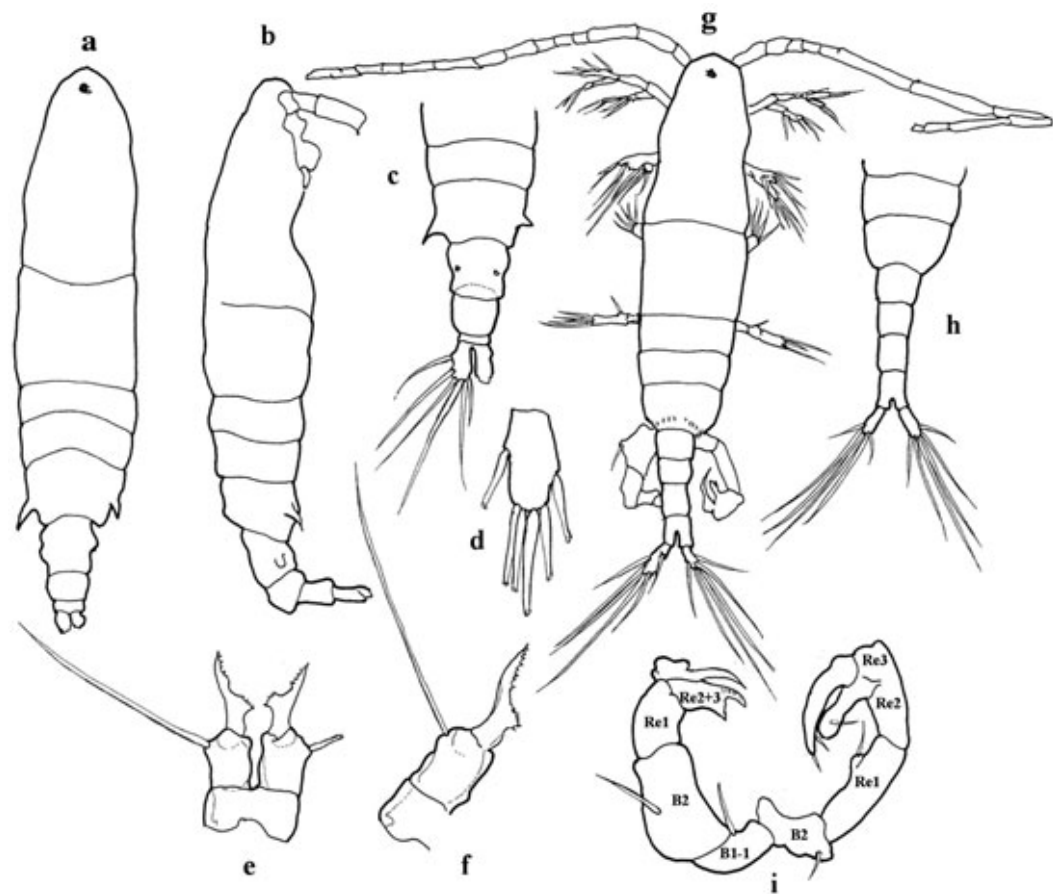
■ A. Comaschi - CNR. Venezia



Acartia negligens. Femmina a-c: a individuo intero (visione dorsale); b prosoma posteriore ed urosoma (visione dorsale); c quinto piede (ramo destro).

Maschio d-e: d prosoma posteriore ed urosoma (visione dorsolaterale sinistra); e quinto piede.

Dis. di: A. Comaschi

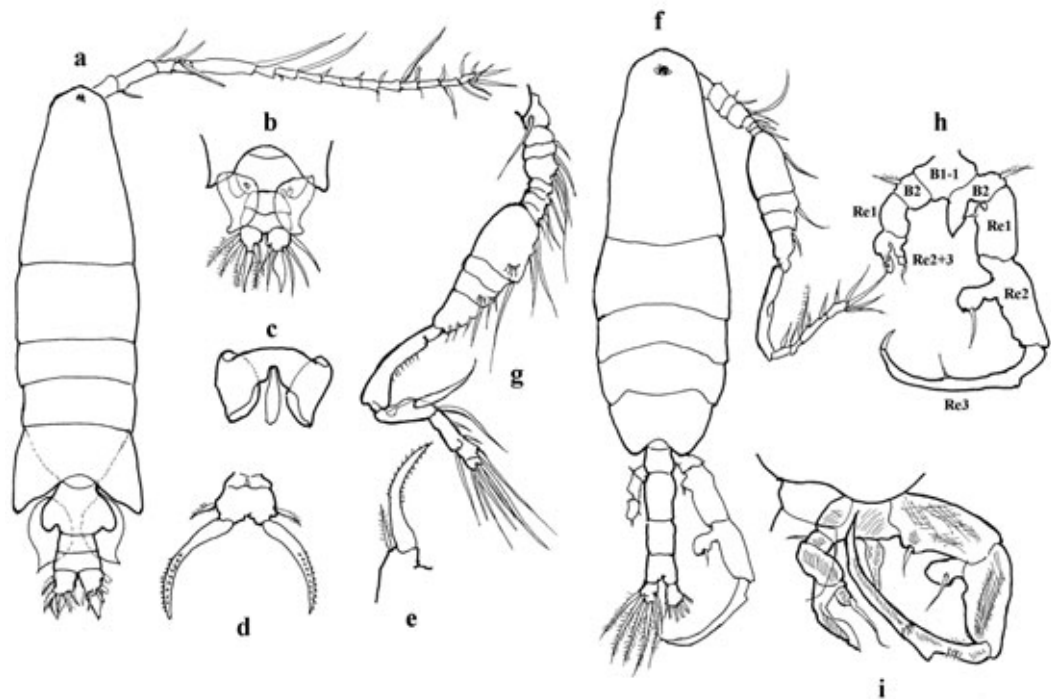


Acartia adriatica. Femmina a-f: a individuo intero (visione dorsale); b individuo intero (visione laterale destra); c prosoma posteriore ed urosoma (visione dorsale); d ramo furcale destro; e quinto piede; f quinto piede sinistro.

Maschio g-i: g individuo intero (visione dorsale); h prosoma posteriore ed urosoma (visione dorsale); i quinto piede.

Dis. di: A. Comaschi

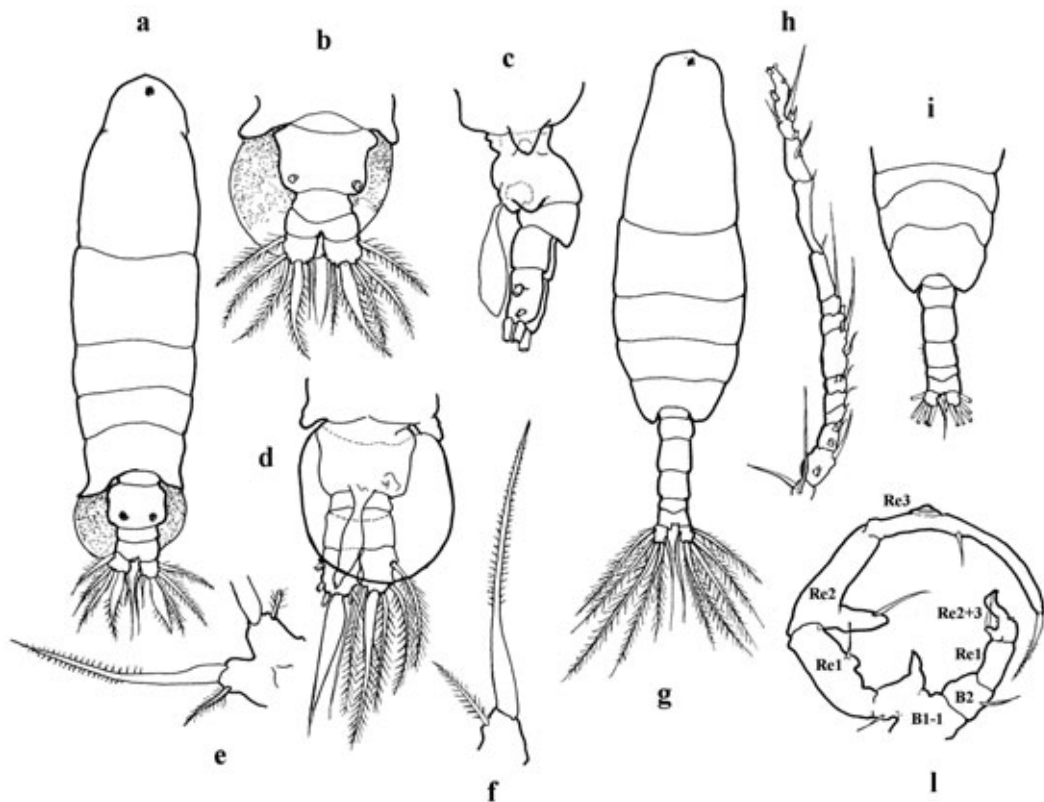
■ A. Comaschi - CNR. Venezia



Paracartia grani. Femmina a-e: a individuo intero (visione dorsale); b urosoma (visione dorsale); c spermatofora; d quinto piede; e quinto piede (ramo sinistro).

Maschio f-i: f individuo intero (visione dorsale); g prima antenna destra, genicolata; h-i quinto piede.

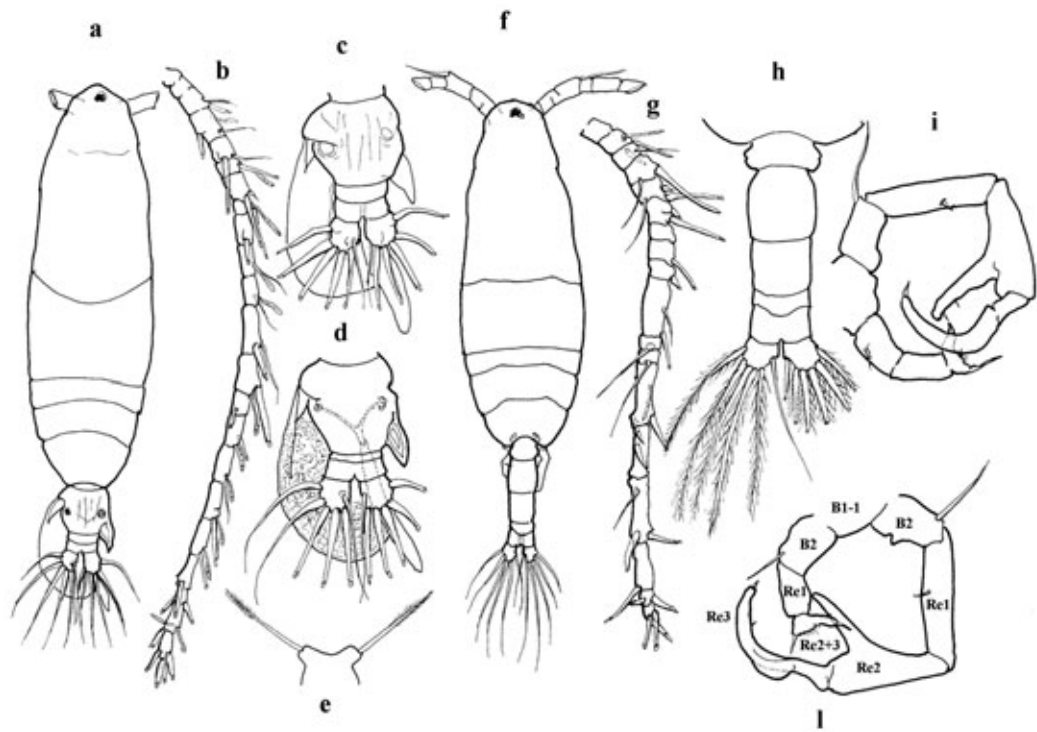
Dis. di: A. Comaschi



Paracartia latisetosa. Femmina a-f: a individuo intero (visione dorsale); b urosoma (visione dorsale); c urosoma (visione laterale sinistra); d urosoma (visione ventrale); e quinto piede; f quinto piede (ramo sinistro).
 Maschio g-l: g individuo intero (visione dorsale); h parte terminale della prima antenna destra; i prosoma posteriore ed urosoma (visione dorsale); l quinto piede (visione posteriore).

Dis. di: A. Comaschi

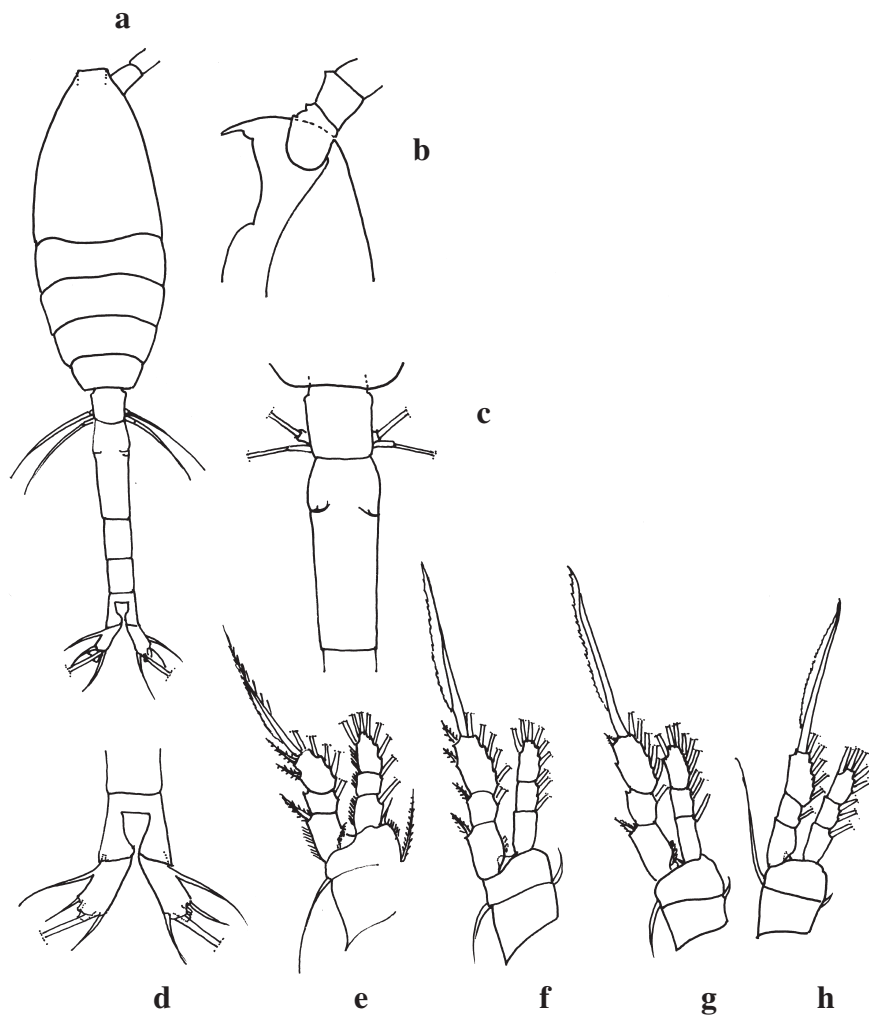
■ A. Comaschi - CNR. Venezia



Pteriacartia josephinae. Femmina a-e: a individuo intero (visione dorsale); b prima antenna destra; c-d urosoma (visione dorsale); e quinto piede.

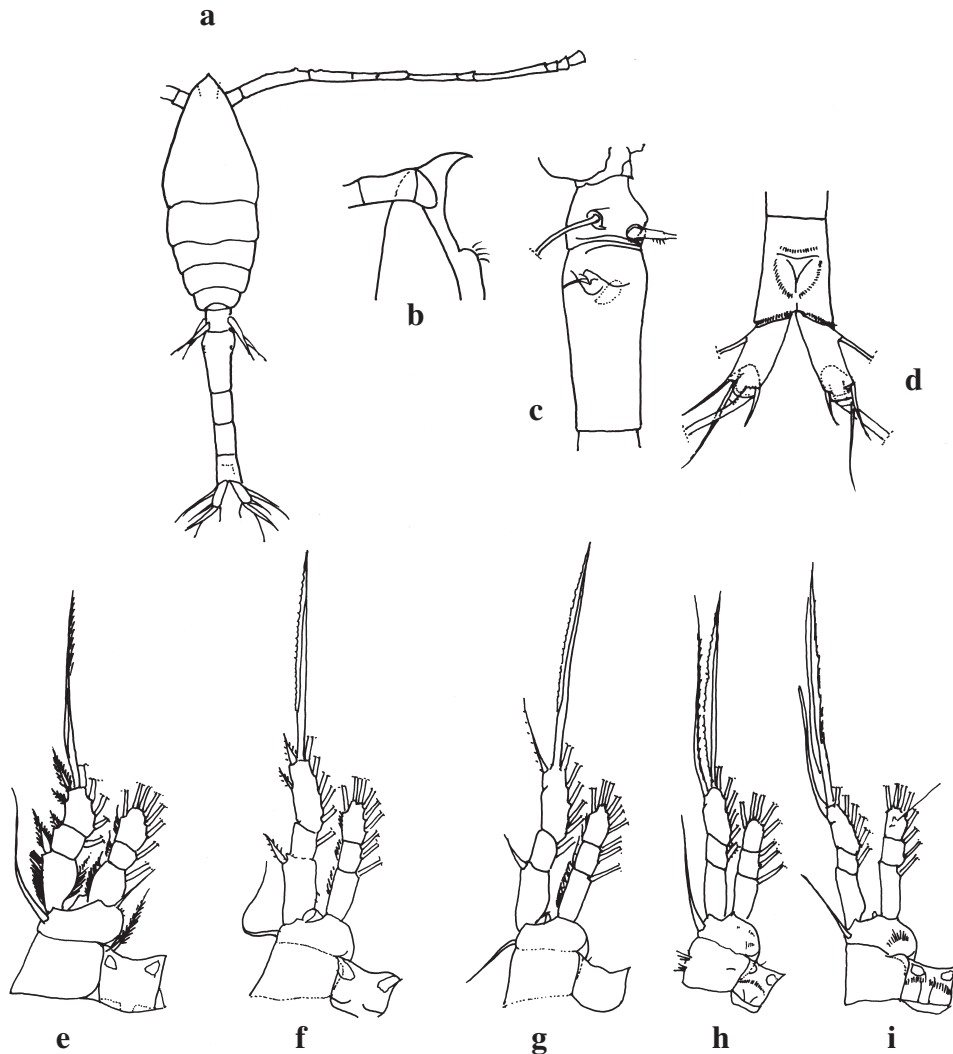
Maschio f-l: f individuo intero (visione dorsale); g prima antenna destra; h urosoma (visione dorsale); i-l quinto piede.

Dis. di: A. Comaschi



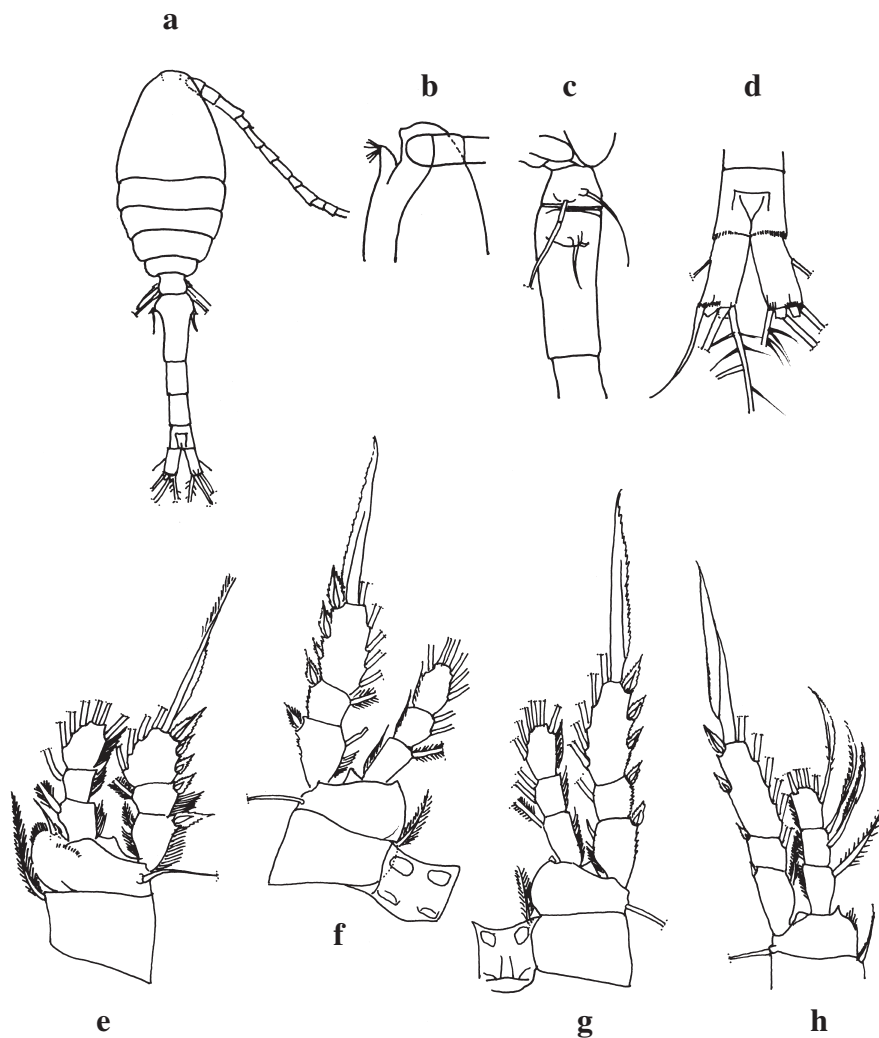
Oithona decipiens. Femmina a-h: a individuo intero (visione dorsale); b rostro (visione laterale); c Ur (visione dorsale); d segmento anale e F (visione dorsale); e P1; f P2, g P3; h P4.

Ridisegnato da: Nishida, 1985.



Oithona longispina. Femmina a-h: a individuo intero (visione dorsale); b testa (visione laterale); c primi due segmenti dell'Ur (visione laterale); d segmento anale e F (visione dorsale); e P1; f P2, g P3; h P4. *Oithona atlantica*. Femmina i: P4, per confronto diretto con quello di *O. longispina*.

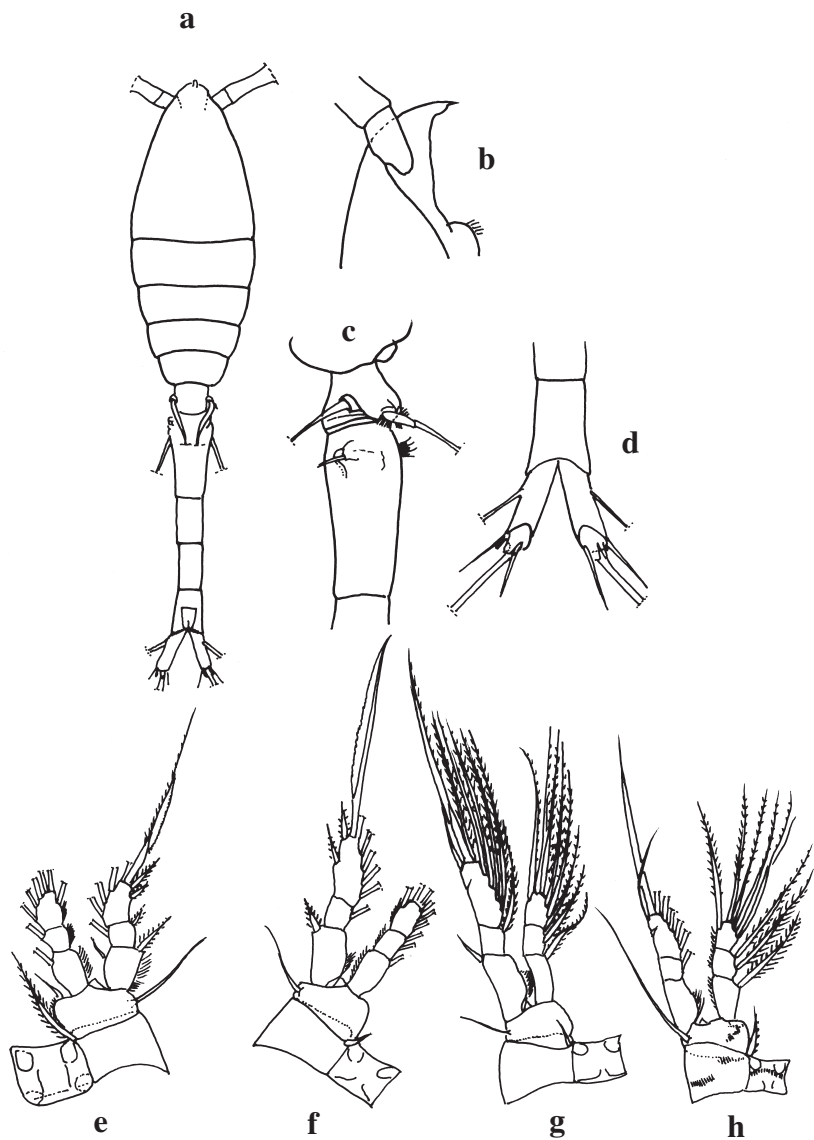
Ridisegnato da: Nishida, 1985.



Oithona nana. Femmina a-h: a individuo intero (visione dorsale); b testa (visione laterale); c primi due segmenti dell'Ur (visione laterale); d F (visione dorsale); e P1; f P2, g P3; h P4.

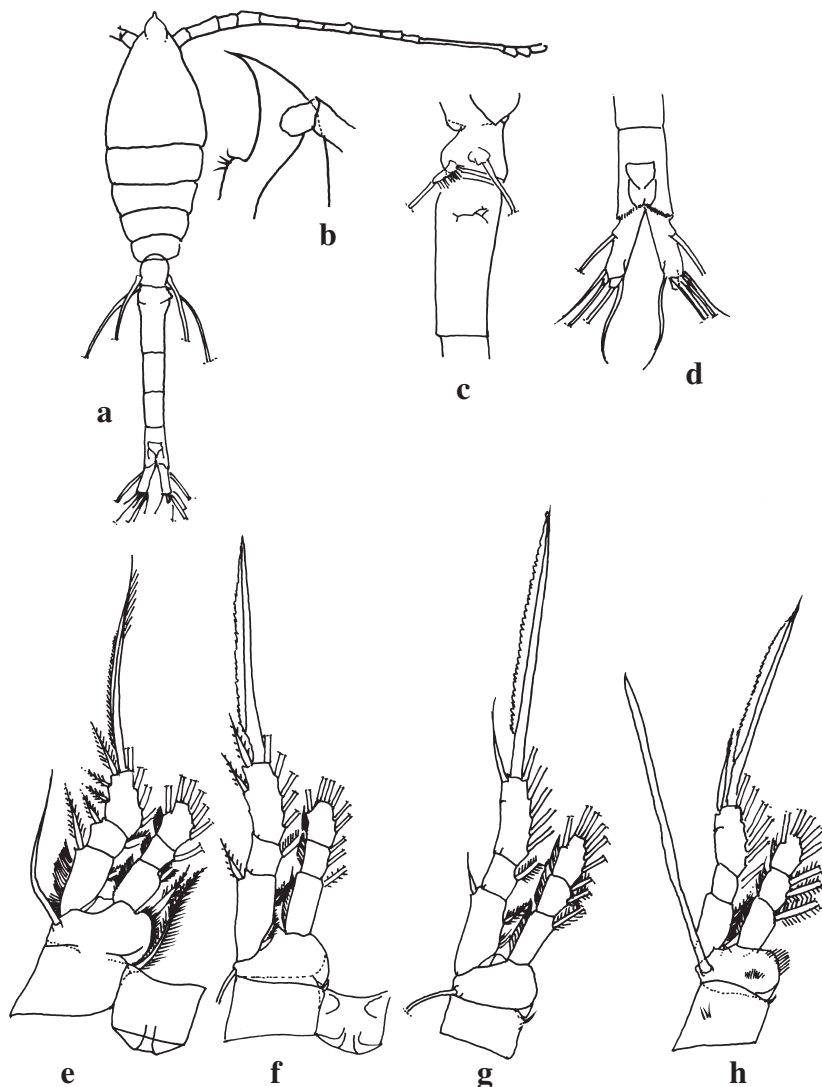
Ridisegnato da: Nishida, 1985.

■ M. G. Mazzocchi - SZN, Napoli



Oithona plumifera. Femmina a-h: a individuo intero (visione dorsale); b testa (visione laterale); c primi due segmenti dell'Ur (visione laterale); d segmento anale e F (visione dorsale); e P1; f P2, g P3; h P4.

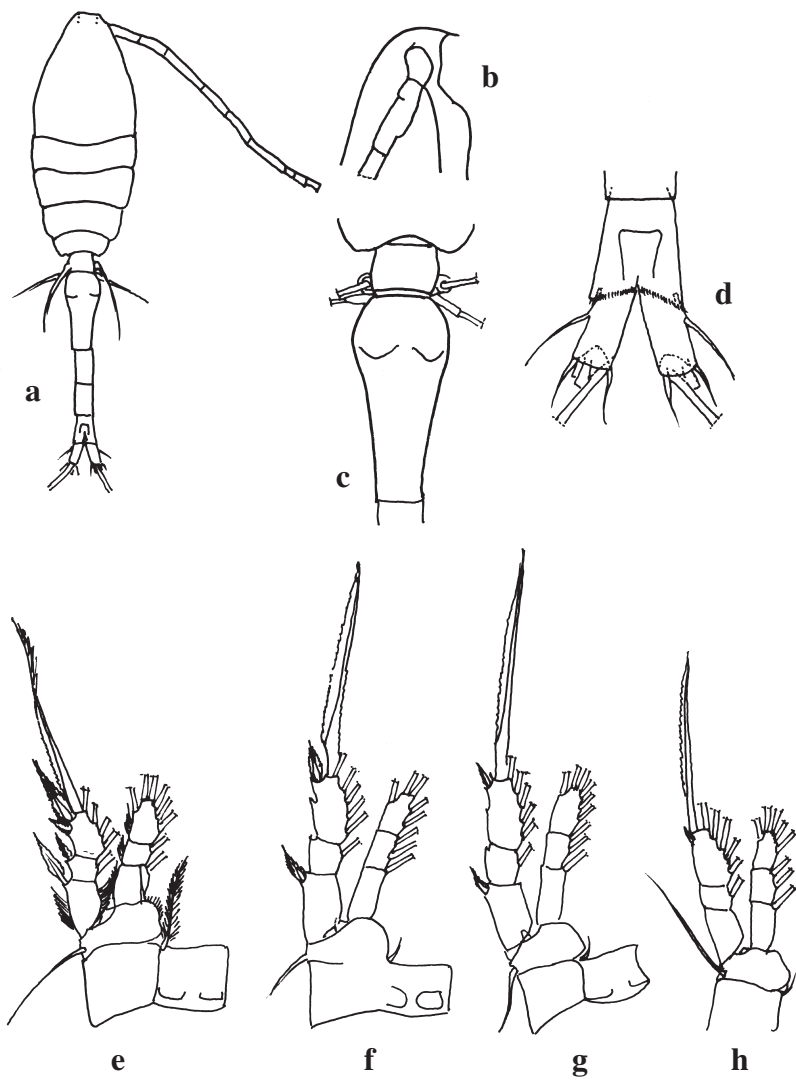
Ridisegnato da: Nishida, 1985.



Oithona setigera. Femmina a-h: a individuo intero (visione dorsale); b testa (visione laterale); c primi due segmenti dell'Ur (visione laterale destra); d segmento anale e F (visione dorsale); e P1; f P2; g P3; h P4.

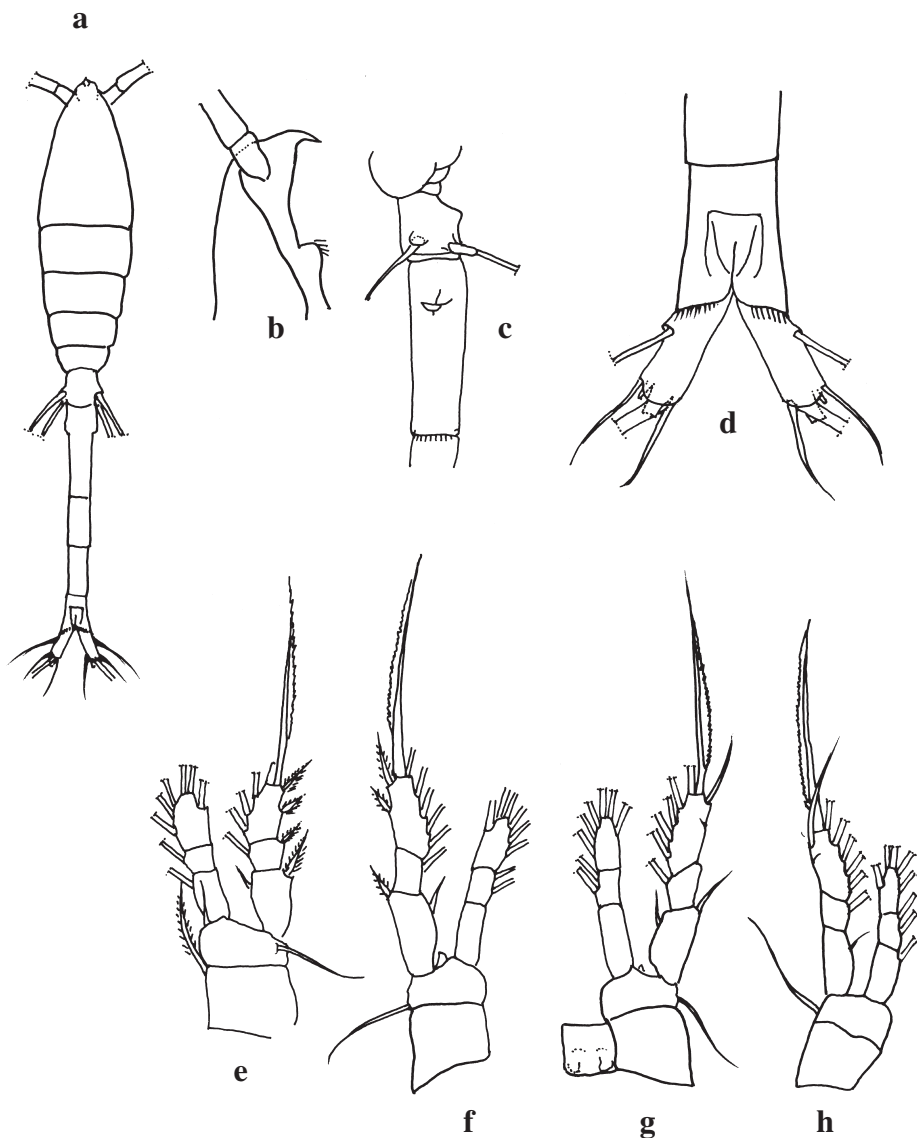
Ridisegnato da: Nishida, 1985.

■ M. G. Mazzocchi - SZN, Napoli



Oithona similis. Femmina a-h: a individuo intero (visione dorsale); b testa (visione laterale); c primi due segmenti dell'Ur (visione ventrale); d segmento anale e F (visione dorsale); e P1; f P2, g P3; h P4.

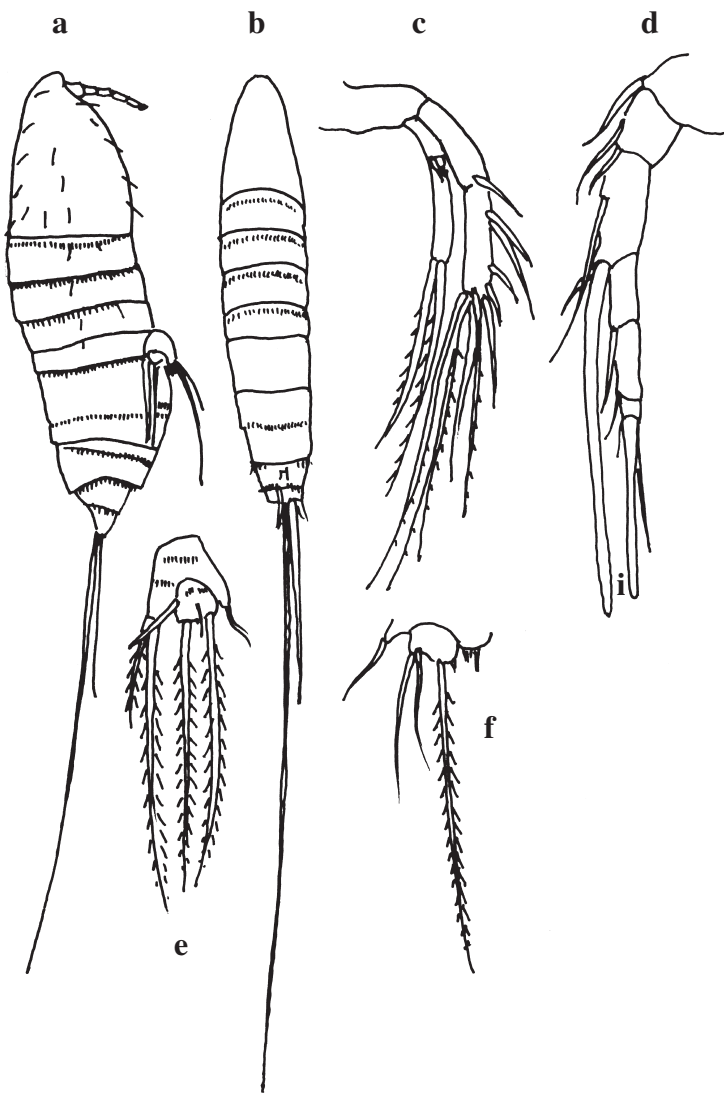
Ridisegnato da: Nishida, 1985.



Oithona tenuis. Femmina a-h: a individuo intero (visione dorsale); b testa (visione laterale); c primi due segmenti dell'Ur (visione laterale); d sgm anale e F (visione dorsale); e P1; f P2, g P3; h P4.

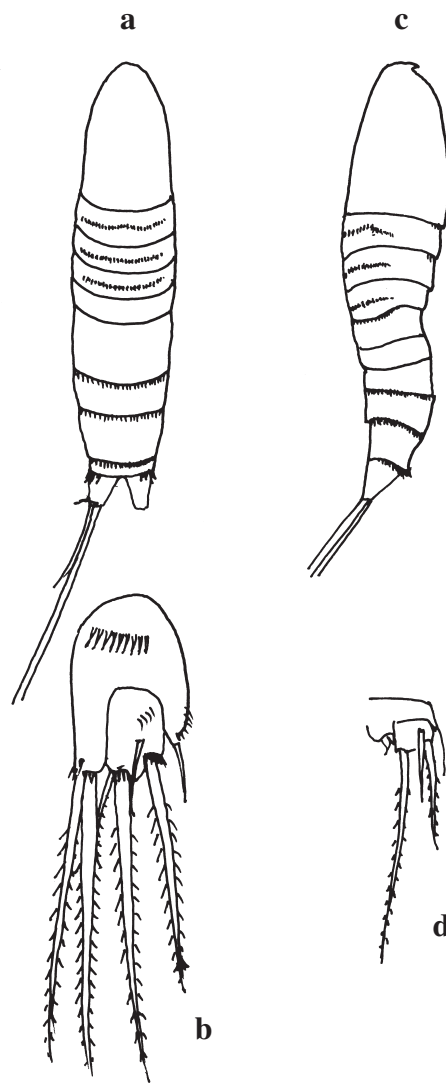
Ridisegnato da: Nishida, 1985.

■ M. G. Mazzocchi - SZN, Napoli



Microsetella norvegica. Femmina a-e: a individuo intero (visione laterale); b individuo intero (visione dorsale); c A1; d A2; e P5. Maschio f: f P5.

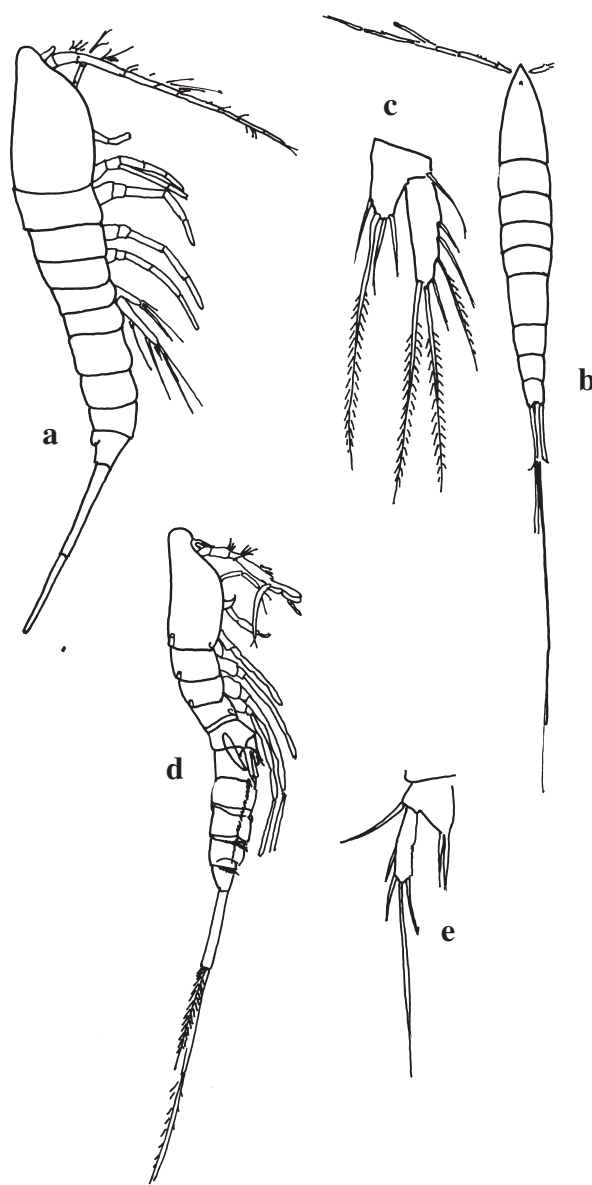
Ridisegnato da: Boxshall, 1979.



Microsetella rosea. Femmina a,b: a individuo intero (visione dorsale); b P5. Maschio c,d: c individuo intero (visione laterale); d P5.

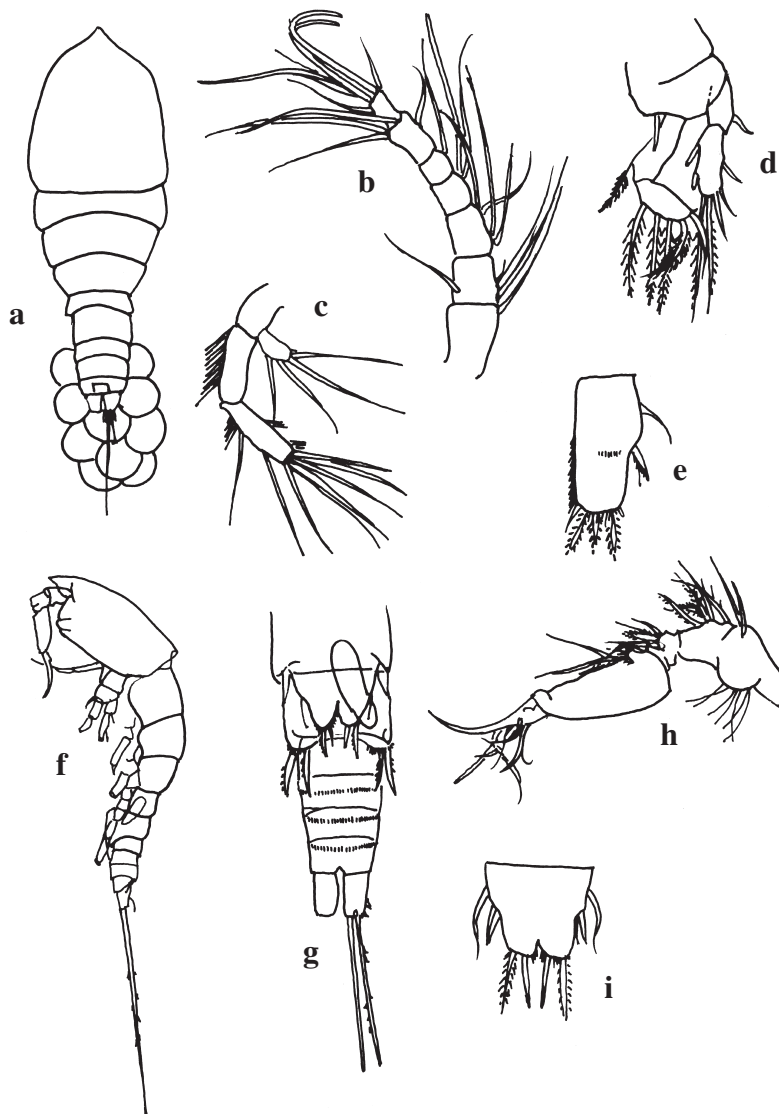
Ridisegnato da: Boxshall, 1979.

■ M. G. Mazzocchi - SZN, Napoli



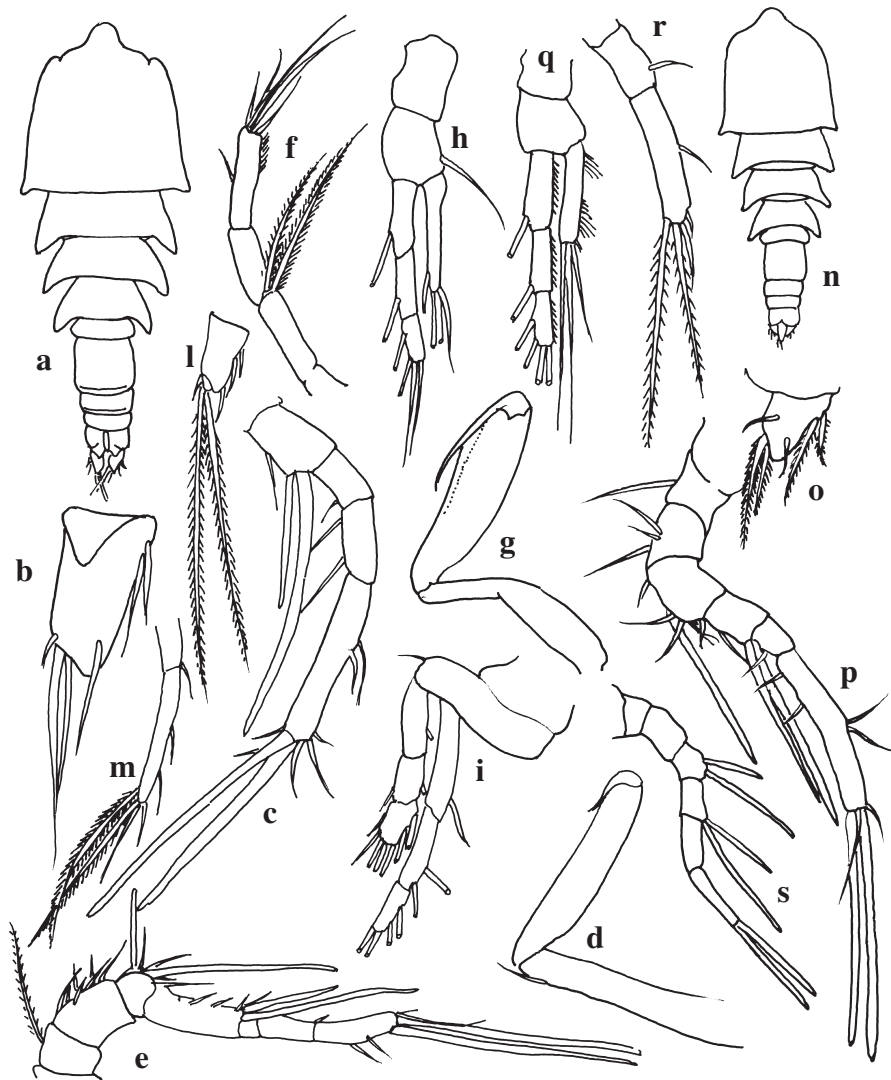
Macrosetella gracilis. Femmina a-c: a individuo intero (visione laterale); b individuo intero (visione dorsale); c P5. Maschio d, e: d individuo intero (visione laterale); e P5.

Ridisegnato da: Rose, 1933; Boxshall, 1979.



Euterpinia acutifrons. Femmina a-e: a individuo intero (visione dorsale); b A1; c A2; d P1; e P5.
Maschio f-i: f individuo intero (visione laterale); g Ur (visione ventrale); h A1; i P5.

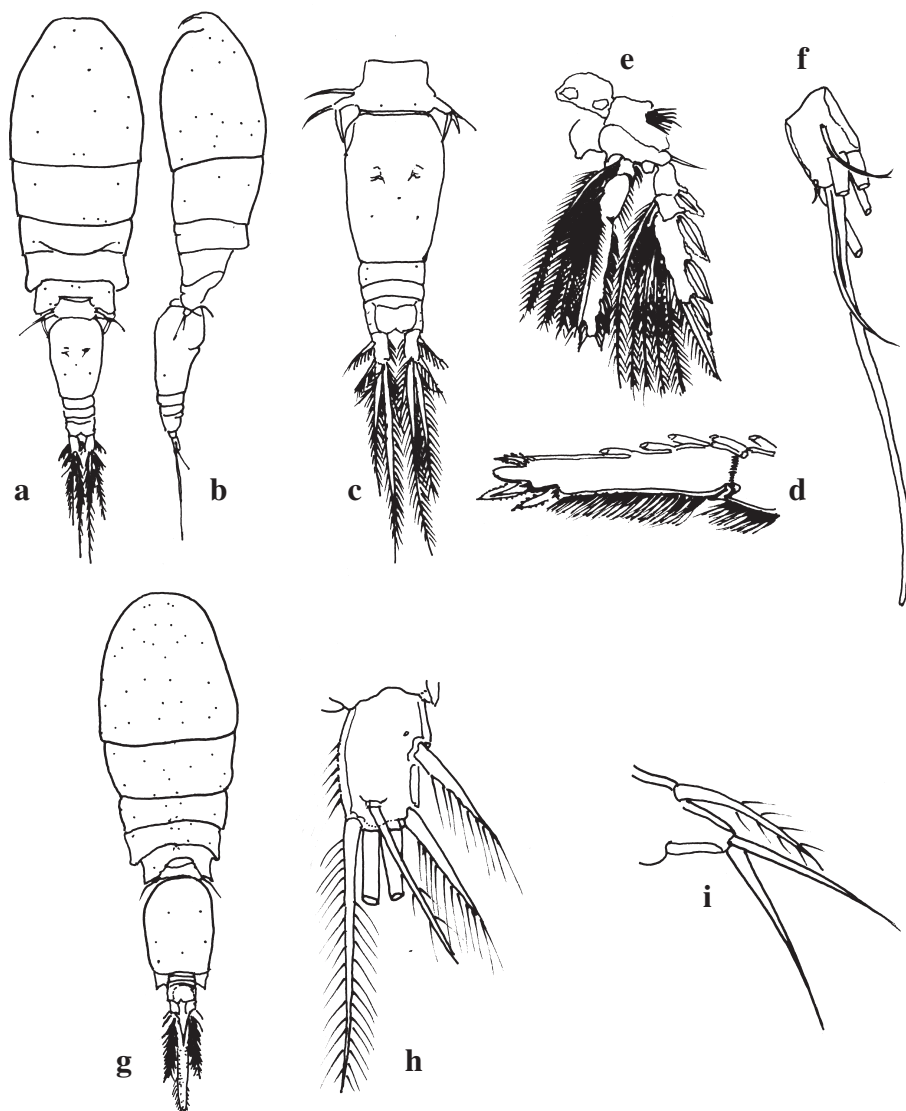
Ridisegnato da: Rose, 1933; Boxshall, 1979.



Clytemnestra scutellata. a-m Femmina a-d: a individuo intero (visione dorsale); b F; c ultimi quattro segmenti di A1; d Mxp. Maschio e-m: e A1; f A2; g Mxp; h P1; i P2; l furca; m P5.

Clytemnestra rostrata. n-s Femmina n-r: n individuo intero (visione dorsale); o furca; p A1; q P1; r P5. Maschio s: s A1.

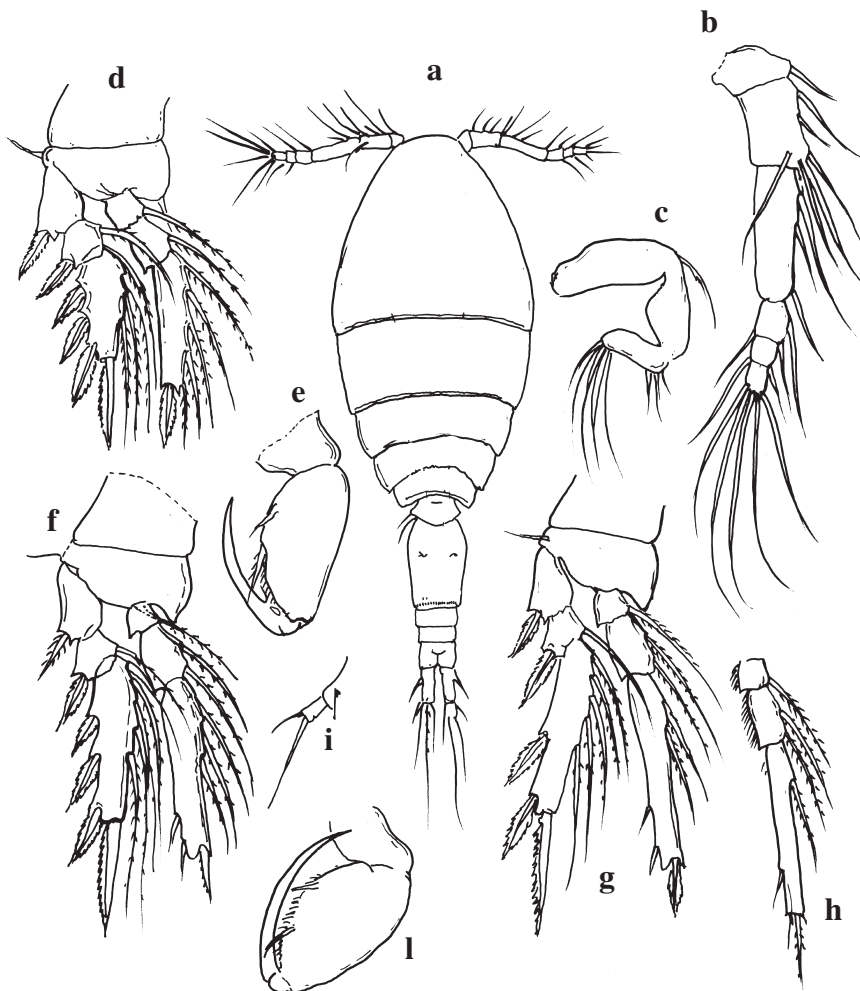
Ridisegnato da: Boxshall, 1979.



Oncae conifera (ora *Triconia conifera*). Femmina a-f: a individuo intero (visione dorsale); b individuo intero (visione laterale); c Ur (visione dorsale); d sgm terminale di End del P2; e P4; f FA1. Maschio g-i: g individuo intero (visione dorsale); h F (visione dorsale); i P5.

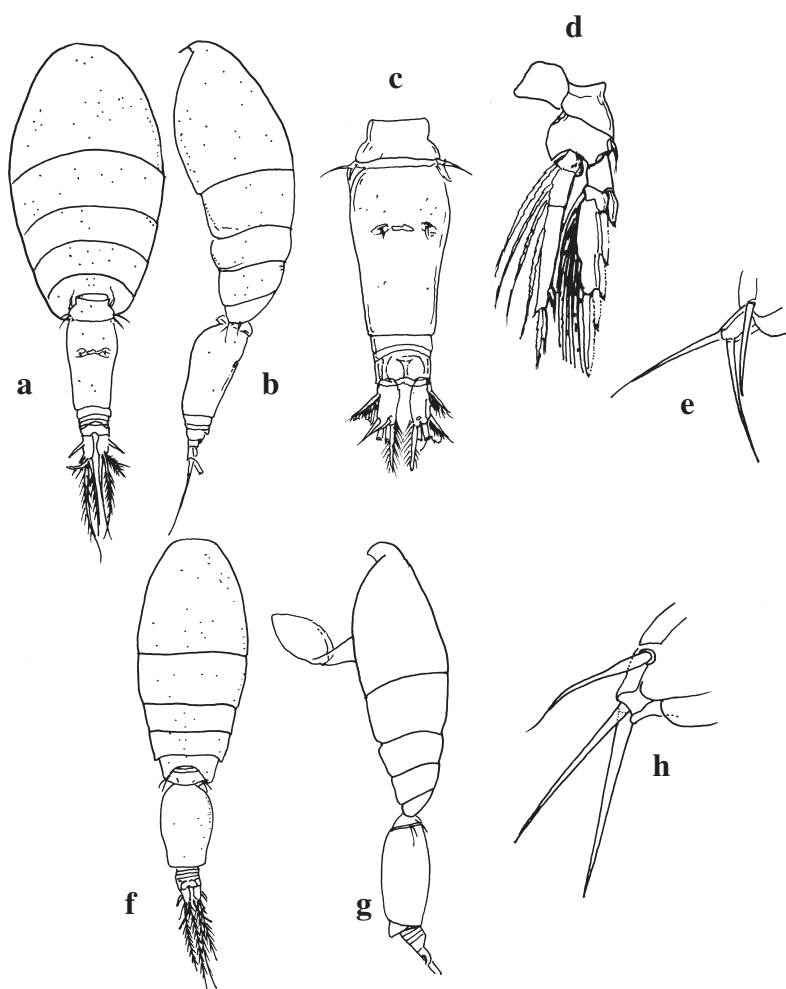
Ridisegnato da: Böttger-Schnack, 1999.

■ M. G. Mazzocchi - SZN, Napoli



Oncaeа curta. Femmina a-i: a individuo intero (visione dorsale); b A1; c A2; d P1; e Mxp; f P2; g P3; h End di P4; i P5. Maschio l: Mxp.

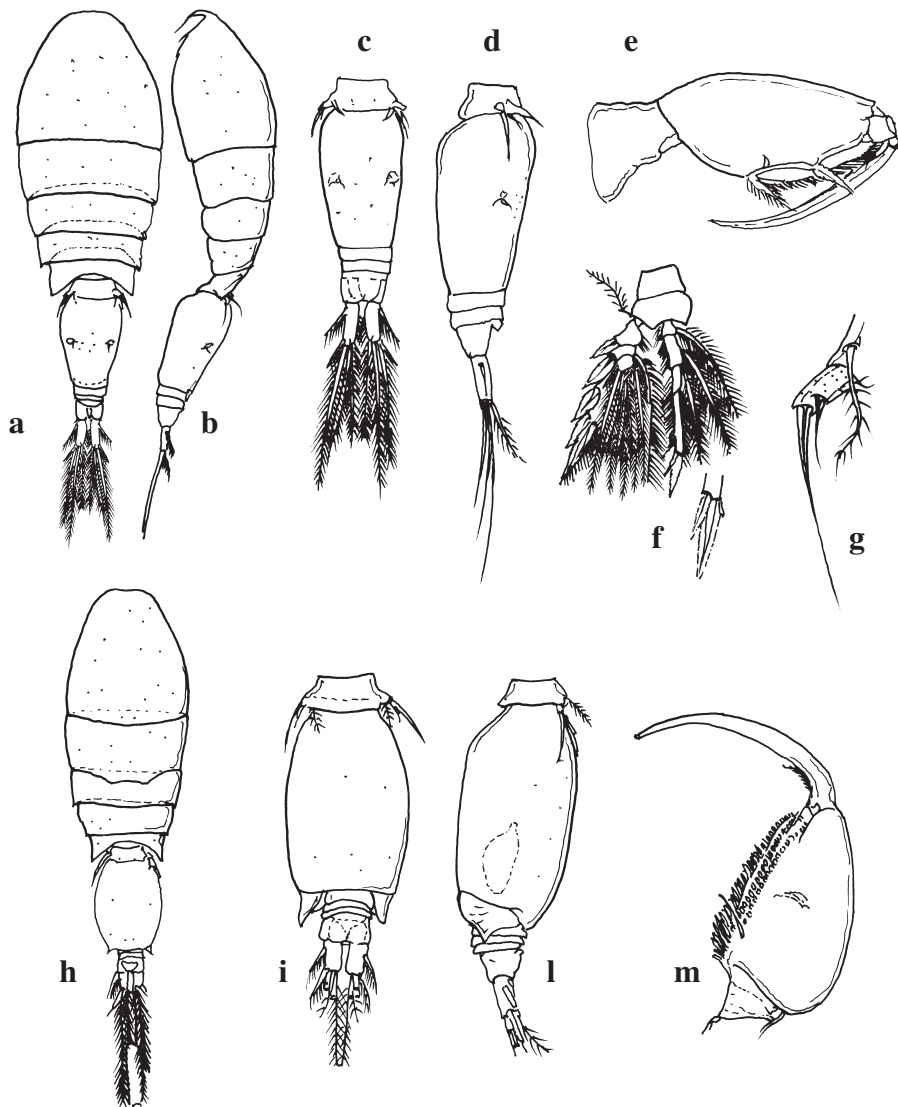
Ridisegnato da: Sars, 1916.



Oncae media. Femmina a-e: a individuo intero (visione dorsale); b individuo intero (visione laterale); c Ur (visione dorsale); d P4; e P5; . Maschio f-h: f individuo intero (visione dorsale); g individuo intero (visione laterale); h P5.

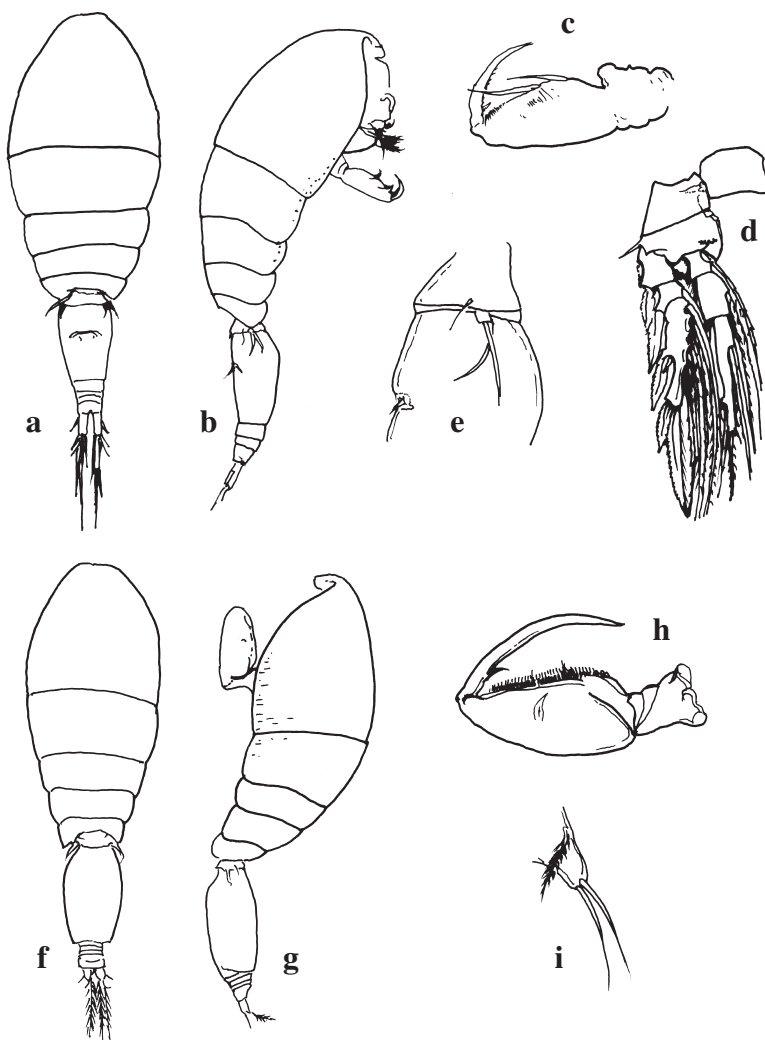
Ridisegnato da: Böttger-Schnack, 2001.

■ M. G. Mazzocchi - SZN, Napoli



Oncae mediterranea. Femmina a-g: a individuo intero (visione dorsale); b individuo intero (visione laterale); c Ur (visione dorsale); d Ur (visione laterale); e Mxp; f P4 con particolare; g P5. Maschio h-m: h individuo intero (visione dorsale); i Ur (visione dorsale); l Ur (visione laterale); m Mxp.

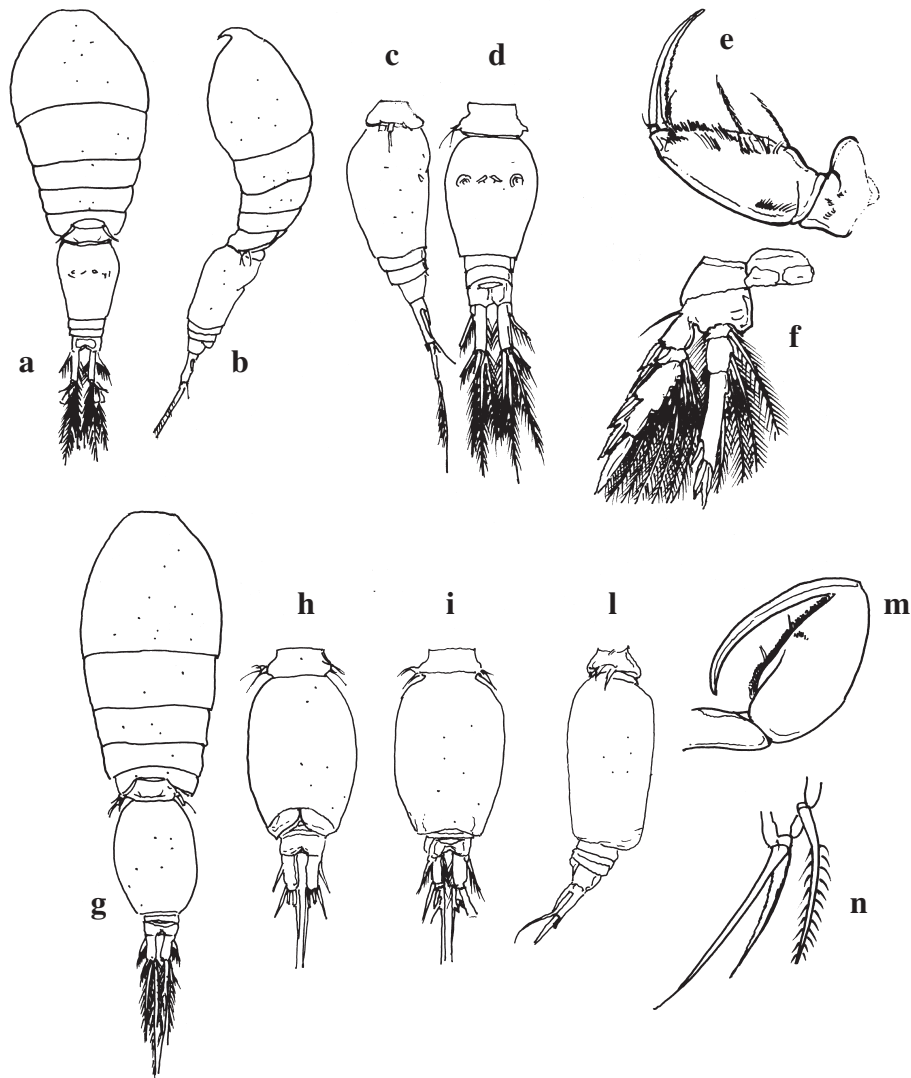
Ridisegnato da: Böttger-Schnack & Huys, 1997.



Oncaeа scottodicularoi. Femmina a-e: a individuo intero (visione dorsale); b individuo intero (visione laterale); c Mxp; d P4; e P5. Maschio f-i: f individuo intero (visione dorsale); g individuo intero (visione laterale); h Mxp; i P5.

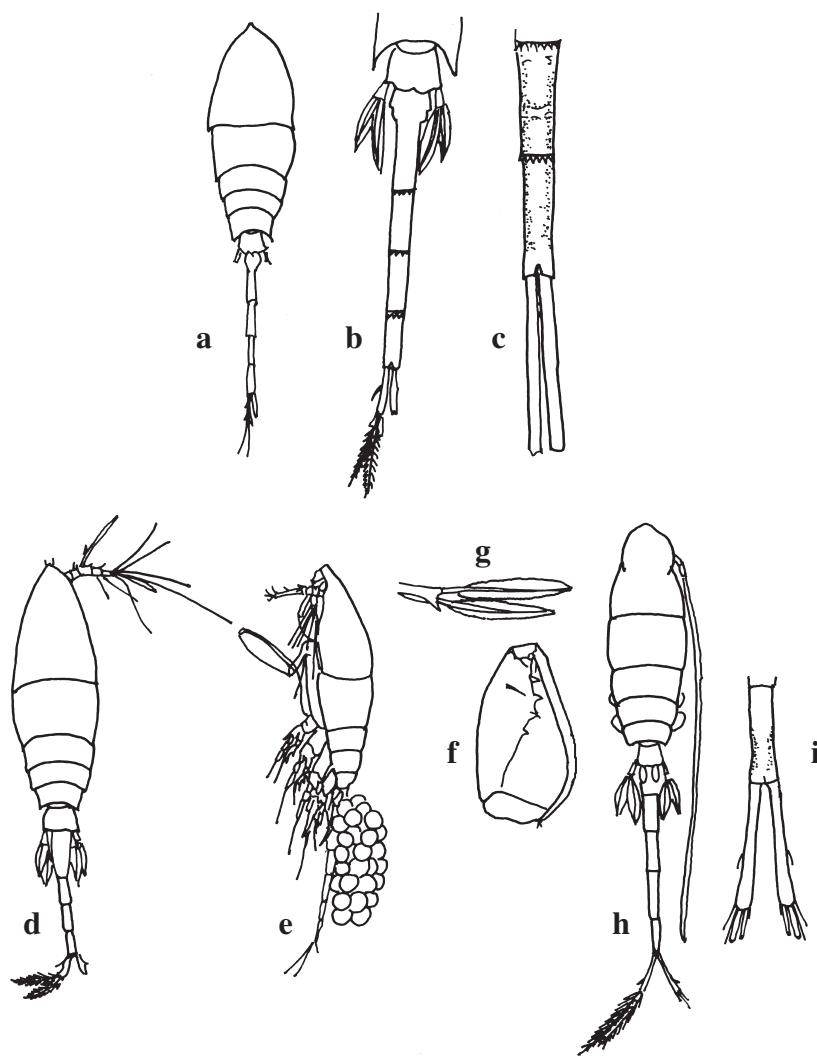
Ridisegnato da: Heron & Bradford-Grieve, 1995.

■ M. G. Mazzocchi - SZN, Napoli



Oncaeae venusta. Femmina a-f: a individuo intero (visione dorsale); b individuo intero (visione laterale); c Ur (visione laterale); d Ur (visione dorsale); e Mxp; f P4. Maschio g-n: g individuo intero (visione dorsale); h Ur (visione ventrale); i Ur (visione dorsale); l Ur (visione laterale); m Mxp; n P5.

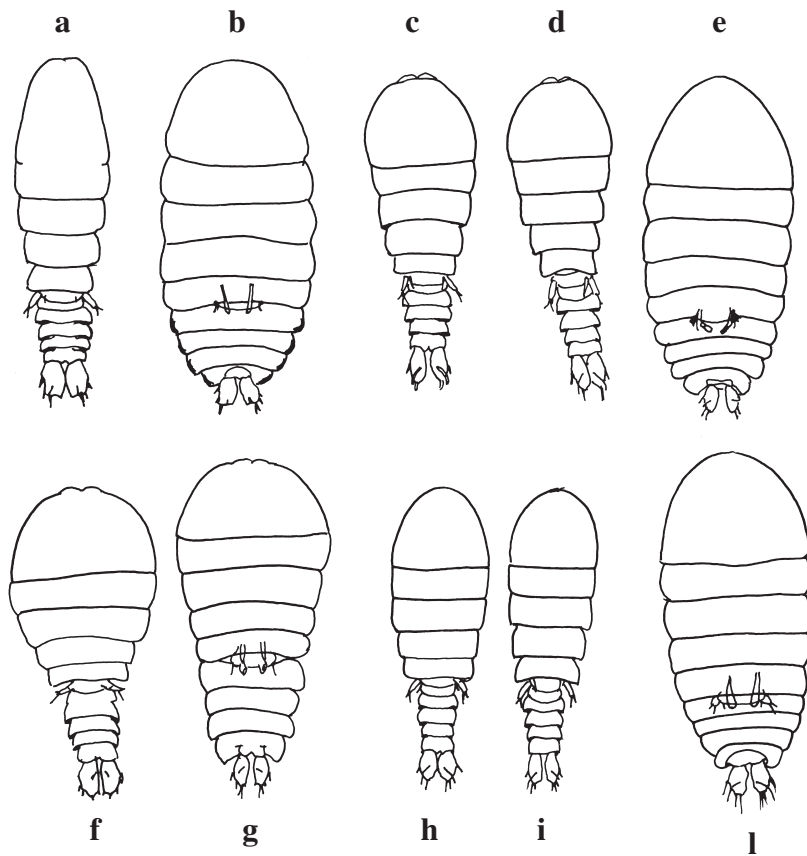
Ridisegnato da: Böttger-Schnack, 2001.



Lubbockia aculeata. a-c Femmina a,b: a individuo intero (visione dorsale); b estremità posteriore del Pr e Ur con P5 (visione dorsale). Maschio: c ultimi segmenti dell'Ur e F (visione dorsale).

Lubbockia squillimana. d-i Femmina d-g: d individuo intero (visione dorsale); e individuo intero con sacco ovigero (visione laterale); f Mxp; g P5. Maschio h,i: h individuo intero (visione dorsale); i ultimo segmento dell'Ur e F (visione dorsale).

Ridisegnato da: Rose, 1933.



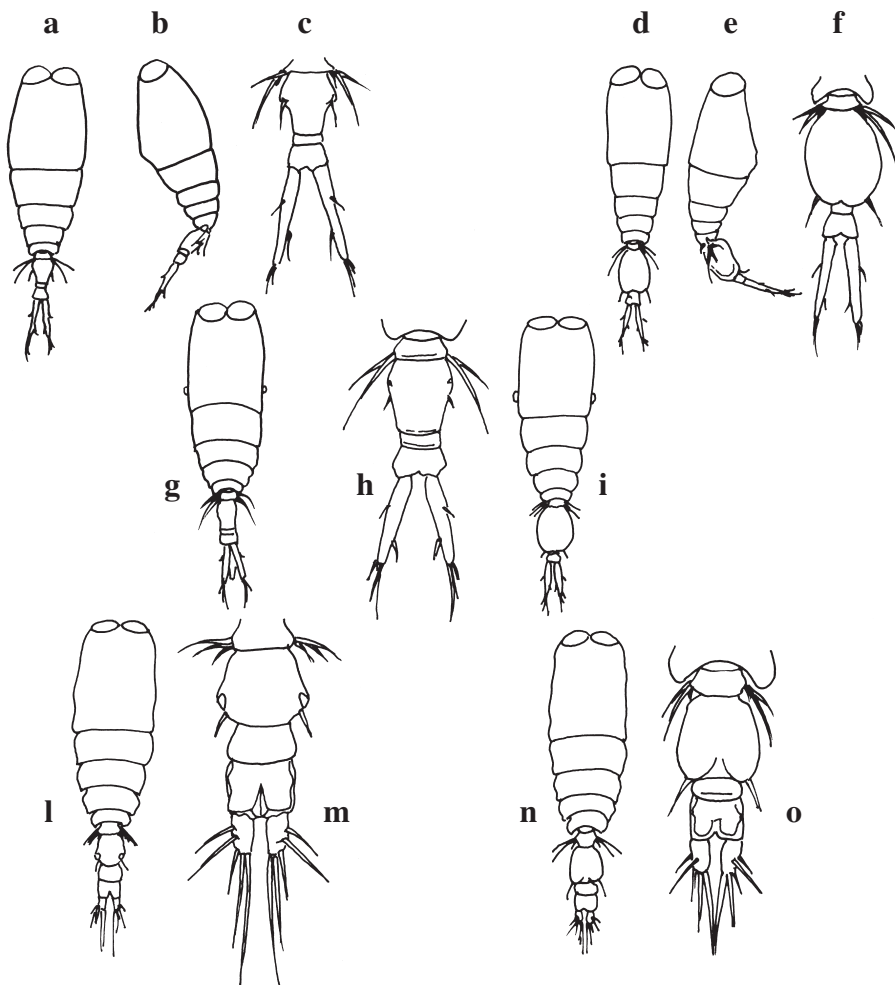
Sapphirina angusta. a,b Femmina: a individuo intero (visione dorsale). Maschio: b individuo intero (visione dorsale).

Sapphirina ovatolanceolata. c-e Femmina c,d: c individuo intero d'aspetto tozzo (visione dorsale); d individuo intero d'aspetto slanciato (visione dorsale). Maschio: e individuo intero (visione dorsale).

Sapphirina nigromaculata. f,g Femmina: f individuo intero (visione dorsale); g individuo intero (visione dorsale).

Sapphirina gemma. h-l. Femmina h,i: h individuo intero d'aspetto tozzo (visione dorsale); i individuo intero d'aspetto slanciato (visione dorsale). Maschio: l individuo intero (visione dorsale).

Ridisegnato da: Crisafi & Mazza, 1966.

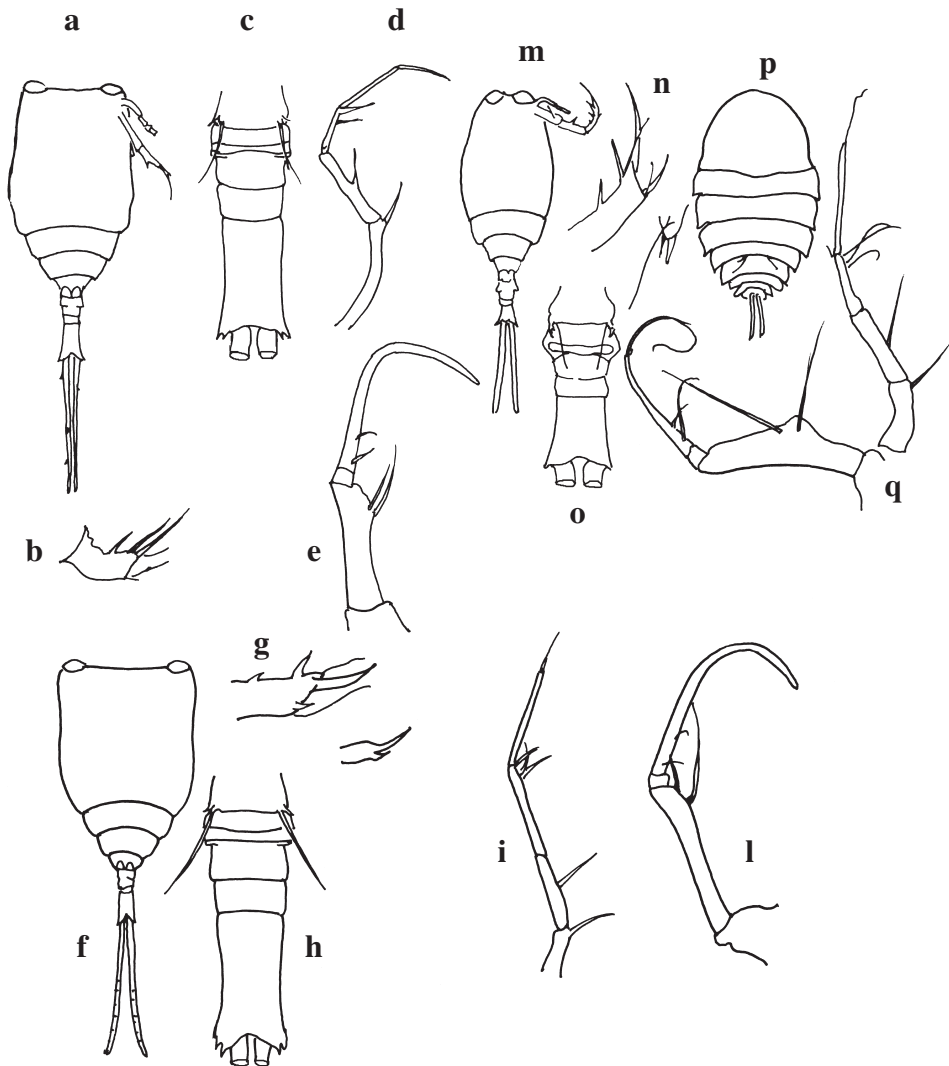


Vettoria longifurca. a-f Femmina a-c: a individuo intero (visione dorsale); b individuo intero (visione laterale); c Ur (visione dorsale). Maschio d-f: d individuo intero (visione dorsale); e individuo intero (visione laterale); f Ur (visione dorsale).

Vettoria parva. g-i Femmina g,h: g individuo intero (visione dorsale); h Ur (visione dorsale). Maschio i: individuo intero (visione dorsale).

Vettoria granulosa. l-o Femmina l,m: l individuo intero (visione dorsale); m Ur (visione dorsale). Maschio n,o: n individuo intero (visione dorsale); o Ur (visione dorsale).

Ridisegnato da: Hure & Scotto di Carlo, 1967.

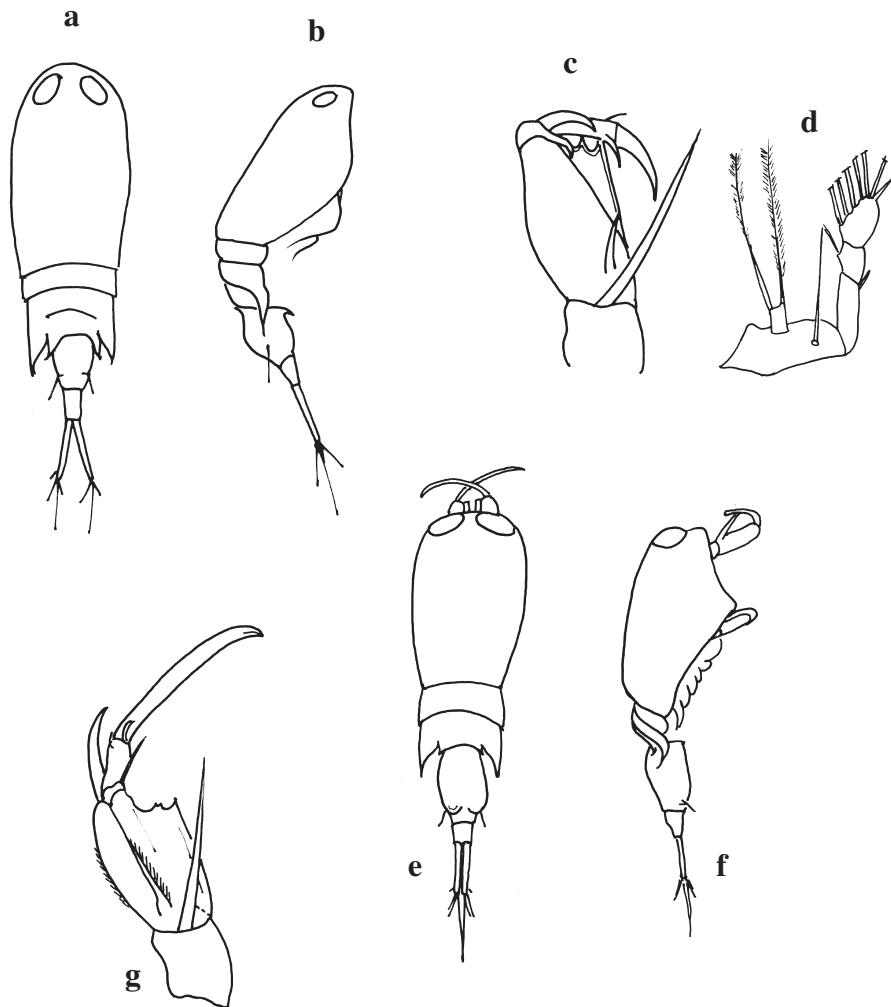


Copilia mediterranea. a-e Femmina a-d: a individuo intero (visione dorsale); b terzo sgm di A2; c Ur e P5. Maschio d, e: d A2; e Mxp.

Copilia quadrata. f-l Femmina f-h: f individuo intero (visione dorsale); g terzo sgm dell'A2; h Ur e P5. Maschio i, l: i A2; l Mxp.

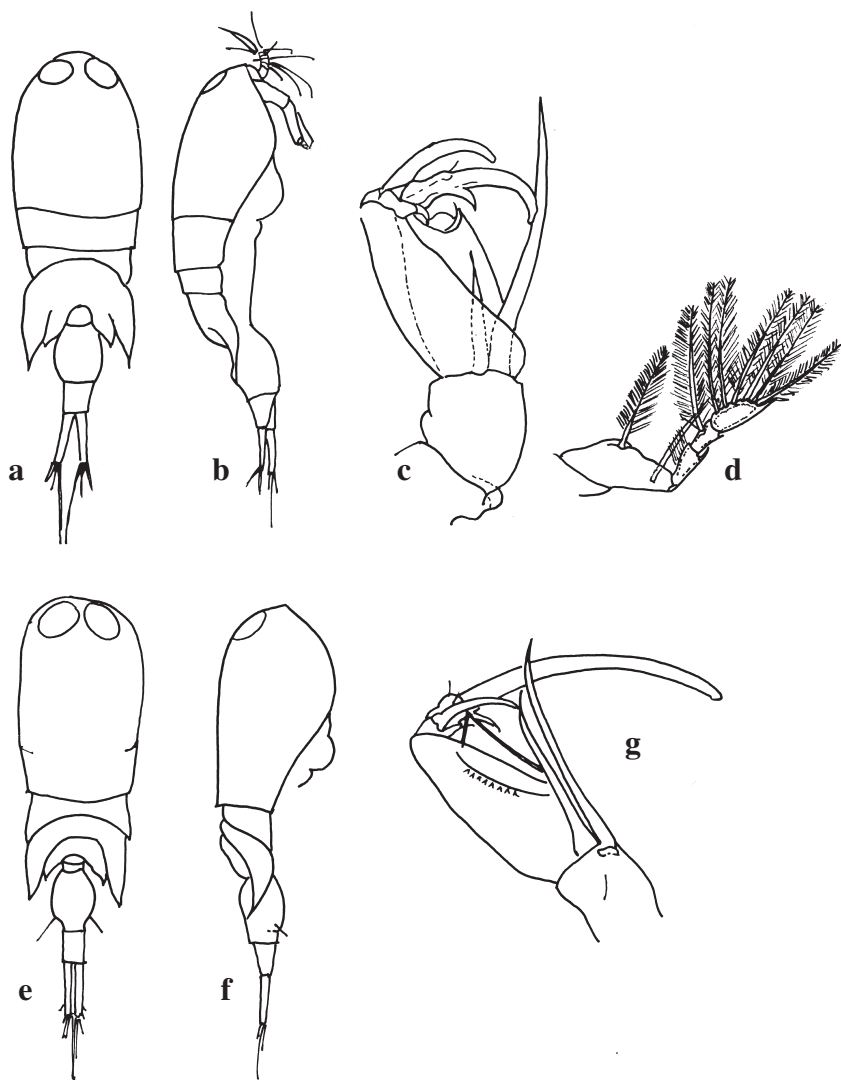
Copilia vitrea. m-q Femmina m-o: m individuo intero (visione dorsale); n sgm distale di A2; o Ur e P5. Maschio p, q: p individuo intero (visione dorsale); q A2.

Ridisegnato da: Rose, 1933; Bradford-Grieve et al., 1999.



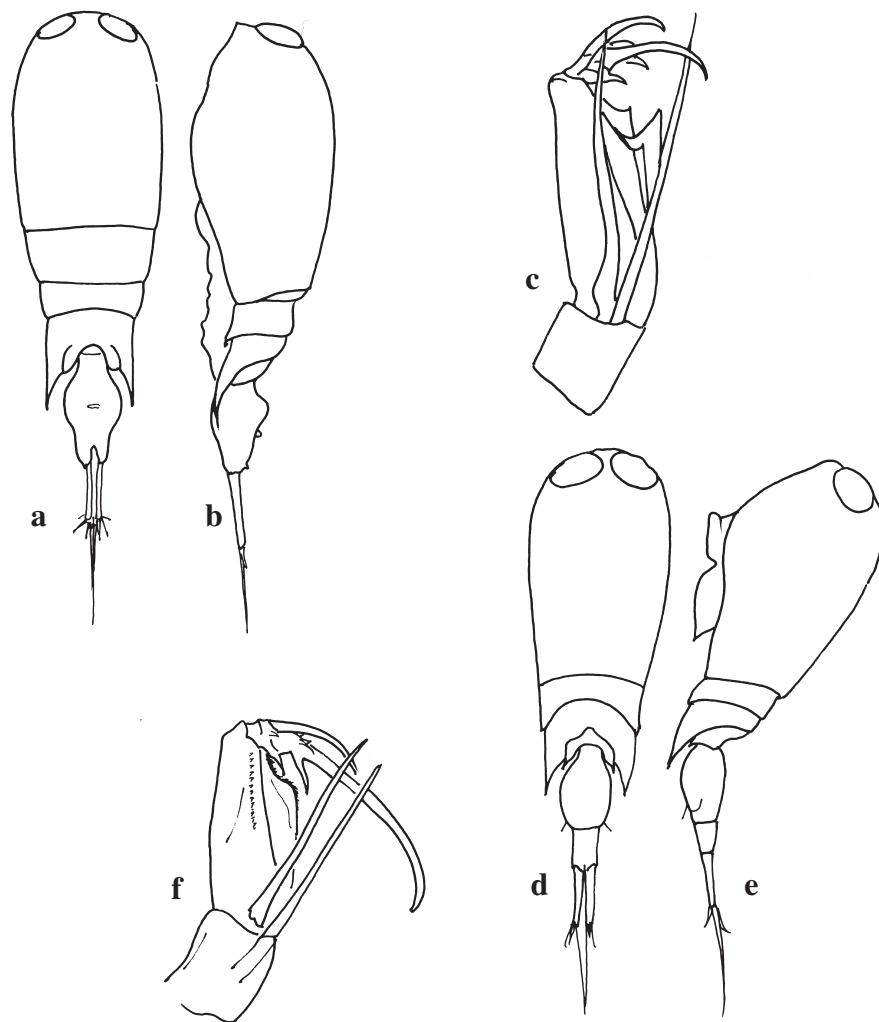
Corycaeus brehmi. Femmina a-d : a individuo intero (visione dorsale); b individuo intero (visione laterale); c A2; d P4. Maschio e-g: e individuo intero (visione dorsale); f individuo intero (visione laterale); g A2.

Ridisegnato da: Dahl, 1912.



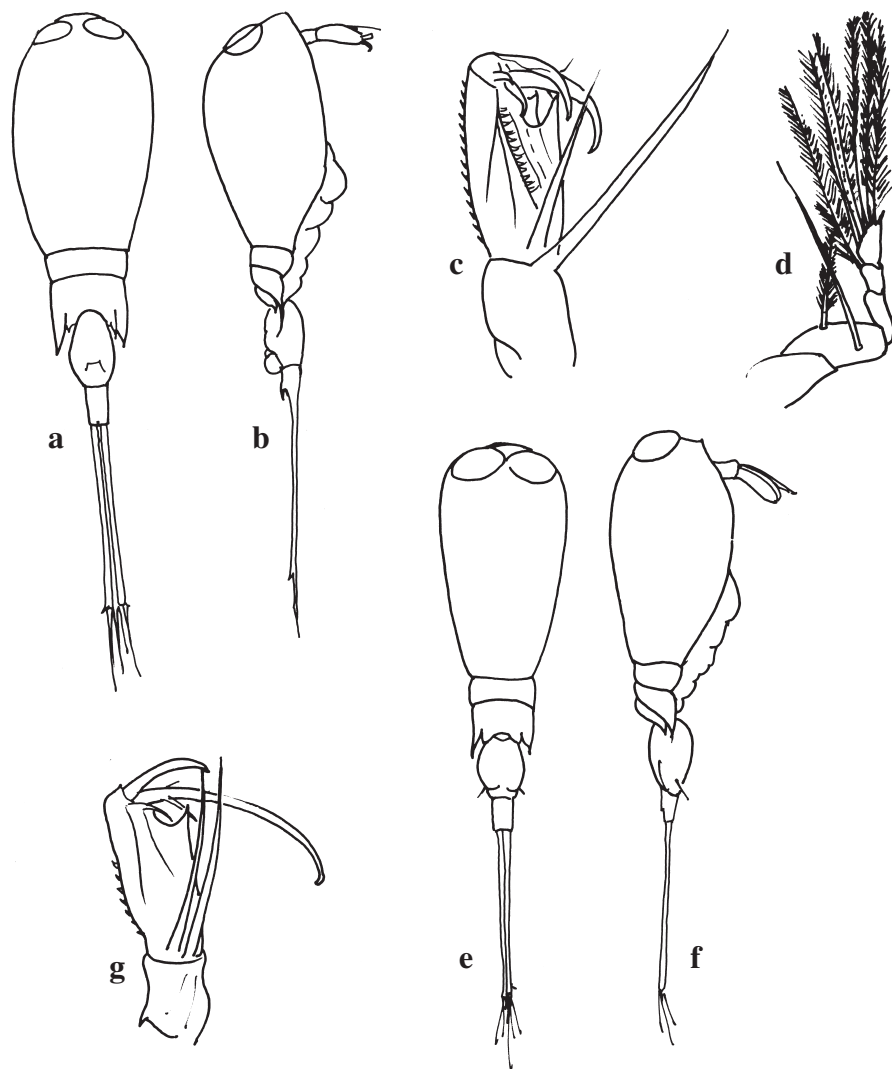
Corycaeus clausi. Femmina a-d : a individuo intero (visione dorsale); b individuo intero (visione laterale); c A2; d P4. Maschio e-g: e individuo intero (visione dorsale); f individuo intero (visione laterale); g A2.

Ridisegnato da: Dahl, 1912.



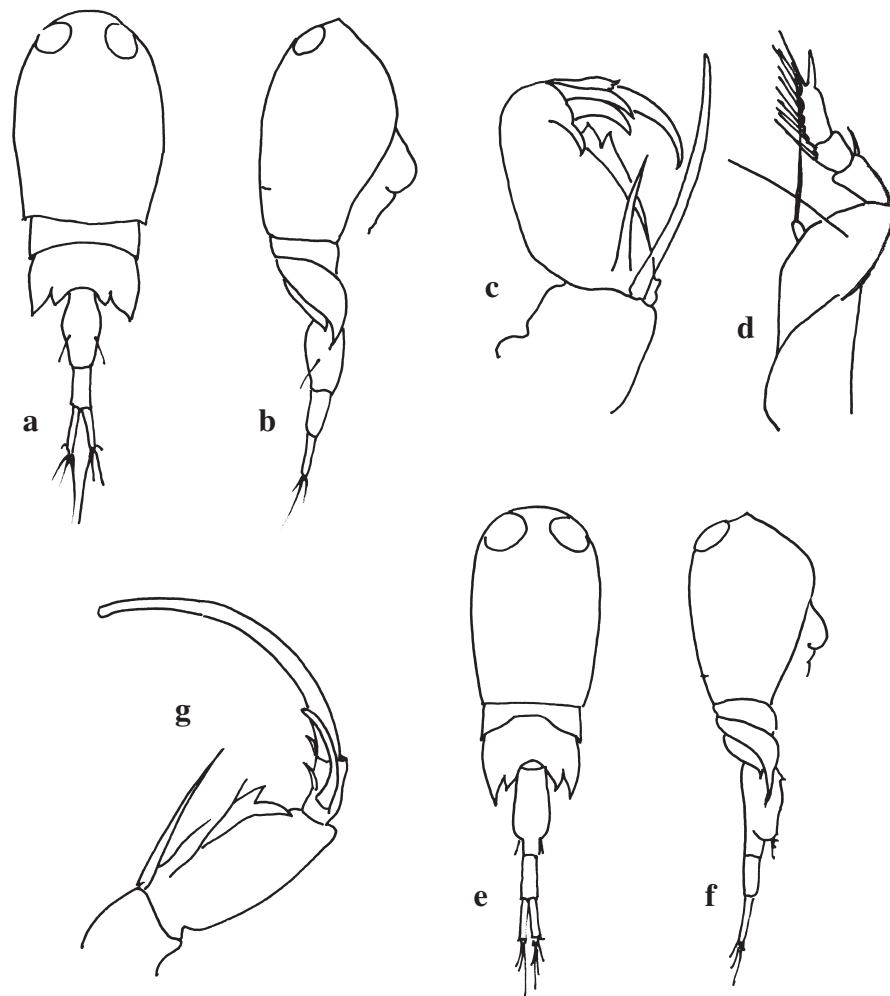
Corycaeus flaccus. Femmina a-c : a individuo intero (visione dorsale); b individuo intero (visione laterale); c A2. Maschio d-f: d individuo intero (visione dorsale); e individuo intero (visione laterale); f A2.

Ridisegnato da: Dahl, 1912.



Corycaeus furcifer. Femmina a-d : a individuo intero (visione dorsale); b individuo intero (visione laterale); c A2; d P4. Maschio e-g: e individuo intero (visione dorsale); f individuo intero (visione laterale); g A2.

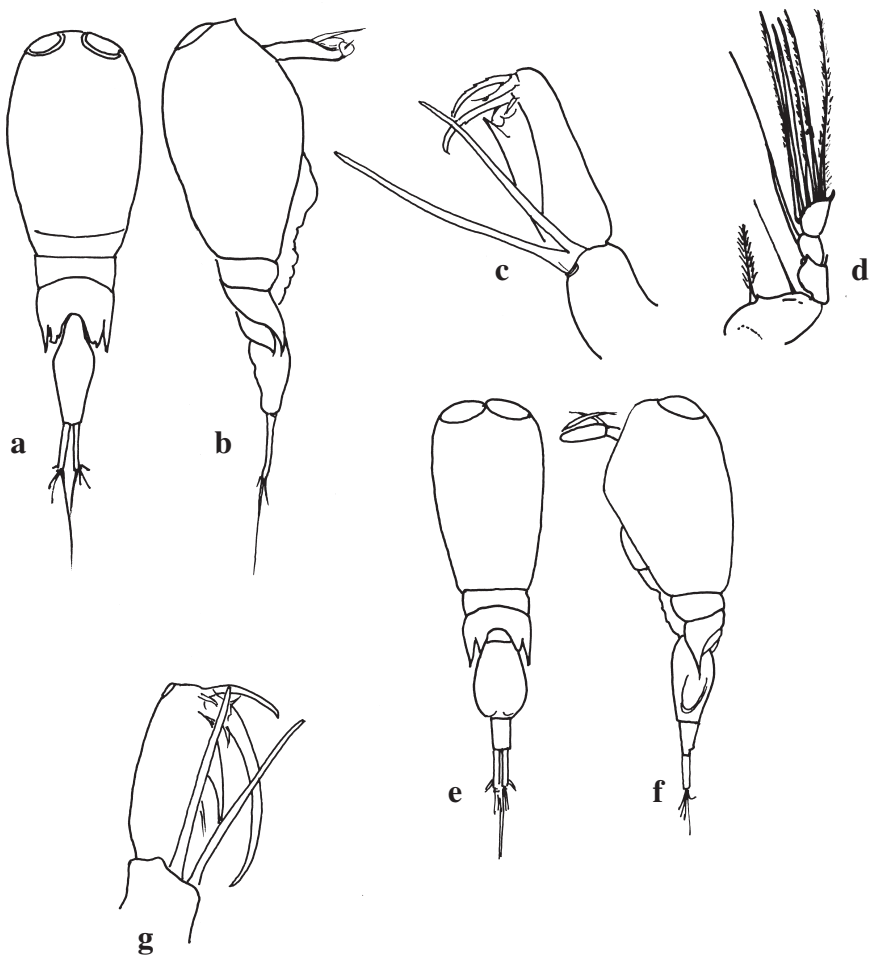
Ridisegnato da: Dahl, 1912.



Corycaeus giesbrechti. Femmina a-d : a individuo intero (visione dorsale); b individuo intero (visione laterale); c A2; d P4. Maschio e-g: e individuo intero (visione dorsale); f individuo intero (visione laterale); g A2.

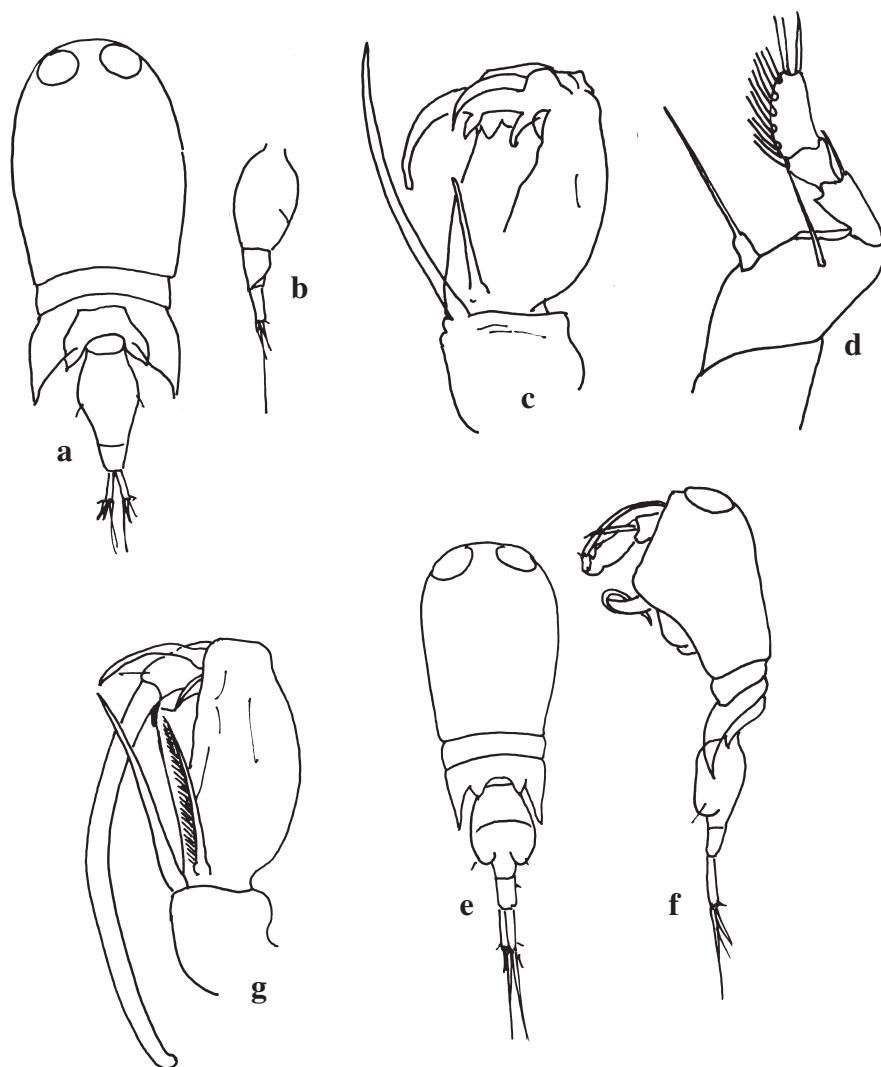
Ridisegnato da: Dahl, 1912.

■ M. G. Mazzocchi - SZN, Napoli



Corycaeus limbatus. Femmina a-d : a individuo intero (visione dorsale); b individuo intero (visione laterale); c A2; d P4. Maschio e-g: e individuo intero (visione dorsale); f individuo intero (visione laterale); g A2.

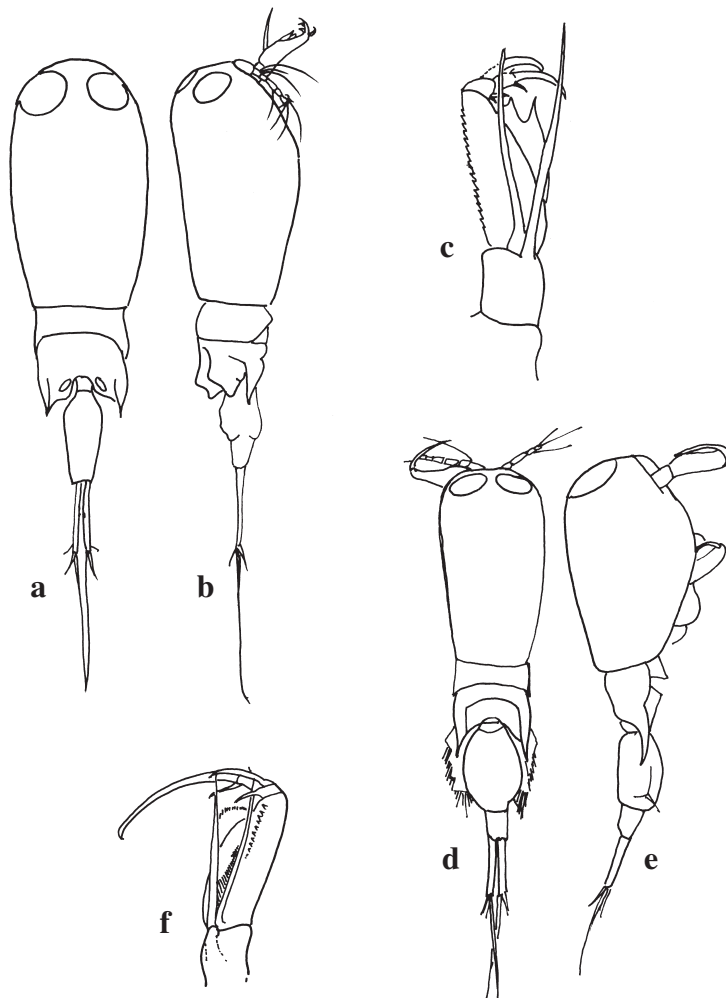
Ridisegnato da: Dahl, 1912.



Corycaeus ovalis. Femmina a-d : a individuo intero (visione dorsale); b Ur (visione laterale); c A2; d P4. Maschio e-g: e individuo intero (visione dorsale); f individuo intero (visione laterale); g A2.

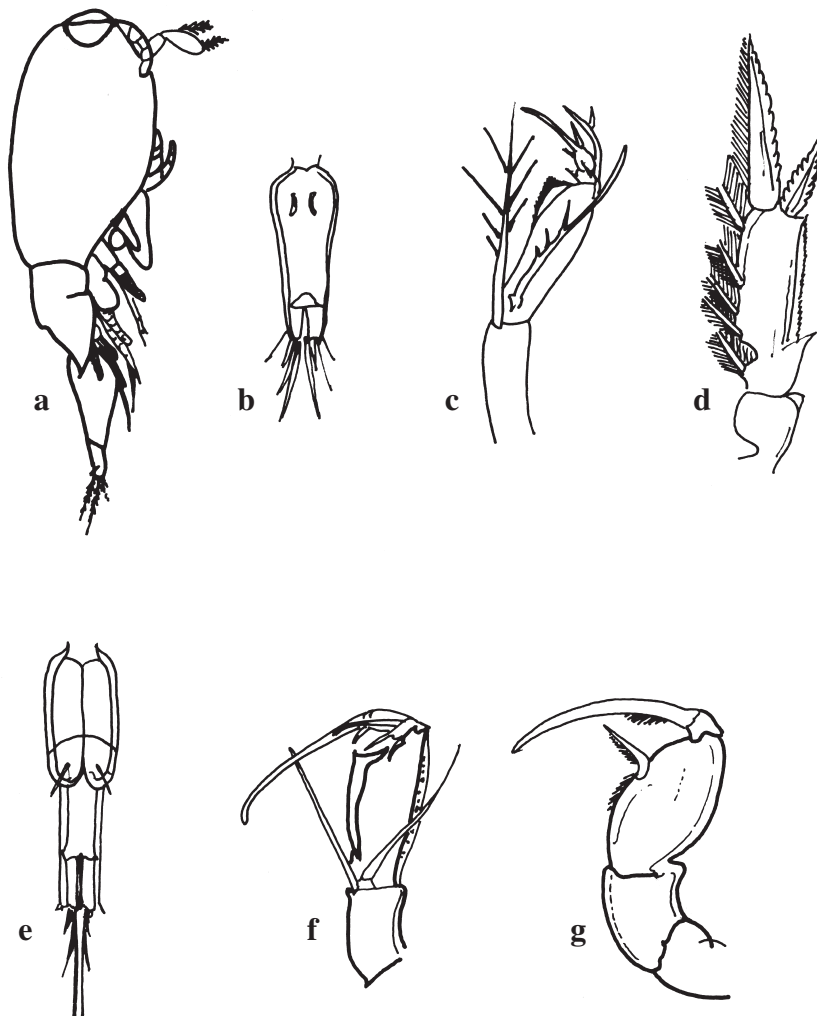
Ridisegnato da: Dahl, 1912.

■ M. G. Mazzocchi - SZN, Napoli



Corycaeus typicus. Femmina a-c : a individuo intero (visione dorsale); b individuo intero (visione laterale); c A2. Maschio d-f. d individuo intero (visione dorsale); e individuo intero (visione laterale); f A2.

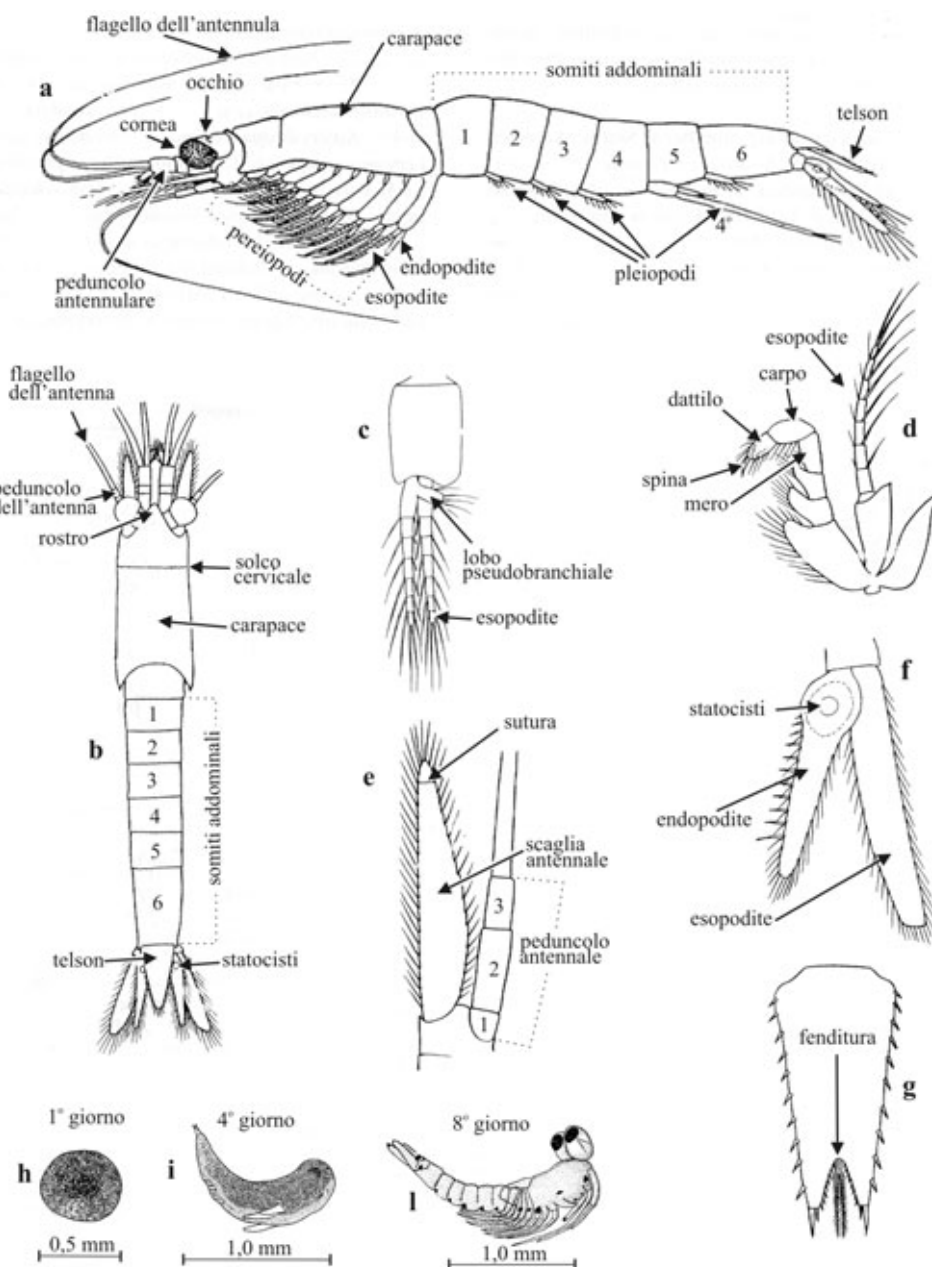
Ridisegnato da: Dahl, 1912.



Farranula rostrata. Femmina a-d : a individuo intero (visione laterale); b Ur (visione ventrale); c A2; d sgm terminale di P1. Maschio e-g: e Ur (visione ventrale); f A2; g Mxp.

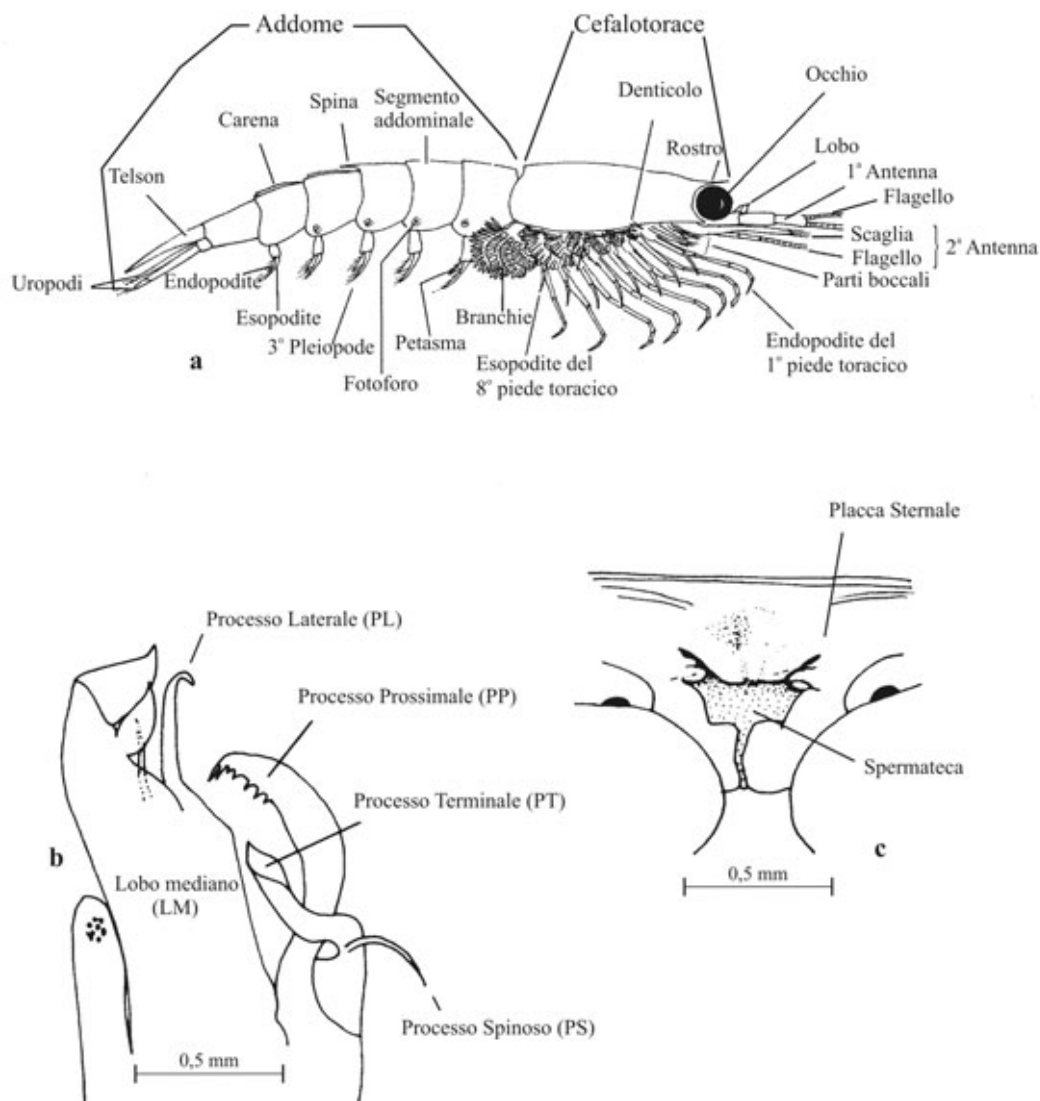
Ridisegnato da: Dahl, 1912; Rose, 1933.

■ M. G. Mazzocchi - SZN, Napoli



Misidacei a-l: a individuo intero (visione laterale); b individuo intero (visione dorsale); c pleiopode del maschio; d 1° pereiopode; e antenna; f uropodi; g telson; h-l sviluppo dell'embrione nel marsupio.

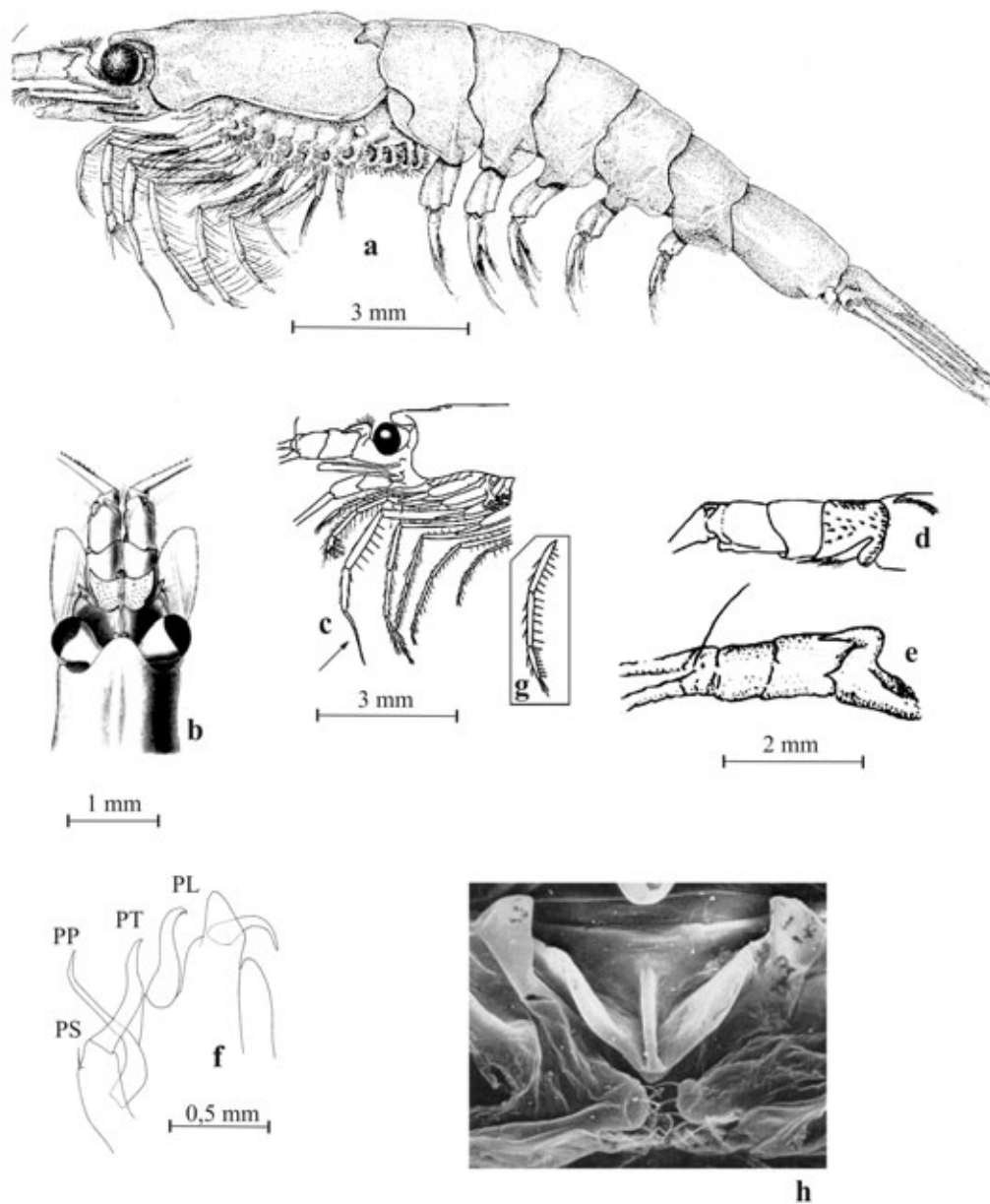
Da: Murano, 1964, 1999; Tattersal e Tattersal, 1951.



Introduzione a, b, c: a diagramma schematico di un eupausiaceo in veduta laterale; b petasma, organo copulatore maschile; c thelycum, organo copulatore femminile.

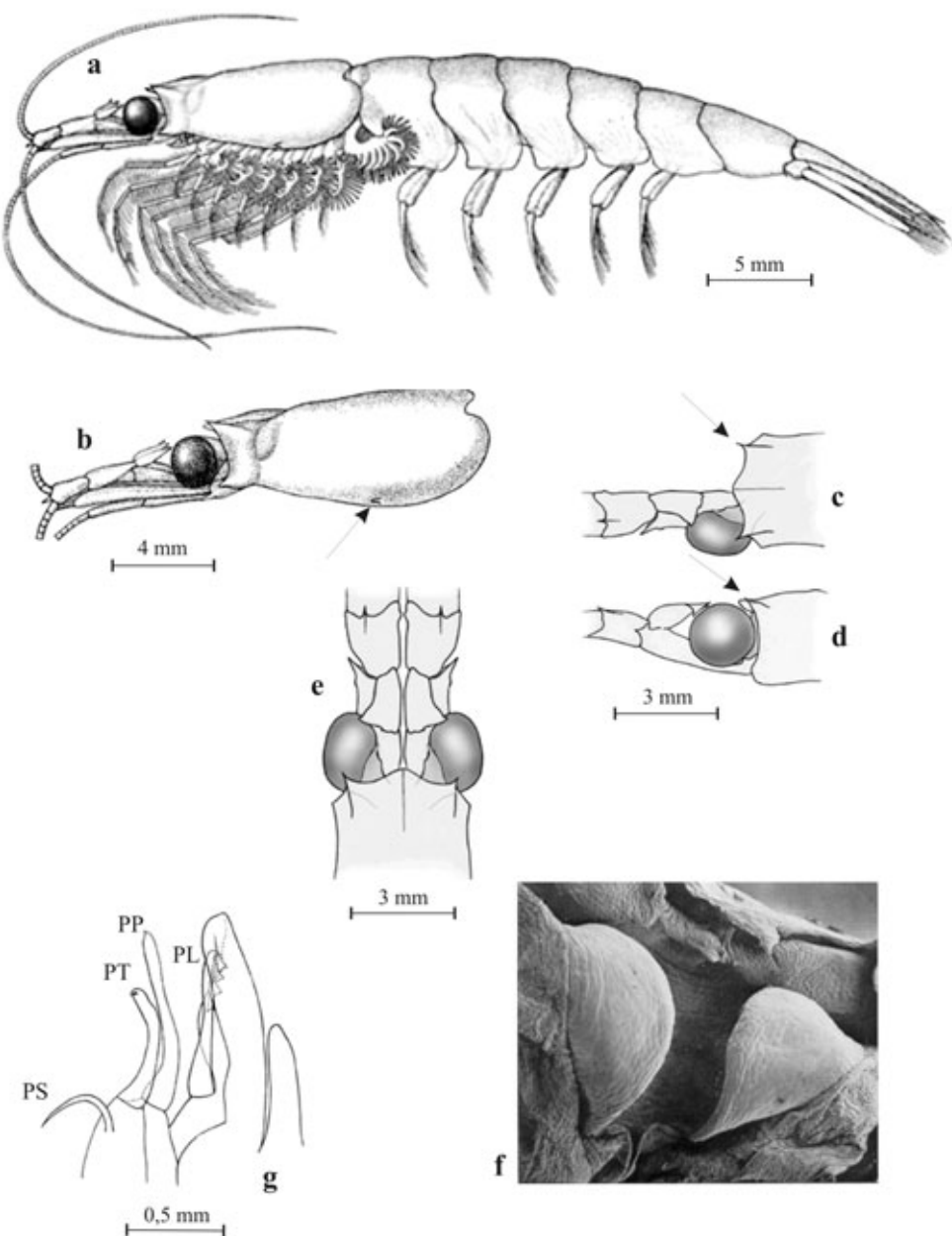
Da: Einarsson, 1942; Mauchline, 1984.

■ L. Guglielmo - Università di Messina



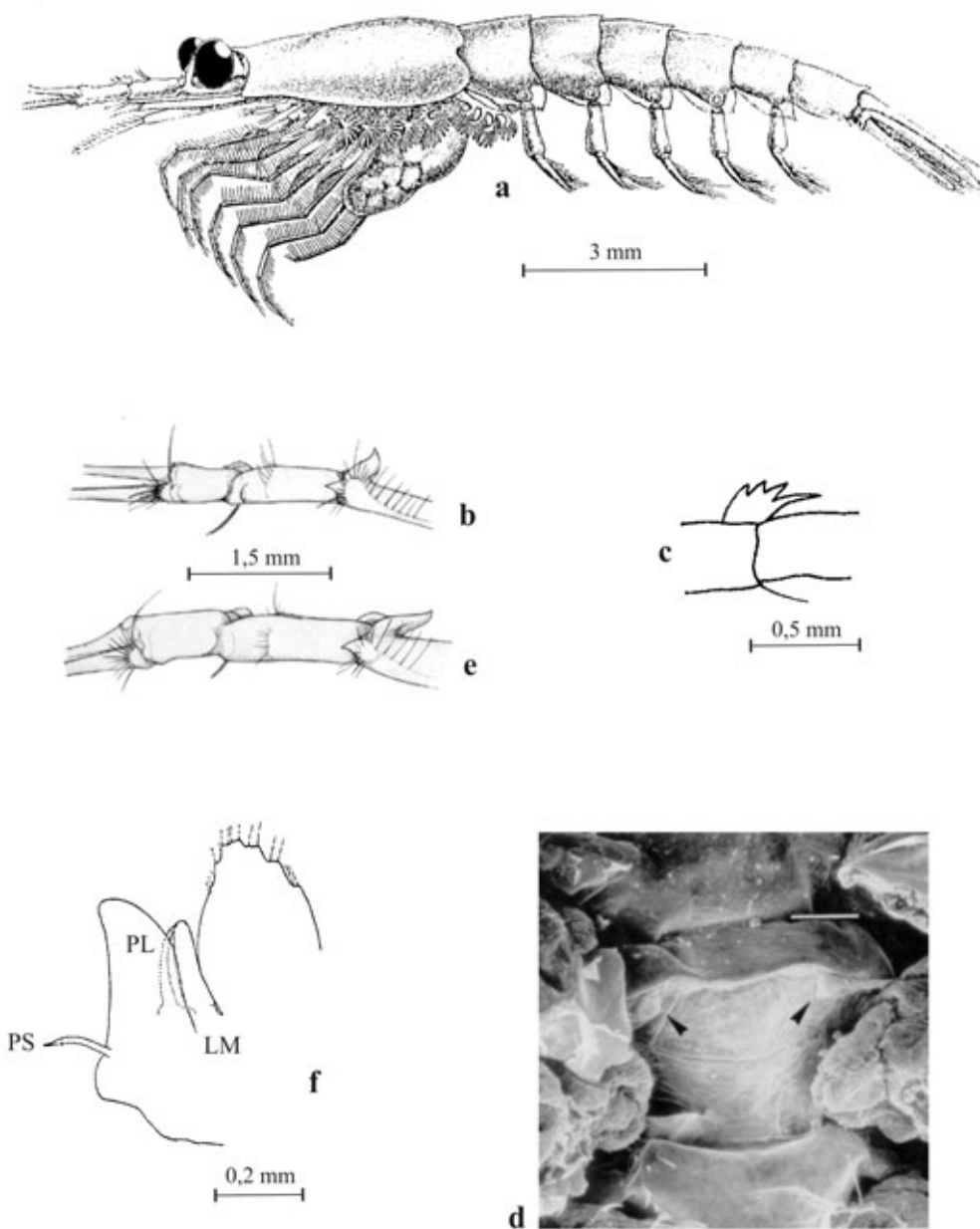
Thysanopoda aequalis. Maschio a-f: a individuo intero (visione laterale); b capo e 1^a antenna (visione dorsale); c 3^o piede toracico; d peduncolo della 1^a antenna (visione dorsale); e peduncolo della 1^a antenna (visione laterale); f petasma. Femmina g-h: g terzo piede toracico; h thelycum SEM (X 120).

Da: Hansen *et al.* 1910; Baker *et al.* 1990; Brinton, 1975, 2000; Costanzo e Guglielmo, 1976a.



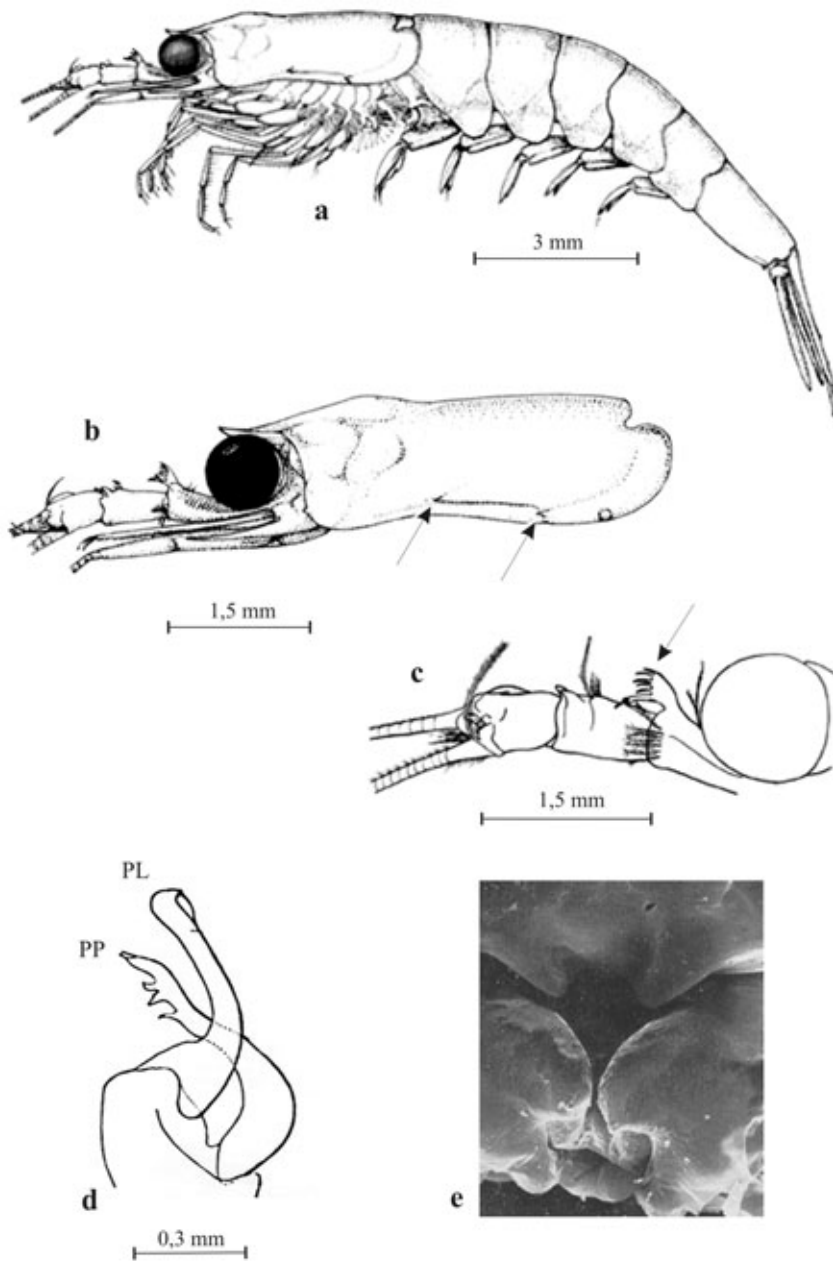
Meganyctiphantes norvegica. Femmina a-f: a individuo intero (visione laterale); b denticolo laterale sul carapace e lobo sulla 1^a antenna; c spina post-oculare sul margine frontale del carapace (visione dorsale); d spina post-oculare sul margine frontale del carapace (visione laterale); e capo e 1^a antenna (visione dorsale); f thelycum SEM (X 175). Maschio: g petasma.

Da: Baker *et al.* 1990; Brinton, 1975, 2000, unpubl.; Costanzo e Guglielmo, 1976a; Einarsson, 1942.



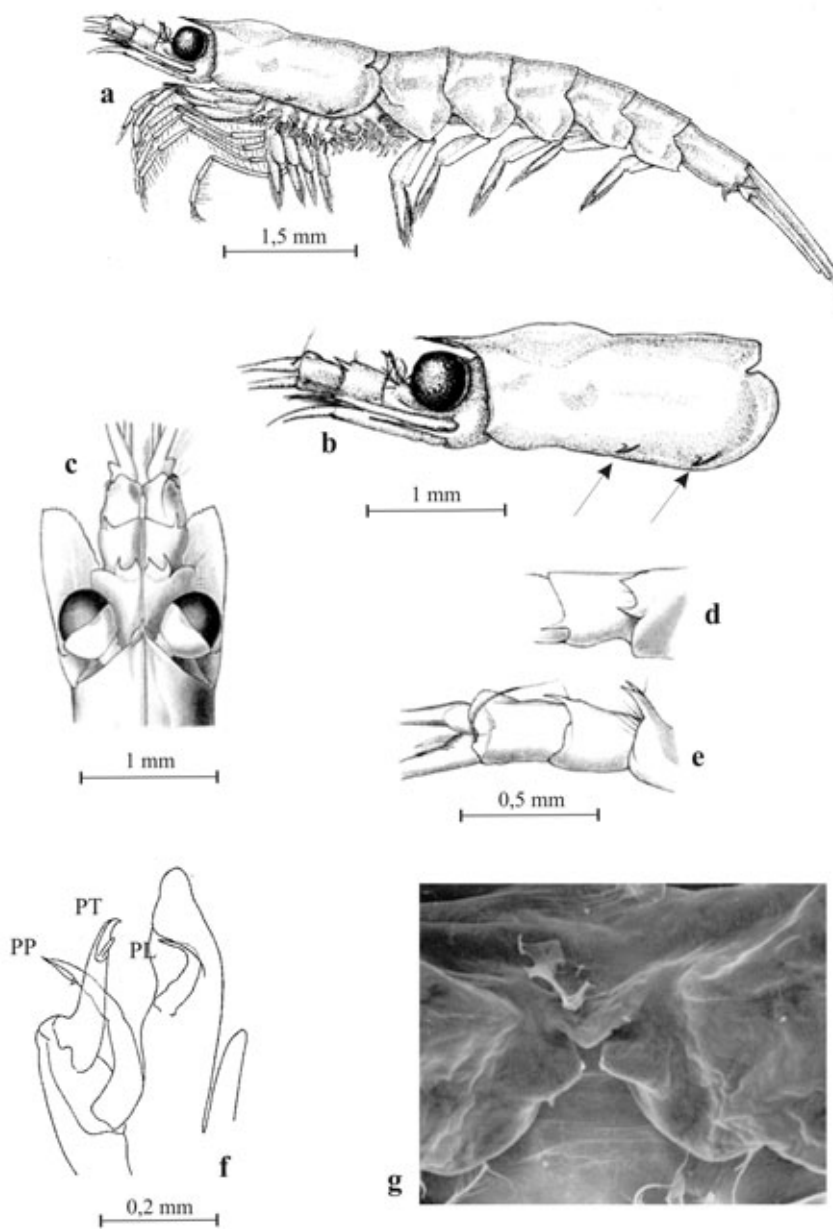
Nyctiphantes couchi. Femmina a-d: a individuo intero (visione laterale); b peduncolo della 1^a antenna (visione laterale); c cresta sul margine anteriore sul 2^o segmento della 1^a antenna; d thelycum SEM (Bar = 0,1 mm). Maschio e-f: e peduncolo della 1^a antenna (visione laterale); f petasma.

Da: Baker *et al.* 1990; Brinton, 2000; Costanzo e Guglielmo, 1983; Einarsson, 1942; Mauchline, 1984.



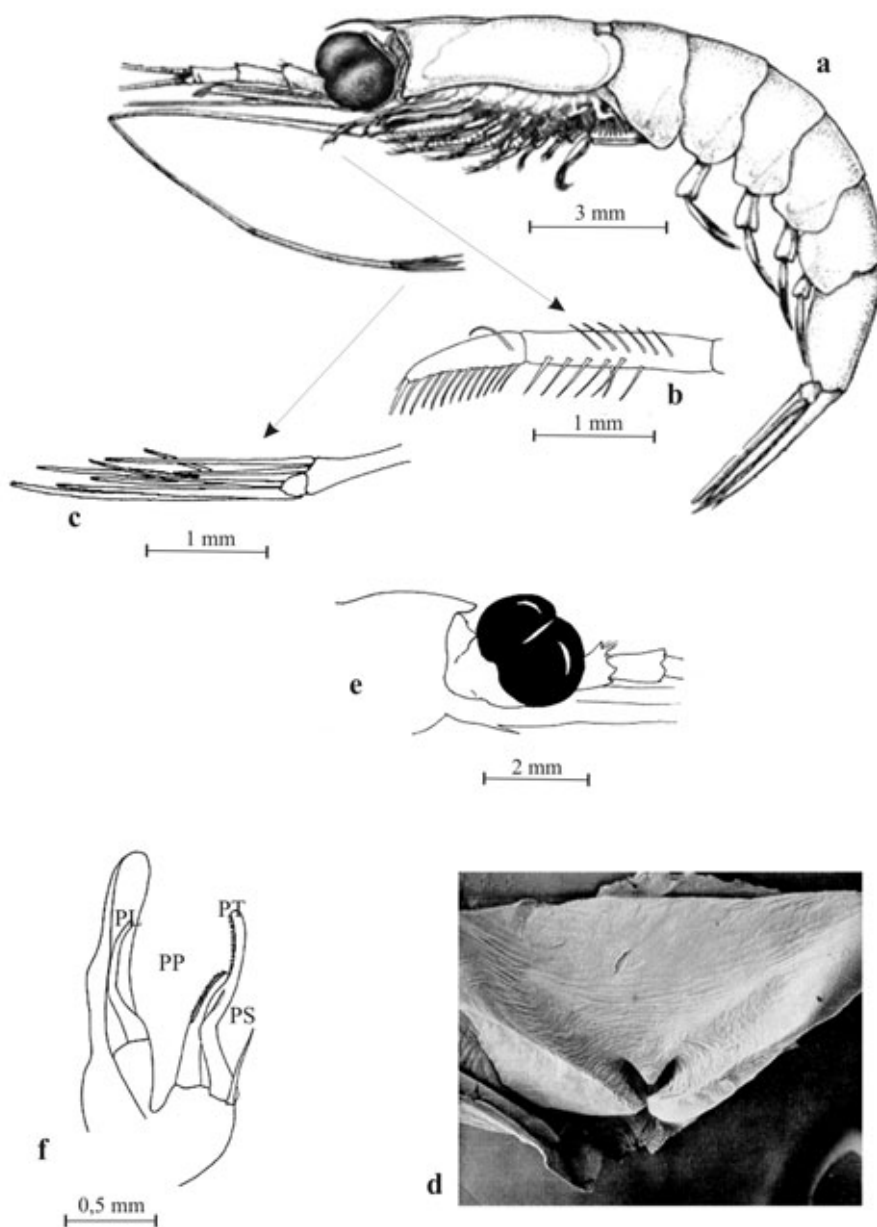
Euphausia krohni. Maschio a-d: a individuo intero (visione laterale); b carapace con denticoli laterali (visione laterale); c peduncolo della 1^a antenna (visione laterale); d petasma. Femmina: e thelycum SEM (X 150).

Da: Baker *et al.* 1990; Brinton, 2000; Costanzo e Guglielmo, 1976a; Hansen 1911.



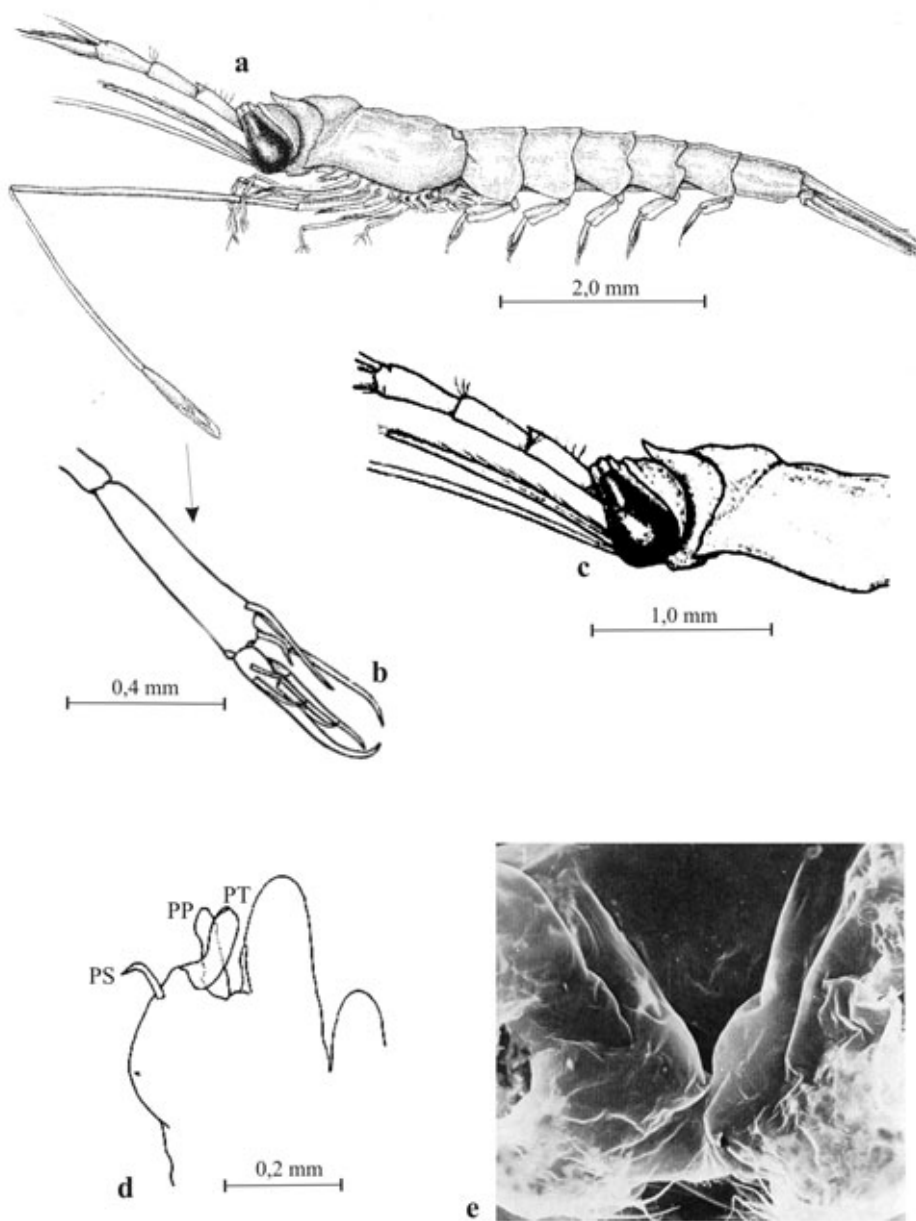
Euphausia brevis. Maschio a-f: a individuo intero (visione laterale); b carapace con denticoli laterali (visone laterale); c capo e peduncolo della 1^a antenna (visione dorsale); d peduncolo della 1^a antenna (visione dorsale); e peduncolo della 1^a antenna (visione laterale); f petasma. Femmina: g thelycum SEM (X 300).

Da: Baker *et al.* 1990; Brinton, 1975, 2000; Costanzo e Guglielmo, 1976a; Hansen 1912.



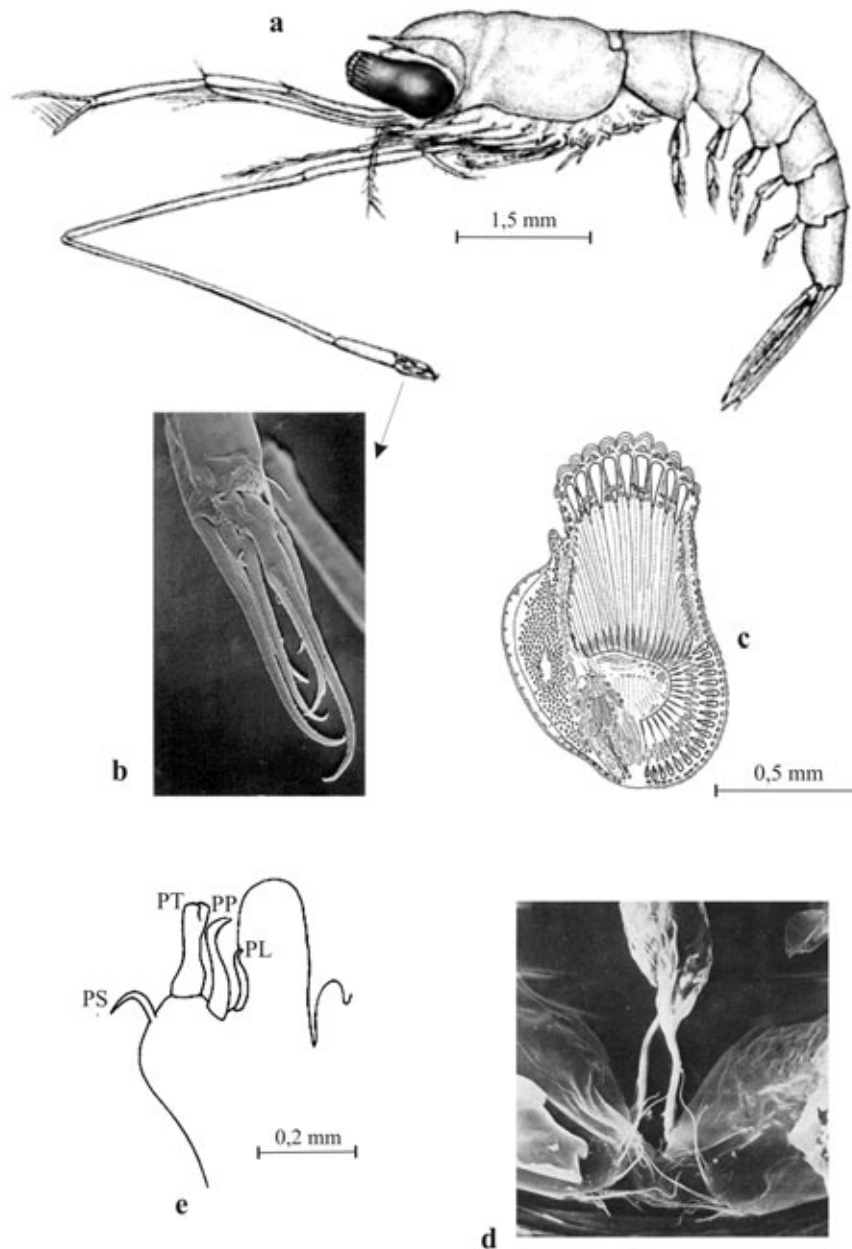
Nematoscelis megalops. Femmina a-d: a individuo intero (visione laterale); b propodite del 1° piede toracico; c dattilopodite del 2° piede toracico allungato; d thelycum SEM (X 210). Maschio e-f: e capo (visione laterale); f petasma.

Da: Baker *et al.* 1990; Brinton, 2000; Costanzo e Guglielmo, 1976a; Gopalakrishnan, 1975; Mauchline, 1984.



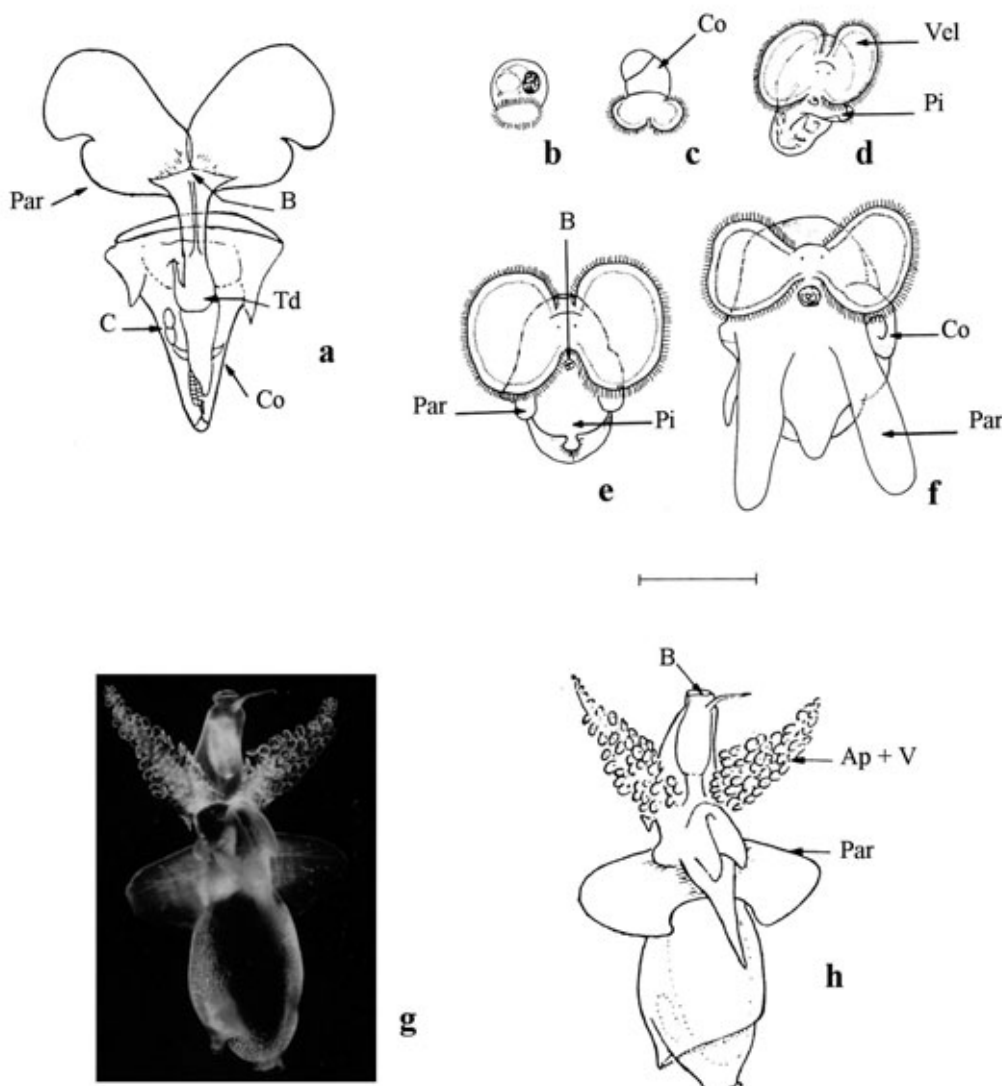
Stylocheiron submi. Maschio a-d: a individuo intero (visione laterale); b fasa chela del 3° piede toracico; c capo e peduncolo della 1^a antenna (visione laterale); d petasma. Femmina: e thelycum SEM (X 450).

Da: Boden *et al.*, 1955; Brinton, 1975, 2000; Costanzo e Guglielmo, 1976b.



Stylocheiron longicorne. Femmina a-d: a individuo intero (visione laterale); b fasa chela del 3° piede allungato; c occhio con coni cristallini; d thelycum SEM (X 280). Maschio: e petasma.

Da: Brinton, 1975, 2000; Chun, 1896; Costanzo e Guglielmo, 1976b; Guglielmo *et al.* 1997.



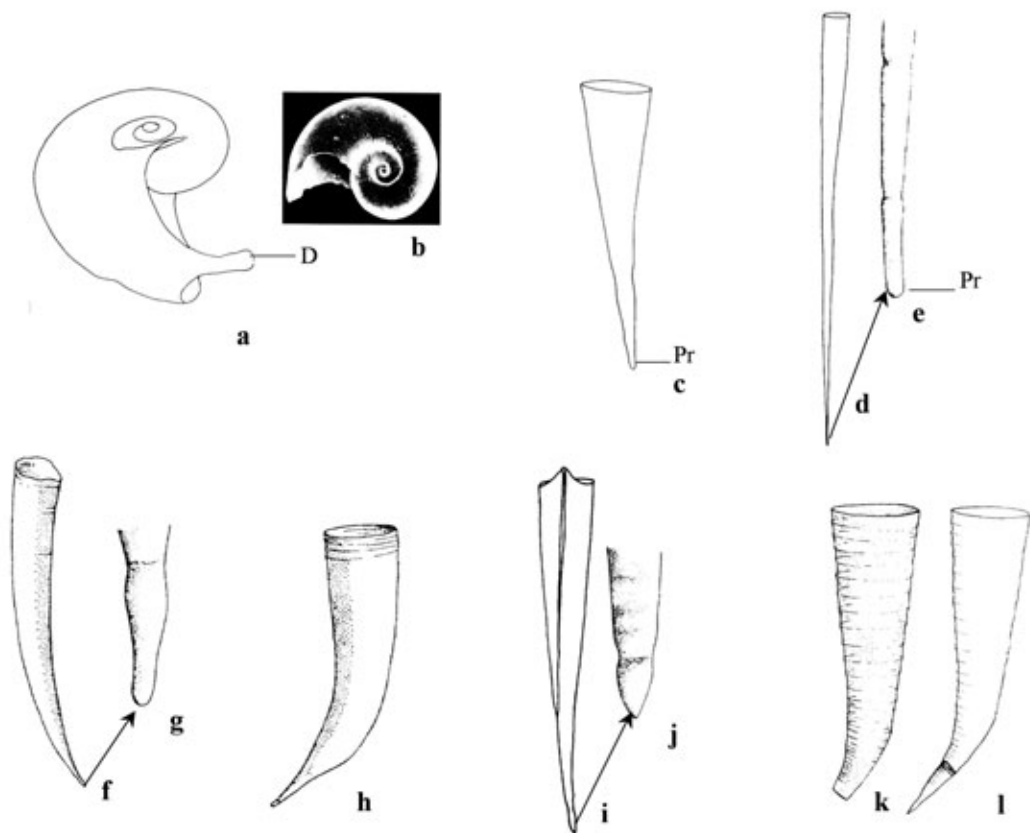
Pteropodi Tecosomi. *Cavolinia inflexa* a. *Limacina* b-f : stadi successivi di sviluppo dalla larva primaria (b) al veliger che sta per subire la metamorfosi (f).

Pteropodi Gimnosomi. *Pneumoderma mediterraneum*, g-h.

Abbreviazioni a pag. 166 del Vol.1

Da: Bougis & Carré, 1987; Lalli & Gilmer, 1989.

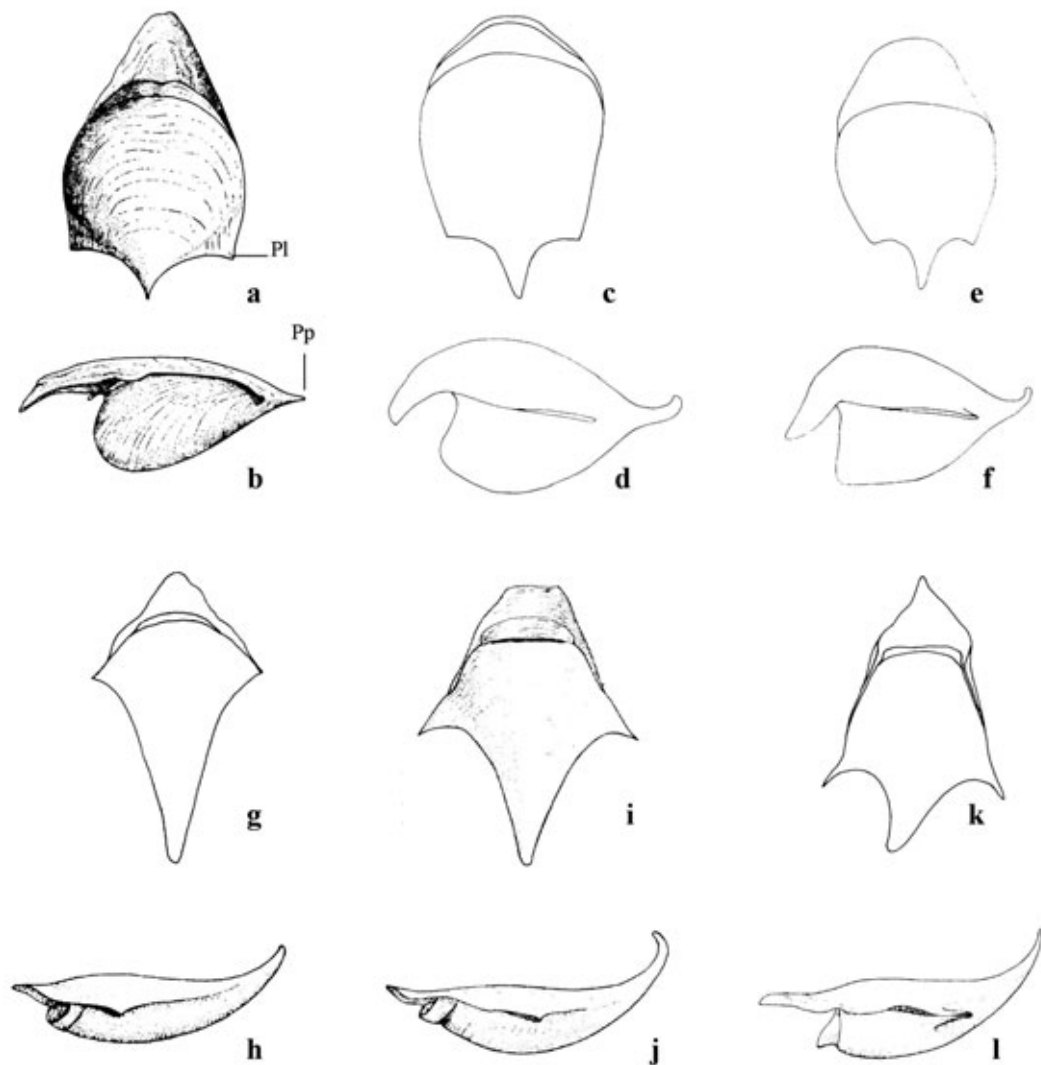
■ P. Licandro - Università di Genova & C. Carré. Station Zoologique. Villefranche-sur-mer



Limacina inflata a-b : a visione dorsale; b visione laterale. *Creseis acicula* forma *clava* c. *Creseis acicula* forma *acicula* d-e: d figura intera; e protoconca. *Creseis virgula* forma *virgula* f-g: f figura intera; g protoconca. *C. virgula* forma *conica* h. *Styliola subula* i-j: i figura intera; j protoconca. *Hyalocylis striata* k-l: k figura senza protoconca; l figura intera.

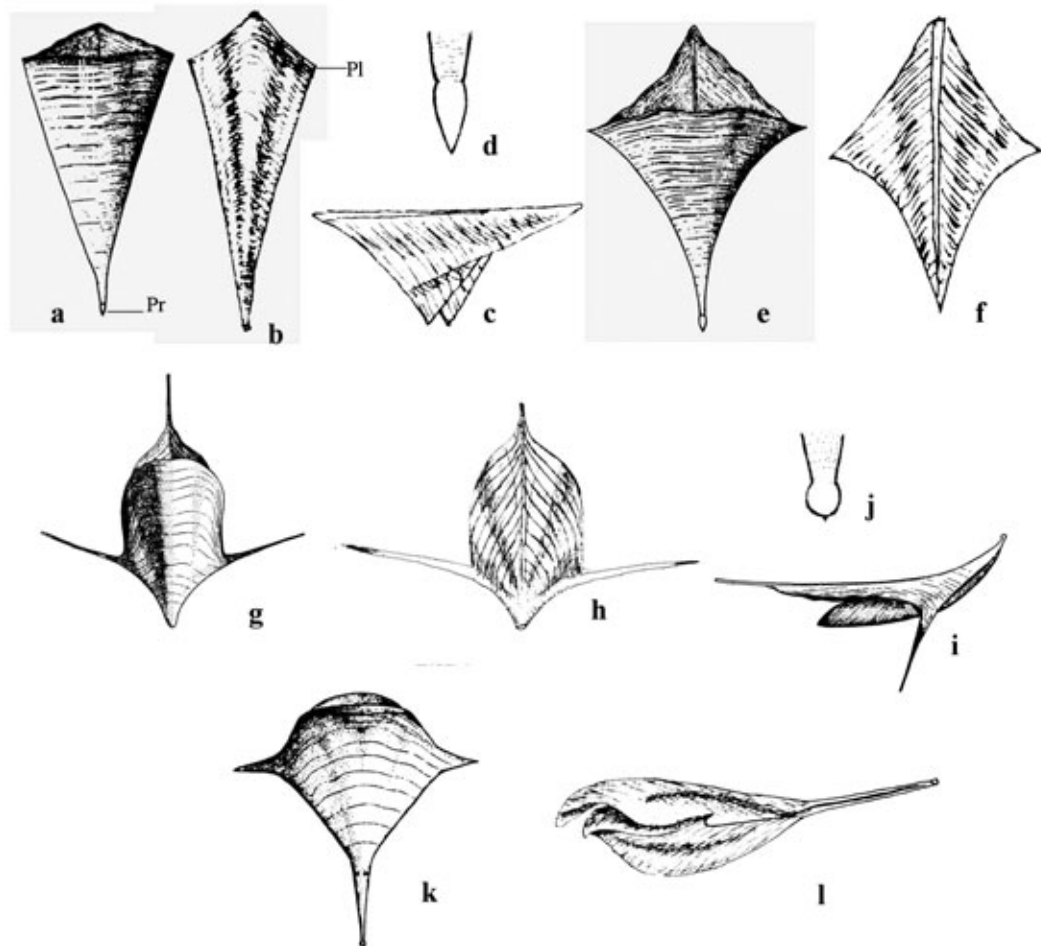
D, dente. Altre abbreviazioni a pag. 166 del Vol.1

Da: van der Spoel, 1999.



Cavolinia tridentata a-b: a visione ventrale; b visione laterale; *Cavolinia gibbosa* forma *gibbosa* c-d: c visione ventrale; d visione laterale; *C. gibbosa* forma *flava* e-f: e visione ventrale; f visione laterale; *Cavolinia inflexa* forma *inflexa* g-h: g visione ventrale; h visione laterale; *C. inflexa* forma *imitans* i-j: i visione ventrale; j visione laterale; *C. inflexa* forma *labiata* k-l: k visione ventrale; l visione laterale.
Abbreviazioni a pag. 166 del Vol.1

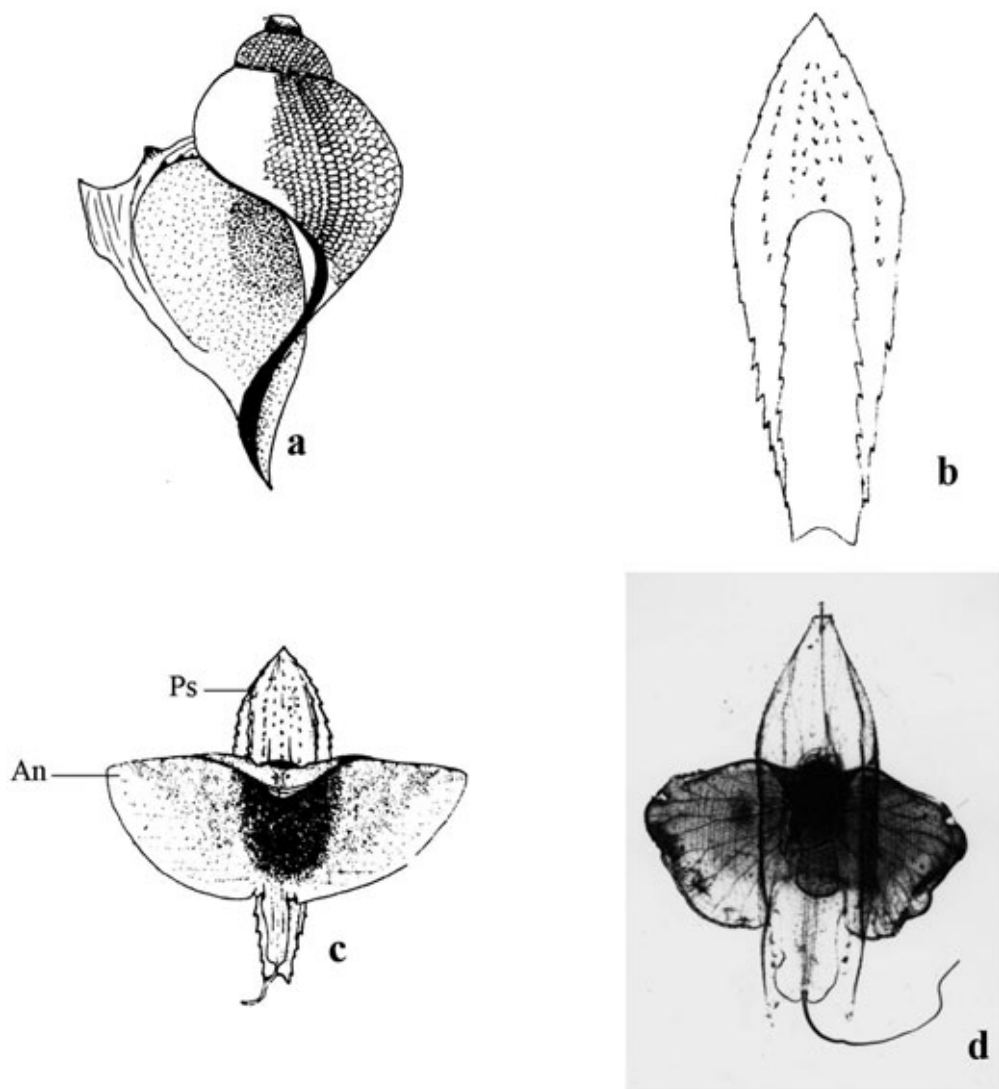
Da: van der Spoel 1972, 1999



Clio pyramidata forma *pyramidata* a-d : a visione ventrale; b visione dorsale; c visione laterale sinistra; d protoconca. *C. pyramidata* forma *lanceolata* e-f: e visione ventrale; f visione dorsale. *Clio cuspidata* g-j: g visione ventrale; h visione dorsale; i visione laterale sinistra; j protoconca. *Diacria trispinosa* k-l: k visione dorsale; l visione laterale sinistra.

Abbreviazioni a pag. 166 del Vol.1

Da: Trégouboff & Rose, 1957; van der Spoel, 1972.

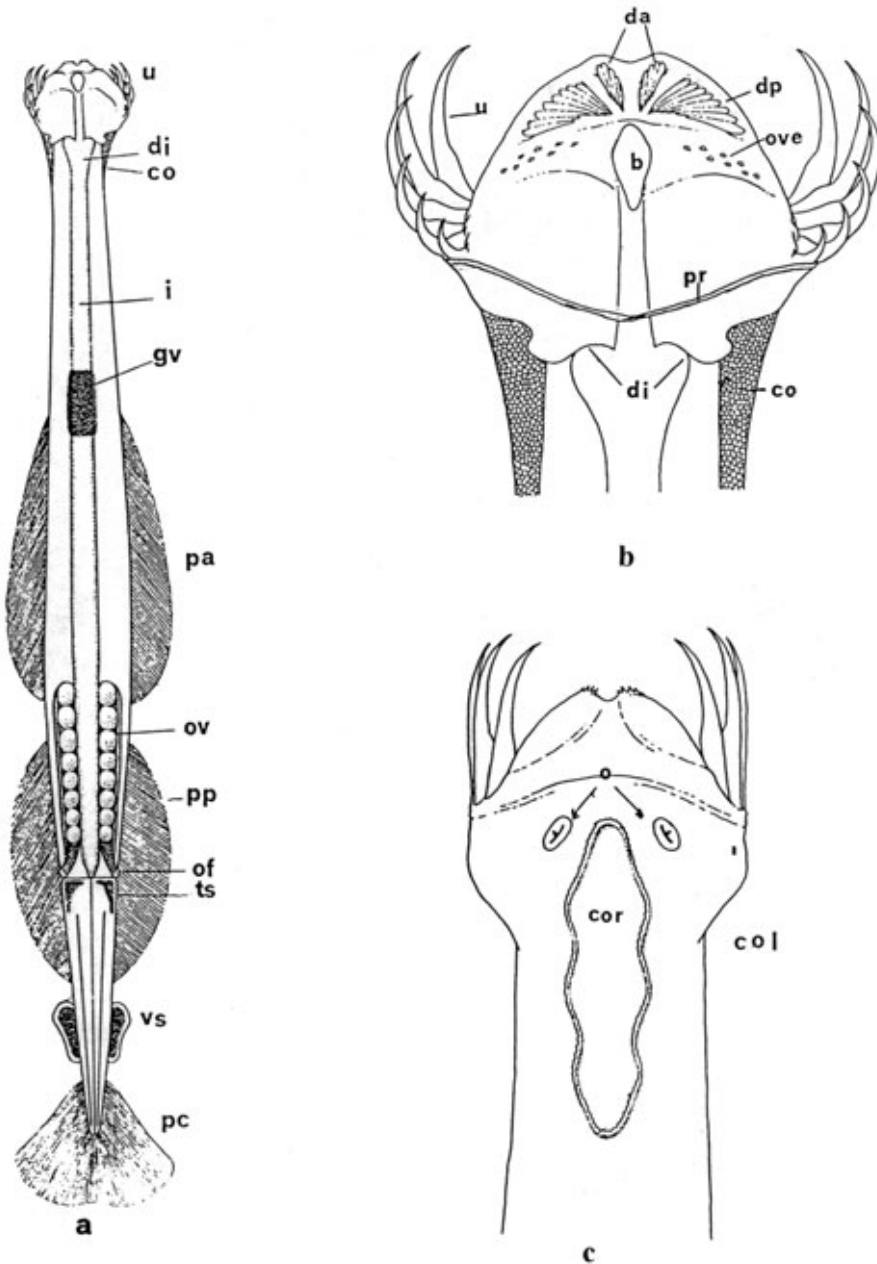


Peraclis bispinosa a. *Cymbulia peroni* b-d : b pseudoconca senza l'animale, visione dorsale; c pseudoconca con animale, visione dorsale; d fotografia dell'animale vivente.

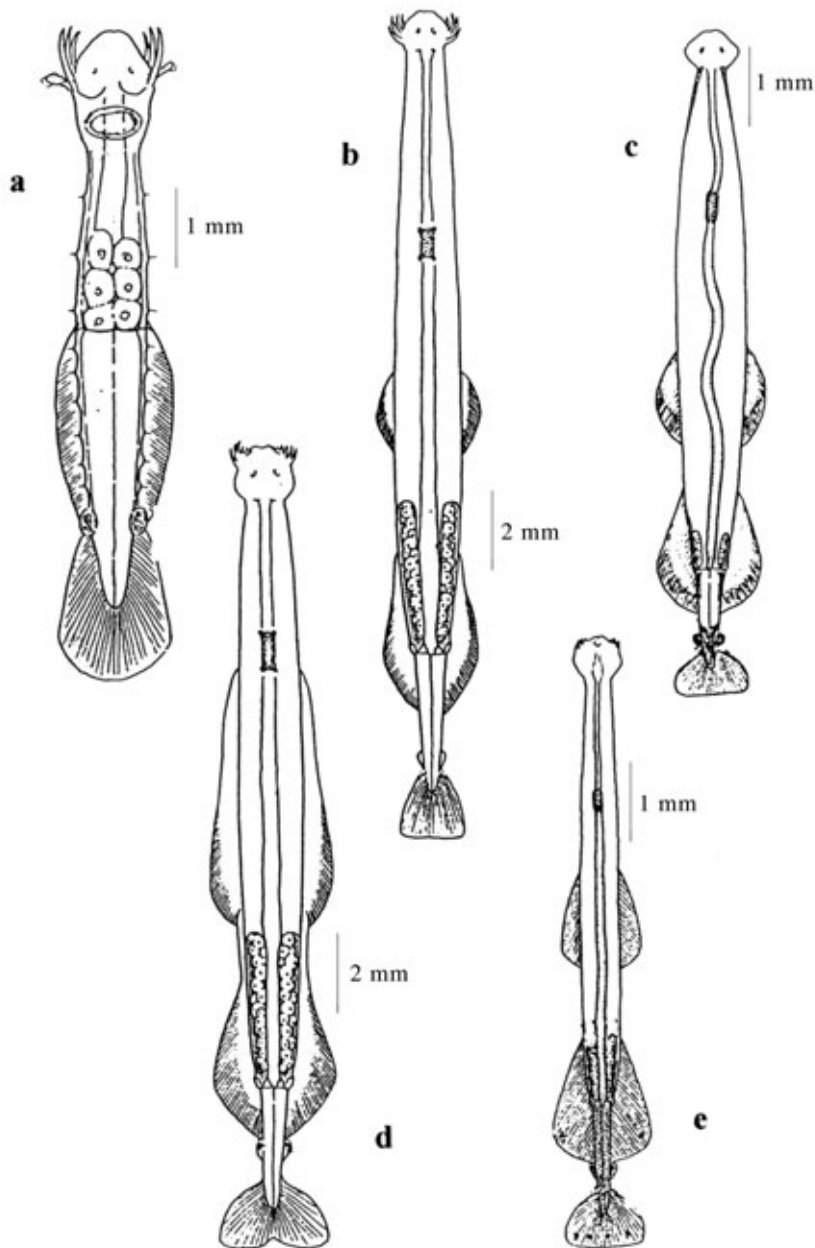
An, animale; Ps, pseudoconca cartilaginosa.

Da: Trégouboff & Rose, 1957; van der Spoel, 1972, 1999.

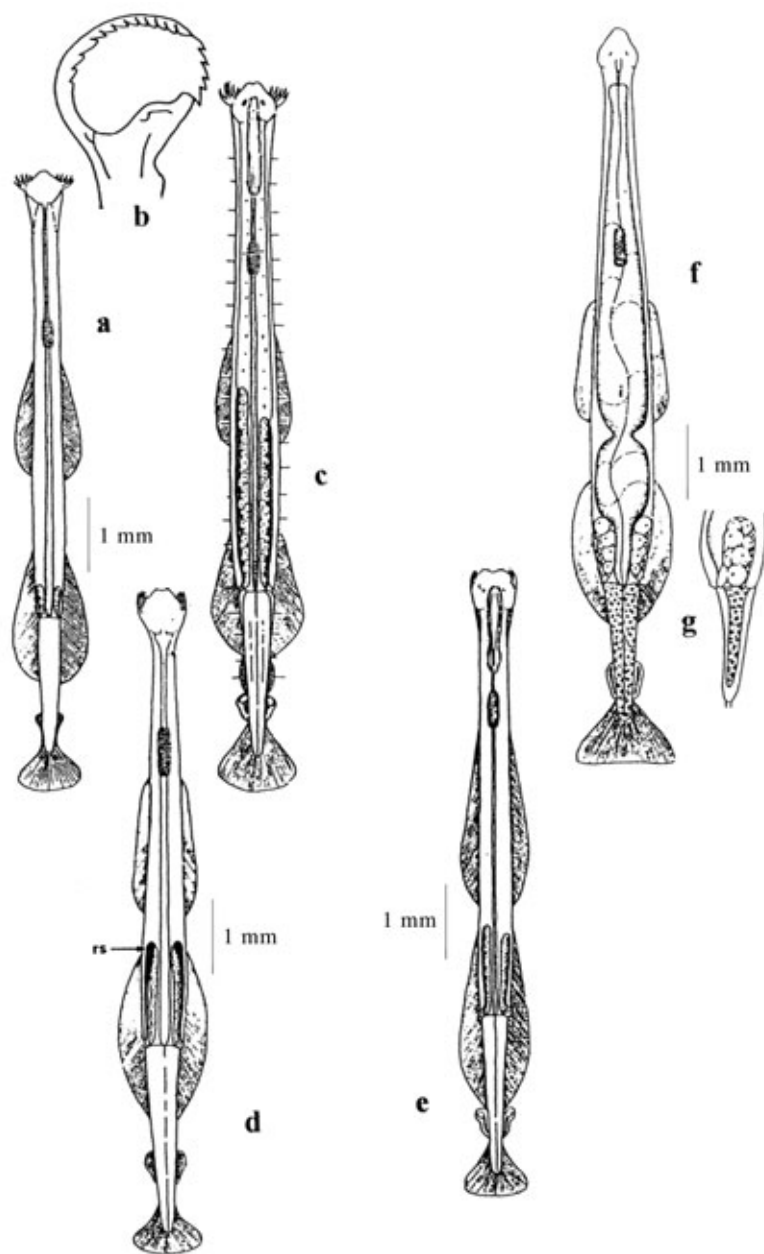
■ P. Licandro - Università di Genova & C. Carré. Station Zoologique. Villefranche-sur-mer



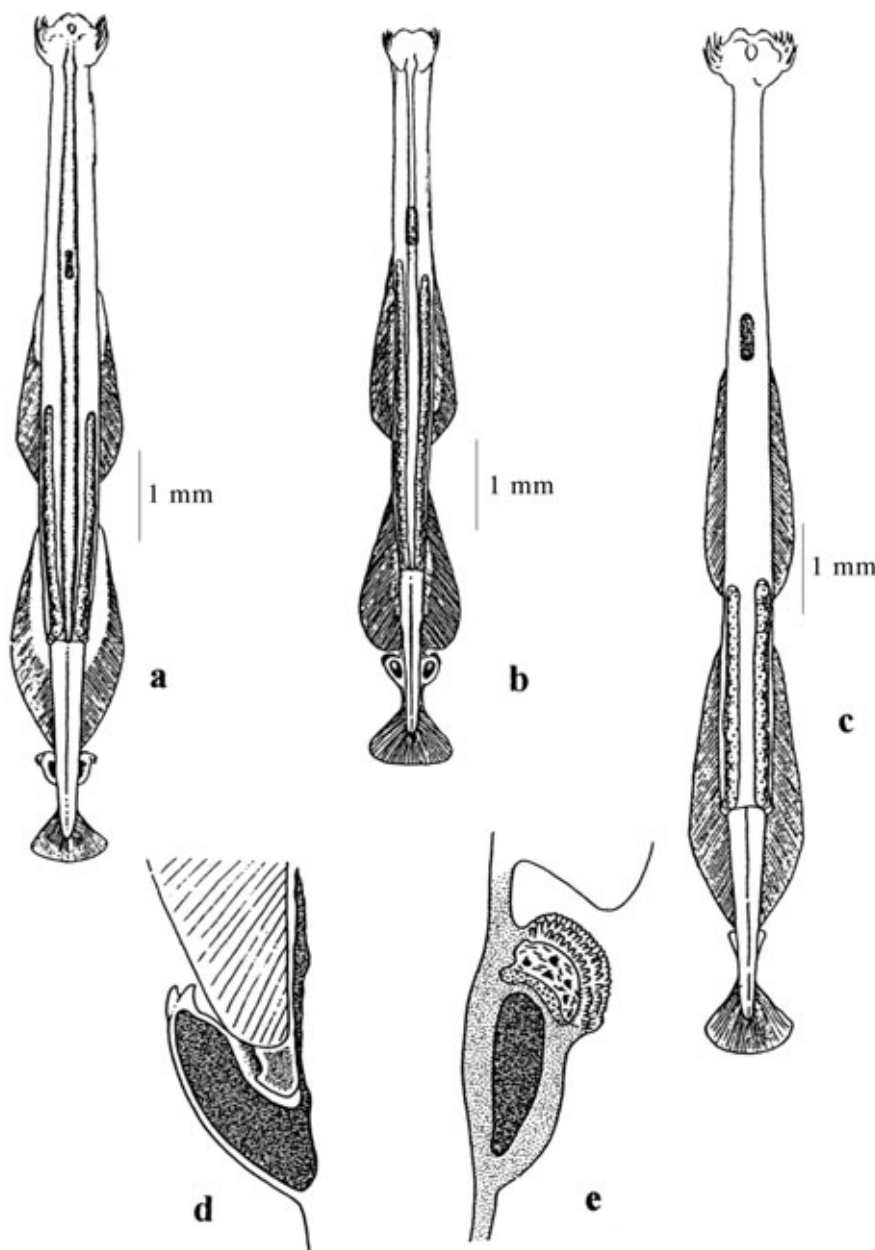
a *Sagitta* sp. dal dorso; b faccia ventrale del capo di *Sagitta* sp. c faccia dorsale del capo di *Sagitta* sp.



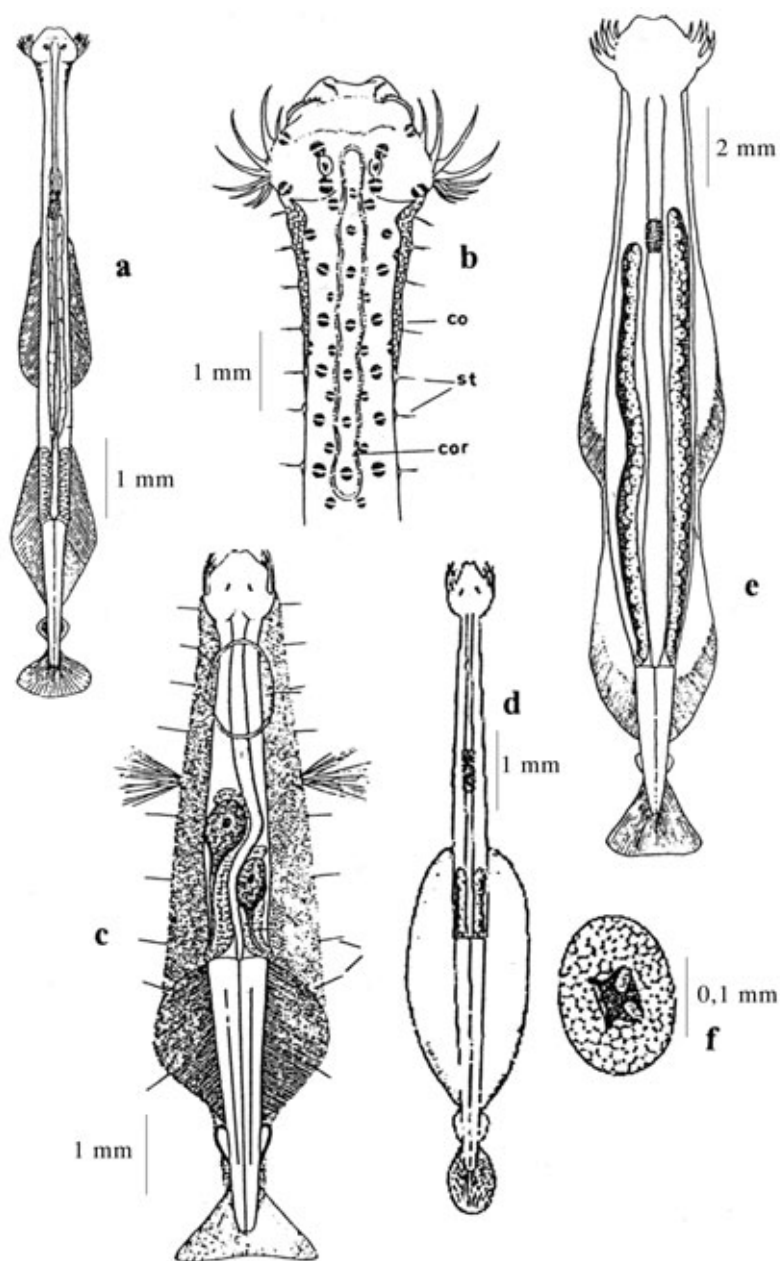
a *Spadella cephaloptera* Busch, 1851; b *Sagitta hexaptera* d'Orbigny, 1835; c *Sagitta enflata* Grassi, 1883; d *Sagitta lyra* Krohn, 1853; e *Sagitta setosa* Müller, 1847 (da Ghirardelli).



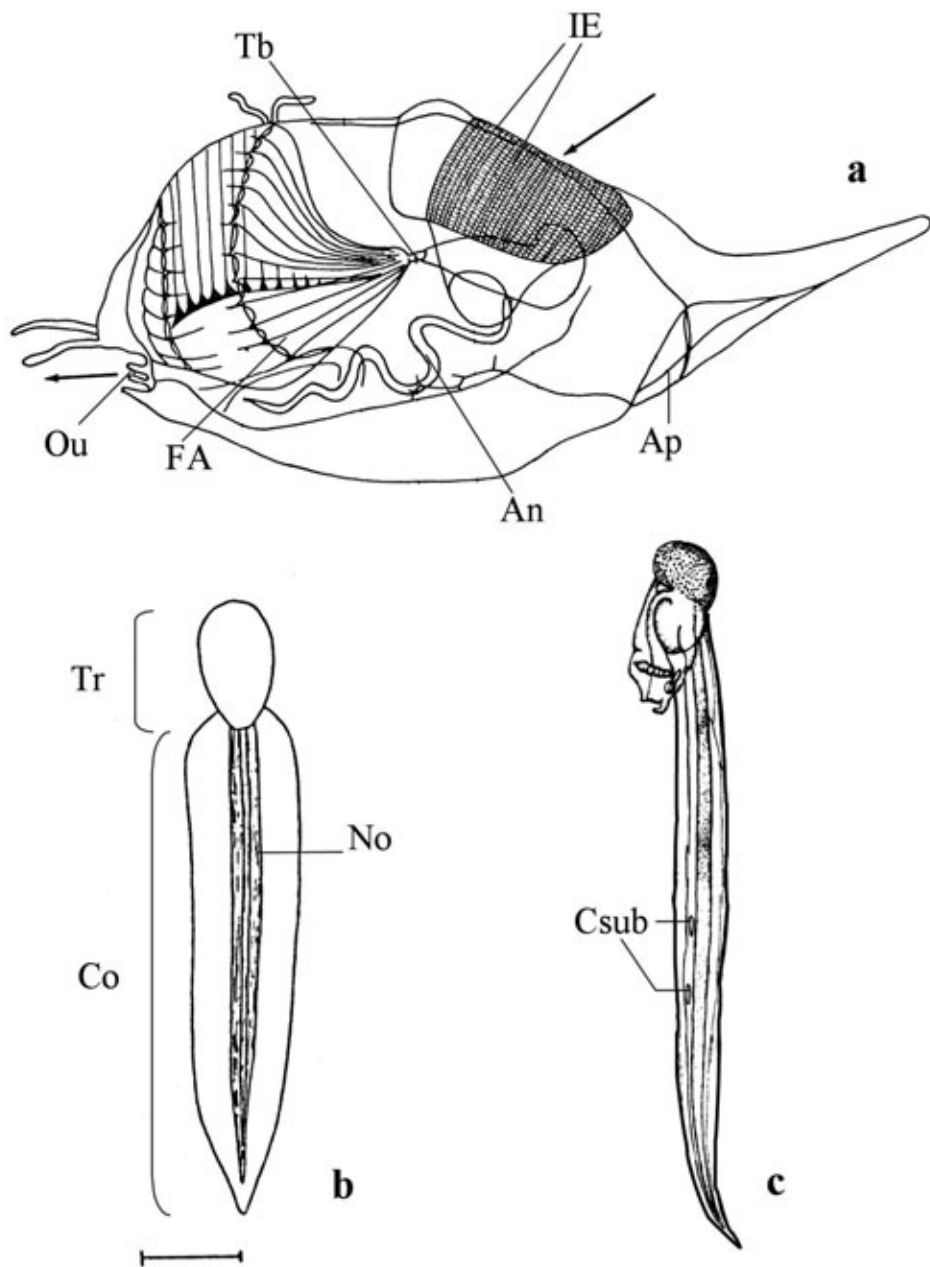
Sagitta bipunctata Quoy & Gaimard, 1827: a "forma A", b orlo della calotta delle vescicole seminali della "forma B" di *S. bipunctata*, c *S. bipunctata* "forma B"; d *Sagitta decipiens* Fowler, 1905; e *Sagitta friderici* Ritter Zahony, 1911; f *Sagitta minima* Grassi, 1881; g regione caudale di *S. minima* vista di lato (Fig. a, c da Furnestin. Le altre figure da Ghirardelli, 1950, 1952).



Sagitte che hanno il bordo interno degli uncini seghettato. a *Sagitta serratodentata* Krohn, 1853; b *Sagitta tasmanica* Thomson, 1947; c *S. bieri* Alvariño, 1961; d vescicola seminale sinistra di *S. serratodentata* (x65 circa); e vescicola seminale destra di *S. tasmanica* (x65 circa). (Fig: a, b, d, e, da Furnestin, 1957; Fig. c ridisegnata da Alvariño, 1961).



Sagitta megalophthalma Dallot & Ducret, 1969; a esemplare maturo dal dorso, b capo, collo e regione anteriore del tronco. f occhio; *c Pterosagitta draco* Krohn, 1853; *d Krohnitta subtilis* Grassi, 1881; e *Sagitta planctonis* Steinhaus, 1896. (Fig. a, b, f da Dallot & Ducret, Fig.c da Ghirardelli, 1950).

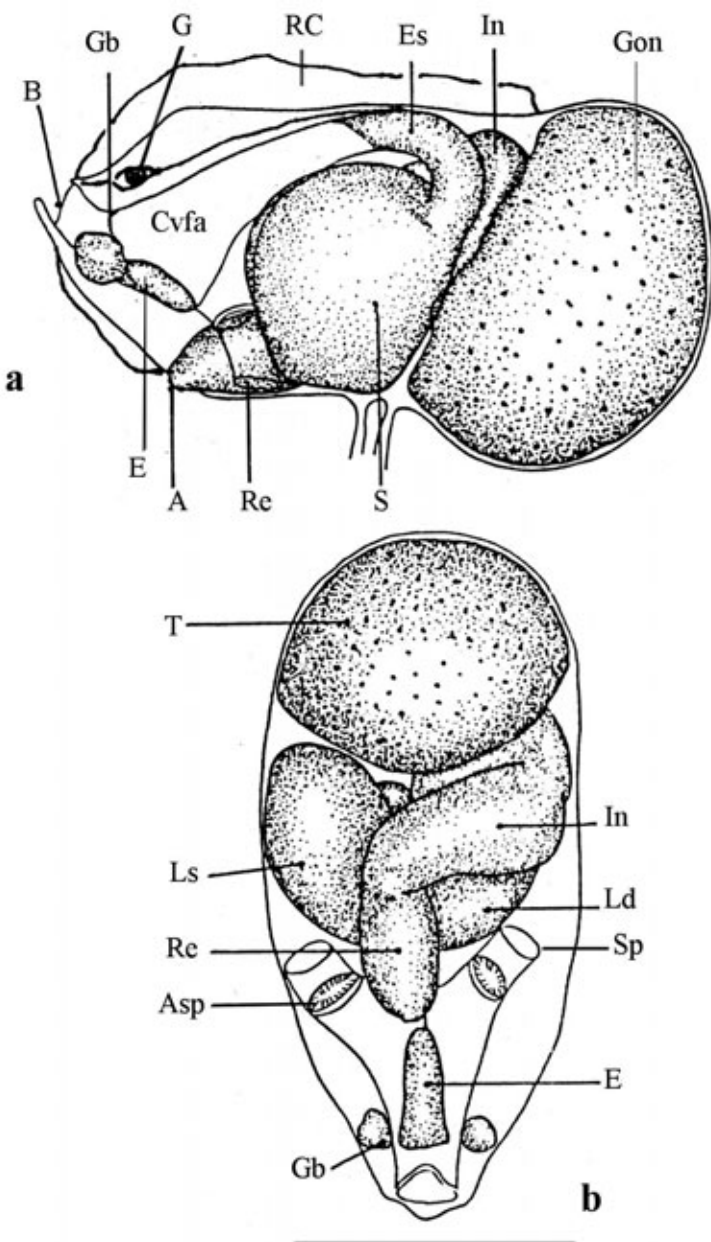


Appendicularie: a struttura della casa di *Oikopleura albicans*. Le frecce indicano la circolazione dell'acqua.
Oikopleura dioica b-c: b figura intera, scala 1 mm; c figura intera, visione laterale.

An, animale; Ap, apertura della casa; Tr, tronco. Altre abbreviazioni a pag. 191 del Vol.1

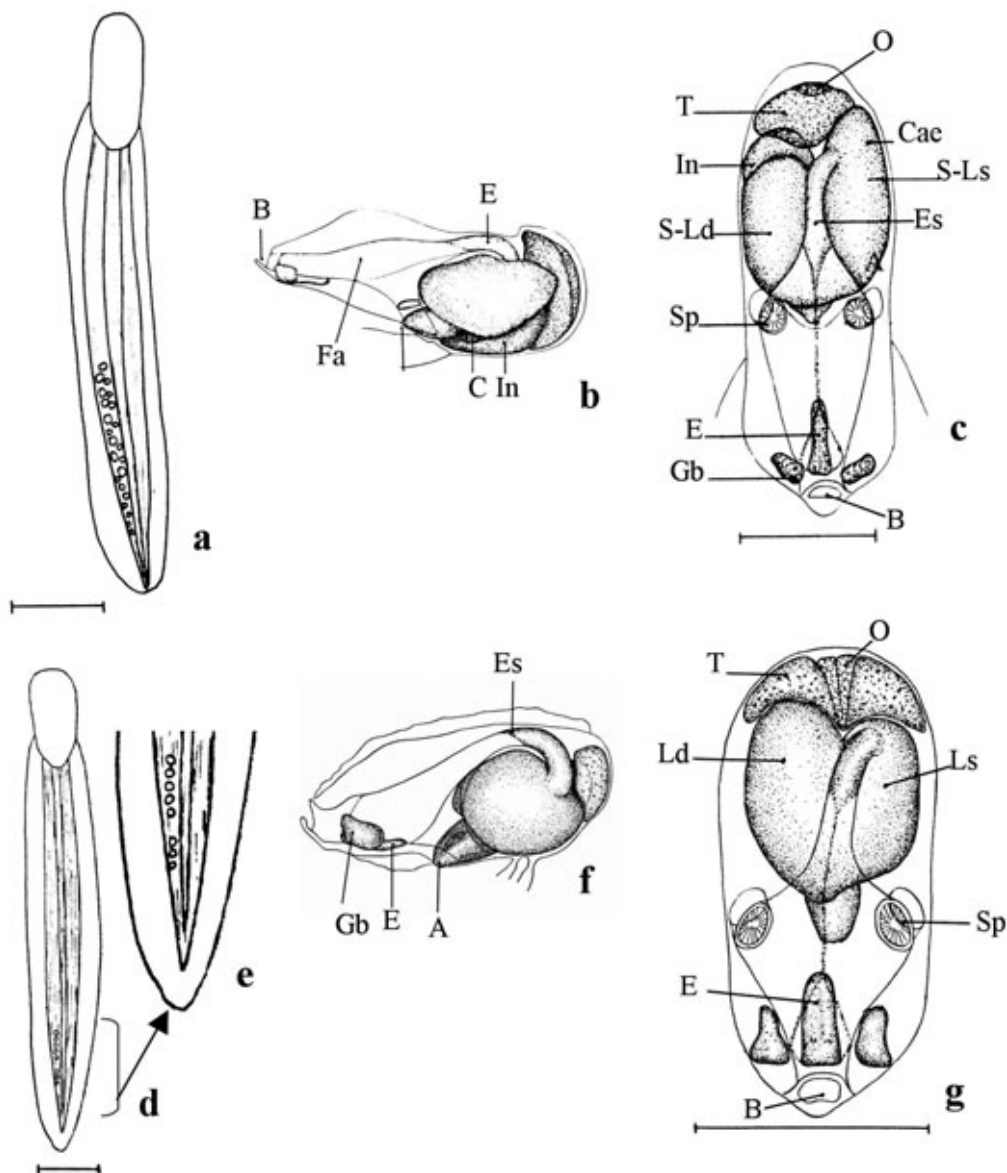
Da: Fenaux 1967; Lohmann, 1899; Thompson, 1948.

■ G. Gorsky - Station Zoologique. Villefranche-sur-mer



Oikopleura dioica a-b: a struttura del tronco, visione laterale; tronco, visione ventrale (scala 250 µm).
Rc, rudimento di casa. Altre abbreviazioni a pag. 191 del Vol.1

Da: Fenaux 1967.

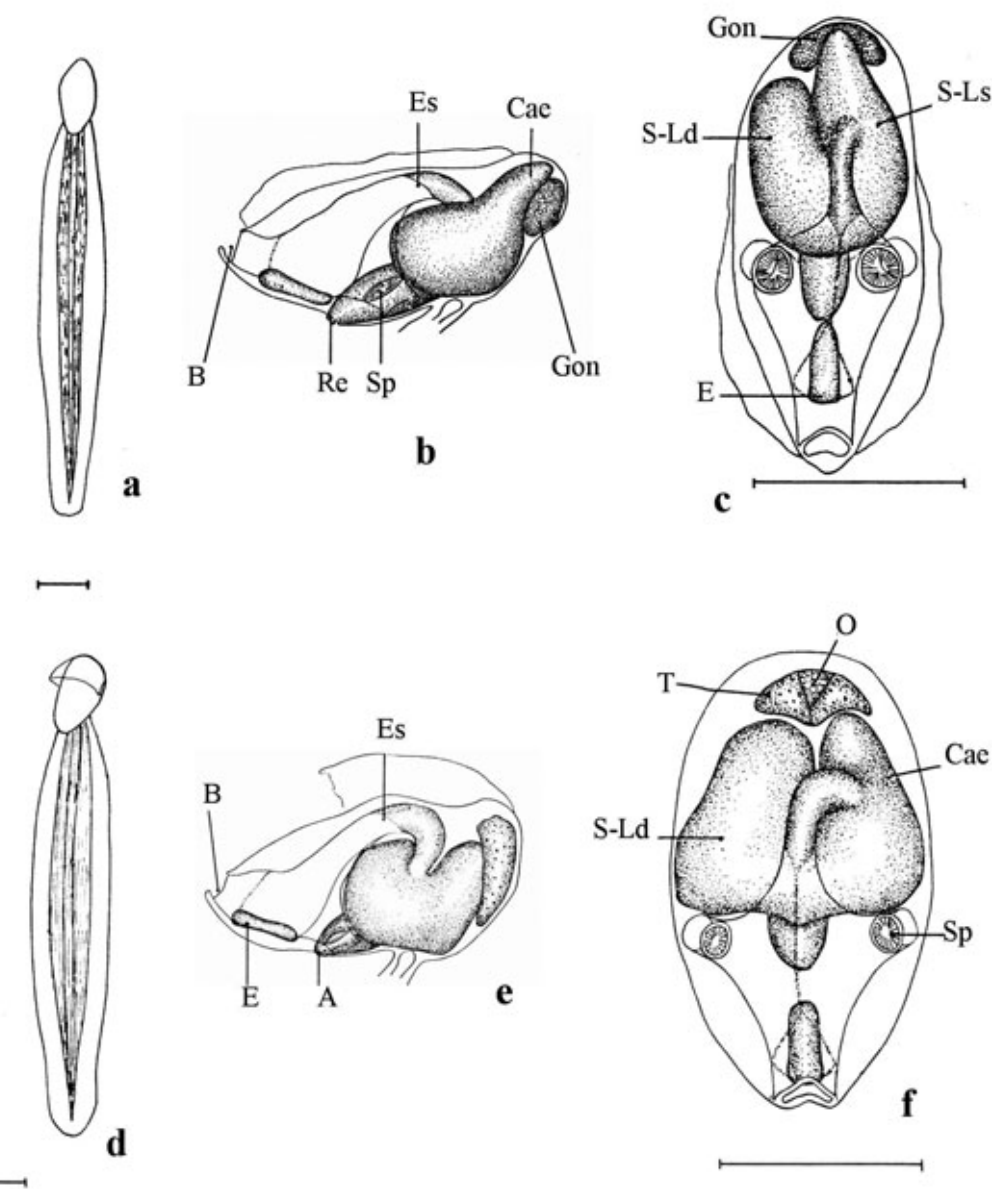


Oikopleura albicans a-c: a figura intera (scala 1 mm); b tronco, visione laterale; c tronco, visione dorsale (scala 1 mm).

O. cophocerca d-g: d figura intera (scala 250 µm); e particolare della coda con cellule subcordali; f tronco, visione laterale; g tronco, visione dorsale (scala 250 µm).

C, cuore; Cae, caecum; Fa, faringe. Altre abbreviazioni a pag. 191 del Vol. 1

Da: Fenaux, 1967.

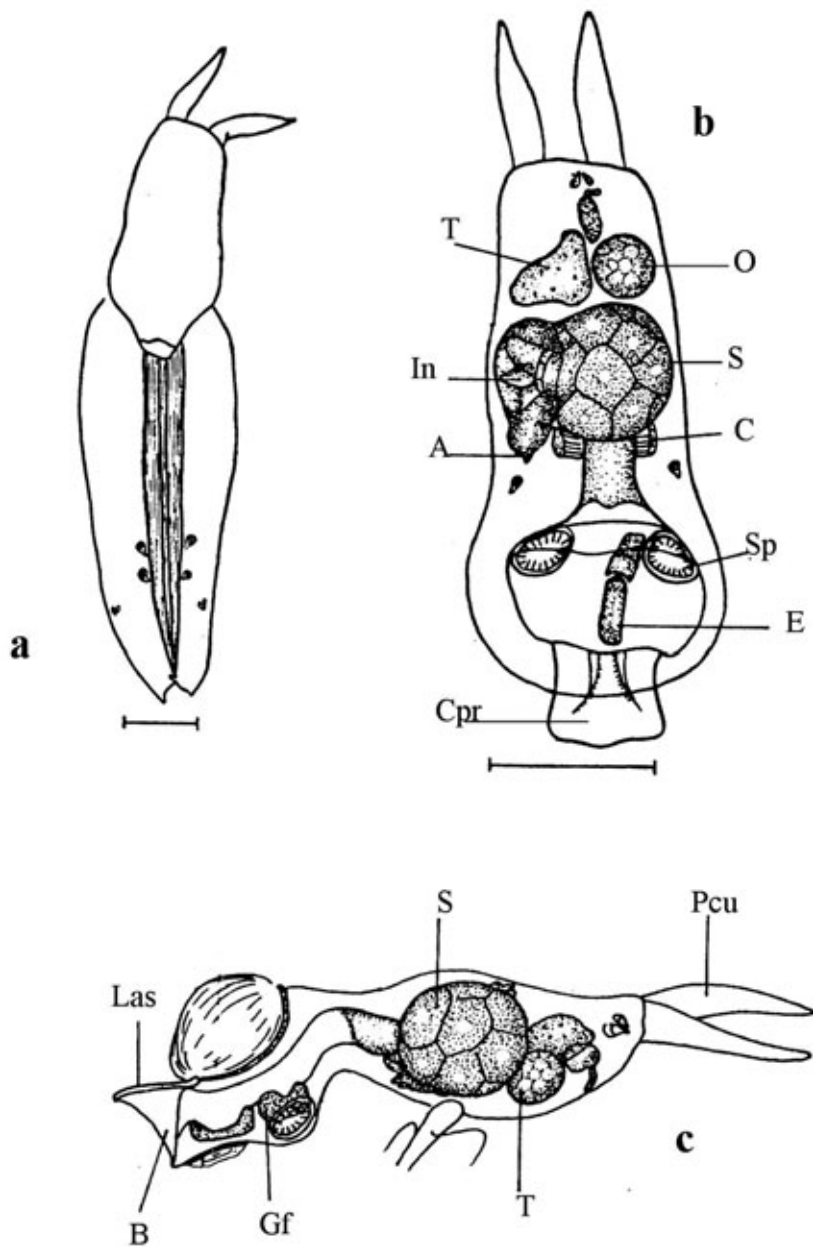


Oikopleura fusiformis a-c: a figura intera (scala 250 µm); b tronco, visione laterale; c tronco, visione dorsale (scala 250 µm).

Oikopleura longicauda d-f: d figura intera (scala 250 µm); e tronco, visione laterale; f tronco, visione dorsale (scala 250 µm).

A, ano; Cae, caecum. Altre abbreviazioni a pag. 191 del Vol.1

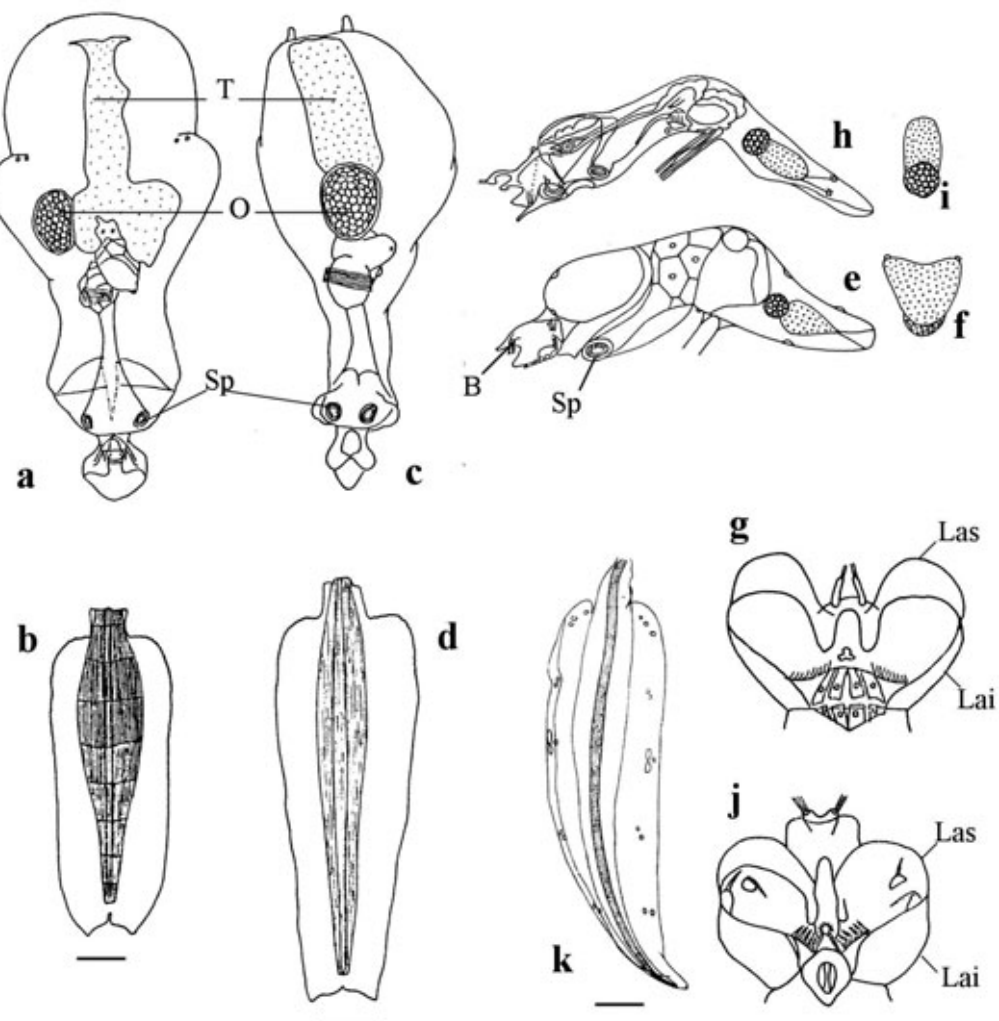
Da: Fenaux, 1967.



Fritillaria pellucida forma *typica* a-c: a figura intera (scala 250 µm); b tronco, visione dorsale (scala 250 µm); c tronco, visione laterale.

C, cuore; Cpr, cappuccio preboccale; Gf, ghiandola faringea; Las, labbro superiore; Pcu, prolungamento cuticolare. Altre abbreviazioni a pag. 191 del Vol.1

Da: Fenaux, 1967.

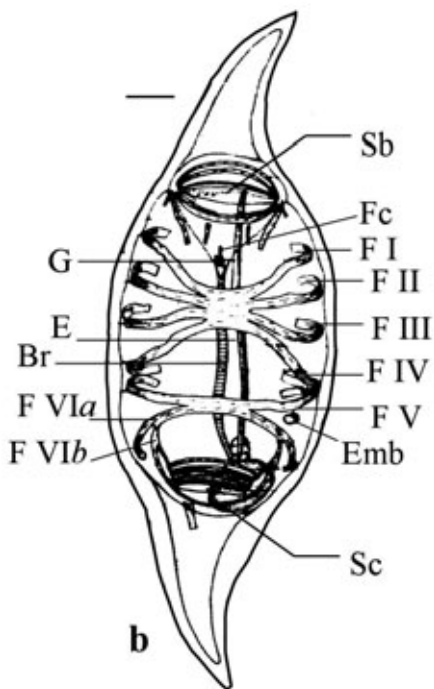
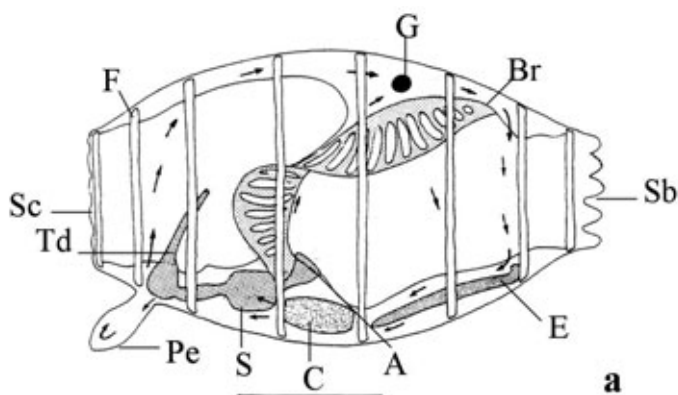


Fritillaria borealis. *F. borealis* forma *sargassi* a-b: a tronco, visione ventrale; b coda (scala 0.5 mm). *F. borealis* forma *intermedia* c-d: c tronco, visione ventrale; d coda (scala 0.5 mm).

Fritillaria formica. *F. formica* forma *digitata* e-g: e tronco, visione laterale; f gonade degli individui maturi; g dettaglio della regione boccale. *F. formica* forma *tuberculata* h-j: h tronco, visione laterale; i gonade degli individui maturi; j dettaglio della regione boccale. k coda (scala 0.5 mm).

Las, labbro superiore; Lai, labbro inferiore. Altre abbreviazioni a pag. 191 del Vol.1

Da: Fenaux, 1967; Lohmann, 1931.



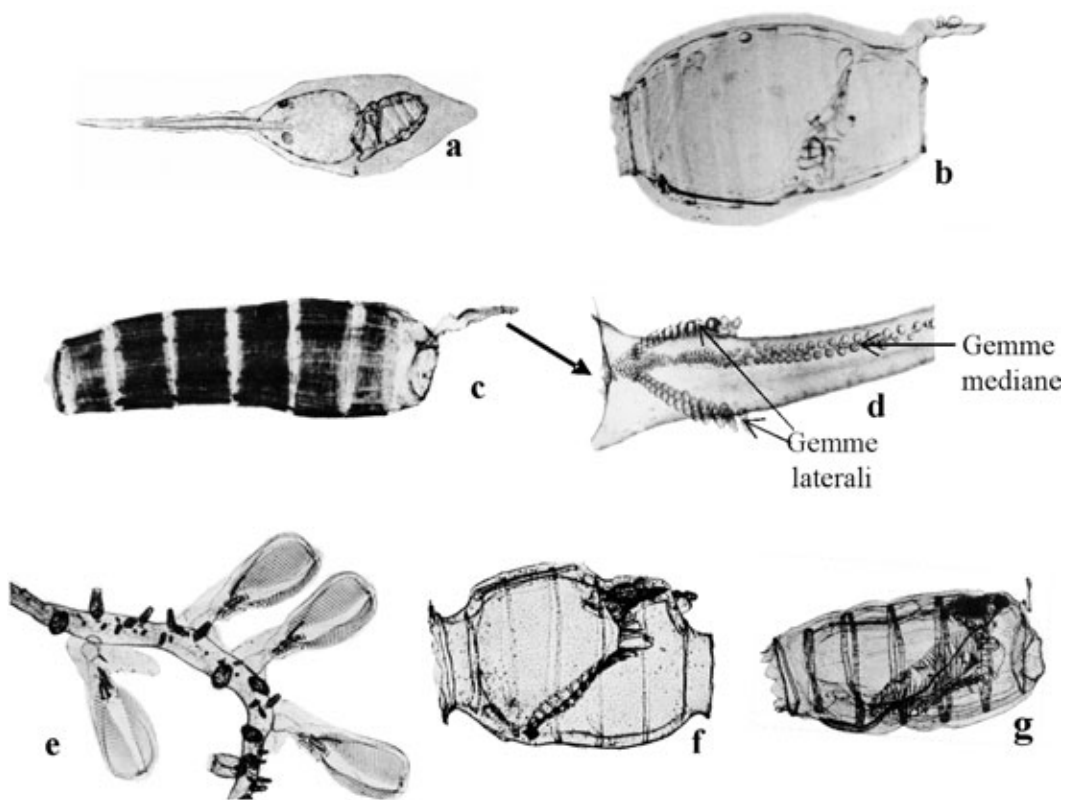
Dolioli: a forozoide di *Doliolina mülleri*, visione laterale (scala 0.5 mm). Le frecce indicano la circolazione dell'emolinfra.

Salpe: b blastozoide di *Salpa fusiformis*, visione dorsale (scala 0.5 cm).

A, ano; Br, branchia; C, cuore; E, endostilo; Emb, embrione; F, fascia muscolare; Fc, fossette ciliata (organo olfattivo); G, ganglio cerebrale; Pe, peduncolo; S, stomaco; Sb, sifone boccale; Sc, sifone cloacale; Td, tubo digerente.

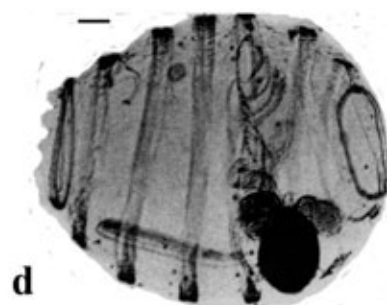
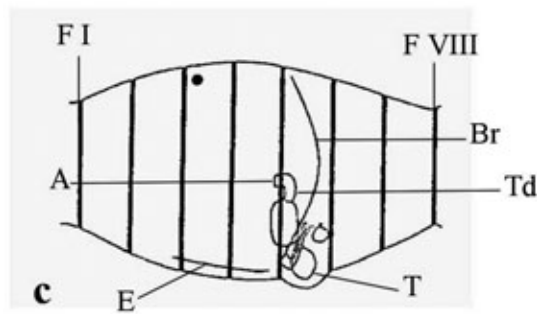
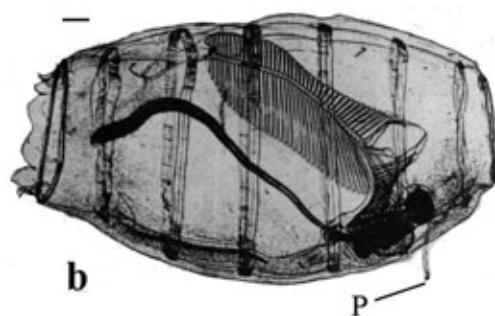
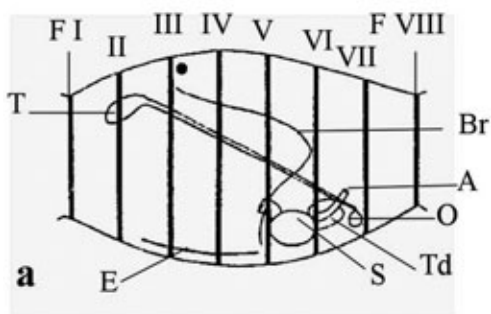
Da: Godeaux *et al.*, 1998; Thompson, 1948.

■ C. Carré - Station Zoologique. Villefranche-sur-mer & P. Licandro. Università di Genova.



Stadi di sviluppo: a larva di *Doliolina müllerri*; b oozoide maturo di *D. müllerri* (lunghezza 1.2 mm); c nutrice di *D. müllerri* (lung. 8 mm); d particolare dell'appendice dorsale della nutrice di *Dolioletta* che mostra la disposizione delle gemme; e colonia di *Dolioletta* composta da gastrozoidi, gemme e giovani forozoidi in via di sviluppo; f giovane forozoide di *D. gegenbauri* (lungh. 1.5 mm); g gonozoide di *D. gegenbauri* (lungh. 10 mm).

Da: Braconnot, 1970, 1971.

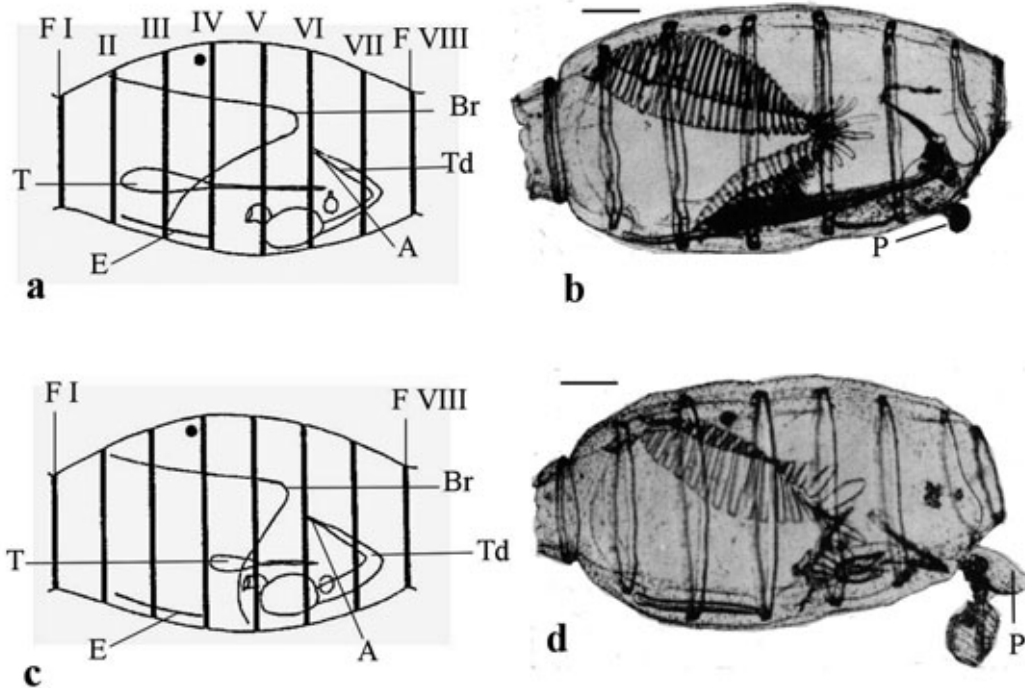


Dolioletta gegenbauri a-b: a gonozoide, visione laterale; b gonozoide (scala 0.7 mm).

Doliolina mülleri c-d: c gonozoide; d gonozoide (scala 0.15 mm).

A, ano; Br, branchie; E, endostilo; F, fascia muscolare; O, ovario; P, peduncolo; S, stomaco; T, testicolo; Td, tubo digerente.

Da: Braconnot, 1971; Godeaux *et al.*, 1998.

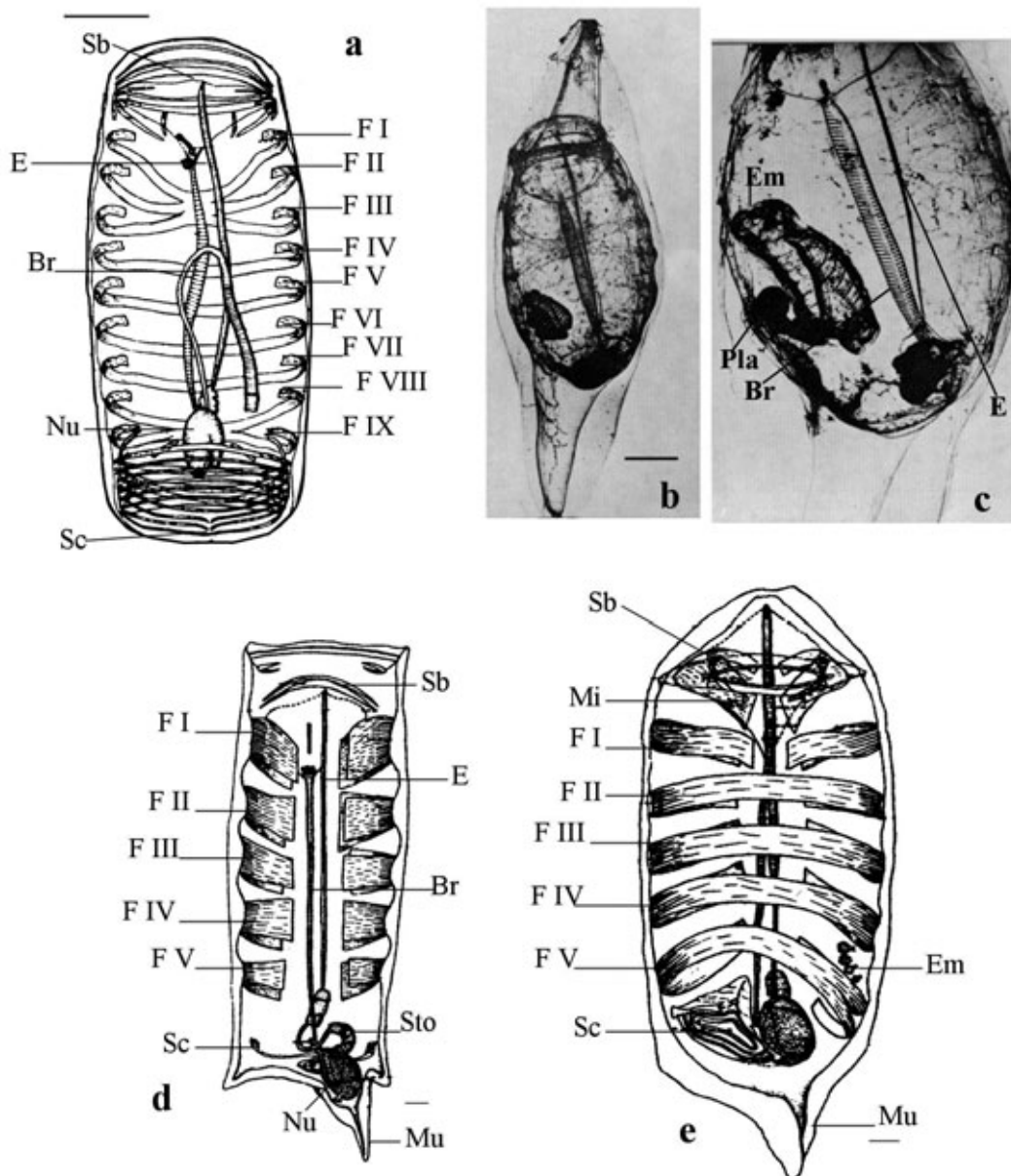


Doliolum denticulatum a-b: a gonozoide, visione laterale; b gonozoide (scala 0.5 mm).

Doliolum nationalis c-d: c gonozoide; d gemmazione diretta del gonoforozoide dal gonoforozoide nel ciclo corto di *D. nationalis* (scala 0.2 mm).

A, ano; Br, branchie; E, endostilo; F, fascia muscolare; P, peduncolo; T, testicole; Td, tubo digerente.

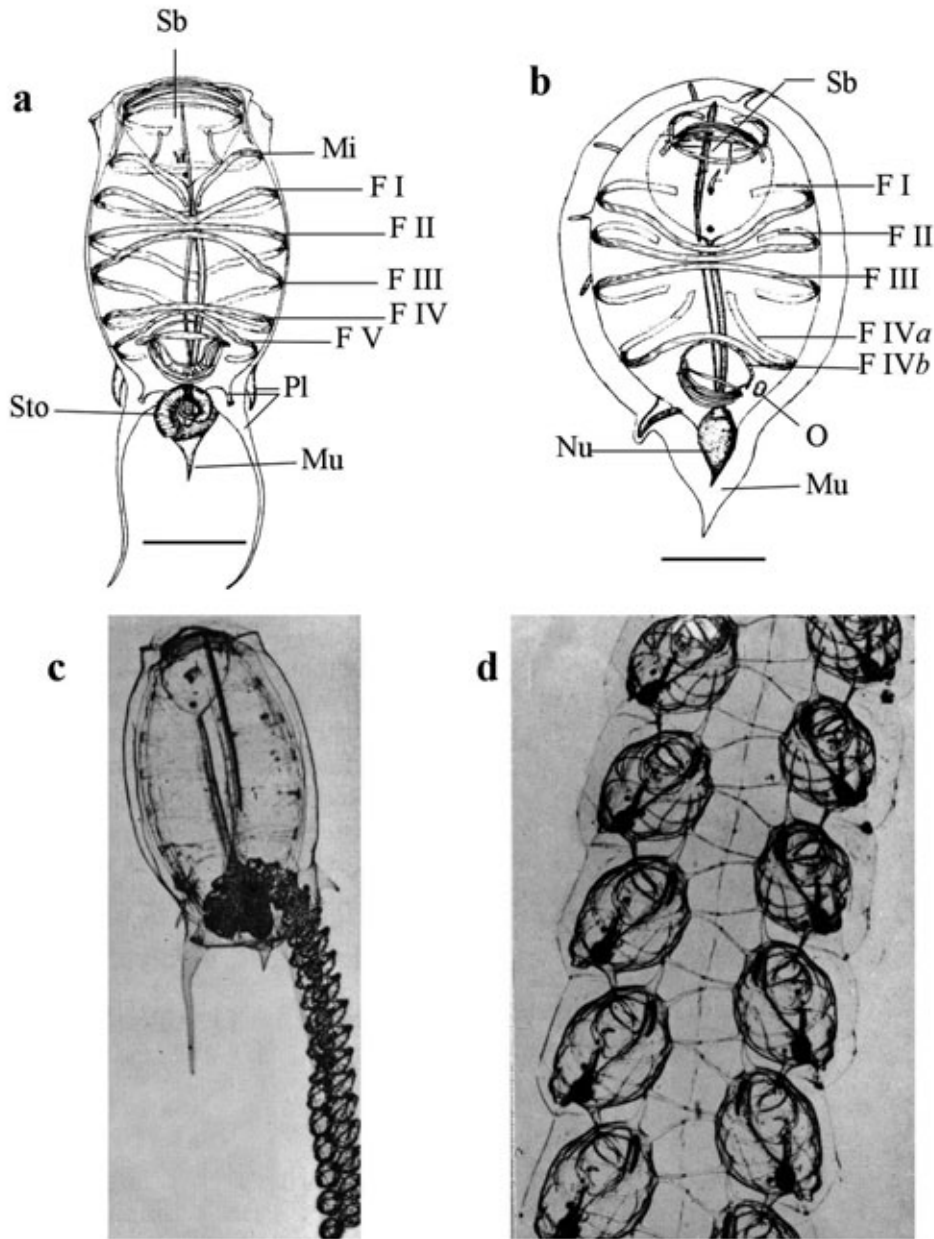
Da: Braconnot, 1971; Godeaux *et al.*, 1998.



Salpa fusiformis a-c: a oozoide, visione ventrale (scala 4 mm); b blastozoide, visione ventrale (scala 2 mm); c particolare del blastozoide con embrione (futuro oozoide) in via di sviluppo.

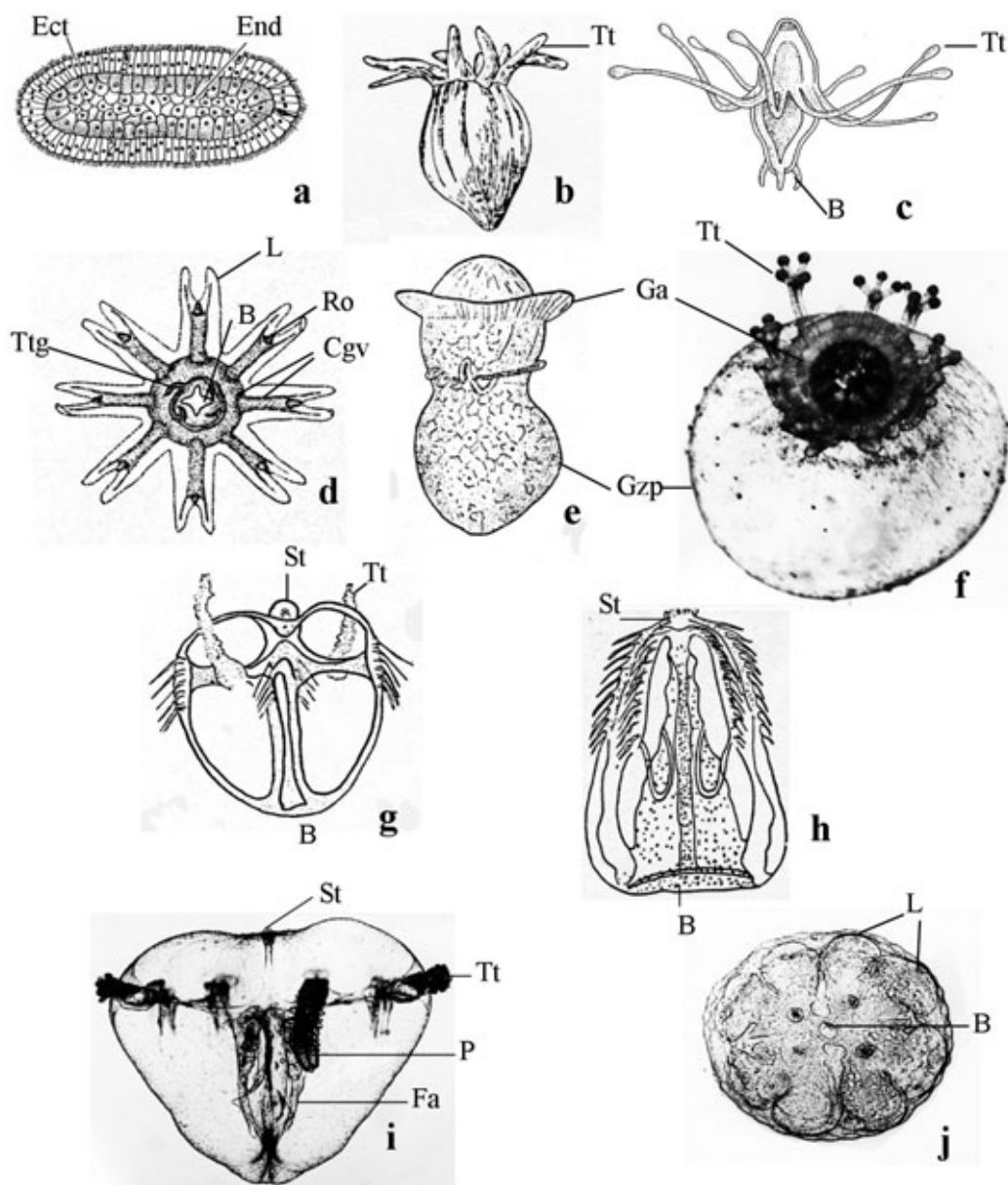
Iasis zonaria d-e: d oozoide, visione ventrale (scala 3 mm); e blastozoide, visione dorsale (scala 2 mm).
Br, branchia; E, endostilo; Em, embrione; F, fascia muscolare; Mi, muscolo intermedio; Mu, mucrone; Nu, nucleo dei visceri; Pla, placenta; Sb, sifone buccale; Sc, sifone cloacale; Sto, stolone.

Da: Braconnot, 1973; Thompson, 1948; Tregouboff & Rose, 1957.



Thalia democratica a-d: a oozoide, visione dorsale (scala 2 mm); b blastozoide, visione dorsale (scala 2 mm); c oozoide con catena di blastozoidi ancora attaccata; d catena di giovani blastozoidi (visione dorsale). Ogni individuo è legato ai quattro altri che lo circondano tramite otto papille adesive. F, fascia muscolare; Mi, muscolo intermedio; Mu, mucrone; Nu, nucleo dei visceri; O, ovario; Pl, processi laterali; Sc, sifone boccale; Sto, stolone.

Da : Braconnot, 1973; Thompson, 1948.



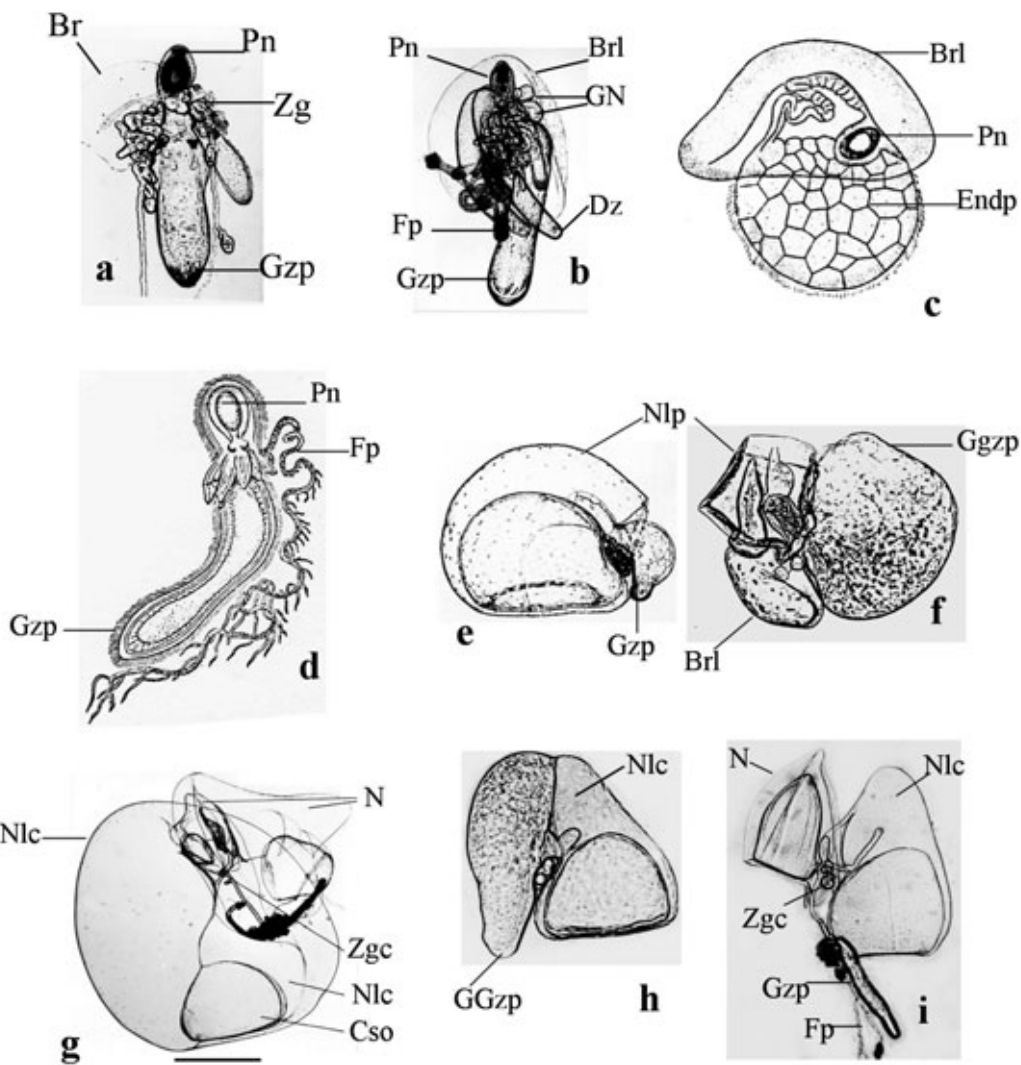
Larve di Cnidari a-f : a planula; b larva ceriantula; c actinula di *Tubularia*; d efira di *Chrysaora*, visione orale; e rataria di *Velella*; f larva di *Porpita porpita*.

Larve di Ctenofori g-j : g giovane larva cidippide; h cidippide di *Beroe*; i cidippide di *Cestum*; j cidippide di *Lampea*, visione orale.

B, bocca. Altre abbreviazioni a pag. 208 del Vol.1

Da : Dawyoff, 1928; Hyman, 1940; Mayer, 1912.

■ C. Carré - Station Zoologique. Villefranche-sur-mer & P. Licandro. Università di Genova.



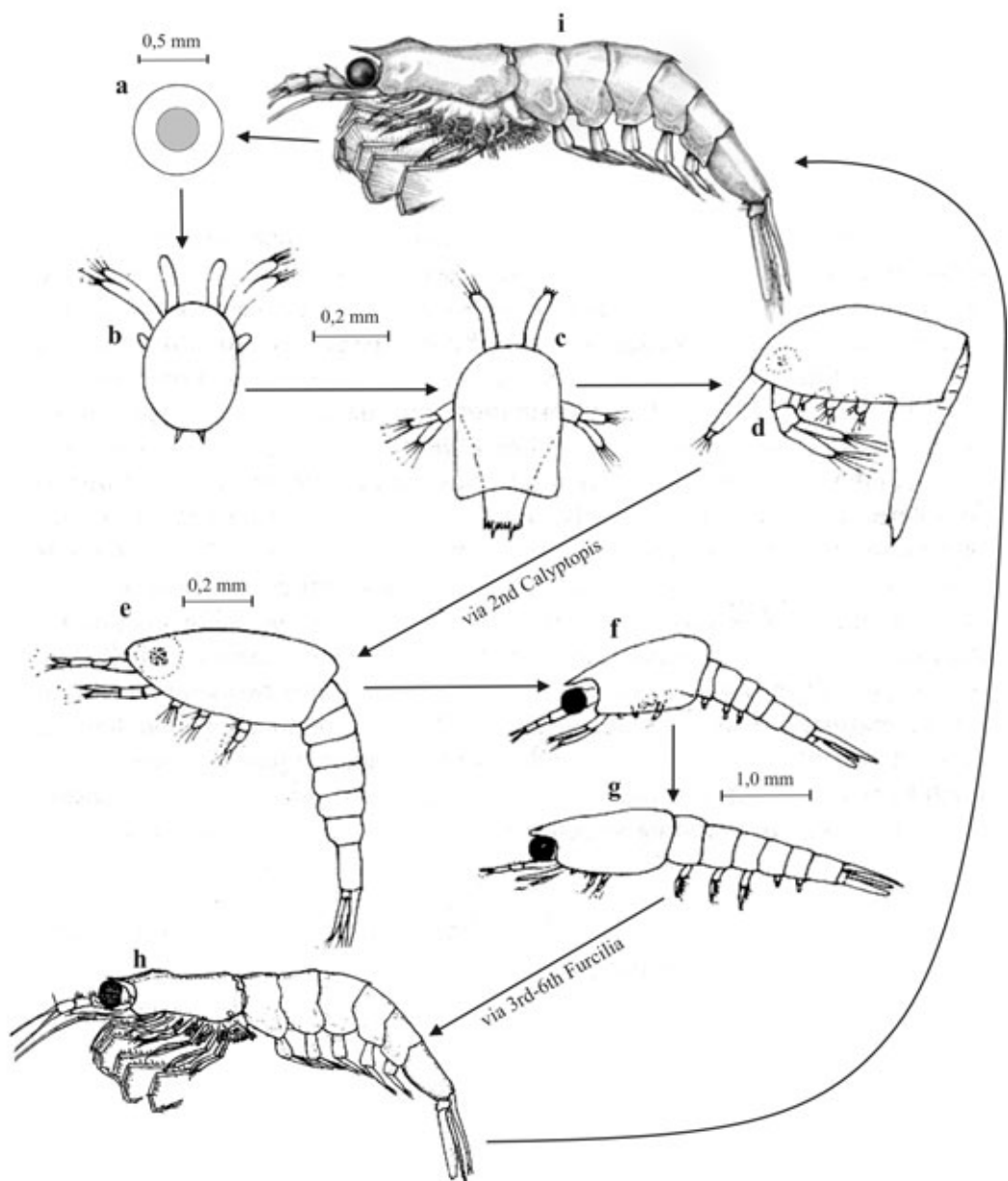
Larve di Sifonofori. Physonectae a-c: a sifonula di *Nanomia bijuga* con lo stolone in via di sviluppo; b sifonula di *Forskalia edwardsi* con la pneumatofora già differenziata; c sifonula di *Agalma sarsi*, Kölliker, 1853.

Cystonectae Epibuliidae d: cistonula di *Cystalia monogastrica*, Haeckel, 1888.

Calycocephorae e-i: e caliconula di *Sphaeronectes irregularis*; f caliconula di *Abylopsis tetragona*; g caliconula di *Hippopodius hyppopus* (scala 2.5 mm); h, i caliconula di *Muggiae kochi* in due fasi di sviluppo successive.

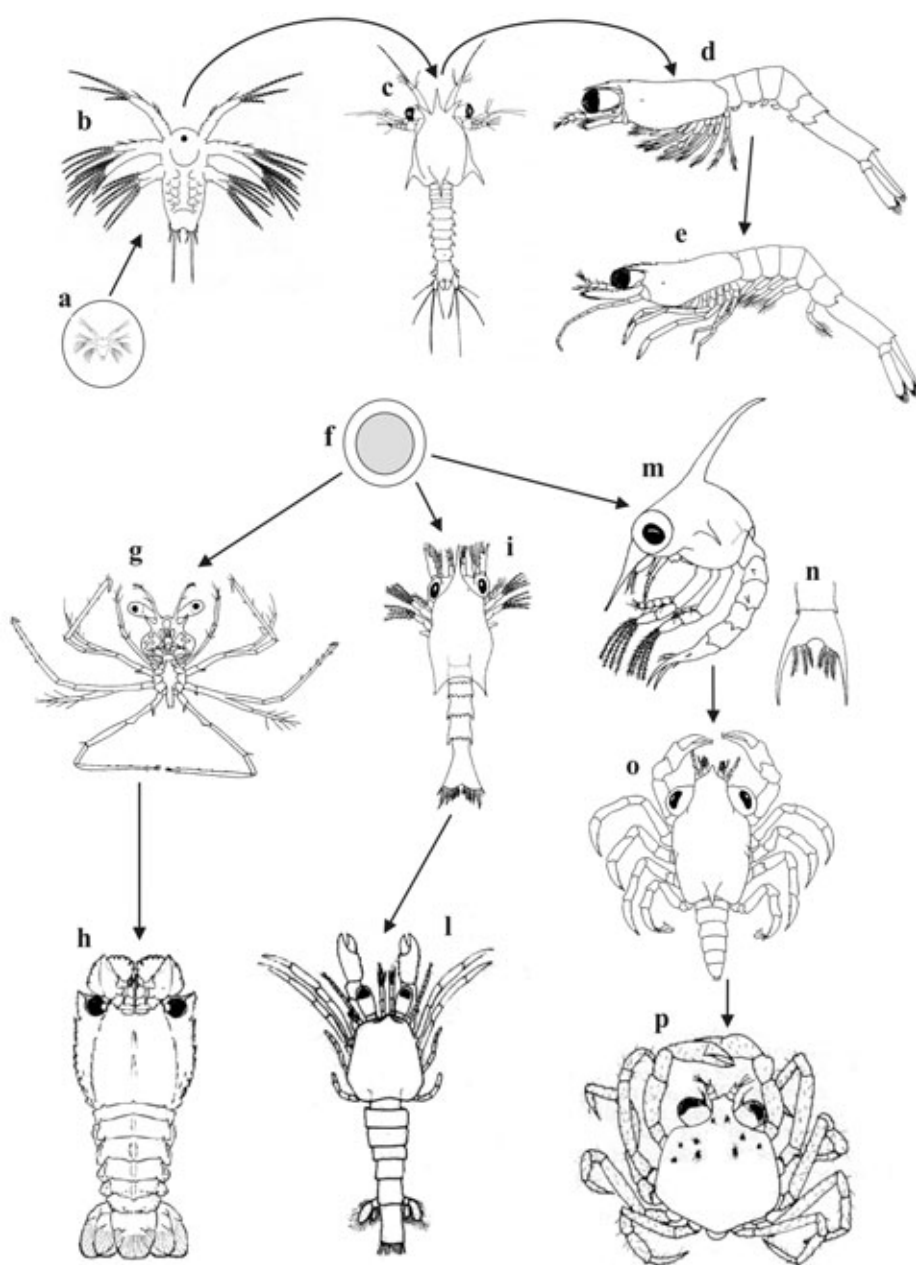
Br, brattea; Zgc, zona di gemmazione dei cormidi. Altre abbreviazioni a 208 del Vol.1

Da: Carré 1967, 1968 e 1969; Carré & Carré 1991; Metschnikoff, 1874.



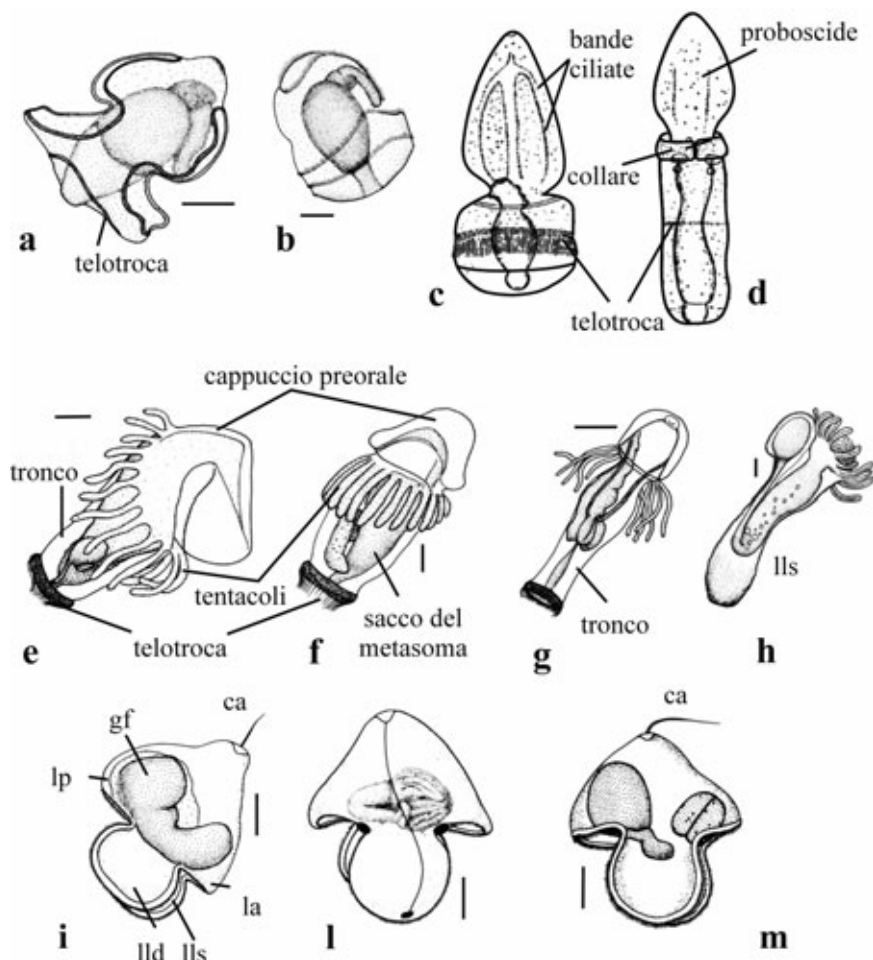
Ciclo vitale degli Euphausiacei a-i: a uovo; b nauplius; c metanauplius; d 1st calyptopis; e 3st calyptopis; f 1st furcilia; g 2st furcilia; h giovane; i adulto.

Da: Mauchline, 1984; Brinton, 2000.



Larve di Decapodi. Ciclo larvale Peneidi-Sergestidi a-e: a uovo pelagico; b nauplius; c protozoea; d mysis; e postlarva. Scillaridi f-h: f uovo trattenuto dai pleiopodi; g phyllosoma; h puerulus. Paguridi i-l: i zoea; j glaucothoe. Brachiuri m-p: m zoea; n particolare del telson; o megalopa; p postlarva.

Da: Boschi, 1981; Pohle *et al.*, 1999.

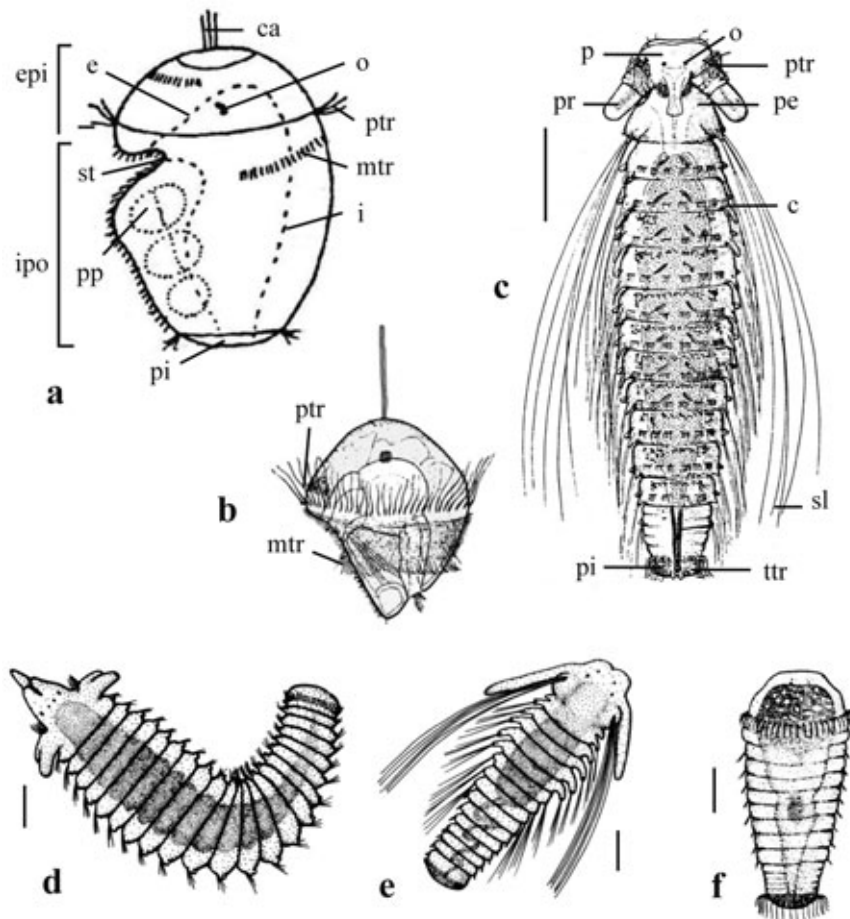


Larve di Enteropneusti a-d: a, b tornaria (scala 100 µm); c tornaria in via di allungamento; d tornaria poco prima dell'insediamento.

Larve di Foronoidei e-h: e, f, g actinotroca; h actinotroca vicina alla metamorfosi (scala 100 µm).

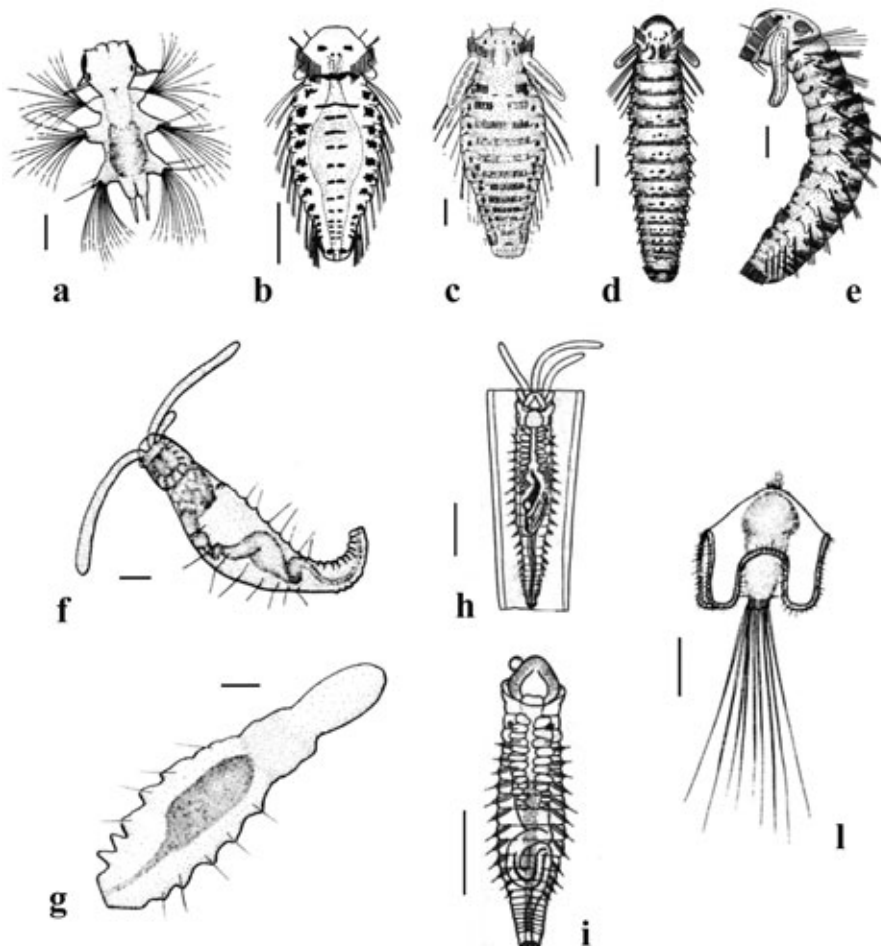
Larve di Nemertini i-m: pilidium, scala 100 µm (ca ciuffo apicale; gf individuo in formazione; la lobo anteriore; lld lobo laterale destro; llS lobo laterale sinistro; lp lobo posteriore).

Da: Smith & Johnson, 1996; Shanks, 2002.



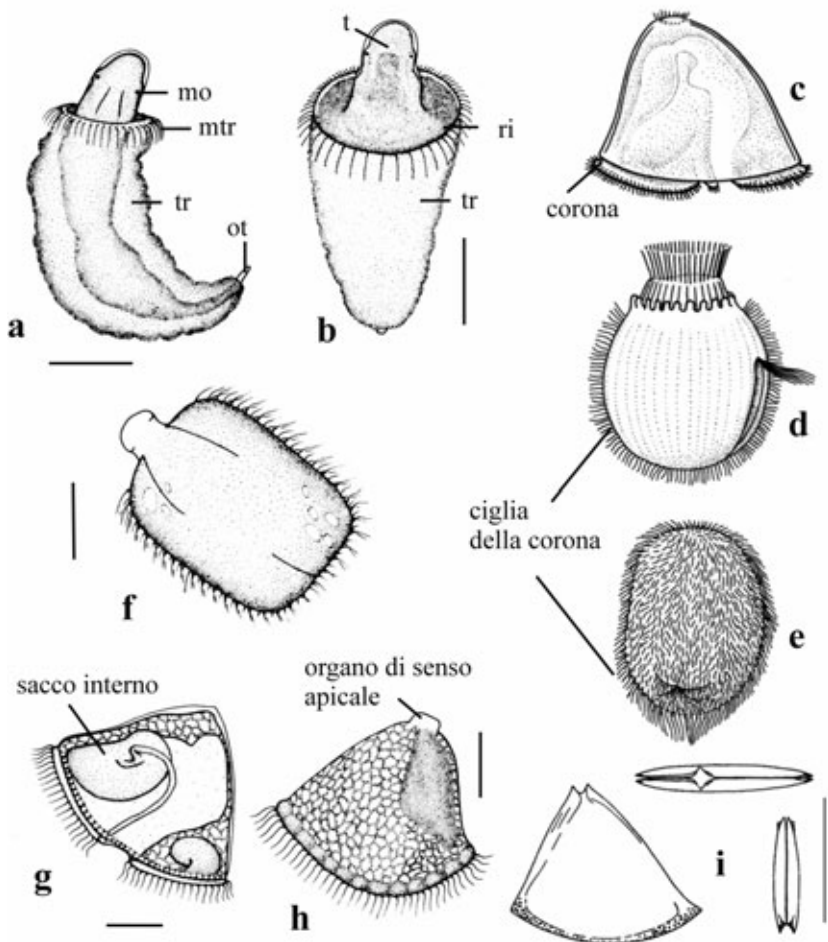
Larve di Policheti a-f: a schema di trocofora (ca ciuffo apicale; e esofago; epi episfera; i intestino; ipo iposfera; mtr metatroca; o occhio; pi pigidio; pp parapodi; ptr prototroca; st stomodeo); b trocofora di 48 ore di Serpulidae (ptr prototroca; mtr metatroca); c nectochaete di Spionidae, scala 200 µm (c cirro; o occhi; p palpo; pi pigidio; pe peristomio; pr prostomio; ptr prototroca; sl sete larvali; ttr telotroca); d metatrocofora di Nereidae, scala 100 µm; e nectochaete di Spionidae, scala 100 µm; f nectochaete di Spionidae, scala 250 µm.

Da: Baud & Cazaux, 1987; Smith & Johnson, 1996; Rouse, 1999; Shanks, 2002.



Larve nectochete di Policheti a-i: a Nereidae non identificato, scala 50 µm; b *Boccardiella hamata*, scala 200 µm; c *Pseudopolydora kempfi*, scala 100 µm; d *Polydora socialis*, scala 200 µm; e *Polydora ligni*, scala 100 µm; f Terebellidae non identificato fuori dal tubo, scala 250 µm; g Terebellidae non identificato fuori dal tubo, scala 100 µm; h *Lanice conchilega* dentro il tubo, scala 500 µm; i *Amphitrite cirrata* fuori dal tubo, scala 500 µm; I larva mitraria di Owenidae, scala 25 µm.

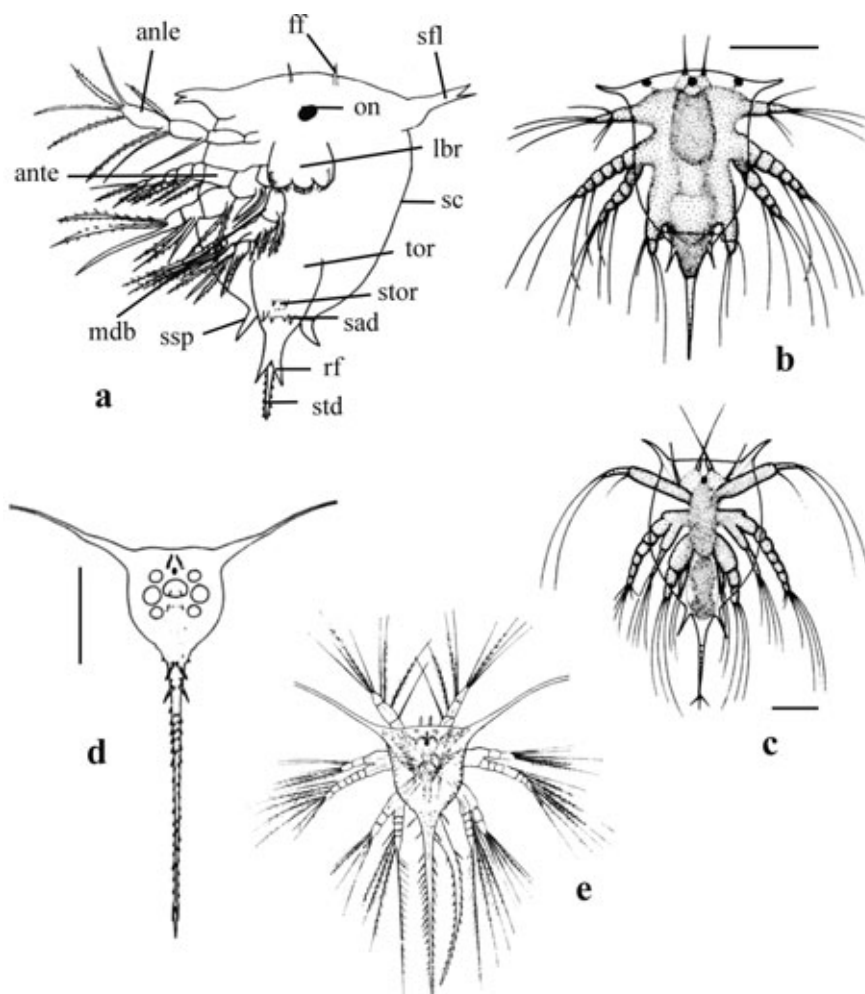
Da: Smith & Johnson, 1996; Shanks, 2002.



Larve di Sipunculidi a-b: larva pelagosfera, scala 500 µm (mo macchie ocellari; mtr metatroca; ot organo terminale; ri regione intermedia; t testa; tr tronco).

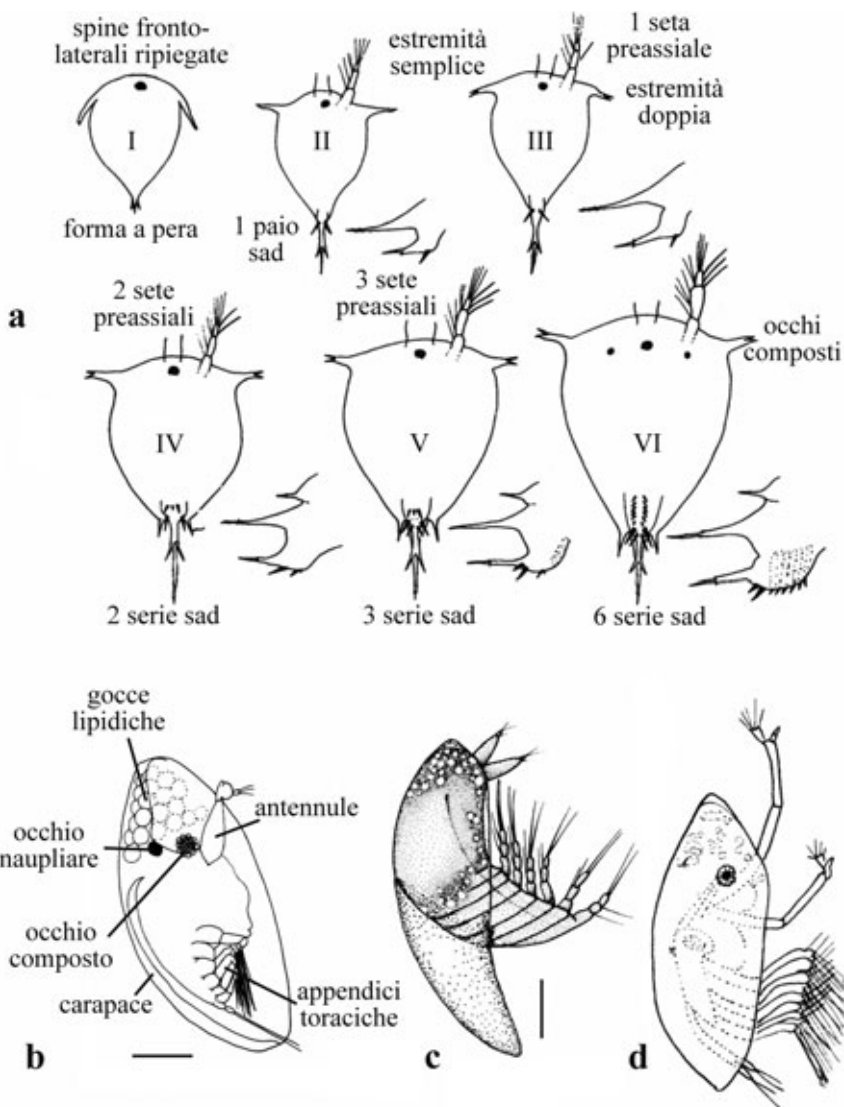
Larve di Briozi c-i: c cyphonautes planctotrofico di *Gymnolaemata*; d larva coronata lecitotrofica di *Gymnolaemata*; e larva coronata lecitotrofica di *Stenolaemata*; f larva coronata di *Bugula* sp., scala 100 µm; g cyphonautes di *Membranipora* sp., scala 100 µm; h cyphonautes non identificato, scala 100 µm; i cyphonautes di *Membranipora* sp. in visione laterale e frontale, scala 500 µm.

Da: Smith & Johnson, 1996; Shanks, 2002.



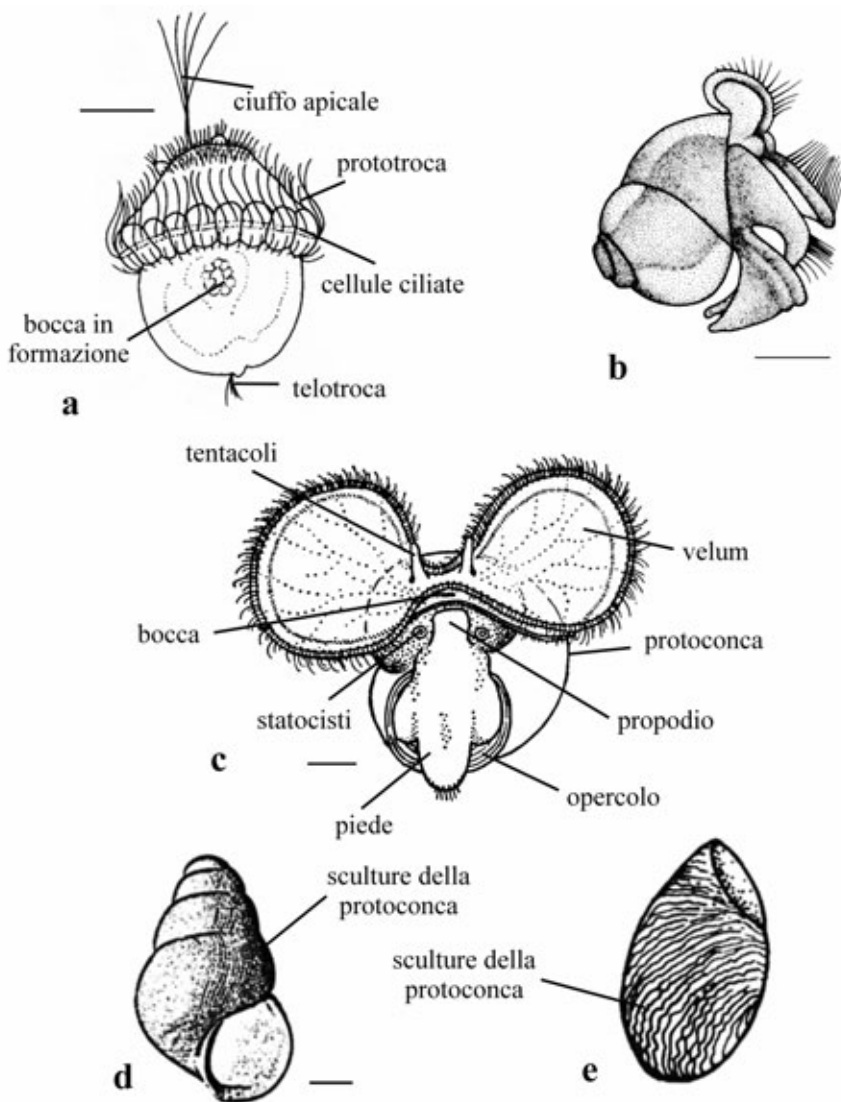
Larve di Cirripedi a-d: a schema di nauplio (anle antennule; ante antenne; ff filamento frontale; lbr labrum; mdb mandibola; on occhio naupliare; rf ramo furcale; sad spina addominale; sc scudo cefalico; sfl spina fronto-laterale; ssp spina scudo posteriore; std spina toracica dorsale; stor spina toracica; tor torace); b nauplio di Balanomorpha non identificato, scala 250 μm; c nauplio di Balanomorpha non identificato, scala 100 μm; d nauplio di *Lepas* sp., scala 200 μm; e nauplio di *Lepas* sp.

Da: Trégouboff & Rose, 1957; Smith & Johnson, 1996; Shanks, 2002.



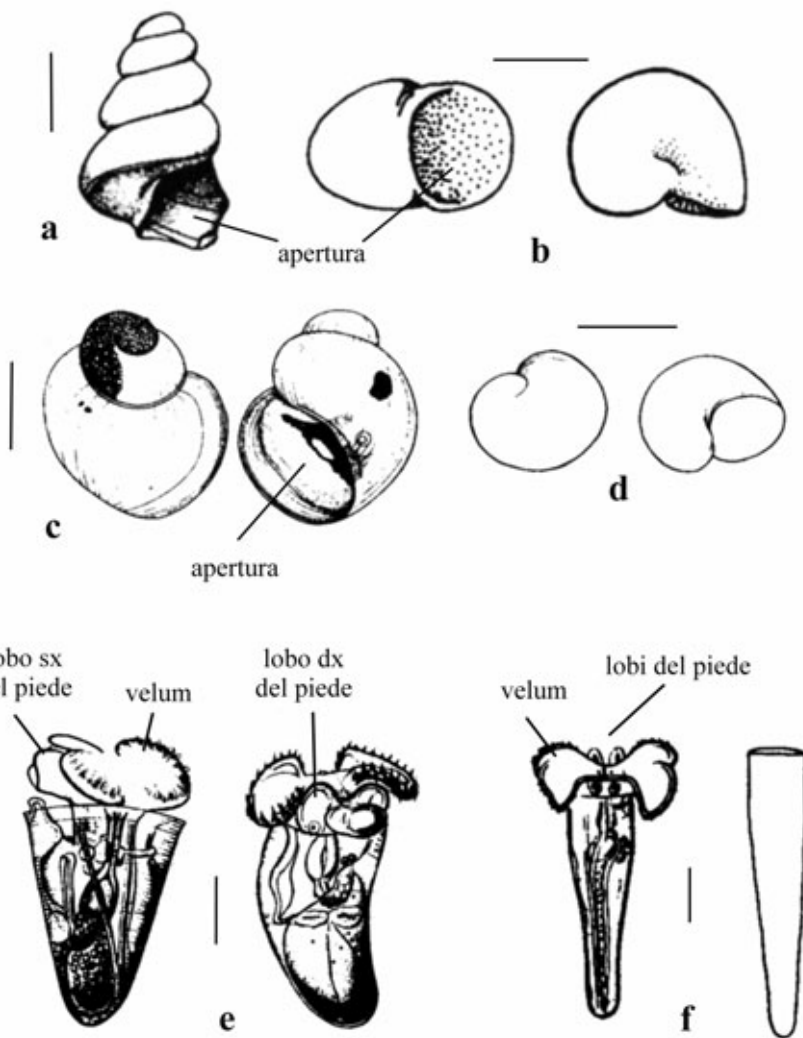
Larve di Cirripedi a-d: a caratteristiche diagnostiche dei sei stadi naupliari dei Balanomorpha (sad spine addominali); b cypris di Balanomorpha non identificato in visione laterale, scala 250 µm; c cypris di Balanomorpha non identificato, scala 250 µm; d cypris di *Balanus balanoides*.

Da: Trégouboff & Rose, 1957; Smith & Johnson, 1996; Shanks, 2002.



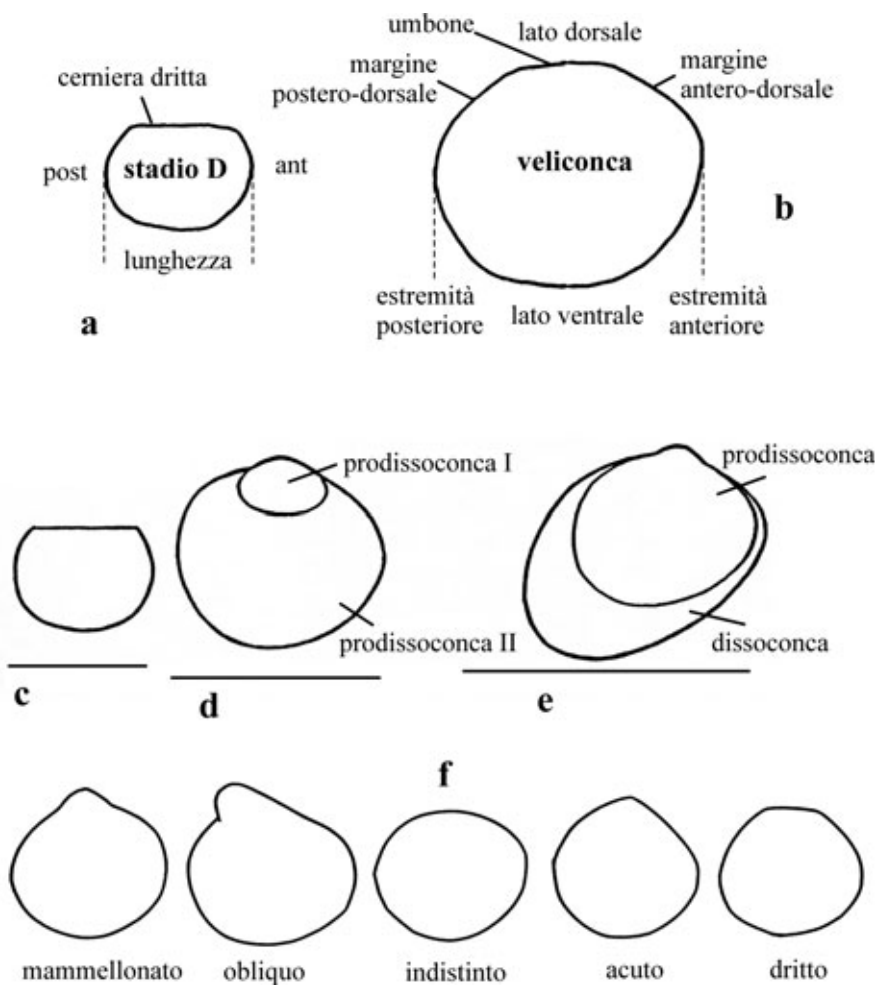
Larve di Molluschi Gasteropodi a-e: a trocofora, scala 50 µm; b veliger non identificato, scala 250 µm; c veliger non identificato, scala 100 µm; d sculture assiali tipiche degli Epitoniidae e degli Janthinidae, scala 100 µm; e sculture ad onde granulari tipiche dei Patellogastropoda.

Da: Smith & Johnson, 1996; Shanks, 2002.



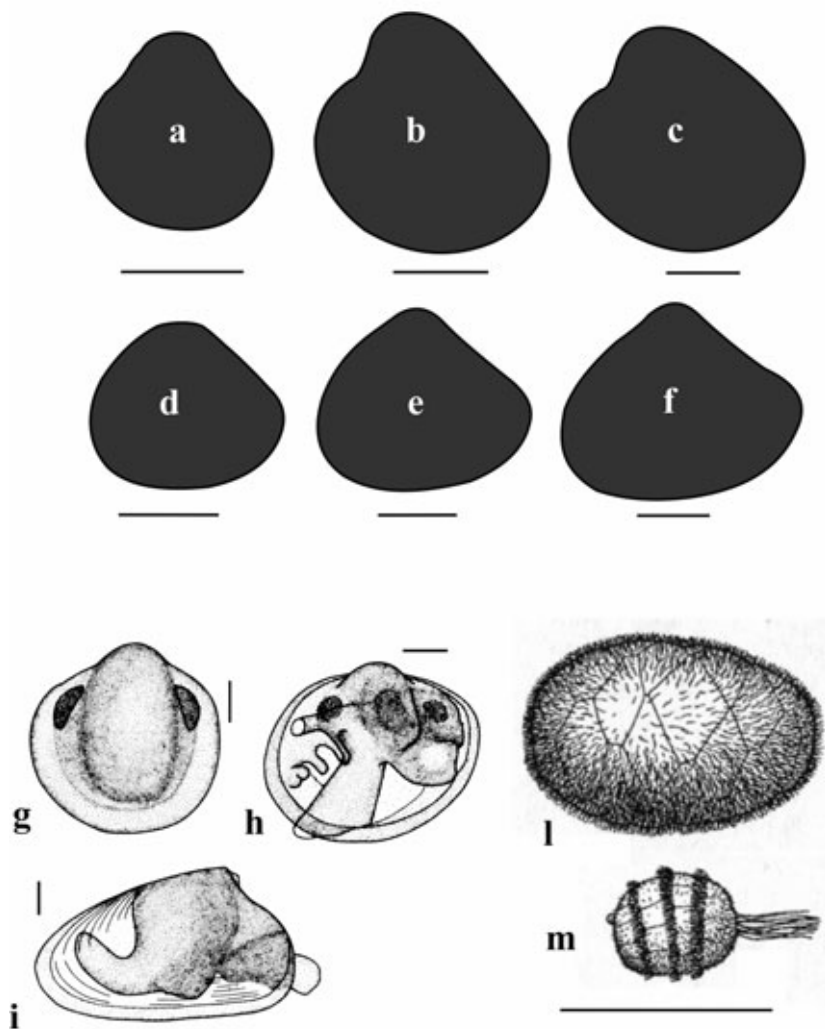
Larve veliger di Molluschi Gasteropodi a-f: a spiralatura destrorsa, scala 200 µm; b spiralatura destrorsa, scala 100 µm; c spiralatura sinistrorsa, scala 100 µm; d spiralatura sinistrorsa, scala 100 µm; e veliger avanzato di *Cavolinia* sp. (Pteropodi), scala 100 µm; f veliger di *Creseis virgula* (Pteropodi), scala 100 µm.

Da: Shanks, 2002.



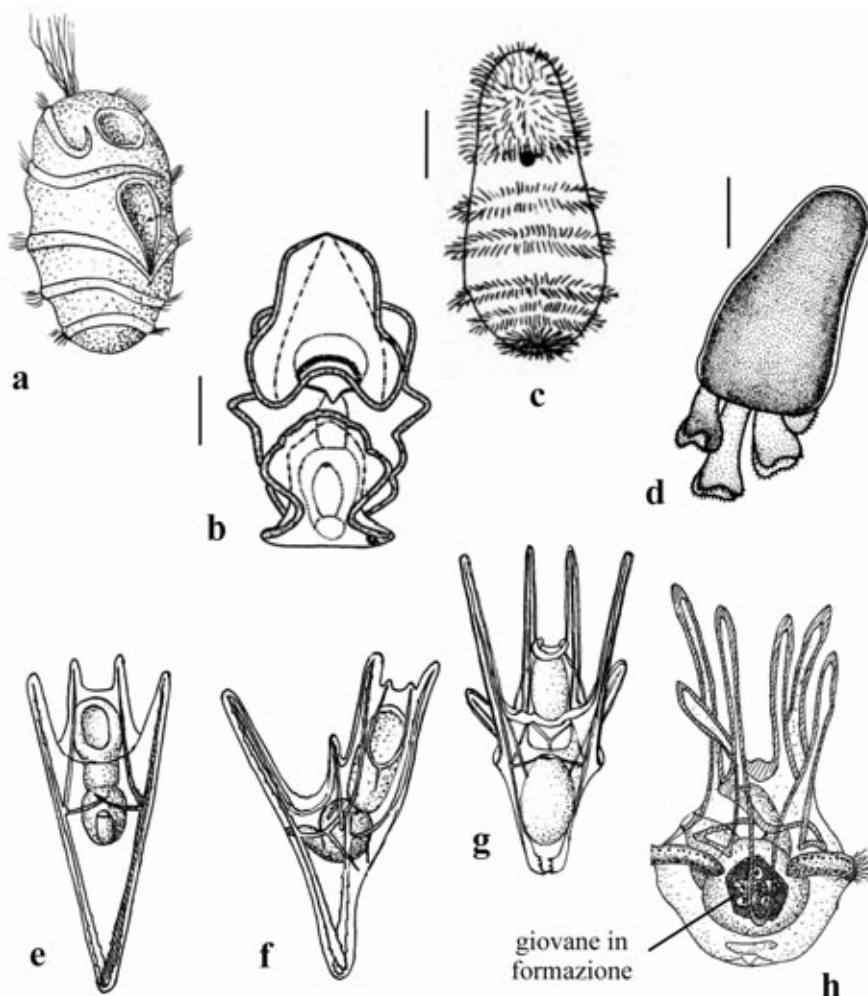
Larve di Molluschi Bivalvi a-f: a-b schema degli assi e dei termini usati per descrivere la forma della conchiglia delle larve dei Bivalvi (ant lato anteriore; post lato posteriore); c stadio D con prodissoconca I, scala 100 µm; d veliconca con prodissoconca I e II, scala 300 µm; e pediveliger con prodissoconca (I+II) e dissoconca, scala 480 µm; f forme di umbone nelle larve dei Bivalvi.

Da: Rees, 1950; Chanley & Andrews, 1971.



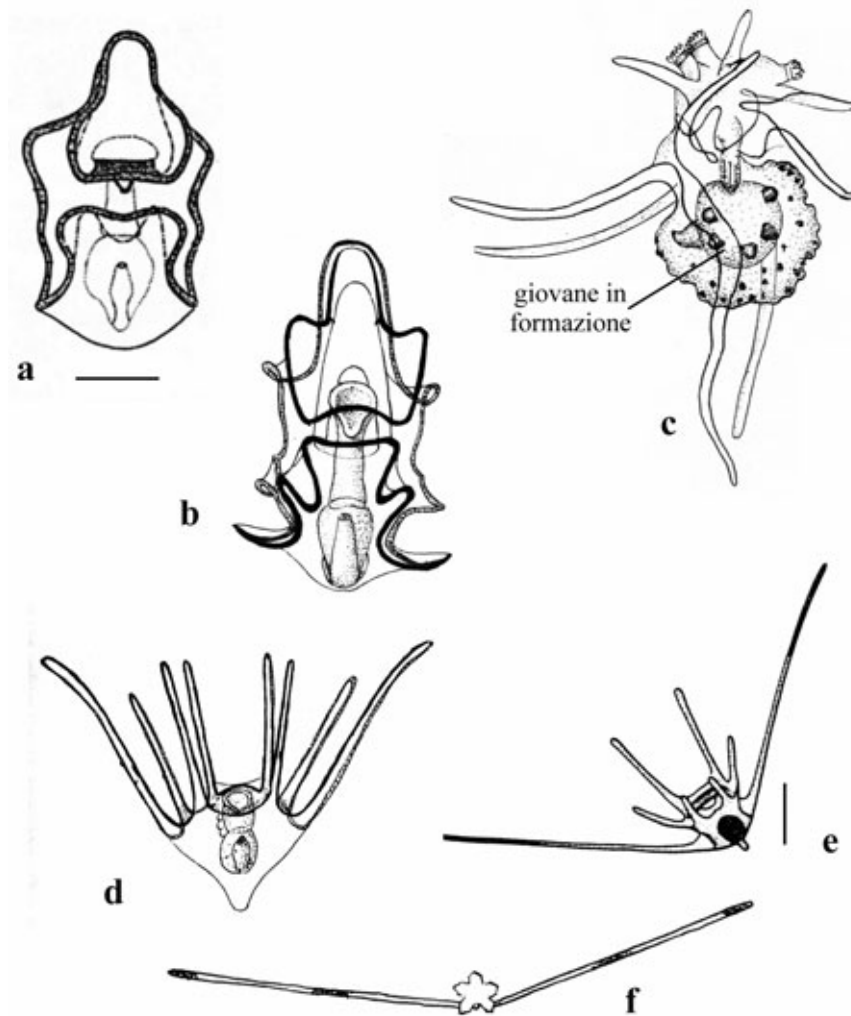
Larve di Molluschi Bivalvi a-m: a-c profilo di conchiglie larvali di *Crassostrea* sp., scala 100 µm; d-f profilo di conchiglie larvali di *Hiatella arctica*, scala 100 µm; g-i stadi larvali di *Mytilus* sp., scala 100 µm; l-m: larve peryclimma, scala 200 µm: l *Solemya* sp.; m *Nucula* sp.

Da: Smith & Johnson, 1996; Shanks, 2002.



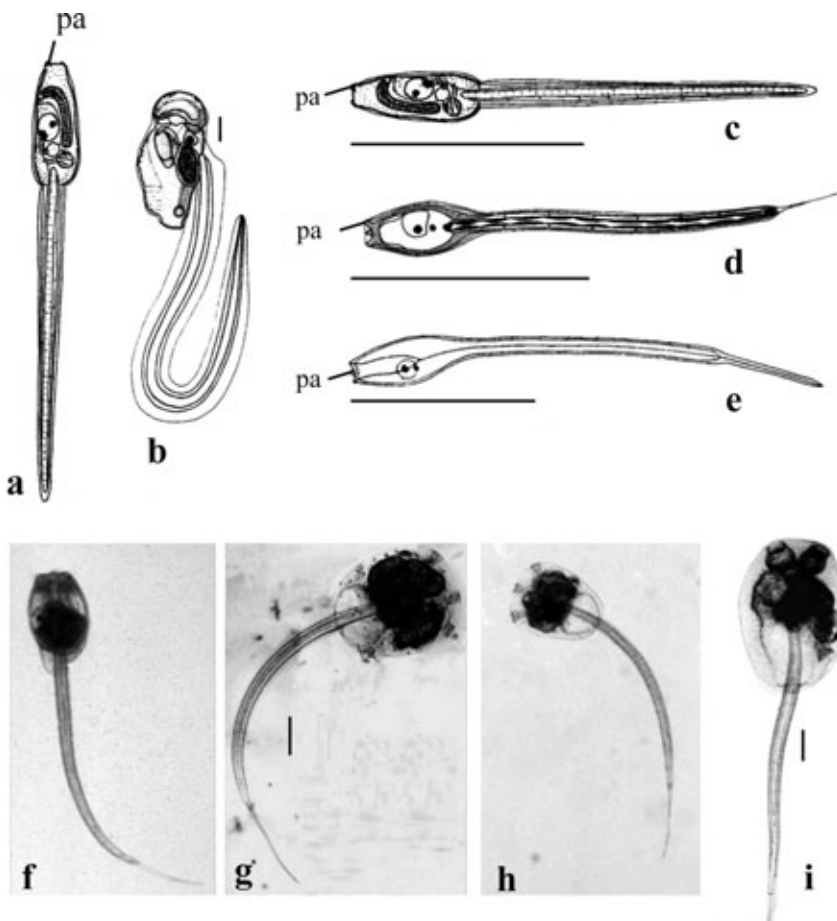
Larve di Echinodermi a-h: a larva di Crinoide: doliolaria di *Antedon* sp.; b-d larve di Oloturoidi: b auricularia in vista ventrale, scala 250 µm; c doliolaria, scala 200 µm; d pentactula, scala 250 µm; e-g larve di Echinoidi: e echinopluteo di *Paracentrotus lividus* in visione ventrale; f echinopluteo di *P. lividus* in visione latero-dorsale; g echinopluteo di *Psammechinus miliaris* in visione ventrale; h echinopluteo di *P. miliaris* vicino alla metamorfosi.

Da: Trégoüeff & Rose, 1957; Smith & Johnson, 1996; Shanks, 2002.



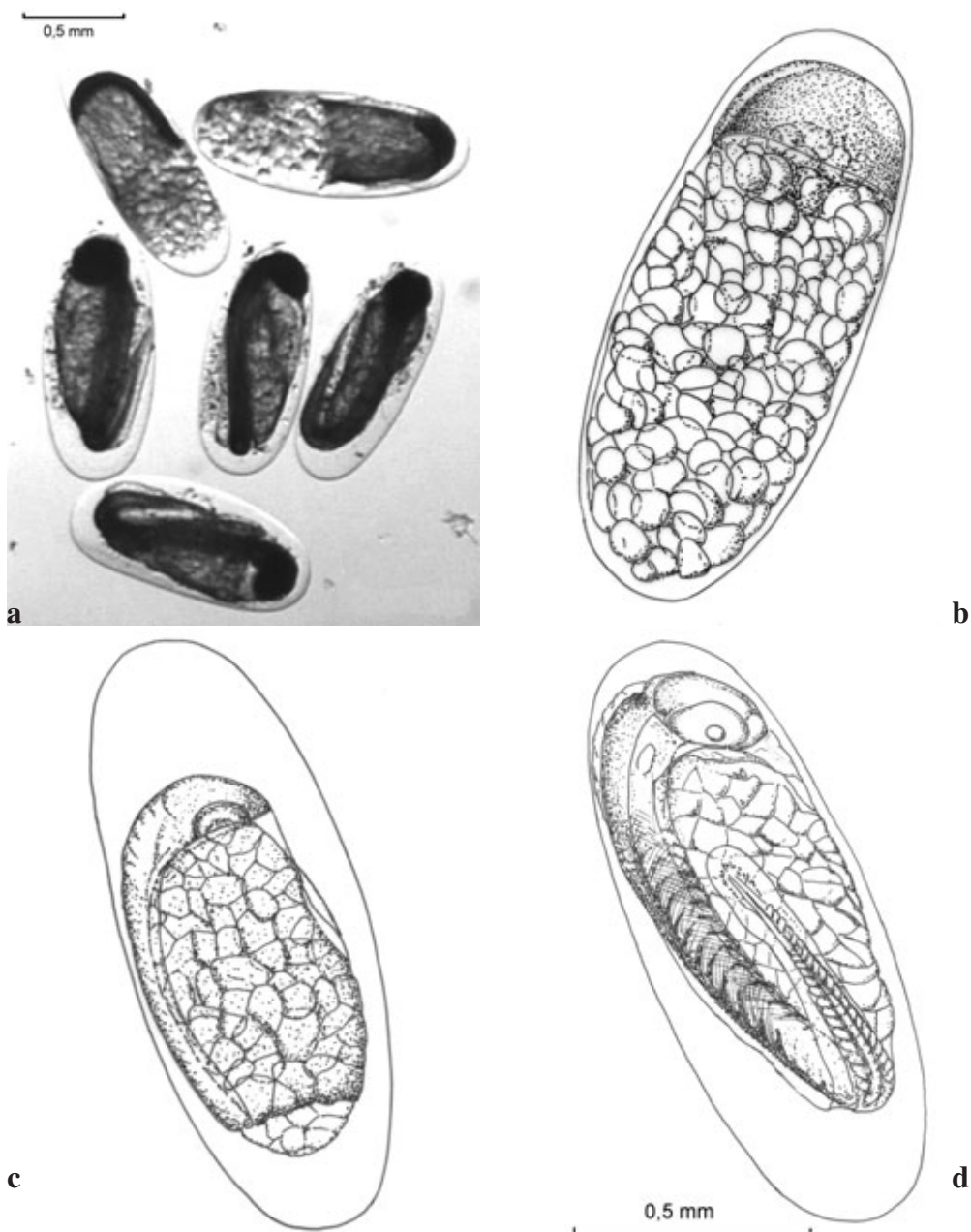
Larve di Echinodermi a-f: a-c larve di Asteroidi: a bipinnaria di *Asterina* sp., scala 250 µm; b bipinnaria di *Marthasterias glacialis*; c brachiolaria di *Asterias rubens*; d-f larve di Ophiuroidi: d ophiopluteo non identificato; e ophiopluteo di *Ophiothrix* sp., scala 100 µm; f ophiopluteo di *Ophiothrix fragilis* prossimo alla metamorfosi.

Da: Trégouboff & Rose, 1957; Smith & Johnson, 1996; Shanks, 2002.

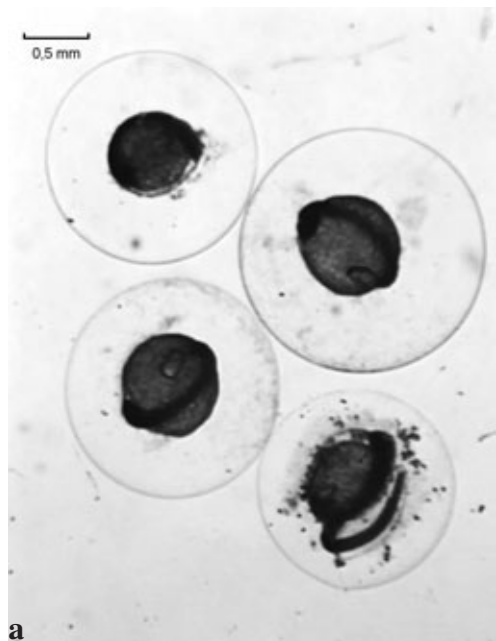
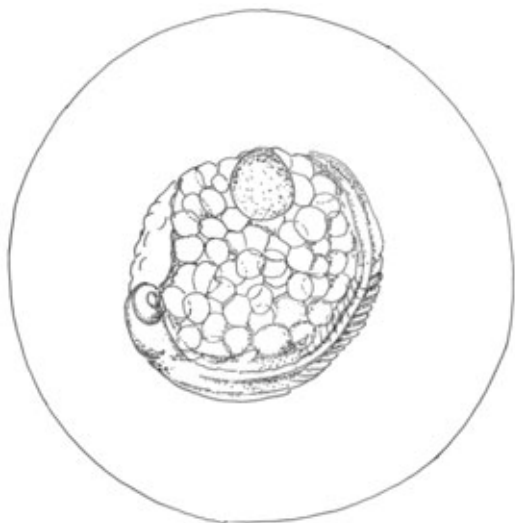
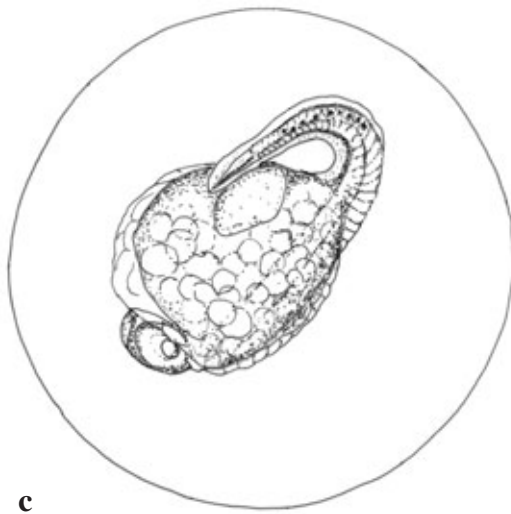
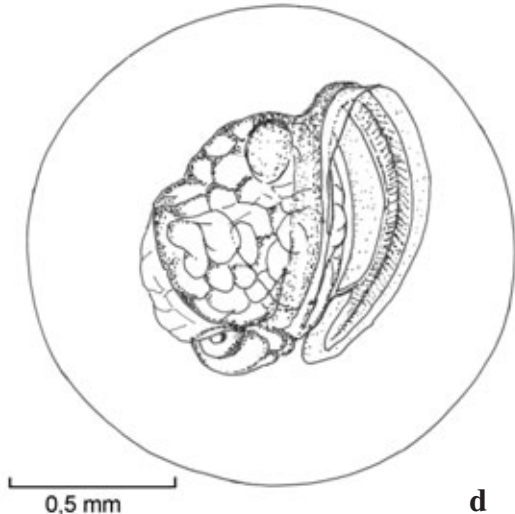


Larve di Ascidiacei a-i : a-b differenze morfologiche tra larva giriniforme di Ascidiaceo e Larvaeceo adulto, scala 100 µm; a larva giriniforme di Ascidiaceo (pa = papille adesive); b Larvaeceo: *Oikopleura* spp.; c-e: larve giriniformi di ascidie solitarie, scala 500 µm: c *Ciona intestinalis*, d *Boltenia villosa*, e *Styela* spp.; f-h larve giriniformi di ascidie composte: f *Botryllus* sp. all'inizio della vita larvale; g *Botryllus* sp. in età più avanzata, scala 100 µm; h *Diplosoma* sp.; i *Distaplia occidentalis*, scala 200 µm.

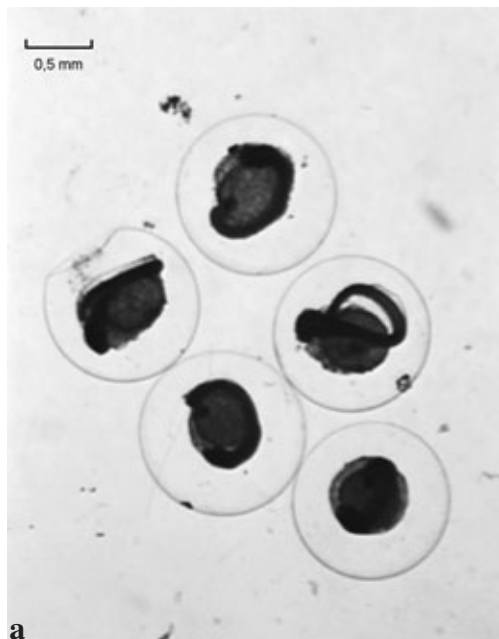
Da: Shanks, 2002; Young *et al.*, 2002; <http://life.bio.sunysb.edu/marinebio/larvae.html>; <http://www.microscopy-uk.org.uk/mag/artdec00/tunicp1.html>; http://www.mba.ac.uk/research/current%20Fellows/pemberton/ANP_images.htm.



Engraulis encrasicolus. a gruppo di uova; b,c,d fasi successive di sviluppo (iniziale, intermedia, avanzata); (unità di misura = 0,5 mm; dis. M. Petrillo).

**a****b****c****d**

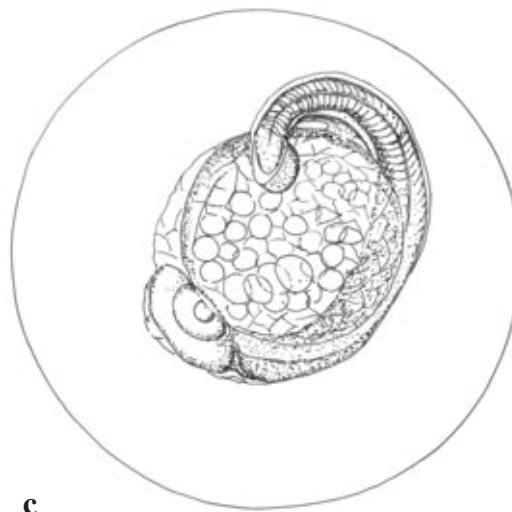
Sardina pilchardus. a gruppo di uova; b, c, d fasi successive di sviluppo (iniziale, intermedia, avanzata); (unità di misura = 0,5 mm; dis. M. Petrillo).



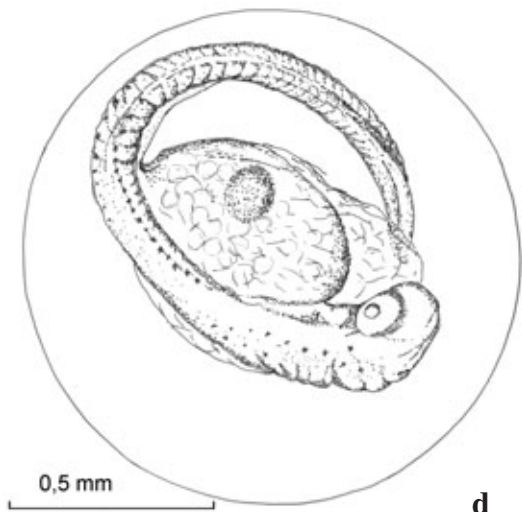
a



b

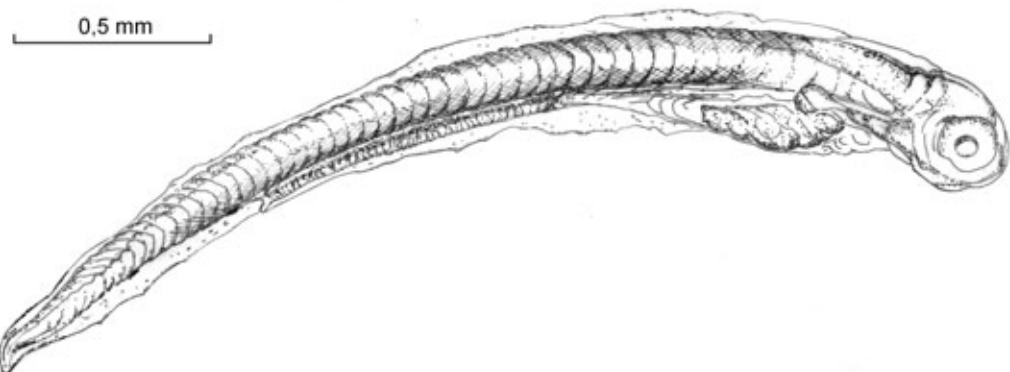
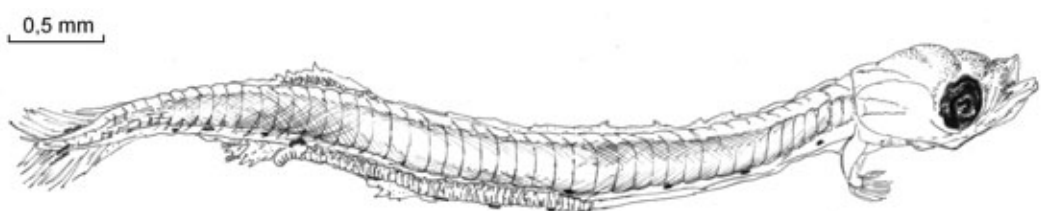
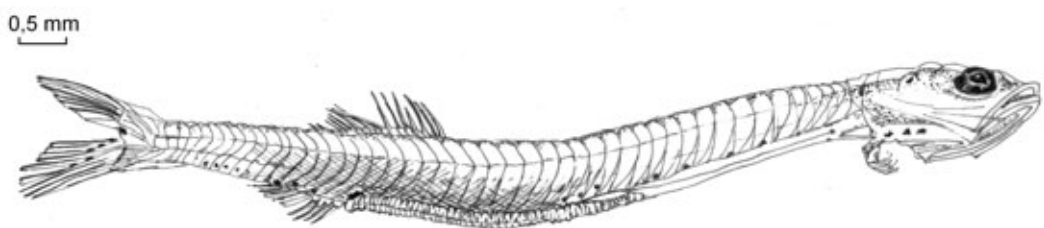
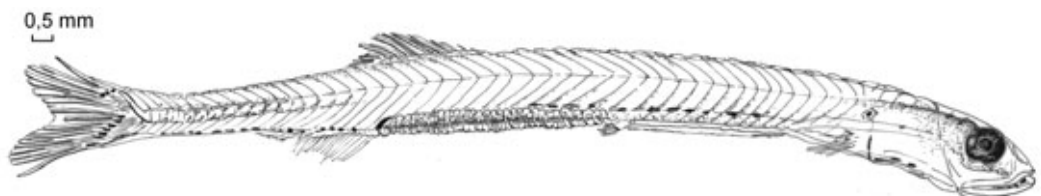


c



d

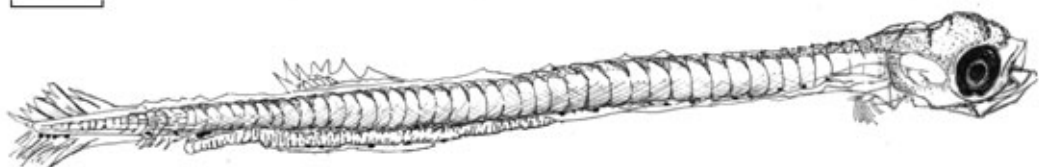
Sardinella aurita. a gruppo di uova; b, c, d fasi successive di sviluppo (iniziale, intermedia, avanzata); (unità di misura = 0,5 mm; dis. M. Petrillo).

a**b****c****d**

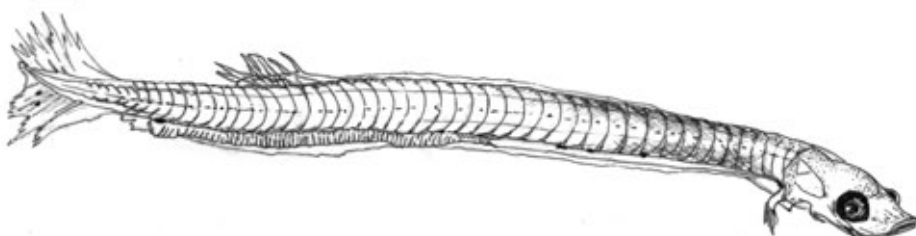
Engraulis encrasiculus. a larva (2,9 mm); b, c, d postlarve (5,5 – 12,1 – 22,0 mm); (unità di misura = 0,5 mm; dis. M. Petrillo).

a

0,5 mm

**b**

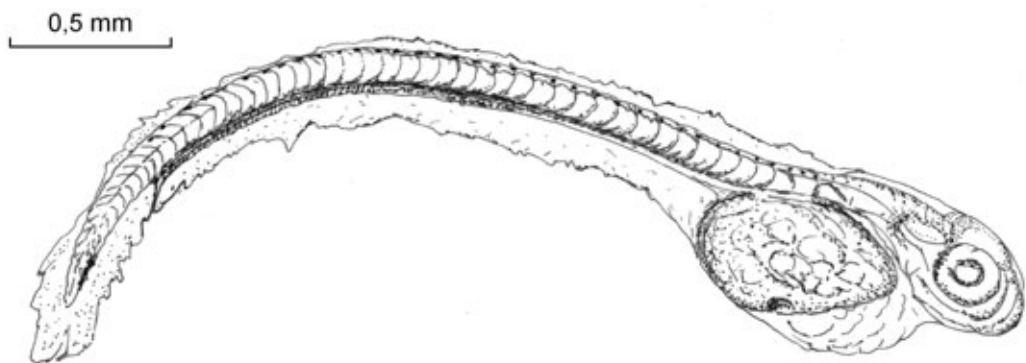
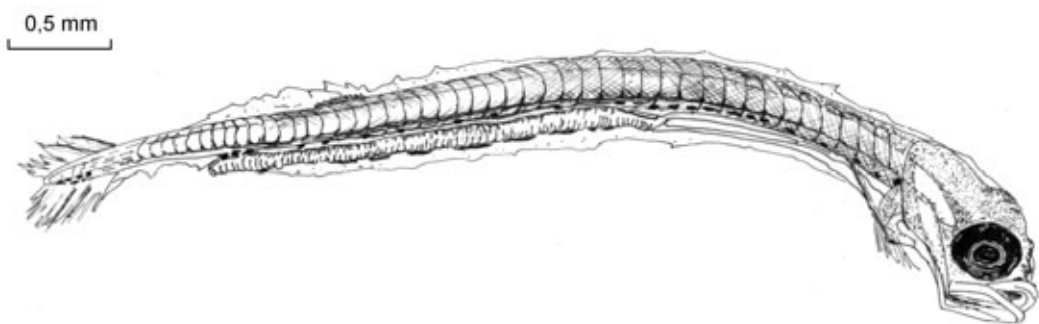
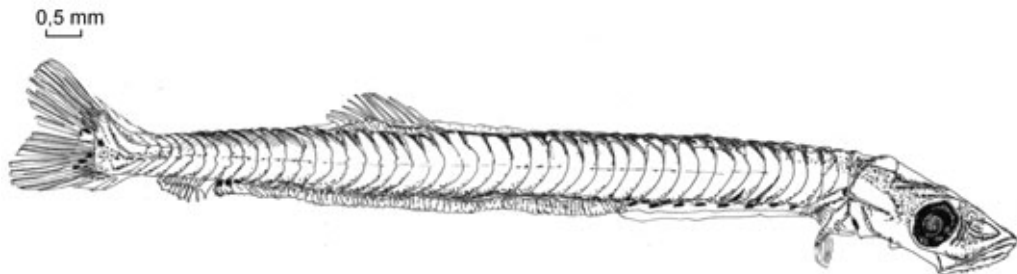
0,5 mm

**c**

0,5 mm



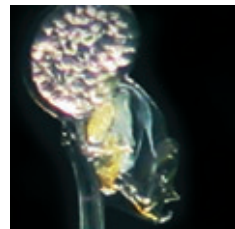
Sardina pilchardus. a, b, c postlarve (5,5 - 11,0 - 13,5 mm); (unità di misura = 0,5 mm; dis. M. Petrillo).

a**b****c**

Sardinella aurita. a larva (3,6 mm); b, c postlarve (5,5 - 14,6 mm); (unità di misura = 0,5 mm; dis. M. Petrillo).

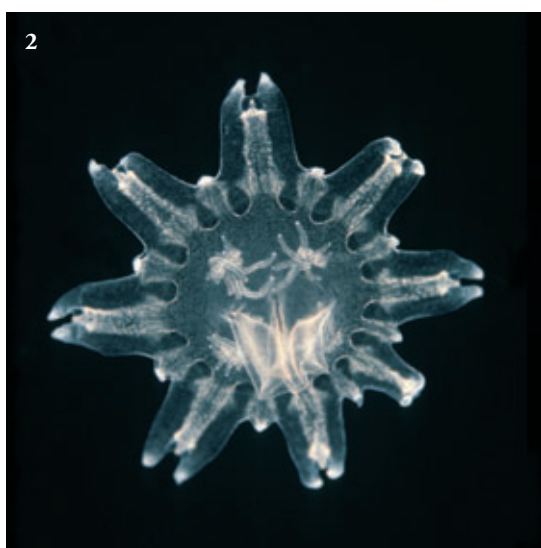
**GUIDA AL RICONOSCIMENTO
DELLO ZOOPLANCTON NERITICO
NEI MARI ITALIANI**

TAVOLE A COLORI





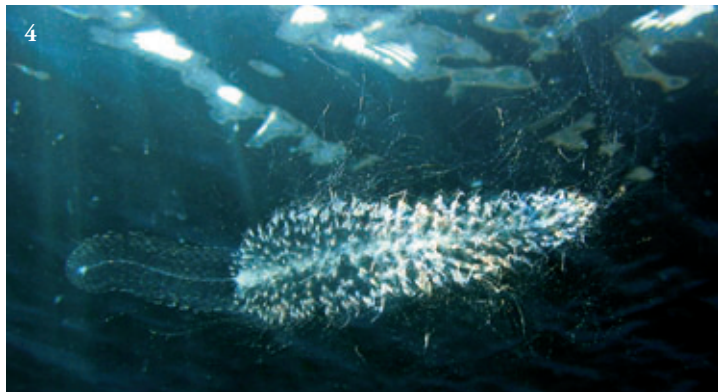
1 *Obelia* sp., idromedusa. Si possono osservare i caratteri distintivi del genere: l'ombrellino appiattito, il manubrio corto al centro ed i numerosi tentacoli al bordo dell'ombrellino con i bulbi alla base. Nella foto si distinguono anche le quattro gonadi piccole e tondeggianti collocate sopra i canali radiali.
(Foto A. Lindley).



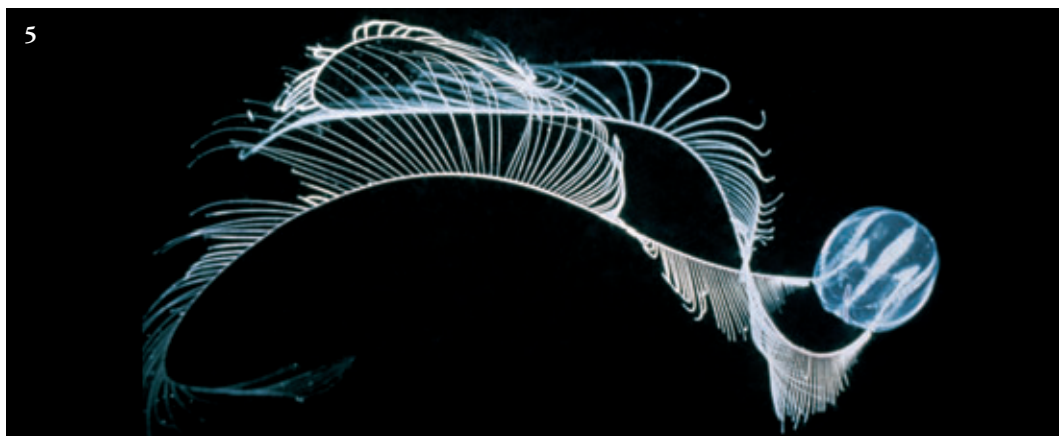
2 Efira della scifomedusa *Aurelia aurita*. Questo stadio larvale ha otto braccia ed un abbozzo di manubrio al centro, circondato da tentacoli.
(Foto Norman T. Nicoll / Natural Visions).



3 Nectoforo (o campana natatoria) anteriore del sifonoforo *Lensia conoidea*. Il nectosacco all'interno della campana appare colorato ed è percorso longitudinalmente dai canali radiali. A fianco del nectosacco si distingue il somatocisti fusiforme.
(Foto Norman T. Nicoll/Natural Visions).



4 Il sifonoforo *Forskalia edwarsi*, colonia. A sinistra il corpo trasparente è il nectosoma che porta i nectofori o campane natatorie, a destra il corpo illuminato è il sifosoma costituito da diversi cormidi. Sono evidenti i filamenti pescatori estroflessi dai gastrozoidi per la cattura del cibo.
(Foto F. Lombard).



5 Lo ctenoforo tentacolato *Pleurobrachia pileus* con i due lunghi tentacoli muniti di tentilli. Sul corpo ovoidale sono visibili alcuni degli otto ctenidi, o pettini, che percorrono verticalmente la superficie dell'animale e servono per la locomozione. (Foto Norman T. Nicoll / Natural Visions).



6 Lo ctenoforo nudo *Beroe ovata* non ha tentacoli ed è munito di una grossa bocca visibile a destra con la quale ingoia prede voluminose, soprattutto ctenofori tentacolati. Le righe bianche longitudinali sono gli ctenidi, palette formate da ciglia agglutinate che battono l'acqua e servono per nuotare. Nella foto si vedono quattro degli otto ctenidi di cui è munito l'animale. Lunghezza circa 2 cm.
(Foto F. Lombard).



7

7 Il cladocero *Evadne tergestina*. In tutte le specie del genere *Evadne* il capo è saldato al corpo, senza solco. In questa specie l'estremità del carapace è molto arrotondata. E' ben visibile la caratteristica catenella di cellule pigmentate lungo i fianchi. Lunghezza circa 1 mm. (Foto S. Fonda Umani).



8

8 Il cladocero *Podon intermedius*. In questo come in tutti i *Podon* un solco profondo separa il capo dal corpo. L'occhio composto è colorato in rosso. Sono visibili le due unghie con cui termina l'addome. Lunghezza circa 1 mm. (Foto S. Fonda Umani).



9

9 Femmina del cladocero *Podon intermedius* con l'addome pieno di embrioni: si distinguono sei occhi embrionali. Lunghezza circa 1 mm. (Foto M. Edwards).



10 Il copepodo calanoide *Candacia armata* femmina, in visione dorsale. Si possono osservare i seguenti caratteri distintivi: il bordo appiattito della testa, ai lati del corpo le lunghe sete apicali delle prime e seconde mascelle, le punte all'estremità del prosoma, il segmento genitale asimmetrico e la lunga furca. Lunghezza ca. 3 mm. (Foto A. Lindley)



11 Il copepodo calanoide *Calanus helgolandicus* femmina, in visione dorsale. Si vedono i seguenti caratteri distintivi: prime antenne lunghe, parte frontale prolungata in modo triangolare tra le inserzioni delle antenne, margini posteriori del prosoma arrotondati e leggermente prolungati, furca con rami corti. Lunghezza ca. 2 mm. (Foto A. Lindley)



12 Il copepodo poecilostomatoide *Corycaeus anglicus* femmina, in visione ventrale. Sono evidenti le prime antenne molto corte e le grandi lenti oculari che contraddistinguono il genere *Corycaeus*. Lunghezza ca. 1 mm. (Foto A. Lindley)

13



13 Pteropodo tecosoma *Clio pyramidata*.

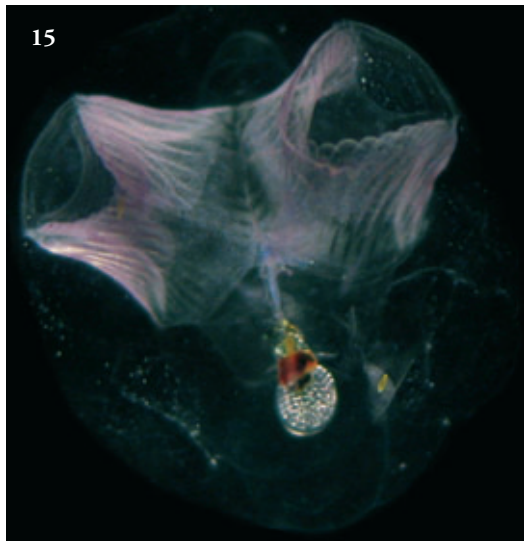
Dalla sottile conchiglia calcarea triangolare fuoriesce il piede modificato in un lobo ventrale ed in un paio di pinne natatorie. La macchia nera all'interno della conchiglia è data dai visceri dell'animale. (Foto Norman T. Nicoll / Natural Visions)

14



14 Pteropodo gimnosoma *Clione limacina*.

Questo mollusco planctonico privo di conchiglia con il piede trasformato in due ali è un carnivoro che si nutre di pteropodi tecosomi. (Foto Norman T. Nicoll / Natural Visions)



15



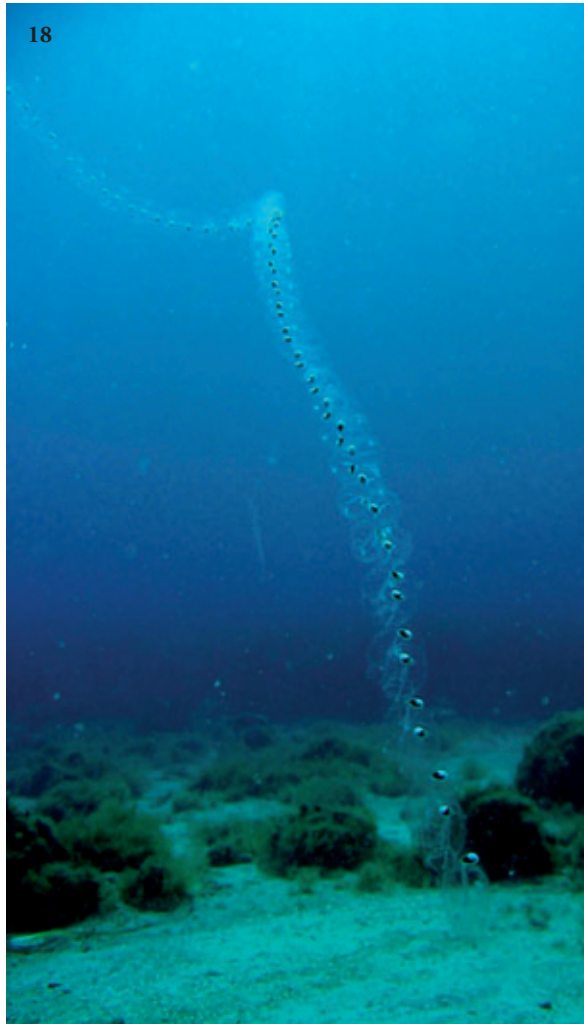
16



17

17 L'appendicolaria *Oikopleura dioica* fuori della "casa" come generalmente si vede nei campioni di plancton. Il corpo è costituito da un tronco a cui si unisce ventralmente una coda piatta e larga. Nel tronco si distingue a sinistra la gonade globosa e anteriormente la bocca.
(Foto G. Gorsky e F. Lombard).

18



18 Il taliaceo *Salpa fusiformis* nella Baia di Villefranche-sur-mer. Una catena di blastozoidi (individui sessuati ermafroditi) formati per gemmazione da un individuo solitario asessuale. Lunghezza della catena circa 3 m.
(Foto F. Lombard).

19 Il taliaceo *Salpa fusiformis* al largo di Sanremo (Mar Ligure). Una catena di blastozoidi (individui sessuati ermafroditi) in prossimità di un subacqueo. Lunghezza della catena circa 70 cm.
(Foto S. Canese).



20



20 Larva dell'echinoderma *Ophiotrix fragilis*, ophiopluteo. (Foto A. Lindley).